

VYSOKÉ UČENÍ TECHNICKÉ V BRNĚ

BRNO UNIVERSITY OF TECHNOLOGY

FAKULTA STAVEBNÍ
FACULTY OF CIVIL ENGINEERING

ÚSTAV KOVOVÝCH A DŘEVĚNÝCH KONSTRUKCÍ
INSTITUTE OF METAL AND TIMBER STRUCTURES

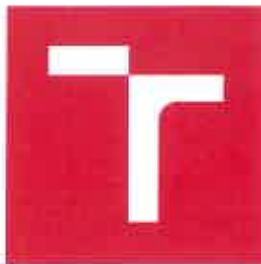
BUSINESS CENTRUM
BUSINESS CENTRE

DIPLOMOVÁ PRÁCE
DIPLOMA THESIS

AUTOR PRÁCE Bc. Ivo Dušek
AUTHOR

VEDOUCÍ PRÁCE Ing. Milan Pilgr, Ph.D.
SUPERVISOR

BRNO 2018



VYSOKÉ UČENÍ TECHNICKÉ V BRNĚ

FAKULTA STAVEBNÍ

Studijní program	N3607 Stavební inženýrství
Typ studijního programu	Navazující magisterský studijní program s prezenční formou studia
Studijní obor	3607T009 Konstrukce a dopravní stavby
Pracoviště	Ústav kovových a dřevěných konstrukcí

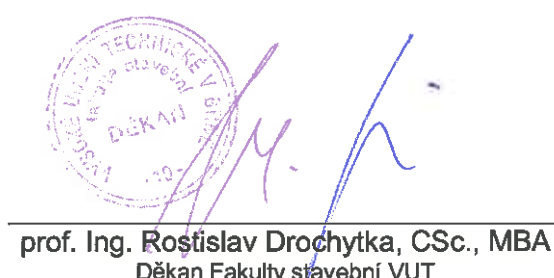
ZADÁNÍ DIPLOMOVÉ PRÁCE

Student	Bc. Ivo Dušek
Název	Business centrum
Vedoucí práce	Ing. Milan Pilgr, Ph.D.
Datum zadání	31. 3. 2017
Datum odevzdání	12. 1. 2018

V Brně dne 31. 3. 2017


prof. Ing. Marcela Karmazínová, CSc.

Vedoucí ústavu


prof. Ing. Rostislav Drochytka, CSc., MBA
Děkan Fakulty stavební VUT

PODKLADY A LITERATURA

Požadavky na architektonické a dispoziční řešení
Literatura doporučená vedoucím diplomové práce

ZÁSADY PRO VYPRACOVÁNÍ

Zadání a cíle:

Vypracujte variantní návrh nosné ocelové konstrukce business centra ve středově symetrickém půdorysném uspořádání o max. půdorysných rozměrech 100×100 m. Dispozici navrhněte v souladu s architektonickými požadavky; klimatická zatížení uvažujte pro lokalitu Brno.

Požadované výstupy:

Technická zpráva s odůvodněním zvolené varianty řešení

Statický výpočet hlavních nosných částí konstrukce

Výkresová dokumentace v rozsahu stanoveném vedoucím diplomové práce

Výkaz spotřeby materiálu pro zvolenou variantu řešení

STRUKTURA DIPLOMOVÉ PRÁCE

VŠKP vypracujte a rozčleňte podle dále uvedené struktury:

1. Textová část VŠKP zpracovaná podle Směrnice rektora "Úprava, odevzdávání, zveřejňování a uchovávání vysokoškolských kvalifikačních prací" a Směrnice děkana "Úprava, odevzdávání, zveřejňování a uchovávání vysokoškolských kvalifikačních prací na FAST VUT" (povinná součást VŠKP).
2. Přílohy textové části VŠKP zpracované podle Směrnice rektora "Úprava, odevzdávání, zveřejňování a uchovávání vysokoškolských kvalifikačních prací" a Směrnice děkana "Úprava, odevzdávání, zveřejňování a uchovávání vysokoškolských kvalifikačních prací na FAST VUT" (nepovinná součást VŠKP v případě, že přílohy nejsou součástí textové části VŠKP, ale textovou část doplňují).



Ing. Milan Pilgr, Ph.D.
Vedoucí diplomové práce

Abstrakt

Práce se zabývá návrhem nosné ocelové prutové konstrukce vícepodlažní administrativní budovy. Jde o šestnáctipatrovou budovu s ocelovou konstrukcí v rotačně symetrickém půdoryse. O maximálních rozměrech 100x100m. Statický výpočet je kombinací ručního výpočtu a výpočtu pomocí programu RFEM od společnosti Dlubal. Statický výpočet obsahuje výpočet: stropnic, průvlaků, sloupů, ztužidel, vaznic, příhradových vazníků a dalších prutů konstrukce včetně jejich spujů. Součástí práce je výkresová dokumentace a technická zpráva.

Klíčová slova

administrativní budova, vícepodlažní budova, nosná ocelová konstrukce, stropnice, spřažený nosník, průvlak, sloup, ztužidlo, příhradový vazník, vaznice, konzola, mezní stav únosnosti, mezní stav použitelnosti, vnitřní síly, zatížení, statický výpočet, kotvení, šroubový spoj, svar, čepový spoj

Abstract

This Master thesis was about calculation and design of supporting steel bar structure multi storey administrative building. Steel structure with rotation symmetric floor plan has sixteen storey. Maximal size of building is 100x100m. Structural design report is made by a combination of manual calculations and calculations using software RFEM by Dlubal. Structural design report includes calculations of secondary beam, primary beam, column, bracing, purin, truss girder and others part of structure with their connections. Thesis includes drawing documentation and report.

Keywords

office building, multi-storey building, steel structure, secondary beam, composite beam, primary beam, column, bracing, truss girder, purin, cantilever, ultimate limit state, service limit state, internal forces, load, structure desing report, column anchorage, bolted connection, weld, pin connection

Prohlášení

Prohlašuji, že jsem diplomovou práci zpracoval(a) samostatně a že jsem uvedl(a) všechny použité informační zdroje.

V Brně dne 22. 12. 2017

Bc. Ivo Dušek
autor práce



Bibliografická citace VŠKP

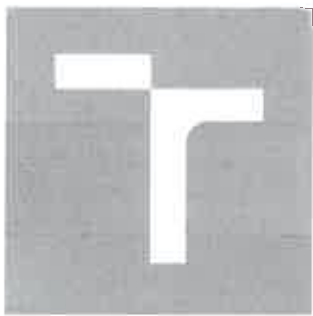
Bc. Ivo Dušek *Business centrum*. Brno, 2018. 175 s., 137 s. příl. Diplomová práce. Vysoké učení technické v Brně, Fakulta stavební, Ústav kovových a dřevěných konstrukcí. Vedoucí práce Ing. Milan Pilgr, Ph.D.

Poděkování patří mému vedoucímu diplomové práce Ing. Milanu Pilgrovi, Ph.D. za trpělivost, schovívavost, ochotu a cenné rady při zpracování diplomové práce. Dále mým rodičům za podporu při studiu. A hlavně mé přítelkyni za trpělivost a podporu při studiu.

Bc. Ivo Dušek

OBSAH DIPLOMOVÉ PRÁCE

1. Povinná část
2. Varianta A
 3. Technická zpráva – Var. A
 4. Statický výpočet – var. A
5. Varianta B
 6. Technická zpráva – Var. B
 7. Statický výpočet – Var. B
8. Porovnání variant
9. Seznam použitých zdrojů
10. Seznam zkratek a symbolů
11. Seznam příloh
12. Přílohy



VYSOKÉ UČENÍ TECHNICKÉ V BRNĚ

BRNO UNIVERSITY OF TECHNOLOGY

FAKULTA STAVEBNÍ

FACULTY OF CIVIL ENGINEERING

ÚSTAV KOVOVÝCH A DŘEVĚNÝCH KONSTRUKCÍ

INSTITUTE OF METAL AND TIMBER STRUCTURES

VARIANTA A

DIPLOMOVÁ PRÁCE

DIPLOMA THESIS

AUTOR PRÁCE

AUTHOR:

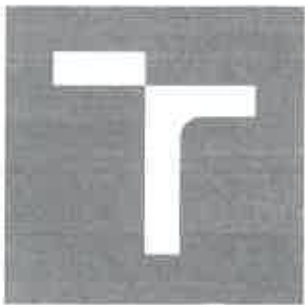
Bc. Ivo Dušek

VEDOUcí PRÁCE

SUPERVISOR

Ing. Milan Pilgr, Ph.D.

BRNO 2018



VYSOKÉ UČENÍ TECHNICKÉ V BRNĚ

BRNO UNIVERSITY OF TECHNOLOGY

FAKULTA STAVEBNÍ
FACULTY OF CIVIL ENGINEERING

ÚSTAV KOVOVÝCH A DŘEVĚNÝCH KONSTRUKCÍ

INSTITUTE OF METAL AND TIMBER STRUCTURES

TECHNICKÁ ZPRÁVA – Varianta A

DIPLOMOVÁ PRÁCE

DIPLOMA THESIS

AUTOR PRÁCE

AUTHOR

Bc. Ivo Dušek

VEDOUCÍ PRÁCE

SUPERVISOR

Ing. Milan Pilgr, Ph.D.

BRNO 2018

1	ÚVOD.....	3
2	ZATÍŽENÍ.....	3
2.1	Zatížení stálé.....	3
2.2	Zatížení proměnné.....	3
3	ZÁSADY NÁVRHU KONSTRUKCE.....	4
4	POPIS KONSTRUKCE A KONSTRUKČNÝCH PRVKŮ.....	4
4.1	Dispoziční řešení, popis konstrukce.....	5
4.1.1	Administrativní budova.....	5
4.1.1.1	Sloupy.....	6
4.1.1.2	Průvlaky.....	6
4.1.1.3	Stropnice.....	6
4.1.1.4	Stropní konstrukce.....	6
4.1.1.5	Svislá ztužidla.....	6
4.1.1.6	Konzoly atria.....	6
4.1.1.7	Konstrukce atria.....	6
4.1.1.8	Schodiště.....	6
4.1.1.9	Střešní pláště.....	7
4.1.1.10	Obvodový pláště.....	7
4.1.2	Zastřešení atria.....	7
4.1.2.1	Střešní pláště.....	7
4.1.2.2	Vaznice.....	7
4.1.2.3	Příhradový nosník.....	7
4.2	Kotvení.....	7
4.2.1	Kotvení administrativní části.....	7
4.2.2	Kotvení atria.....	8
5	MATERIÁL.....	8
6	POVRCHOVÁ ÚPRAVA KONSTRUKCE.....	8
7	VÝROBA, DOPRAVA, MONTÁŽ.....	8
8	VÝKAZ MATERIÁLU.....	9
9	EKONOMICKÉ HLEDISKO.....	9
10	ZÁVĚŘ.....	9

1 ÚVOD

V diplomové práci je vypracován návrh a posouzení prutové ocelové konstrukce budovy pro administrativní účely v Brně. Maximální půdorysné rozměry byly stanoveny na 100x100 m z důvodu velikosti možného pozemku. Půdorys budovy je rotačně symetrický. Budova má 16 nadzemních podlaží. Celková výška objektu je 79,115 m. Ztužení objektu zajišťují svislá ztužidla. V rovině stropu je ztužení zajištěno pomocí spřaženého ocelobetonového stropu.

POUŽITÉ NORMATIVNÍ DOKUMENTY:

- ČSN EN 1990, Eurokód: Zásady navrhování konstrukcí
- ČSN EN 1991-1-1, Eurokód 1: Zatížení konstrukcí - Část 1-1: Obecná zatížení - Objemové třhy, vlastní tíha a užitná zatížení pozemních staveb
- ČSN EN 1991-1-3, Eurokód 1: Zatížení konstrukcí - Část 1-3: Obecná zatížení - Zatížení sněhem
- ČSN EN 1991-1-4, Eurokód 1: Zatížení konstrukcí - Část 1-4: Obecná zatížení - Zatížení větrem
- ČSN EN 1991-1-6, Eurokód 1: Zatížení konstrukcí - Část 1-6: Obecná zatížení - Zatížení během provádění
- ČSN EN 1993-1-1, Eurokód 3: Navrhování ocelových konstrukcí - Část 1-1: Obecná pravidla a pravidla pro pozemní stavby
- ČSN EN 1993-1-8, Eurokód 3: Navrhování ocelových konstrukcí - Část 1-8: Navrhování styčníků
- ČSN EN 1994-1-1, Eurokód 4: Navrhování spřažených ocelobetonových konstrukcí - Část 1-1: Obecná pravidla pro pozemní stavby

2 ZATÍŽENÍ

Statická analýza prutové ocelové konstrukce byla provedena v programu RFEM od společnosti Dlubal. Byl vytvořen prostorový model na němž byly vypočteny účinky stálého a proměnného zatížení konstrukce pomocí metody II. řádu

Zatížení stanoveno dle ČSN EN 1991.

Zatížení je podrobněji rozebráno ve statickém výpočtu.

2.1 Zatížení stálé

Vlastní tíha konstrukce	=> počítana programem RFEM
Strop - administrativní část	=> $g_k = 3,944 \text{ kNm}^{-2}$
Střešní kce - administrativní část	=> $g_k = 4,931 \text{ kNm}^{-2}$
Střešní konstrukce - atrium	=> $g_k = 1,00 \text{ kNm}^{-2}$
Pochozí plocha atria	=> $g_k = 1,00 \text{ kNm}^{-2}$
Opláštění administrativní části	=> $g_k = 1,00 \text{ kNm}^{-2}$
Opláštění atria	=> $g_k = 0,70 \text{ kNm}^{-2}$
Tíha kce schodiště	=> $g_k = 0,60 \text{ kNm}^{-2}$
Atika se zábradlím pochozí střechy	=> $g_k = 2,5 \text{ kNm}^{-1}$
Zábradlí pochozí plochy atria	=> $g_k = 1,00 \text{ kNm}^{-1}$

2.2 Zatížení proměnné

Užitné dle ČSN EN 1991-1-1	
administrativní část	=> $q_k = 3,3 \text{ kNm}^{-2}$
pochozí střecha	=> $q_k = 2,5 \text{ kNm}^{-2}$
pochozí plocha atria	=> $q_k = 2,5 \text{ kNm}^{-2}$
schodiště	=> $q_k = 3,0 \text{ kNm}^{-2}$

Zatížení sněhem

dle ČSN EN 1991-1-3
lokalita Brno, sněhová oblast II
char. hodnota zatížení sněhem $s_k = 1 \text{ kNm}^{-2}$

Zatížení větrem

dle ČSN EN 1991-1-4
lokalita Brno, větrová oblast
výchozí základní rychlosť větru $v_{b,0} = 25 \text{ ms}^{-1}$

Montážní zatížení

dle ČSN EN 1991-1-6
soustředné $\Rightarrow q_k = 1,5 \text{ kNm}^{-2}$
rovnoramenné $\Rightarrow q_k = 0,75 \text{ kNm}^{-2}$

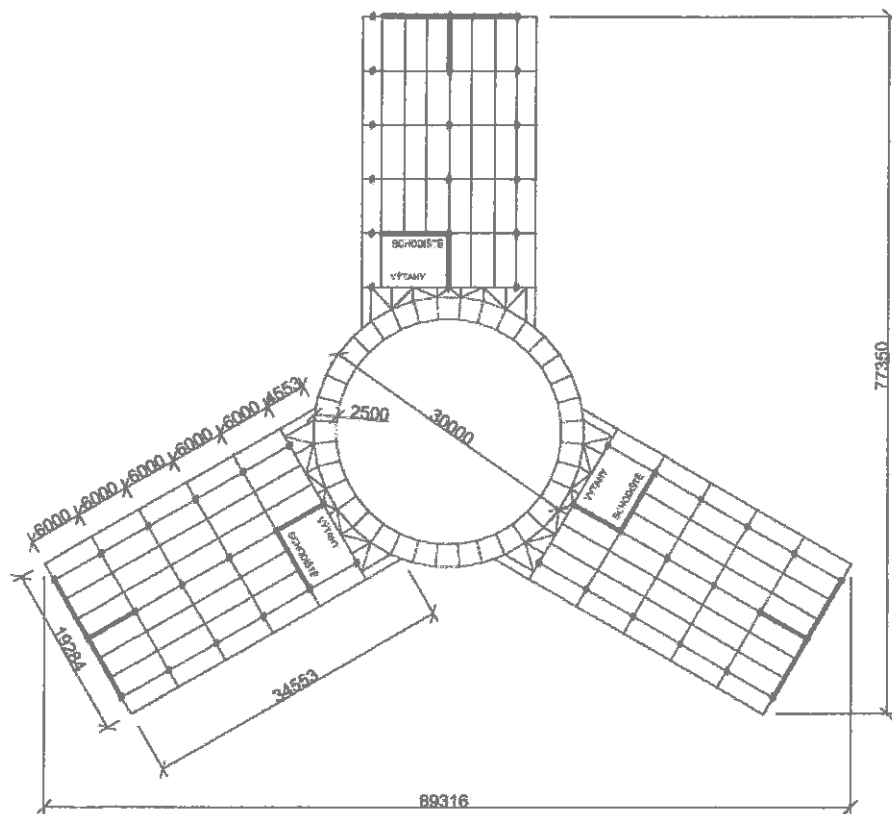
3 ZÁSADY NÁVRHU KONSTRUKCE

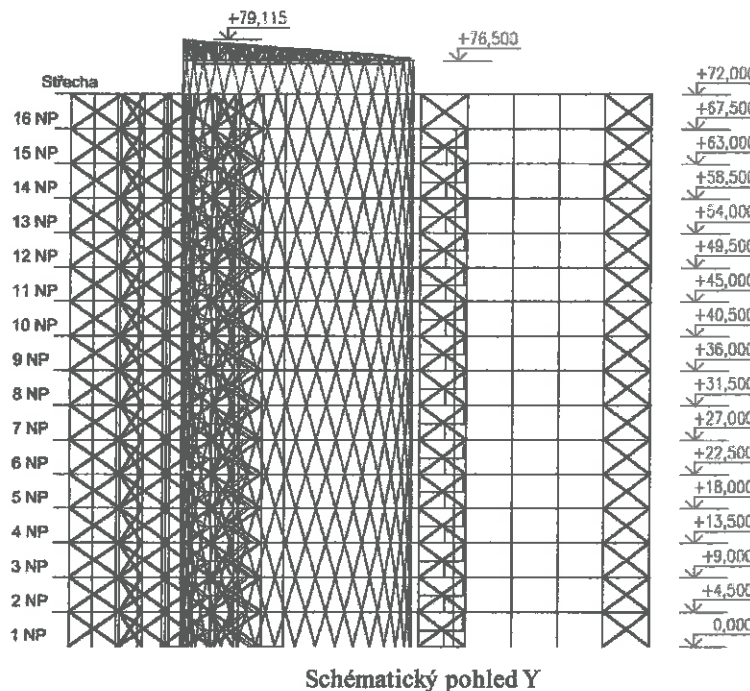
Statické posouzení konstrukce bylo provedeno pro:

I. Mezní stav únosnosti MSÚ - nejnepříznivější kombinace dle 6.10 ČSN EN 1990

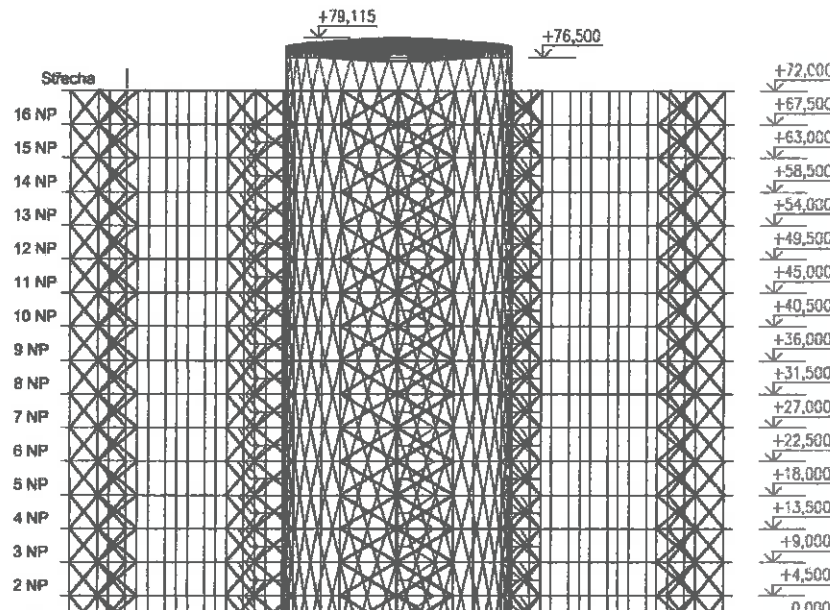
II. Mezní stav použitelnosti MSP - nejnepříznivější kombinace dle 6.14.a ČSN EN 1990

4 POPIS KONSTRUKCE A KONSTRUKČNÍCH PRVKŮ





Schématický pohled Y



Schématický pohled X

4.1 Dispoziční řešení, popis konstrukce

4.1.1 Administrativní budova

Půdorys budovy je rotačně symetrický s rozměry 77,35 x 89,3 m. Tvar a rozměry jsou po výše konstatní. Objekt se zkládá z kruhového příhradového atria ke kterému přiléhají tři křídla administrativních částí. Atrium ma uvnitř po obvodu vyložen na konzolách pochozí prstenec, který umožnuje pohyb mezi jednotlivými křídly. Konstrukce administrativní části má sloupy rozmištěny v rastru 6 x 7,5 m. Budova má celkem 16 podlaží. Konstrukční výška jednoho patra je 4,5 m. Nad stropem posledního patra je konstrukce pochozí střechy. Po obvodu je atika se zábradlím. V nejbližším poli k atriu se nachází schodiště a místo pro šachty výtahů. Tuhost konstrukce je ve vodorovném směru zajištěna spřaženými ocelobetonovými stropy. V příčném a podélném směru je zajištěno ztužidly na koncích podélného směru. Všechny stropy jsou spřažené. Kci tvoří stropnice se spřahovacími trny přes trapézový plech tvořící ztracené bednění betonové desky.

4.1.1.1 Sloupy

Krajní sloupy jsou navrženy jako kynné stojky na jedno patro. Vnitřní sloupy jsou navrženy přes dvě patra. Montážní styky jsou provedeny pomocí čelních desek přivařených koutovými svary a zajištěny šrouby M20 8.8. Kotvení je kloubové. Krajní sloupy jsou oboustranně přichyceny k průvlakům spojenými šrouby M12 8.8 k pásnici průvlaku.. Průrezy sloupů jsou válcované HEB profily odstupnované po 1 až 2 patrech. V 1. patře je kombinace HEB650 a HEB500 ve 2. HEB 600 HEB500. 3. a 4. patro HEB500. 5. a 6. patro HEB 450. V 7. a 8. patře HEB400. 9. a 10. patro HEB 300. 11 12. patro HEB260. 13. a 14. patro HEB240 a v 15.a 16. patře HEB200.

4.1.1.2 Průvlaky

Průvlaky jsou tvořeny prostými nosníky s převyslím koncem o délce 9,642 m. V poli délka 7,5 m a konzolová část 2,142 m. Jsou situovány v příčném směru. Na jednom konci klubově přichycen k vnitřnímu sloupu šrouby M12 8.8 a ke krajním sloupům klubově takéž šrouby M12 8.8. Pod sloupy v krajní části jsou vervařeny výstuhy s plechu tloušťky korespondující k tloušťce pásnice sloupu nad průvlakem. Průvlaky jsou navrženy z profilu IPE 450 z oceli S235 a krajní průvlaky z profilu IPE 360. Průvlaky jsou konstrukčně spřaženy s betonovou stropní deskou.

4.1.1.3 Stropnice

Stropnice tvoří prosté nosníky o délce 6m. Běžná rozteč je 2,5 m. U krajních sloupů je rozteč stropnic 2,321 m a 2,142 m. Jsou spřaženy s betonovou deskou pomocí spřahovacích trnů. Trny jsou provářeny skrz trapézový plech. Stropnice jsou oboustraně klubově připojeny k stojánám průvlaku a sloupů. Horní část pásnice je vyřízlá z důvodu spojení s průvlakem. Jsou navrženy z profilu IPE240. V krajních polích jsou stropnice profilu IPE 180, IPE 200 a IPE220 dle zatížení.

4.1.1.4 Stropní konstrukce

Stropy tvoří spřažená ocelobetonová konstrukce. Na stropnice a průvlaky je položen trapézový plech TR 50/250 tloušťky 1mm v pozitivní poloze. Směr žeber je kolmý ke stropnicím. Skrze plech jsou přivařeny spřahovací trny s hlavou. Trny mají délku 100mm a průměr 19 nebo 22 mm. Celková tloušťka desky je 120mm (50vlna + 70deska). Betonová deska bude doplněna výstuží která není řešena v diplomové práci.

4.1.1.5 Svislá ztužidla

Ztužidla jsou tvořena zkříženými prutty. Nejsou spojeny každý působý jednotlivě a to pouze v tahu. Profil ztužidel je v 1. až 8. patře RD40 a v 9. až 16. profil RD30. Jsou oboustraně klubově připojena ke sloupům pomocí čepového spoje o průměru 50mm resp. 35mm. Styčníkový plech je přivařen k pásnici sloupu. Ztužidla budou osazena napínáky které budou mít stejnou únosnost jako profil ztužidla. Kratší díl ztužidla levý závit, delší část pravý závit.

4.1.1.6 Konzoly atria

Jsou tvořeny profily HEA 260 a jsou vloženy do konstrukce atria se kterou tvoří tuhý spoj. Délka konzoly je 2,5 m. Konce konzol jsou propojeny nosníky UPE 200 které stabilizují konzolu z roviny a slouží k uchycení zábradlí. Profil je natočen o 90° takže je ohýbán na měkkou osu a nedochází ke klopení.

4.1.1.7 Konstrukce atria

Konstrukce tvoří plochu válce o průměru 30 m. Je tvořena z profilu CHS 255,5 x 10. Je odstupnovaná po výšce pomocí profilů CHS 255,5 x 8 a CHS 255,5 x 6. Styčníky jsou tuhé aby přenášely ohybové momenty z konzoly do konstrukce. Na konstrukci je upevněna fasáda ze skleněných tabulí které jsou bodově uchyceny do konstrukce.

4.1.1.8 Schodiště

Nosné prvky schodišť byly navrženy konstrukčně. Tvoří zalomené nosníky a v diplomové práci nejsou řešeny, byly použity pouze na aplikaci zatížení. Schodnice sou tvořeny profily UPE 300.

4.1.1.9 Střešní plášt'

Střešní plášt' tvoří plochá pochozí střecha se sklonem $1,5^\circ$. Spádová vrstva je tvořena perlit betonem. Izolace je z tuhých desek. Hydroizolaci tvoří PVC folie. Atika je 750 mm vysoká, vyzděná z cihel porotherm a je osazena zábradlím. Skladba střechy je osazena i s atikou na ocelobetonový strop posledního patra.

4.1.1.10 Obvodový plášt'

Obvodový plášt' tvoří hliníkový kazetový fasádní systém s prosklenými tabulemi v rámech. Orientace nosných rámů je svislá a uvažuje se uchycení mezi krajními stropnicemi a průvlaky.

4.1.2 Zastřešení atria

Je provedeno šesti příhradovými vazníky na kterých jsou uloženy vaznice.

4.1.2.1 Střešní plášt'

Uvažuje se že střešní plášt' bude tvořen skleněnými tabulemi, které budou uchyceny bodově na konstrukci vaznic a vazníků. Bude použito trojsklo s pojistnými lankami proti zřícení skla v případě porušení.

4.1.2.2 Vaznice

Vaznice jsou prosté nosníky oboustraně kloubově uloženy na vazníky pomocí žiletek a šrouby M12 6.8. Jsou bodově zatíženy od střešního pláště. Délka je různá od 7,5m po ± 1 m. Jsou použity profily RHS s pevností S235

4.1.2.3 Příhradový nosník

Příhradový vazník má proměnou výšku, je v jednom spádu 5° . Všechny vazníky tvoří šíkmou rovinu proto jsou jejich výšky rozdílné.

Horní pás: Profil CHS 273x6 a CHS 273x5. Délka horního pásu je 29,641 m. Délka mezi jednotlivými styčníky je 1,411 m. Vzpěrná délka je rovna této vzdálenosti pro oba směry, jelikož je v každém styčníku připojena vaznice.

Dolní pás: Profil CHS 219.1x8 a CHS 219.1x4 délka pásu je 26,73 m Délka mezi styčníky je 1,407 m. Vzpěrná délka v rovině je 1,407 m. a z roviny je vazník stabilizován tálou po cca. 5m. Táhla nejsou řešena v diplomové práci, protože jejich zatížení je minimální.

Svislice: Jsou tvořeny profily CHS 114.3x4. Délky svislic jsou proměnné. Max. délka je 3m. Kloubově připojeny k hornímu a dolnímu pásu.

Diagonály: 1. tlačená diagonála má profil CHS 114.3x5. Zbytek diagonál je tvořen o profiem CHS 114.3x4 mají různou systémovou délku. Max. délka je 3,212 m. Kloubově připojeny k hornímu a dolnímu pásu.

4.2 Kotvení

4.2.1 Kotvení administrativní části

Kotvení je navrženo jako kloubové. Sloup je přivařen koutovým obvodovým svarem k patnímu plechu který je z oceli S355. Plechy jsou tloušťky 40mm. Podlití je 40 mm. Základové patky jsou z betonu třídy C20/25. Kotevní šrouby jsou navrženy konstrukčně jako 2x závitová tyč M20. Tolerance provádění ± 20 mm. Kotevní plech je opatřen smykovou zarážkou k přenosu smykových sil. Zarážka je z úpalku profilu HEB 200 délky 240mm a je připojen k patnímu plechu koutovým obvodovým svarem.

4.2.2 Kotvení atria

Kotvení je navrženo jako kloubové. Nosníky jsou přivařeny koutovými obvodovými svary k patnímu plechu který je z oceli S355. Plechy jsou tloušťky 25mm. Podliti je 40 mm Základové patky jsou z betonu třídy C20/25. Kotevní šrouby jsou navrženy konstrukčně jako 2x závitová tyč M20. Tolerance provádění $\pm 20\text{mm}$. Kotevní plech je opatřen smykovou zarážkou k přenosu smykových sil. Zarážka je z úpalku profilu HEB 260 délky 300mm a je připojen k patnímu plechu koutovým obvodovým svarem.

5 MATERIÁL

Sloupy	ocel S355 JR
Stropní konstrukce	oceli S235 JR, S320 GD beton C 30/37
Diagonály ztužidel	ocel S355 JR
Konstrukce atria	ocel S235 JR
Konstrukce zastřešení	ocel S235 JR
Základové konstrukce	C20/25

Spřahovací trny s pevností 360 MPa
Spojovací materiál - šrouby 8.8 a 6.8
Kotevní šroby předem zabetonovány S235

6 POVRCHOVÁ ÚPRAVA KONSTRUKCE

Ocelovou konstrukci je nutno chránit proti korozi. Povrchová ochrana bude provedena pomocí nátěru v souladu s platnými normami ČSN EN ISO 129 44 Nátěrové hmoty - protikorozní ochrana ocelových konstrukcí ochranými nátěrovými systémy. Všechny ocelové prvky budou opatřeny antikorozním. Antikorozní nátěrový systém dle stupně korozní agresivity prostředí C2 (zaklad. 80μm a vrchní nátěr 80μm).

7 VÝROBA, DOPRAVA, MONTÁŽ

Dílnské spoje jsou svařované a budou provedeny ve výrobně. Výroba bude dle ČSN EN 1990-2 Provádění ocelových konstrukcí. Prvky musí být z výroby dodány tvarově neporušené a s neporušeným základním nátěrem. Třída provedení EXC2 Doprava konstrukce bude probíhat po jednotlivých prvcích.

Postup montáže:

Montáž konstrukce bude probíhat po jednotlivých patrech. Začne se montáží 1. a 2. patra konstrukce atria na již připravené únosné základy. poté se osadí vnitřní sloupy a krajní sloupy 1. patra. Zajistí se jejich vertikální poloha a osadí se průvlaky. Následují stropnice 1. patra. Poté krajní sloupy 2. patra a osazení průvlaků se stropnicemi 2. patra. Osadí se ztužidla. Za probíhající montáží 3. a 4. patra atria se mohou osadit trapézové plechy 1. a 2. patra zajistí se bodovými svary ke stropnicím. Montáž konstrukce schodiště. Při montáži dalších pater se postupuje stejným způsobem až se dojde do posledního patra. Na poslední patro atria se osadí vazníky zajistí se táhly proti vybočení a osadí se vaznice.

8 VÝKAZ MATERIÁLU

Výkaz materiálu vybraných prvků jsou ve výkresech

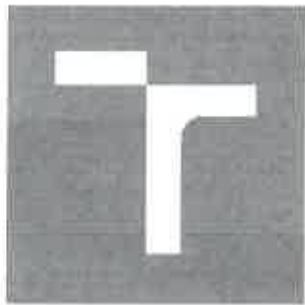
9 EKONOMICKÉ HLEDISKO

Celková přibližná hmotnost konstrukce	1 954 910 t
Zastavěná plocha	2644,5 m ²
Obestavěný prostor	190 404 m ³

Průměrná hmotnost je 739,24 kg m⁻² a 10,26 kg m⁻³

10 ZÁVĚR

Konstrukce je navržena dle platných norem a vyhovuje na I. a II. mezní stav.



VYSOKÉ UČENÍ TECHNICKÉ V BRNĚ

BRNO UNIVERSITY OF TECHNOLOGY

FAKULTA STAVEBNÍ
FACULTY OF CIVIL ENGINEERING

ÚSTAV KOVOVÝCH A DŘEVĚNÝCH KONSTRUKCÍ

INSTITUTE OF METAL AND TIMBER STRUCTURES

STATICKÝ VÝPOČET – Varianta A

DIPLOMOVÁ PRÁCE

DIPLOMA THESIS

AUTOR PRÁCE

AUTHOR

Bc. Ivo Dušek

VEDOUCÍ PRÁCE

SUPERVISOR

Ing. Milan Pilgr, Ph.D.

BRNO 2018

OBSAH

1. ÚVOD.....	6
2. GEOMETRIE.....	7
3. VÝPOČTOVÝ MODEL.....	9
4. ZATÍŽENÍ.....	12
4.1 ZATÍŽENÍ STÁLÉ.....	12
4.1.1 Vlastní tíha konstrukce.....	12
4.1.2 Strop – administrativní část.....	12
4.1.3 Střešní konstrukce – administrativní část.....	12
4.1.4 Střešní konstrukce – atrium.....	12
4.1.5 Pochází plocha atria.....	13
4.1.6 Opláštění administrativní části.....	13
4.1.7 Opláštění atria.....	13
4.1.8 Tíha konstrukce schodiště.....	13
4.1.9 Atika se zábradlím pochozí střechy.....	13
4.1.10 Zábradlí pochozí plochy atria.....	14
4.2 ZATÍŽENÍ PROMĚNNÉ.....	14
4.2.1 Užitné - administrativna část.....	14
4.2.2 Užitné – střecha výchozí.....	14
4.2.3 Užitné – pochozí plocha atria.....	14
4.2.4 Užitné – schodiště.....	14
4.2.5 Zatížení sněhem.....	14
4.2.6 Zatížení větrem.....	14
4.3 ZATEŽOVACÍ STAVY.....	16
4.3.1 ZS 1 – Vlastní tíha.....	16
4.3.2 ZS 2 – Stropní kce administrativní části.....	16
4.3.3 ZS 3 – Střešní kce administrativní části.....	16
4.3.4 ZS 4 – Atika střechy administrativní části.....	17
4.3.5 ZS 5 – Pochozí plocha atria + zábradlí.....	17
4.3.6 ZS 6 – Strěšní konstrukce atria.....	18
4.3.7 ZS 7 – Schodiště.....	20
4.3.8 ZS 8 – Obvodový plášť administrativní části.....	20
4.3.9 ZS 9 – Obvodový plášť atria.....	21
4.3.10 ZS 10 – Užitné – Kancelářské – Plné.....	21
4.3.11 ZS 11 – Užitné – Kancelářské – Šach 1	22
4.3.12 ZS 12 – Užitné - Kancelářské – Šach 2	22
4.3.13 ZS 13 – Užitné - Střecha.....	23



4.3.14 ZS 14 – Užitné - atrium.....	23
4.3.15 ZS 15 – Užitné – schodiště.....	24
4.3.16 ZS 16 – Sníh.....	24
4.3.17 ZS 17 – Sníh – návěj.....	27
4.3.18 ZS 18 – Vítr A.....	27
4.3.19 ZS 19 – Vítr B.....	37
4.4 KOMBINACE.....	41
4.4.1 Mezní stav únosnosti – MSÚ.....	41
4.4.2 Mezní stav použitelnosti – MSP.....	42
5. POSOUZENÍ VYBRANÝCH PRVKŮ.....	43
5.1 SPŘAŽENA STROPNICE.....	43
5.1.1 Zatížení.....	44
5.1.2 Posouzení trapézového plechu.....	44
5.1.3 Posouzení – ohyb – faze 1.....	46
5.1.4 Posouzení – smyk – faze 2.....	46
5.1.5 Posouzení – ohyb – faze 2.....	46
5.1.6 Návrh spřažení.....	47
5.1.7 Posouzení průhybů – faze 1.....	49
5.1.9 Posouzení průhybů – faze 2.....	49
5.2 SPŘAŽENÝ PRŮVLAK.....	58
5.2.1 Zatížení.....	59
5.2.2 Posouzení – ohyb - fáze 1.....	60
5.2.3 Posouzení – smyk - fáze 2.....	60
5.2.4 Posouzení – ohyb – faze 2.....	61
5.2.5 Návrh spřažení.....	62
5.2.6 Posouzení průhybu – faze 1.....	64
5.2.7 Posouzení průhybu – faze 2.....	64
5.3 SLOUPY.....	67
5.3.1 Zatížení.....	67
5.3.2 Posouzení – vzpěr.....	68
5.4 ZTUŽUJÍCI PRUTY V NAPOJENÍ.....	74
5.4.1 Zatížení a vnitřní síly.....	74
5.4.2 Posouzení – Ohyb a osový tlak.....	74
5.5 KONSTRUKCE ATRIA.....	76
5.5.1 Zatížení a vnitřní síly.....	76
5.5.2 Posouzení – Ohyb a osový tlak – patra 1-4.....	76



5.5.3 Posouzení – Ohyb a osový tlak – patra 5-9 + prstence.....	79
5.5.4 Posouzení - Ohyb a osový tlak – patra 10 - 16.....	81
5.6 KONZOLA.....	84
5.6.1 Zatížení a vnitřní síly.....	84
5.6.2 Posouzení – ohyb a osový tlak.....	85
5.6.3 Posouzení – průhyb.....	85
5.7 PRSTENEC.....	86
5.7.1 Zatížení a vnitřní síly.....	86
5.7.2 Posouzení – ohyb a osový tlak.....	86
5.8 VAZNÍKY.....	89
5.8.1 Zatížení a vnitřní síly.....	89
5.8.2 Posouzení – Horní pás, část 1.....	89
5.8.3 Posouzení – Horní pás, část 2.....	92
5.8.4 Posouzení – Dolní pás, část 1.....	94
5.8.4 Posouzení – Dolní pás, část 2.....	95
5.8.6 Posouzení – 1.tlačená diagonála.....	95
5.8.7 Posouzení – diagonály a svislice vazníku.....	96
5.8.8 Posouzení – Vazník 1 – Průhyb.....	98
5.8.9 Posouzení – Vazník 2.....	98
5.8.10 Posouzení - Vazník 3.....	99
5.9 VAZNICE IV.....	101
5.9.1 Zatížení a vnitřní síly.....	101
5.9.2 Posouzení – Smyk.....	102
5.9.3 Posouzení – dvouosý ohyb.....	103
5.9.4 Posouzení průhybu.....	103
5.9.5 Porovnání výsledků.....	104
5.10 VAZNICE I.....	109
5.10.1 Zatížení a vnitřní síly.....	109
5.10.2 Posouzení – ohyb a osový tlak.....	109
5.11 ZTUŽIDLA ADMINISTRATIVNÍ ČÁSTI.....	113
5.11.1 Zatížení a vnitřní síly.....	113
5.11.2 Posouzení – Tah – Ztužidla v podlažích 1-8.....	113
5.11.3 Posouzení – Tah – Ztužidla v podlažích 9-16.....	113
6 POSOUZENÍ SPOJŮ.....	114
6.1 SPOJ STROPNICE – PRŮVLAK.....	114
6.1.1 Posouzení – stříh.....	115
6.1.2 Posouzení – otlačení.....	115



6.1.3 Posouzení – styčníkového plechu.....	115
6.1.4 Posouzení – Svaru plech – průvlak.....	116
6.2 SPOJ PRŮVLAK SLOUP.....	117
6.2.1 Posouzení – střih.....	118
6.2.2 Posouzení – otlačení.....	118
6.2.3 Posouzení – Tah.....	118
6.2.4 Posouzení – protlačení.....	118
6.2.5 Posouzení – čelní desky.....	119
6.2.6 Posouzení – svaru stojna – čelní deska.....	119
6.3 SPOJ ZTUŽIDLO – SLOUP 1-8 patro.....	120
6.4 SPOJ ZTUŽIDLO - SLOUP 9-16 patro.....	122
6.5 SPOJ VAZNICE VAZNÍK.....	124
6.5.1 Posouzení – střih.....	125
6.5.2 Posouzení – Otláčení.....	125
6.5.3 Posouzení – styčníkového plechu.....	125
6.5.4 Posouzení – svaru plech – prvek.....	126
6.6 ČEPOVÝ SPOJ VAZNÍKU S ATRIEM.....	127
6.7 SPOJ PŘÍHRADOVÉHO VAZNÍKU.....	129
6.8 STYČNÍK ATRIA.....	131
6.9 KOTVENÍ.....	132
6.10 KOTVENÍ – ATRIUM.....	134
7 POSOUZENÍ MSP.....	136



1 ÚVOD

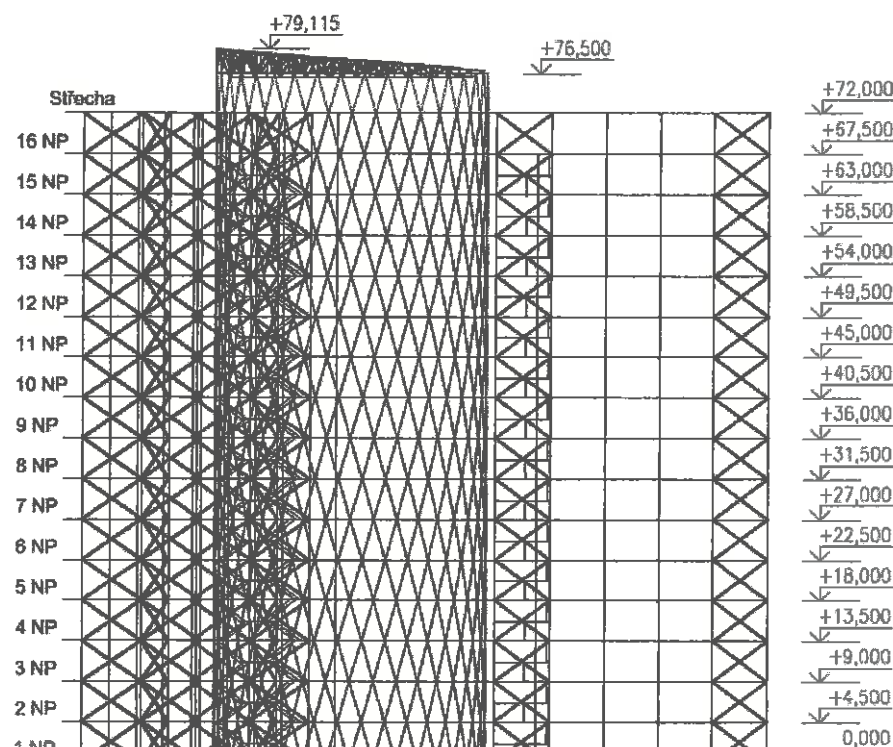
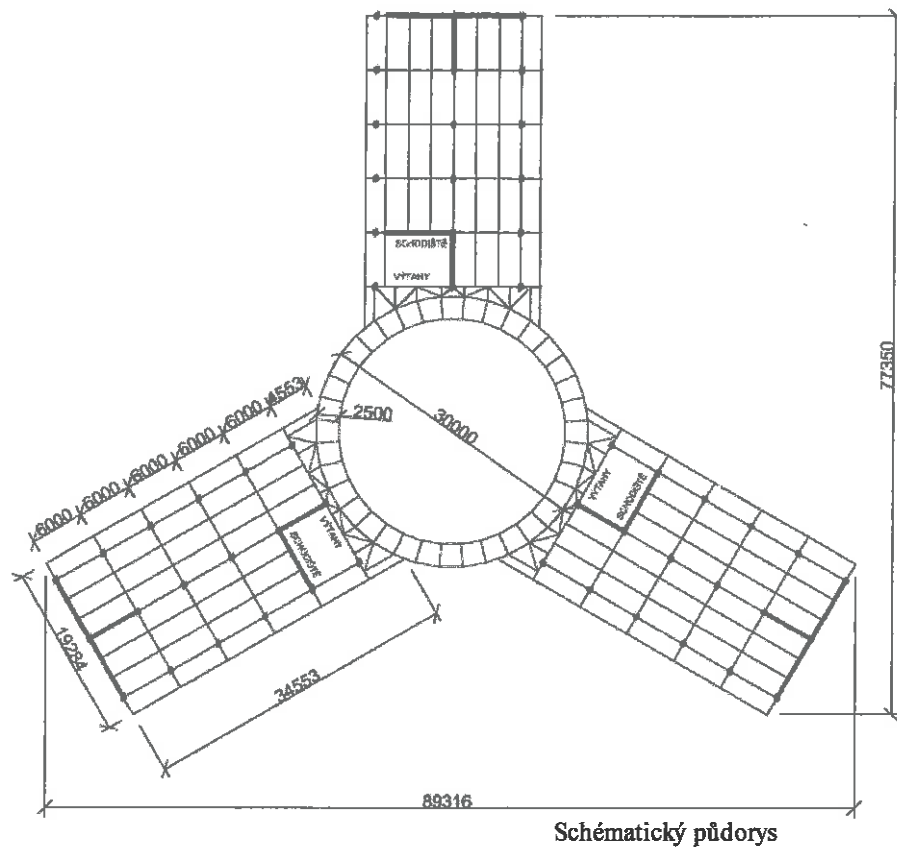
V diplomové práci je vypracován návrh a posouzení ocelové konstrukce budovy pro administrativní účely v Brně. Maximální půdorysné rozměry byly stanoveny na 100x100 m z důvodu velikosti možného pozemku. Půdorys budovy je rotačně symetrický. Budova má 16 nadzemních podlaží. Celková výška objektu je 79,115 m. Ztužení objektu zajišťují svislá ztužidla. V rovině stropu je ztužení zajištěno pomocí spřaženého ocelobetonového stropu.

Statická analýza ocelové konstrukce byla provedena v programu RFEM od společnosti Dlubal. Byl vytvořen prostorový model na němž byly vypočteny účinky stálého a proměnného zatížení konstrukce pomocí metody II. řádu. Zatížení stanoveno dle ČSN EN 1991. Zatížení je podrobněji rozebráno ve statickém výpočtu.

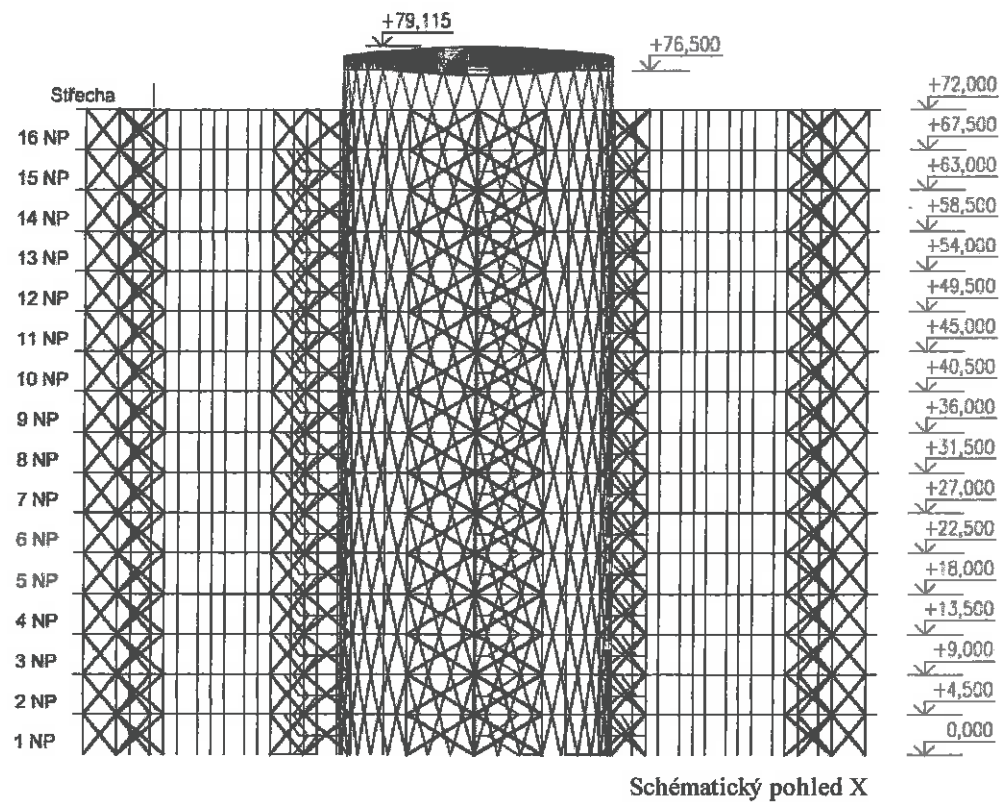
POUŽITÉ NORMATIVNÍ DOKUMENTY:

- ČSN EN 1990, Eurokód: Zásady navrhování konstrukcí
- ČSN EN 1991-1-1, Eurokód 1: Zatížení konstrukcí - Část 1-1: Obecná zatížení - Objemové tíhy, vlastní tíha a užitná zatížení pozemních staveb
- ČSN EN 1991-1-3, Eurokód 1: Zatížení konstrukcí - Část 1-3: Obecná zatížení - Zatížení sněhem
- ČSN EN 1991-1-4, Eurokód 1: Zatížení konstrukcí - Část 1-4: Obecná zatížení - Zatížení větrem
- ČSN EN 1991-1-6, Eurokód 1: Zatížení konstrukcí - Část 1-6: Obecná zatížení - Zatížení během provádění
- ČSN EN 1993-1-1, Eurokód 3: Navrhování ocelových konstrukcí - Část 1-1: Obecná pravidla a pravidla pro pozemní stavby
- ČSN EN 1993-1-8, Eurokód 3: Navrhování ocelových konstrukcí - Část 1-8: Navrhování styčníků
- ČSN EN 1994-1-1, Eurokód 4: Navrhování spřažených ocelobetonových konstrukcí - Část 1-1: Obecná pravidla pro pozemní stavby

2 GEOMETRIE

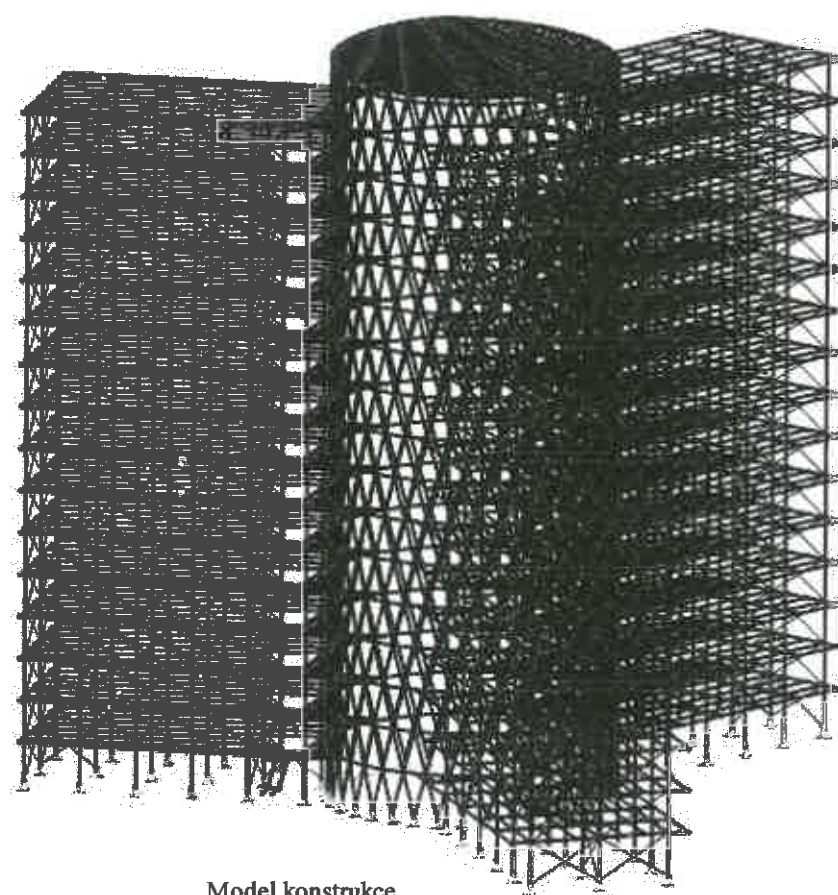


Schématický pohled Y

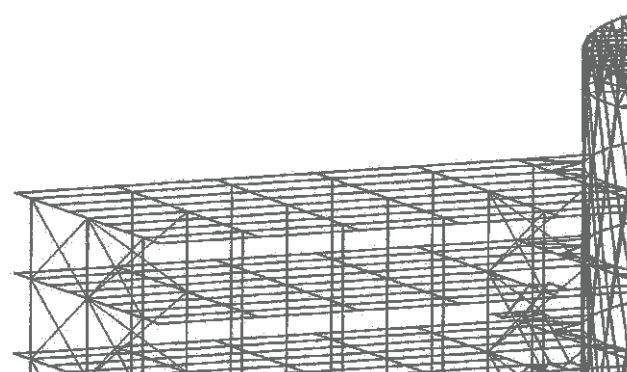


3 VÝPOČTOVÝ MODEL

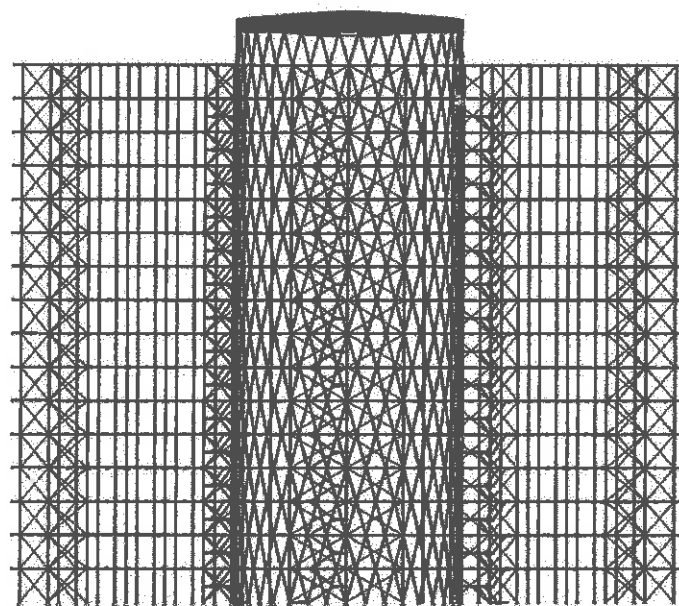
Vytvořen pomocí programu RFEM jako prostorová konstrukce. Podpory jsou modelovány jako pevné kloubové. Sloupy modelovány jako kyvné stojky na krajích konstrukce, ve středu konstrukce jsou pruty průběžné přes více pater. Stropnice a průvlaky jsou uloženy kloubově. Sloupy, stropnice, průvlaky, pruty atria, vaznice a vazníky jsou modelovány jako prvky typu Nosnfk. Ztužidla jsou modelovány jako prvky typu Tahový prut. Ztužení v rovine stropní kce je modelováno ekvivalentním příhradovým ztužením pomocí prutu s nulovou hmotností. Příhradové vazníky zastřešení atria jsou uloženy kloubově. Pruty příhradového vazníku také kloubově spojeny s pruty dolního a horního pasu.



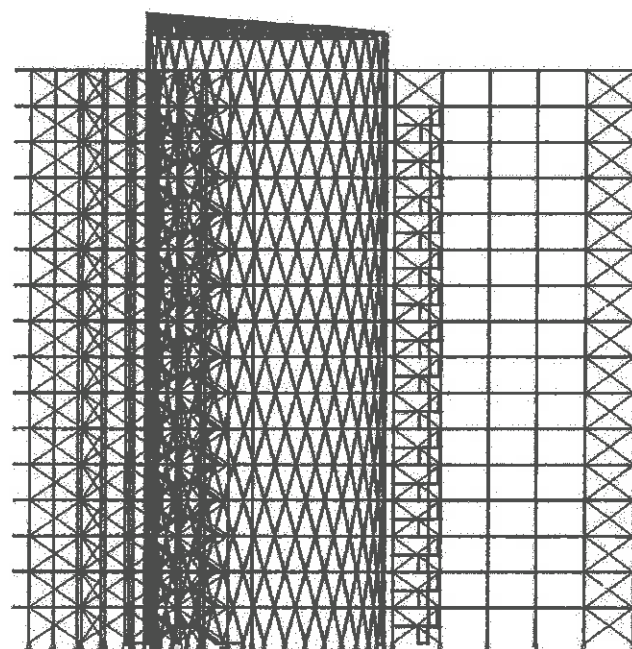
Model konstrukce



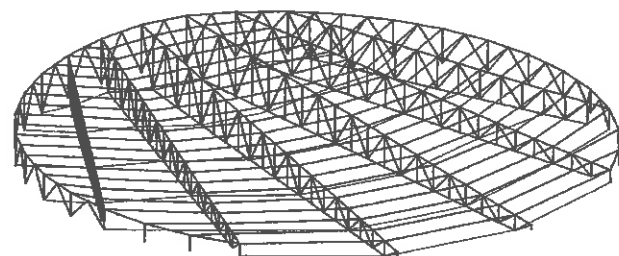
detail



Smer x



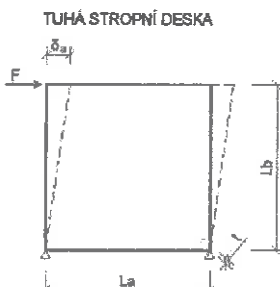
Směr y



Zastřešení atria

EKVIVALENTNÍ VODOROVNÉ ZTUŽIDLO:

Stropy jsou tvořeny spřaženou deskou betonovanou do trapézového plechu.
Účinky tohoto ztužení jsou do modelu vloženy pomocí příhradového ztužidla
které je tvořeno prutem jehož průřez je vypočítán níže.



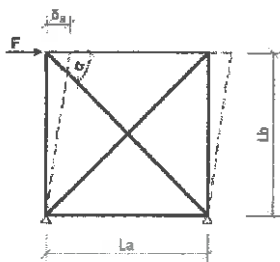
$$E = 210 \cdot 10^6 \text{ kPa}$$

$$E_{cm} = 31 \cdot 10^6 \text{ kPa} \quad G = 0.42 \cdot E_{cm} = 0.42 \cdot (31 \cdot 10^6) \\ G = 1.302 \times 10^7 \text{ kPa}$$

$$t = 87 \text{ mm} \quad (\text{průměrná tloušťka desky})$$

$$a = \sqrt{\frac{G \cdot t \left(L_a^2 + L_b^2 \right)^{\frac{3}{2}}}{2 \cdot L_a \cdot L_b \cdot E}}$$

EKVIVALENTNÍ VODOROVNÉ ZTUŽIDLO



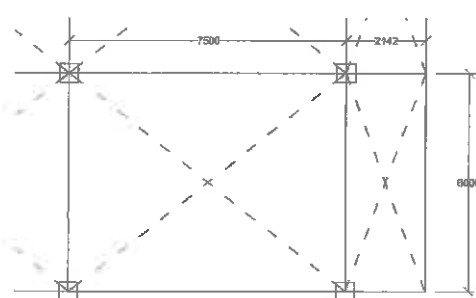
Pole 7,5x6 m

$$L_a = 7.500 \text{ m} \quad L_b = 6 \text{ m}$$

$$a = \sqrt{\frac{G \cdot t \left(L_a^2 + L_b^2 \right)^{\frac{3}{2}}}{2 \cdot L_a \cdot L_b \cdot E}} = \sqrt{\frac{0.42 \cdot (31 \cdot 10^6) \cdot 0.087 \cdot (7.500^2 + 6^2)^{\frac{3}{2}}}{(2 \cdot 7.500 \cdot 6) \cdot (210 \cdot 10^6)}}$$

$$a = 0.23 \text{ m}$$

$a = 230 \text{ mm} \Rightarrow \text{použit profil } 230 \times 230 \text{ mm}$



Pole 6x2,114 m

$$L_a = 6 \text{ m} \quad L_b = 2.142 \text{ m}$$

$$a = \sqrt{\frac{G \cdot t \left(L_a^2 + L_b^2 \right)^{\frac{3}{2}}}{2 \cdot L_a \cdot L_b \cdot E}} = \sqrt{\frac{0.42 \cdot (31 \cdot 10^6) \cdot 0.087 \cdot (6^2 + 2.142^2)^{\frac{3}{2}}}{(2 \cdot 6 \cdot 2.142) \cdot (210 \cdot 10^6)}}$$

$$a = 0.233 \text{ m}$$

$a = 233 \text{ mm} \Rightarrow \text{použit profil } 240 \times 240 \text{ mm}$

4 ZATÍŽENÍ

4.1 ZATÍŽENÍ STÁLÉ

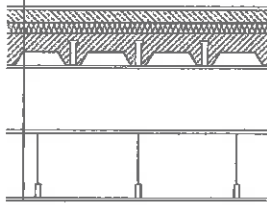
4.1.1 Vlastní tíha konstrukce

Vlastní tíha je automaticky generována programem RFEM, u spřažených stropů se generuje pouze vlastní tíha ocelového nosníku a betonová deska je zahrnutá v zatěžovacím stavu.

4.1.2 Strop - administrativní část

Ocelobetonová spřažená konstrukce.

- Zátěžový koberec
- Betonová mazanina tl.50mm
- PE folie
- Kročejová izolace 40mm
- ŽB deska 50+70mm
- Trapézový plech
- Ocelový profil
- Podhled SDK

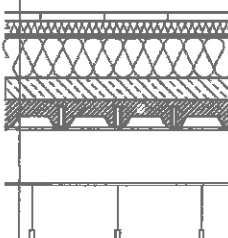


Vrstva	tloušťka (mm)	objem tíha (kN/m³)	g _k (kN/m²)
Koberec	10	2,5	0,025
Betonová mazanina	50	25	1,25
Kročejová izolace	40	1,15	0,046
ŽB deska	70	25	1,75
ŽB vlny plechu 4x – A=4,225 * 10⁻³ m²	50	25	0,423
Trapézový plech TR 50/250 – 1,00			0,1
Ocelový nosník			
TZB, osvětlení			0,2
SDK podhled			0,15
Celkem			3,944

4.1.3 Střešní konstrukce - administrativní část

Plochá střecha na ocelobetonovém spřaženém stropu.

- Betonová dlažba s terčí
- Ochranná geotextilie PP
- Tepelná izolace XPS tl. 60 mm
- Separační geotextilie PP
- Fóliová hydroizolace PVC-P
- Separační geotextilie PP
- Tepelná izolace EPS 150 S tl.180 mm
- Parotěsná fólie asfaltová s AL vložkou
- Perlítbeton ve spádu (max. tl.200 mm)
- ŽB deska 50+70mm
- Trapézový plech
- Ocelový profil
- Podhled SDK



Vrstva	tloušťka (mm)	objem tíha (kN/m³)	g _k (kN/m²)
Betonová dlažba s terčí	40	25	1
Ochrana geotextilie PP 500 g/m²	2	2,5	0,005
Tepelná izolace XPS	60	3	0,19
Separační geotextilie PP 300 g/m²	2	1,5	0,003
Fóliová hydroizolace PVC-P	1,5	12	0,018
Separační geotextilie PP 300 g/m²	2	1,5	0,003
Tepelná izolace EPS 150 S	180	2,5	0,047
Parotěsná fólie asfaltová s AL vložkou	2	1,15	0,042
Betonová mazanina – Perlítbeton max. tl. 200mm	200	5	1
ŽB deska	70	25	1,75
ŽB vlny plechu 4x – A=4,225 * 10⁻³ m²	50	25	0,423
Trapézový plech TR 50/250 – 1,00			0,1
Ocelový nosník			
TZB, osvětlení			0,2
SDK podhled			0,15
Celkem			4,931

4.1.4 Střešní konstrukce - atrium

Střešní plášt atria je tvořen skleněnými panely upevněnými pomocí tzv. "point fix" systémem s uvažovanou tíhou:

$$g_k = 1.00 \text{ kN} \cdot \text{m}^{-2}$$

4.1.5 Pochozí plocha atria

Podlaha pochozí části atria je uvažována jako sleněná a uvažované zatížení je odhadnuto na:

$$g_k = 1.00 \text{ kN}\cdot\text{m}^{-2}$$

4.1.6 Opláštění administrativní části

Opláštění administrativní části bude pomocí kazetového systému z hliníkových rámu a izolačního trojskla. V DP není podrobně řešen výrobce a typ fasádního systému proto by proveden odhad zatížení od opláštění

Odhad zatížení byl stanoven na:

$$g_k = 1.00 \text{ kN}\cdot\text{m}^{-2}$$

4.1.7 Opláštění atria

Opláštění atria bude provedeno pomocí skleněné fasády s uchyty "point fix" Výrobce ani typ nebyl určen a proto byl proveden odhad zatížení na:

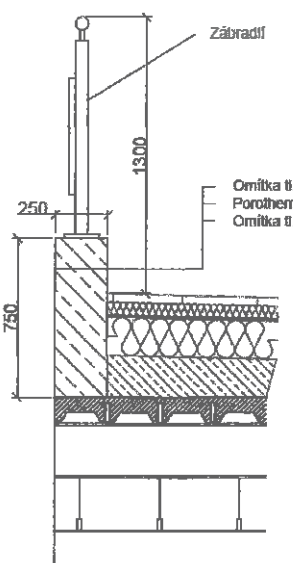
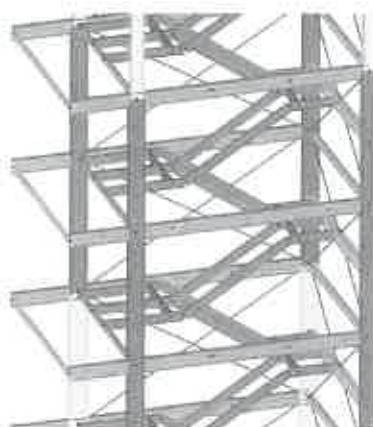
$$g_k = 0.70 \text{ kN}\cdot\text{m}^{-2}$$

4.1.8 Tiha konstrukce schodiště

Konstrukce schodiště je z profilů UPE 300 a ocelových roštů a schodišťových stupňů z pororoštu. V DP nebyla kce podrobně řešena. Šířka schodiště je uvažována 1200mm.

Odhad zatížení od roštů by stanoven na:

$$g_k = 0.60 \text{ kN}\cdot\text{m}^{-2}$$



4.1.9 Atika se zábradlím pochozí střechy

Atika je vyzděna z tvárnic Porotherm na kterou je přichyceno zábradlí

Vrstva	tloušťka (mm)	výška (m)	objem tiha (kN/m ³)	g _k (kN/m)
Zábradlí	-	-	-	0,5
Omítka	15	0,750	20	0,225
Porotherm 25 Profi	250	0,750	8,3	1,556
Omítka	15	0,750	20	0,225
Celkem				2,500

4.1.10 Zábradlí pochozí plochy atria

Konstrukce zábradlí je obsahuje ocelové sloupy, ocelové madlo a skleněnou výplň. Třba zábradlí je odhadnuta na:

$$g_k = 1.00 \text{ kN}\cdot\text{m}^{-1}$$

4.2 ZATÍŽENÍ PROMĚNNÉ

4.2.1 Užitné - administrativní část

Kategorie ploch B - kancelářské plochy $\Rightarrow q_k = 2,5 \text{ kNm}^{-2}$

Přemístitelné přčky s vlastní tíhou do $2,0 \text{ kNm}^{-1} \Rightarrow q_k = 0,8 \text{ kNm}^{-2}$

4.2.2 Užitné - střecha pochozí

Kategorie ploch I - střechy přístupné viz kategorie A $\Rightarrow q_k = 2,5 \text{ kNm}^{-2}$

4.2.3 Užitné - pochozí plocha atria

Kategorie ploch B - kancelářské plochy $\Rightarrow q_k = 2,5 \text{ kNm}^{-2}$

4.2.4 Užitné - schodiště

Administrativní budova - schodiště viz kategorie A $\Rightarrow q_k = 3,0 \text{ kNm}^{-2}$

4.2.5 Zatížení sněhem

Lokalita - Brno \Rightarrow sněhová oblast II.

Charakteristická hodnota zatížení sněhem	$s_k = 1,0 \text{ kN m}^{-2}$
Součinitel expozice	$C_e = 1,0$
Tepelný součinitel	$C_t = 1,0$
Zatížení sněhem na střeše	$s = \mu_i * C_e * C_t * s_k$
	$s = 0,8 * 1,0 * 1,0 * 1,0$
	$s = 0,8 \text{ kN m}^{-2}$

4.2.6 Zatížení větrem

Lokalita - Brno \Rightarrow větrová oblast II.

Základní rychlosť větru	$v_{b,0} = 25 \text{ m s}^{-1}$
Součinitel směru větru	$c_{dir} = 1,0$
Součinitel ročního období	$c_{season} = 1,0$
Kategorie terénu II	$z_{0,II} = 0,05 \text{ m}$
Součinitel ortografie	$c_0(z) = 1,0$
Parametry drsnosti terénu	$z_0 = 1 \text{ m}$
	$z_{min} = 10 \text{ m}$
	$z_{max} = 200 \text{ m}$
Součinitel turbulence	$k_1 = 1,0$
Hmotnost vzduchu	$\rho = 1,25 \text{ kg m}^{-3}$

Základní rychlosť větru:

$$v_b = c_{dir} \cdot c_{season} \cdot v_{b,0} = 1.00 \cdot 1.00 \cdot 25$$

$$v_b = 25 \text{ m} \cdot \text{s}^{-1}$$

Součinitel terénu:

$$k_r = 0.19 \cdot \left(\frac{z_0}{z_{0,II}} \right)^{0.07} = 0.19 \cdot \left(\frac{1}{0.05} \right)^{0.07}$$

$$k_r = 0.234$$

Součinitel drsnosti terénu:

$z = 63 \text{ m}$

$$c_r = k_r \ln \left(\frac{z}{z_0} \right) = 0.2343 \ln \left(\frac{63}{1} \right)$$

$$c_r = 0.971$$

Střední rychlosť větru ve výšce z nad terénem:

$$v_m = c_r \cdot c_0 \cdot v_b = 0.971 \cdot 1.0 \cdot (1.00 \cdot 1.00 \cdot 25)$$

$$v_m = 24.275 \text{ m} \cdot \text{s}^{-1}$$

Intenzita turbulence ve výšce z:

$$I_v = \frac{k_l}{c_0 \cdot \ln \left(\frac{z}{z_0} \right)} = \frac{1.0}{\left(1.0 \cdot \ln \left(\frac{63}{1} \right) \right)}$$

$$I_v = 0.241$$

Maximální dynamický tlak:

$$q_p = \left(1 + 7 \cdot I_v \right) \frac{1}{2} \cdot \rho \cdot v_m^2 = (1 + 7 \cdot 0.241) \cdot \left(\frac{1}{2} \right) \cdot 1.25 \cdot 24.275^2$$

$$q_p = 989.615 \text{ kPa}$$

Tlak větru:

$$w_e = q_p \cdot C_{pe}$$

viz. ZS18 a ZS19 v části 4.3.18 resp. 4.3.19

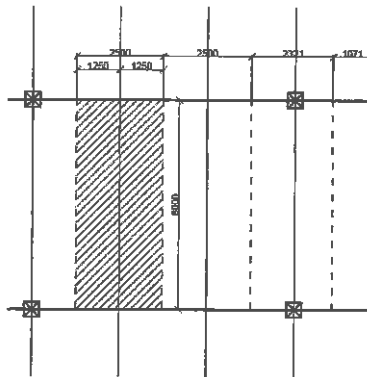
4.3 ZATĚŽOVACÍ STAVY

4.3.1 ZS 1 - Vlastní tíha

Automaticky programem RFEM

4.3.2 ZS 2 - Stropní kce administrativní části

Zatížení je aplikováno pouze na stropnice pomocí zatěžovacích šířek.

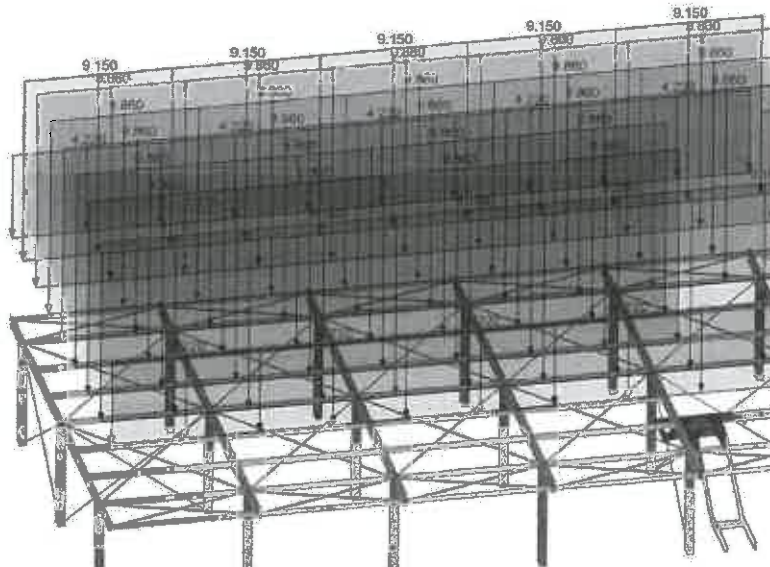


$$g_k = 3.944 \text{ kN}\cdot\text{m}^{-1}$$

$$\text{Z.Š. } 2,5 \text{ m} \quad g_k = 9,86 \text{ kNm}^{-1}$$

$$\text{Z.Š. } 2,321 \text{ m} \quad g_k = 9,15 \text{ kNm}^{-1}$$

$$\text{Z.Š. } 1,071 \text{ m} \quad g_k = 4,22 \text{ kNm}^{-1}$$



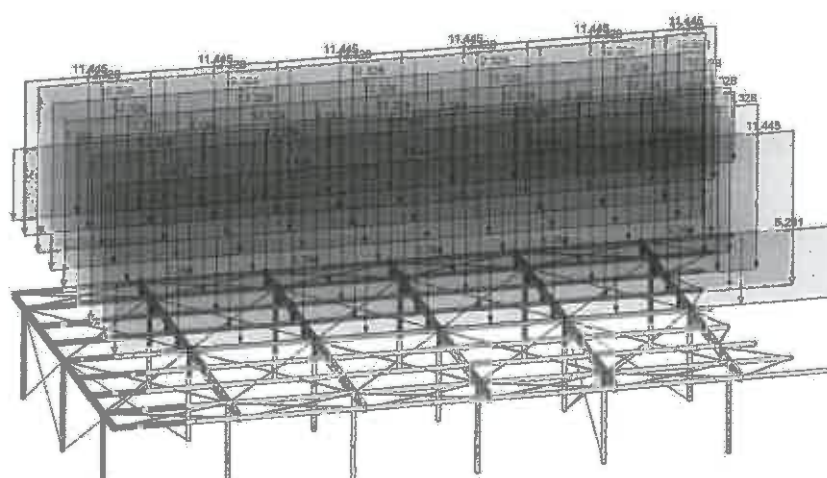
4.3.3 ZS 3 - Střešní kce administrativní části

Zatížení je aplikováno pouze na stropnice pomocí zatěžovacích šířek.

$$g_k = 4,931 \text{ kN}\cdot\text{m}^{-1} \quad \text{Z.Š. } 2,5 \text{ m} \quad g_k = 12,33 \text{ kNm}^{-1}$$

$$\text{Z.Š. } 2,321 \text{ m} \quad g_k = 11,44 \text{ kNm}^{-1}$$

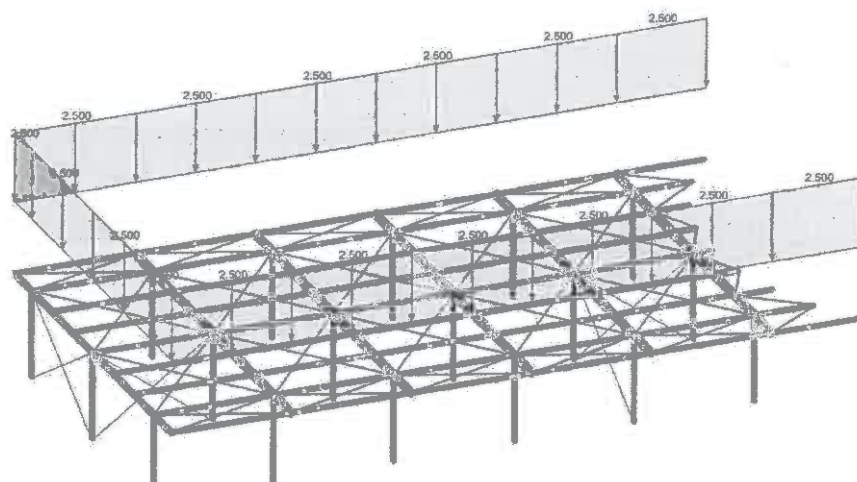
$$\text{Z.Š. } 1,071 \text{ m} \quad g_k = 5,28 \text{ kNm}^{-1}$$



4.3.4 ZS 4 - Atika střechy administrativní části

Zatížení je aplikováno na krajní stropnice a krajní průvlak

$$g_k = 2.500 \text{ kN}\cdot\text{m}^{-1}$$



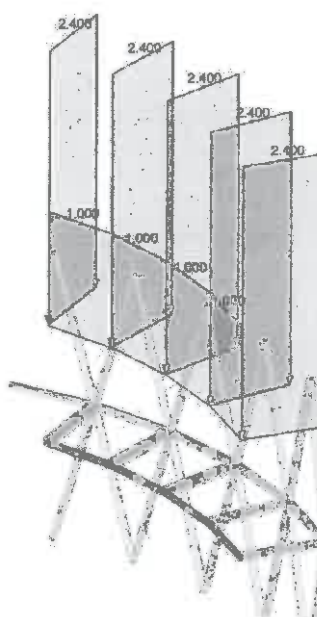
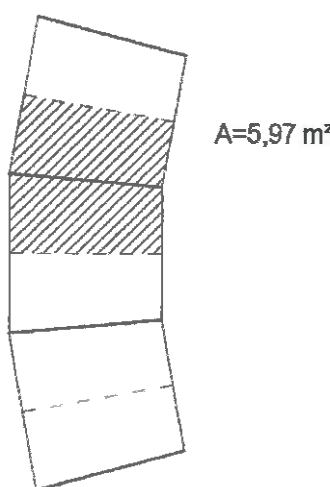
4.3.5 ZS 5 - Pochází plocha atria + zábradlí

Byo spočítáno zatížení na jednu konzolu, díky symetrii se zatížení opakuje u všech ostatních konzol.

$$g_{k,plocha} = 1.00 \text{ kN}\cdot\text{m}^{-2}$$

$$g_{k,zábradlí} = 1.00 \text{ kN}\cdot\text{m}^{-1}$$

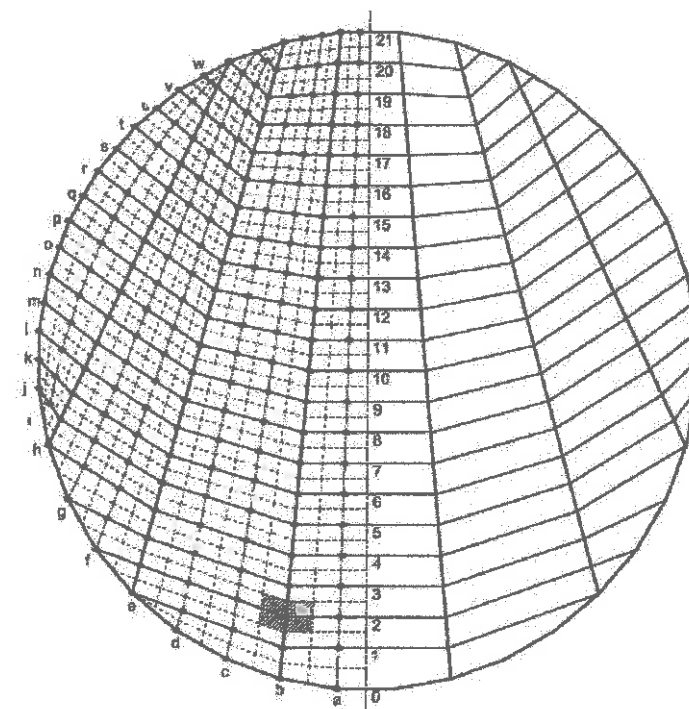
$$A = 5,97 \text{ m}^2 \Rightarrow (A * g_{k,plocha}) / L = g_k = 2,4 \text{ kNm}^{-1}$$



4.3.6 ZS 6 - Střešní konstrukce atria

Byl vynesen půdorys konstrukce zastřešení atria a spočítány zatěžovací plochy které připadají na jednotlivé upevňovací body střešního pláště

$$g_k = 1.00 \text{ kN} \cdot \text{m}^{-2} \quad A \cdot g_k = G_k \text{ kN}$$

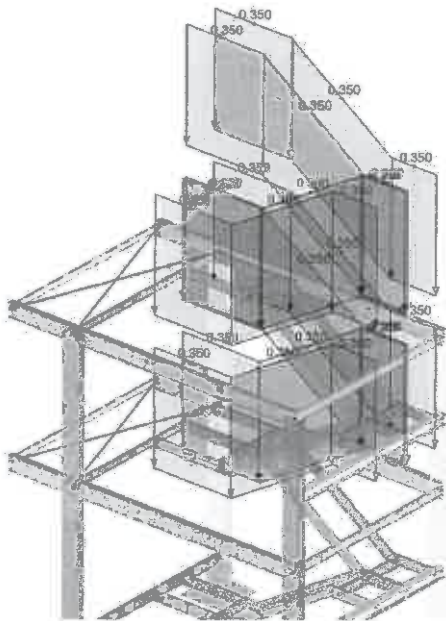


	0	1	2	3	4	5	6	7	8	9	10	11	12	13	14	15	16	17	18	19	20	21
0.626	1.313	1.413	1.525	1.638	1.750	1.850	1.953	2.055	2.158	2.250	2.355	2.458	2.600	2.713	2.825	2.950	3.063	3.175	3.288	3.400	4.012	
0.576	1.238	1.338	1.440	1.550	1.663	1.763	1.863	1.963	2.065	2.168	2.268	2.400	2.613	2.825	2.725	2.838	2.950	3.060	3.175	3.288	3.500	3.850
0.553	1.188	1.288	1.390	1.490	1.593	1.693	1.793	1.893	1.993	2.095	2.195	2.300	2.400	2.513	2.613	2.725	2.825	2.938	3.050	3.163	3.275	
0.553	1.076	1.176	1.278	1.380	1.480	1.583	1.683	1.783	1.883	1.985	2.085	2.188	2.300	2.400	2.513	2.613	2.725	2.825	2.938	3.050	3.163	3.275
0.425	1.138	1.238	1.340	1.440	1.543	1.643	1.743	1.843	1.943	2.045	2.145	2.250	2.353	2.456	2.559	2.663	2.765	2.868	2.975	3.075	3.188	
0.425	1.163	1.263	1.365	1.465	1.568	1.668	1.768	1.868	1.968	2.071	2.171	2.275	2.378	2.481	2.584	2.687	2.790	2.893	2.996	3.099	3.213	
0.450	1.250	1.350	1.450	1.550	1.653	1.753	1.853	1.953	2.055	2.158	2.250	2.355	2.458	2.600	2.713	2.825	2.950	3.063	3.175	3.288	3.500	3.850
0.450	0.958	1.058	1.158	1.258	1.358	1.458	1.558	1.658	1.758	1.858	1.958	2.000	2.100	2.200	2.300	2.400	2.500	2.600	2.700	2.800	2.900	
0.513	1.050	1.150	1.250	1.350	1.450	1.550	1.650	1.750	1.850	1.950	2.050	2.150	2.250	2.350	2.450	2.550	2.650	2.750	2.850	2.950	3.050	
0.513	0.950	1.050	1.150	1.250	1.350	1.450	1.550	1.650	1.750	1.850	1.950	2.000	2.100	2.200	2.300	2.400	2.500	2.600	2.700	2.800	2.900	
0.513	1.358	1.458	1.558	1.658	1.758	1.858	1.958	2.058	2.158	2.250	2.355	2.458	2.600	2.713	2.825	2.950	3.063	3.175	3.288	3.500	3.850	
0.625	1.450	1.550	1.650	1.750	1.850	1.950	2.050	2.150	2.250	2.355	2.458	2.600	2.713	2.825	2.950	3.063	3.175	3.288	3.400	4.012	4.325	
0.625	1.050	1.150	1.250	1.350	1.450	1.550	1.650	1.750	1.850	1.950	2.050	2.150	2.250	2.355	2.458	2.600	2.713	2.825	2.950	3.063	3.175	3.288
0.625	0.950	1.050	1.150	1.250	1.350	1.450	1.550	1.650	1.750	1.850	1.950	2.000	2.100	2.200	2.300	2.400	2.500	2.600	2.700	2.800	2.900	
0.625	1.950	2.050	2.150	2.250	2.350	2.450	2.550	2.650	2.750	2.850	2.950	3.050	3.153	3.256	3.359	3.462	3.565	3.668	3.771	3.874	3.977	4.080
0.625	1.850	1.950	2.050	2.150	2.250	2.350	2.450	2.550	2.650	2.750	2.850	2.950	3.050	3.153	3.256	3.359	3.462	3.565	3.668	3.771	3.874	3.977
0.625	1.750	1.850	1.950	2.050	2.150	2.250	2.350	2.450	2.550	2.650	2.750	2.850	2.950	3.050	3.153	3.256	3.359	3.462	3.565	3.668	3.771	3.874
0.625	1.650	1.750	1.850	1.950	2.050	2.150	2.250	2.350	2.450	2.550	2.650	2.750	2.850	2.950	3.050	3.153	3.256	3.359	3.462	3.565	3.668	3.771
0.625	1.550	1.650	1.750	1.850	1.950	2.050	2.150	2.250	2.350	2.450	2.550	2.650	2.750	2.850	2.950	3.050	3.153	3.256	3.359	3.462	3.565	3.668
0.625	1.450	1.550	1.650	1.750	1.850	1.950	2.050	2.150	2.250	2.350	2.450	2.550	2.650	2.750	2.850	2.950	3.050	3.153	3.256	3.359	3.462	3.565
0.625	1.350	1.450	1.550	1.650	1.750	1.850	1.950	2.050	2.150	2.250	2.350	2.450	2.550	2.650	2.750	2.850	2.950	3.050	3.153	3.256	3.359	3.462
0.625	1.250	1.350	1.450	1.550	1.650	1.750	1.850	1.950	2.050	2.150	2.250	2.350	2.450	2.550	2.650	2.750	2.850	2.950	3.050	3.153	3.256	3.359
0.625	1.150	1.250	1.350	1.450	1.550	1.650	1.750	1.850	1.950	2.050	2.150	2.250	2.350	2.450	2.550	2.650	2.750	2.850	2.950	3.050	3.153	3.256
0.625	1.050	1.150	1.250	1.350	1.450	1.550	1.650	1.750	1.850	1.950	2.050	2.150	2.250	2.350	2.450	2.550	2.650	2.750	2.850	2.950	3.050	3.153
0.625	0.950	1.050	1.150	1.250	1.350	1.450	1.550	1.650	1.750	1.850	1.950	2.050	2.150	2.250	2.350	2.450	2.550	2.650	2.750	2.850	2.950	3.050
0.625	0.850	0.950	1.050	1.150	1.250	1.350	1.450	1.550	1.650	1.750	1.850	1.950	2.050	2.150	2.250	2.350	2.450	2.550	2.650	2.750	2.850	2.950
0.625	0.750	0.850	0.950	1.050	1.150	1.250	1.350	1.450	1.550	1.650	1.750	1.850	1.950	2.050	2.150	2.250	2.350	2.450	2.550	2.650	2.750	2.850
0.625	0.650	0.750	0.850	0.950	1.050	1.150	1.250	1.350	1.450	1.550	1.650	1.750	1.850	1.950	2.050	2.150	2.250	2.350	2.450	2.550	2.650	2.750
0.625	0.550	0.650	0.750	0.850	0.950	1.050	1.150	1.250	1.350	1.450	1.550	1.650	1.750	1.850	1.950	2.050	2.150	2.250	2.350	2.450	2.550	2.650
0.625	0.450	0.550	0.650	0.750	0.850	0.950	1.050	1.150	1.250	1.350	1.450	1.550	1.650	1.750	1.850	1.950	2.050	2.150	2.250	2.350	2.450	2.550
0.625	0.350	0.450	0.550	0.650	0.750	0.850	0.950	1.050	1.150	1.250	1.350	1.450	1.550	1.650	1.750	1.850	1.950	2.050	2.150	2.250	2.350	2.450
0.625	0.250	0.350	0.450	0.550	0.650	0.750	0.850	0.950	1.050	1.150	1.250	1.350	1.450	1.550	1.650	1.750	1.850	1.950	2.050	2.150	2.250	2.350
0.625	0.150	0.250	0.350	0.450	0.550	0.650	0.750	0.850	0.950	1.050	1.150	1.250	1.350	1.450	1.550	1.650	1.750	1.850	1.950	2.050	2.150	2.250
0.625	0.050	0.150	0.250	0.350	0.450	0.550	0.650	0.750	0.850	0.950	1.050	1.150	1.250	1.350	1.450	1.550	1.650	1.750	1.850	1.950	2.050	2.150
0.625	-0.050	-0.150	-0.250	-0.350	-0.450	-0.550	-0.650	-0.750	-0.850	-0.950	-1.050	-1.150	-1.250	-1.350	-1.450	-1.550	-1.650	-1.750	-1.850	-1.950	-2.050	-2.150
0.625	-0.150	-0.250	-0.350	-0.450	-0.550	-0.650	-0.750	-0.850	-0.950	-1.050	-1.150	-1.250	-1.350	-1.450	-1.550	-1.650	-1.750	-1.850	-1.950	-2.050	-2.150	-2.250
0.625	-0.250	-0.350	-0.450	-0.550	-0.650	-0.750	-0.850	-0.950	-1.050	-1.150	-1.250	-1.350	-1.450	-1.550	-1.650	-1.750	-1.850	-1.950	-2.050	-2.150	-2.250	-2.350
0.625	-0.350	-0.450	-0.550	-0.650	-0.750	-0.850	-0.950	-1.050	-1.150	-1.250	-1.350	-1.450	-1.550	-1.650	-1.750	-1.850	-1.950	-2.050	-2.150	-2.250	-2.350	-2.450
0.625	-0.450	-0.550	-0.650	-0.750	-0.850	-0.950	-1.050	-1.150	-1.250	-1.350	-1.450	-1.550	-1.650	-1.750	-1.850	-1.950	-2.050	-2.150	-2.250	-2.350	-2.450	-2.550
0.625	-0.550	-0.650	-0.750	-0.850	-0.950	-1.050	-1.150	-1.250	-1.350	-1.450	-1.550	-1.650	-1.750	-1.850	-1.950	-2.050	-2.150	-2.250	-2.350	-2.450	-2.550	-2.650
0.625	-0.650	-0.750	-0.850	-0.950	-1.050	-1.150	-1.250	-1.350	-1.450	-1.550	-1.650	-1.750	-1.850	-1.950	-2.050	-2.150	-2.250	-2.350	-2.450	-2.550	-2.650	-2.750
0.625	-0.750	-0.850	-0.950	-1.050	-1.150	-1.250	-1.350	-1.450	-1.550	-1.650	-1.750	-1.850	-1.950	-2.050	-2.150	-2.250	-2.350	-2.450	-2.550	-2.650	-2.750	-2.850
0.625	-0.850	-0.950	-1.050	-1.150	-1.250	-1.350	-1.450	-1.550	-1.650	-1.750	-1.850	-1.950	-2.050	-2.150	-2.250	-2.350	-2.450	-2.550	-2.650	-2.750	-2.850	-2.950
0.625	-0.950	-1.050	-1.150	-1.250	-1.350	-1.450	-1.550	-1.650	-1.750	-1.850	-1											

Sloupec a		Sloupec b		Sloupec c		Sloupec d		Sloupec e	
A (m ²)	Q (kN)								
a-21	0,62	b-21	0,62	c-21	0,57	d-21	0,56	e-21	0,42
a-20	1,34	b-20	1,31	c-20	1,24	d-20	1,18	e-20	0,94
a-19	1,45	b-19	1,42	c-19	1,34	d-19	1,29	e-19	1,19
a-18	1,57	b-18	1,53	c-18	1,45	d-18	1,40	e-18	1,29
a-17	1,68	b-17	1,64	c-17	1,55	d-17	1,50	e-17	1,40
a-16	1,79	b-16	1,75	c-16	1,66	d-16	1,61	e-16	1,50
a-15	1,91	b-15	1,86	c-15	1,77	d-15	1,71	e-15	1,60
a-14	2,02	b-14	1,97	c-14	1,87	d-14	1,82	e-14	1,70
a-13	2,14	b-13	2,07	c-13	1,98	d-13	1,92	e-13	1,80
a-12	2,25	b-12	2,18	c-12	2,08	d-12	2,03	e-12	1,90
a-11	2,37	b-11	2,29	c-11	2,19	d-11	2,13	e-11	2,00
a-10	2,48	b-10	2,40	c-10	2,30	d-10	2,24	e-10	2,10
a-9	2,60	b-9	2,51	c-9	2,40	d-9	2,34	e-9	2,20
a-8	2,71	b-8	2,62	c-8	2,51	d-8	2,45	e-8	2,30
a-7	2,83	b-7	2,73	c-7	2,61	d-7	2,55	e-7	2,41
a-6	2,94	b-6	2,84	c-6	2,72	d-6	2,66	e-6	2,51
a-5	3,06	b-5	2,95	c-5	2,83	d-5	2,76	e-5	2,61
a-4	3,17	b-4	3,06	c-4	2,93	d-4	2,87	e-4	2,71
a-3	3,28	b-3	3,18	c-3	3,04	d-3	2,97	e-3	2,81
a-2	3,40	b-2	3,29	c-2	3,14	d-2	3,08	e-2	2,91
a-1	4,02	b-1	3,50	c-1	3,22	d-1	2,60	e-1	1,40
a-0	2,32	b-0	1,85	c-0	1,65	d-0	1,05		

Sloupec f		Sloupec g		Sloupec h		Sloupec i		zbytek krajních bodů	
A (m ²)	Q (kN)	A (m ²)	Q (kN)						
f-20	0,584	g-20	0,944	h-19	0,523	i-18	0,482	w-18	0,181
f-19	0,902	g-19	1,159	h-18	0,838	i-17	0,940	v-17	0,516
f-18	1,140	g-18	1,353	h-17	1,052	i-16	1,340	u-16	0,628
f-17	1,333	g-17	1,456	h-16	1,296	i-15	1,650	t-15	0,856
f-16	1,430	g-16	1,662	h-15	1,506	i-14	1,913	s-14	0,959
f-15	1,527	g-15	1,765	h-14	1,682	i-13	2,137	r-13	1,156
f-14	1,624	g-14	1,868	h-13	1,821	i-12	2,215	q-12	1,121
f-13	1,721	g-13	1,971	h-12	1,923	i-11	2,233	p-11	1,159
f-12	1,818	g-12	2,074	h-11	1,986	i-10	2,179	o-10	1,088
f-11	1,915	g-11	2,177	h-10	2,013	i-9	2,036	n-9	1,041
f-10	2,012	g-10	2,280	h-9	1,998	i-8	1,821	m-8	0,884
f-9	2,109	g-9	2,383	h-8	1,950	i-7	1,525	l-7	0,757
f-8	2,206	g-8	2,486	h-7	1,876	i-6	1,163	k-6	0,523
f-7	2,303	g-7	2,589	h-6	1,759	i-5	0,763	j-5	0,340
f-6	2,400	g-6	2,692	h-5	1,683				
f-5	2,497	g-5	2,795	h-4	1,218				
f-4	2,594	g-4	2,898						
f-3	2,899	g-3	1,603						
f-2	1,493								

4.3.7 ZS 7 - Schodiště



Zatížení tíhou konstrukce

$$g_k = 0.60 \text{ kN}\cdot\text{m}^{-2}$$

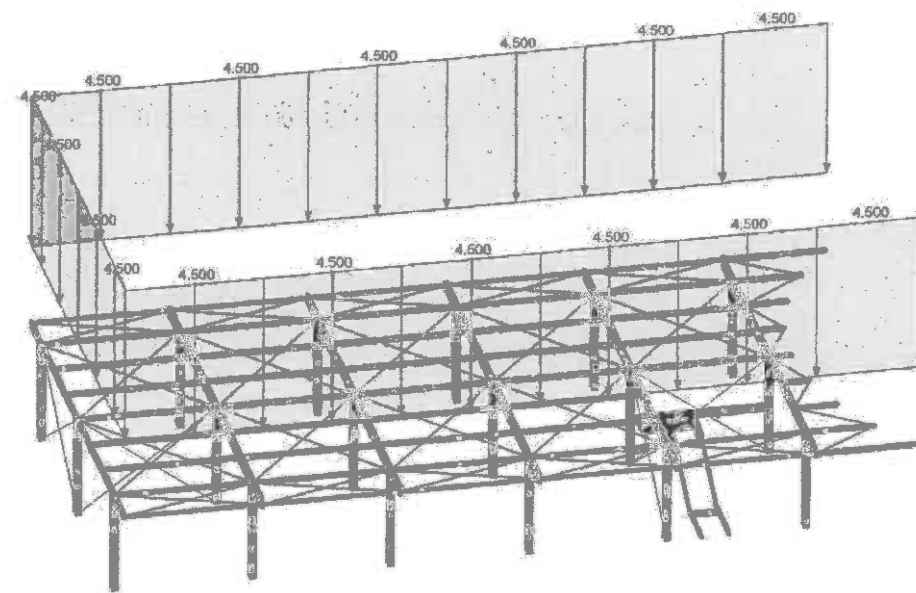
$$g_k = (1,2/2) * 0,6 = 0,35 \text{ kNm}^{-1}$$

4.3.8 ZS 8 - Obvodový plášť administrativní části

Zatížení aplikováno na krajní stropnice spojitým zatížením o zatěžovací sířce rovnou výšce patra tj. 4,5 m

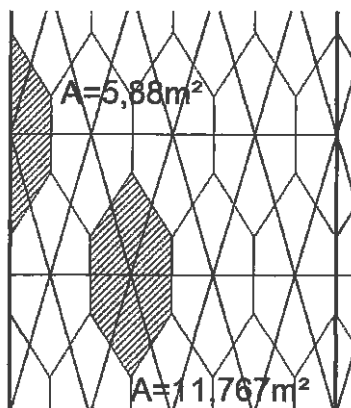
$$g_k = 1.00 \text{ kN}\cdot\text{m}^{-2}$$

$$a_{\ddot{x}} = Z \ddot{S} \cdot g = 4,5 \cdot 1 = 4,5 \text{ kNm}^{-1}$$



4.3.9 ZS 9 - Obvodový plášt' atria

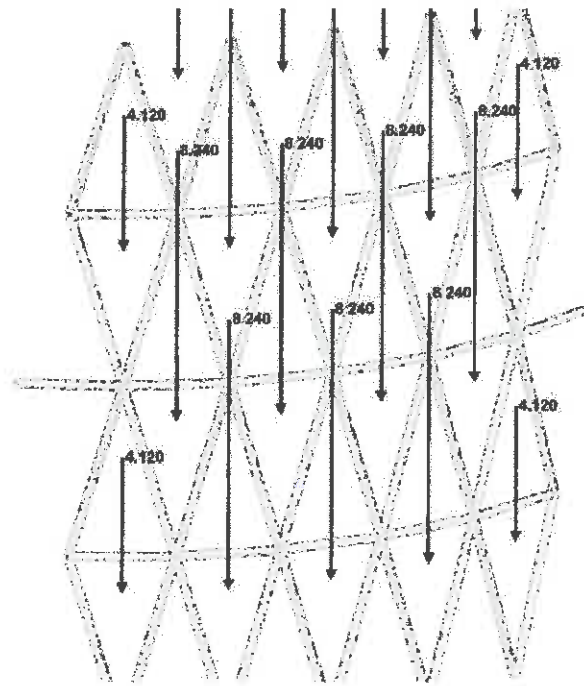
Zatížení je přepočítáno pomocí plochy na bodové zatížení styčnsků



$$g_k = 0.70 \text{ kN}\cdot\text{m}^{-2}$$

$$G_{1k} = A \cdot g_k = 5,88 \cdot 0,7 = 4,12 \text{ kN}$$

$$G_{2k} = A \cdot g_k = 11,767 \cdot 0,7 = 8,24 \text{ kN}$$



4.3.10 ZS 10 - Užitné - Kancelářské - Plné

Pomocí zatěžovacích šířek aplikováno na stropnice. Dle normy ČSN EN 1991-1-1 6.3.1.2 (11) se použije redukční součinitel α_n

$$n = 16 \quad \psi_0 = 0.7$$

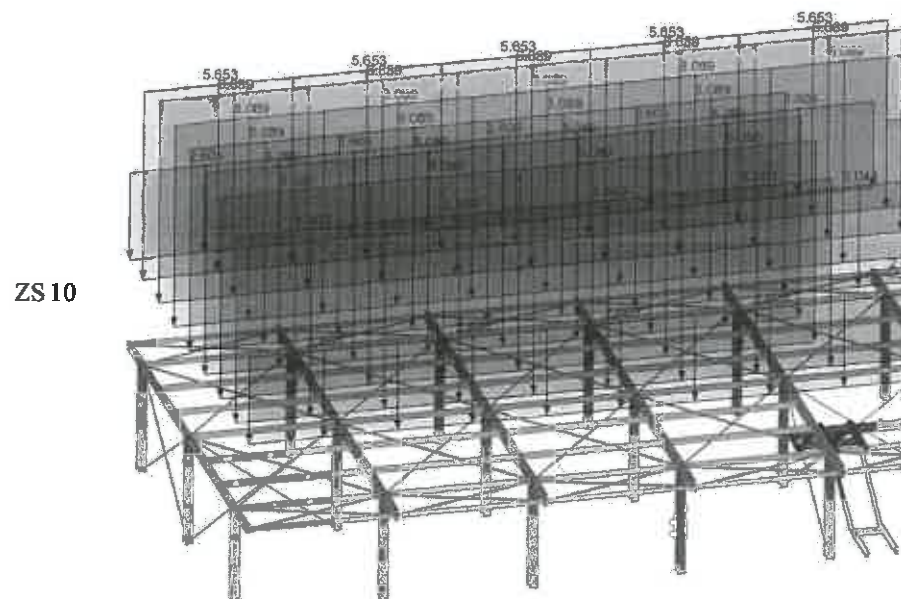
$$\alpha_n = \frac{2 + (n - 2) \cdot \psi_0}{n} = \frac{[2 + (16 - 2) \cdot 0.7]}{16}$$

$$\alpha_n = 0.737$$

$$q_{k,u} = 2.5 \text{ kN}\cdot\text{m}^{-2}$$

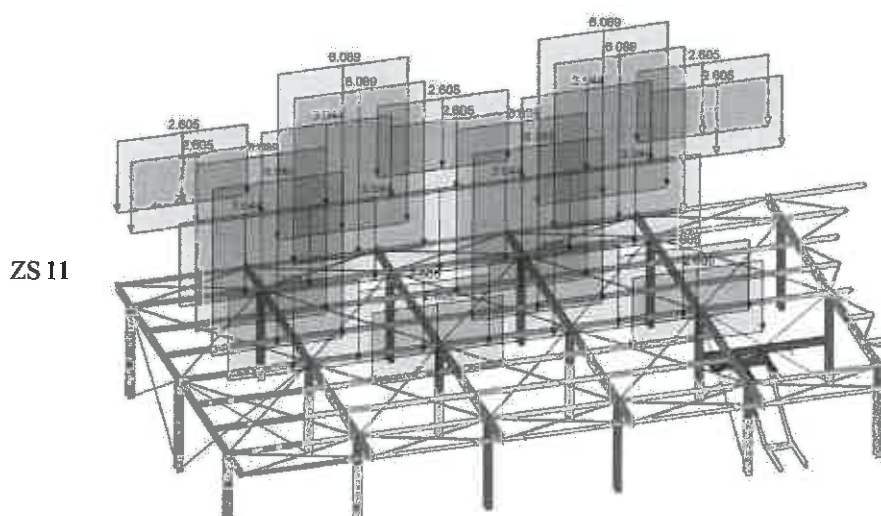
$$q_{k,p} = 0.8 \text{ kN}\cdot\text{m}^{-2}$$

Z.Š. 2,5 m	$(q_k \cdot Z\check{S}) \cdot \alpha_n = ((2,5+0,8) \cdot 2,5) \cdot 0,737 = 6,089 \text{ kNm}^{-1}$
Z.Š. 2,321 m	$(q_k \cdot Z\check{S}) \cdot \alpha_n = ((2,5+0,8) \cdot 2,321) \cdot 0,737 = 5,653 \text{ kNm}^{-1}$
Z.Š. 1,071 m	$(q_k \cdot Z\check{S}) \cdot \alpha_n = ((2,5+0,8) \cdot 1,071) \cdot 0,737 = 2,605 \text{ kNm}^{-1}$

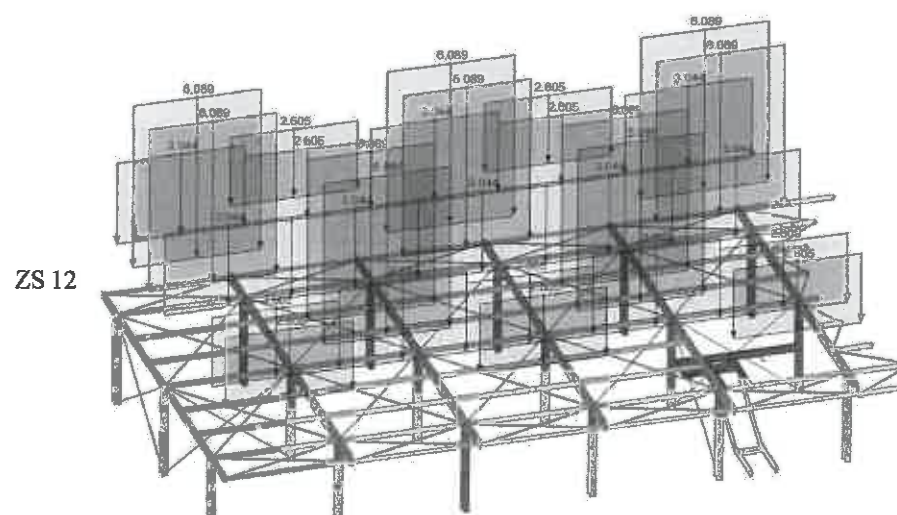


4.3.11 ZS 11 - Užitné - Kancelářské - Šach 1

Hodnota zatížení stejná jako v případě ZS10



4.3.12 ZS 12 - Užitné - Kancelářské - Šach 2



4.3.13 ZS 13 - Užitné - Střecha

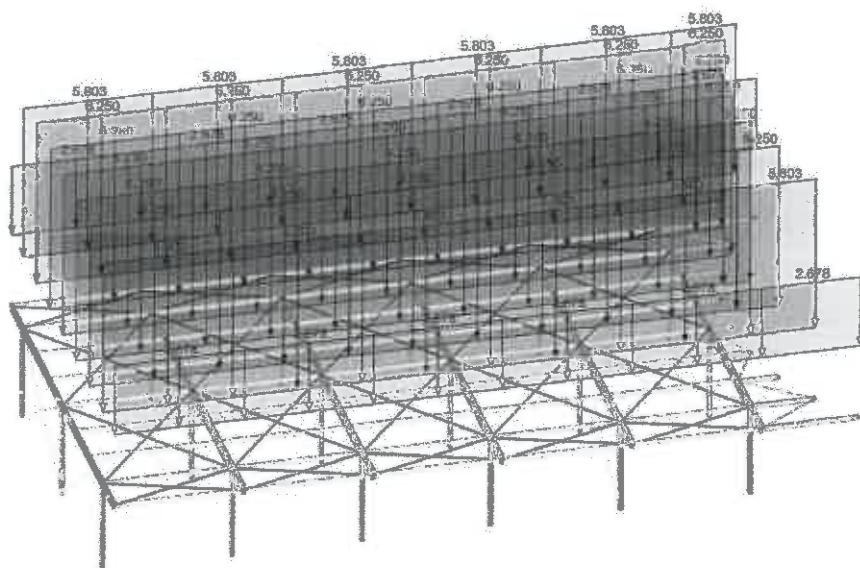
Zatížení je aplikováno na stropnice pomocí zatěžovacích šírek

$$q_k = 2.5 \text{ kN} \cdot \text{m}^{-2}$$

$$\text{Z.Š. } 2,5 \text{ m} \quad (q_k * \text{Z.Š.}) = 2,5 * 2,5 = 6,25 \text{ kNm}^{-1}$$

$$\text{Z.Š. } 2,321 \text{ m} \quad (q_k * \text{Z.Š.}) = 2,5 * 2,321 = 5,803 \text{ kNm}^{-1}$$

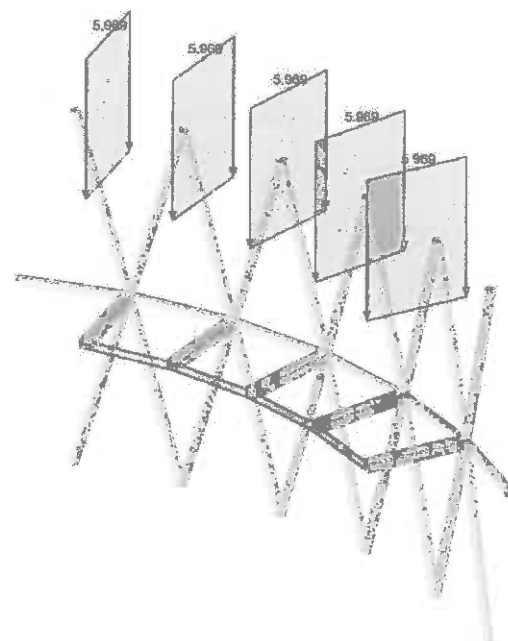
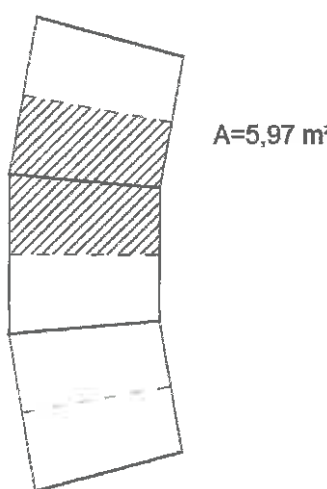
$$\text{Z.Š. } 1,071 \text{ m} \quad (q_k * \text{Z.Š.}) = 2,5 * 1,071 = 2,678 \text{ kNm}^{-1}$$



4.3.14 ZS 14 - Užitné - atrium

$$q_k = 2.50 \text{ kN} \cdot \text{m}^{-2}$$

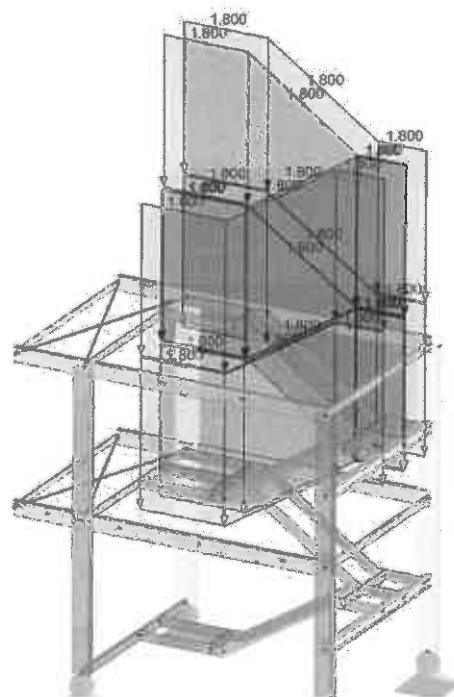
$$A = 5,97 \text{ m}^2 \Rightarrow (A * q_k) / L = q_k = 5,969 \text{ kNm}^{-1}$$



4.3.15 ZS 15 - Užitné - schodiště

$$q_k = 3.00 \text{ kN}\cdot\text{m}^{-2}$$

$$g_k = (1,2/2)*3 = 1,8 \text{ kNm}^{-1}$$



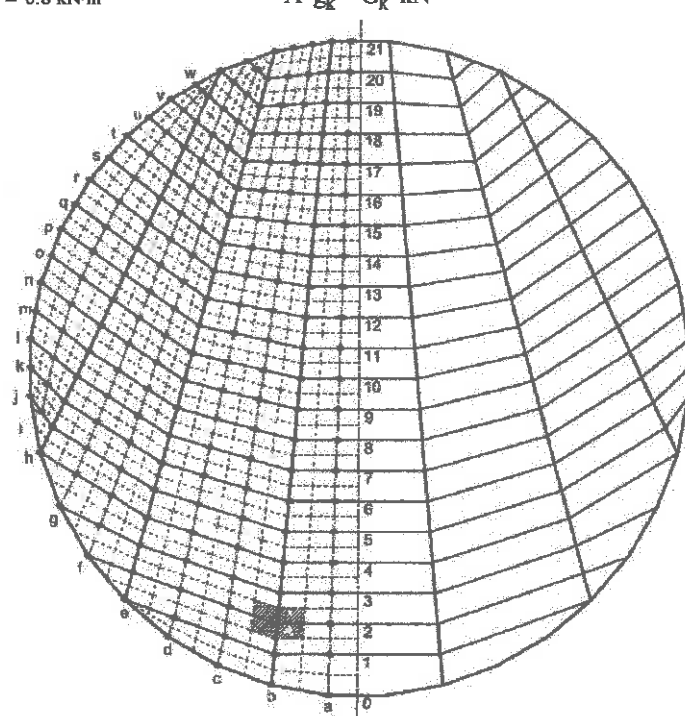
4.3.16 ZS 16 - Sníh

Sníž na kci atria

Byl vynesen půdorys konstrukce zastřešení atria a spočítány zatěžovací plochy které připadají na jednotlivé upevňovací body střešního pláště

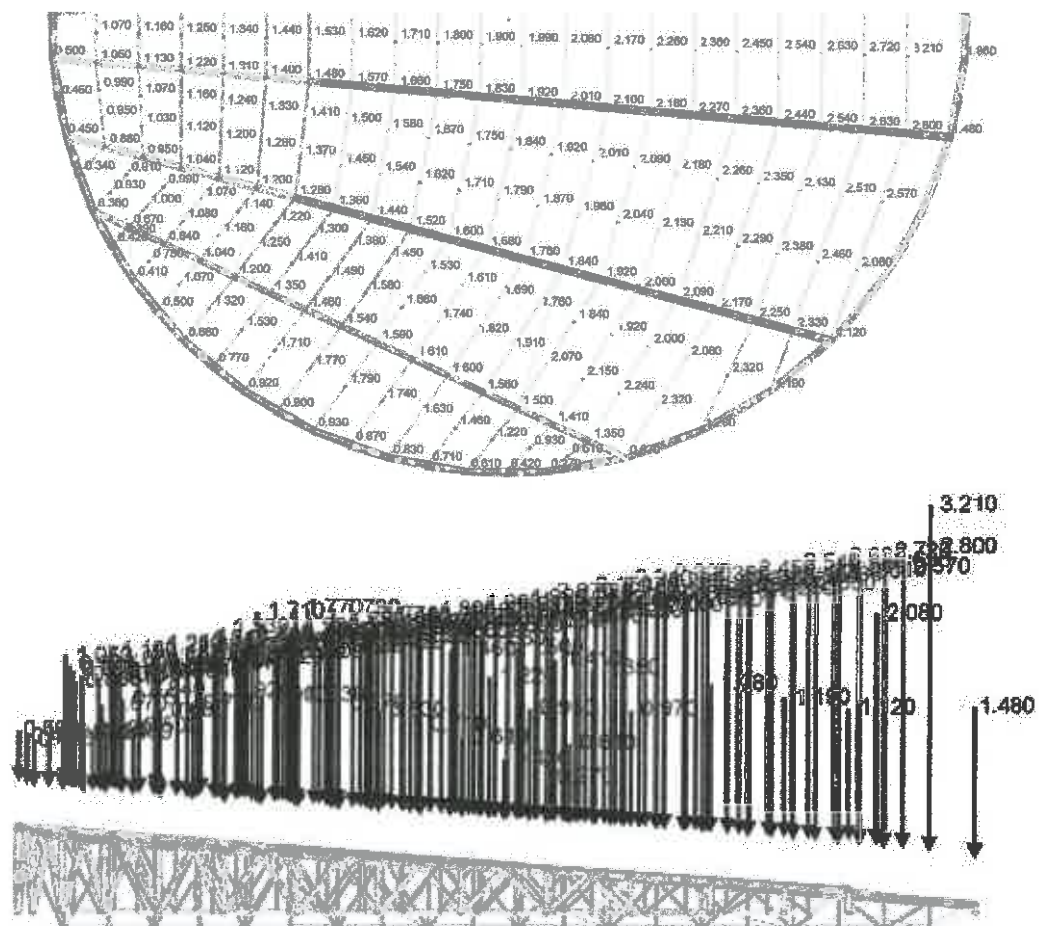
$$g_k = 0.8 \text{ kN}\cdot\text{m}^{-2}$$

$$A^*g_1 = G_1 \cdot kN$$



Sloupec a		Sloupec b		Sloupec c		Sloupec d		Sloupec e						
A (m ²)	Q (kN)													
a-21	0,615	0,49	b-21	0,624	0,50	c-21	0,570	0,46	d-21	0,560	0,45	e-21	0,419	0,34
a-20	1,336	1,07	b-20	1,313	1,05	c-20	1,237	0,99	d-20	1,184	0,95	e-20	0,943	0,86
a-19	1,450	1,16	b-19	1,416	1,13	c-19	1,343	1,07	d-19	1,290	1,03	e-19	1,193	0,95
a-18	1,565	1,25	b-18	1,525	1,22	c-18	1,449	1,16	d-18	1,396	1,12	e-18	1,294	1,04
a-17	1,679	1,34	b-17	1,639	1,31	c-17	1,554	1,24	d-17	1,502	1,20	e-17	1,395	1,12
a-16	1,794	1,44	b-16	1,747	1,40	c-16	1,660	1,33	d-16	1,607	1,29	e-16	1,496	1,20
a-15	1,909	1,53	b-15	1,856	1,48	c-15	1,766	1,41	d-15	1,712	1,37	e-15	1,597	1,28
a-14	2,024	1,62	b-14	1,965	1,57	c-14	1,872	1,50	d-14	1,817	1,45	e-14	1,698	1,36
a-13	2,139	1,71	b-13	2,074	1,66	c-13	1,978	1,58	d-13	1,922	1,54	e-13	1,799	1,44
a-12	2,254	1,80	b-12	2,183	1,75	c-12	2,084	1,67	d-12	2,027	1,62	e-12	1,900	1,52
a-11	2,369	1,90	b-11	2,292	1,83	c-11	2,190	1,75	d-11	2,132	1,71	e-11	2,001	1,60
a-10	2,484	1,99	b-10	2,401	1,92	c-10	2,296	1,84	d-10	2,237	1,79	e-10	2,102	1,68
a-9	2,599	2,08	b-9	2,510	2,01	c-9	2,402	1,92	d-9	2,342	1,87	e-9	2,203	1,76
a-8	2,714	2,17	b-8	2,619	2,10	c-8	2,508	2,01	d-8	2,447	1,96	e-8	2,304	1,84
a-7	2,829	2,26	b-7	2,728	2,18	c-7	2,614	2,09	d-7	2,552	2,04	e-7	2,405	1,92
a-6	2,944	2,36	b-6	2,837	2,27	c-6	2,720	2,18	d-6	2,657	2,13	e-6	2,506	2,00
a-5	3,059	2,45	b-5	2,946	2,36	c-5	2,826	2,26	d-5	2,762	2,21	e-5	2,607	2,09
a-4	3,169	2,54	b-4	3,055	2,44	c-4	2,932	2,35	d-4	2,867	2,29	e-4	2,708	2,17
a-3	3,283	2,63	b-3	3,179	2,54	c-3	3,035	2,43	d-3	2,972	2,38	e-3	2,809	2,25
a-2	3,398	2,72	b-2	3,289	2,63	c-2	3,141	2,51	d-2	3,077	2,46	e-2	2,910	2,33
a-1	4,017	3,21	b-1	3,495	2,80	c-1	3,217	2,57	d-1	2,604	2,08	e-1	1,400	1,12
a-0	2,320	1,86	b-0	1,849	1,48	c-0	1,646	1,32	d-0	1,045	0,84			

Sloupec f		Sloupec g		Sloupec h		Sloupec i		zbytek krajních bodů						
A (m ²)	Q (kN)	A (m ²)	Q (kN)											
f-20	0,584	0,34	g-20	0,944	0,76	h-19	0,523	0,42	i-18	0,482	0,39	w-18	0,520	0,42
f-19	0,902	0,91	g-19	1,159	0,93	h-18	0,838	0,67	i-17	0,940	0,75	v-17	0,516	0,41
f-18	1,140	0,99	g-18	1,353	1,08	h-17	1,052	0,84	i-16	1,340	1,07	u-16	0,628	0,50
f-17	1,333	1,07	g-17	1,456	1,16	h-16	1,296	1,04	i-15	1,650	1,32	t-15	0,856	0,68
f-16	1,430	1,14	g-16	1,662	1,33	h-15	1,506	1,20	i-14	1,913	1,53	s-14	0,959	0,77
f-15	1,527	1,22	g-15	1,765	1,41	h-14	1,682	1,35	i-13	2,137	1,71	r-13	1,156	0,92
f-14	1,624	1,30	g-14	1,868	1,49	h-13	1,821	1,46	i-12	2,215	1,77	q-12	1,121	0,90
f-13	1,721	1,38	g-13	1,971	1,58	h-12	1,923	1,54	i-11	2,233	1,79	p-11	1,159	0,93
f-12	1,818	1,45	g-12	2,074	1,66	h-11	1,986	1,59	i-10	2,179	1,74	o-10	1,088	0,87
f-11	1,915	1,53	g-11	2,177	1,74	h-10	2,013	1,61	i-9	2,036	1,63	n-9	1,041	0,83
f-10	2,012	1,61	g-10	2,280	1,82	h-9	1,998	1,60	i-8	1,821	1,46	m-8	0,884	0,71
f-9	2,109	1,69	g-9	2,383	1,91	h-8	1,950	1,56	i-7	1,525	1,22	l-7	0,757	0,61
f-8	2,206	1,76	g-8	2,486	1,99	h-7	1,876	1,50	i-6	1,163	0,93	k-6	0,523	0,42
f-7	2,303	1,84	g-7	2,589	2,07	h-6	1,759	1,41	i-5	0,763	0,61	j-5	0,340	0,27
f-6	2,400	1,92	g-6	2,692	2,15	h-5	1,683	1,35						
f-5	2,497	2,00	g-5	2,795	2,24	h-4	1,218	0,97						
f-4	2,594	2,08	g-4	2,898	2,32									
f-3	2,899	2,32	g-3	1,603	1,28									
f-2	1,493	1,19												



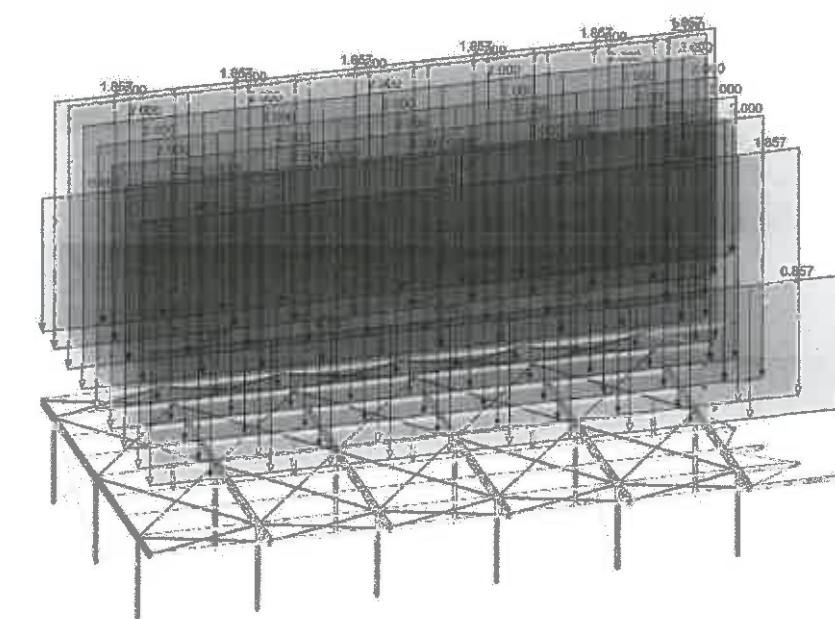
Sníh na kci administrativní části

$$s_k = 0.8 \text{ kN}\cdot\text{m}^{-2}$$

$$Z.S. \ 2,5 \text{ m} \quad (S_v * Z.S) = 0,8 * 2,5 = 2,0 \text{ kNm}^{-1}$$

$$Z.S. \text{ } 2,321 \text{ m} \quad (s_r * Z.S.) = 0,8 * 2,321 = 1,857 \text{ kNm}^{-1}$$

$$Z.S. \ 1,071 \text{ m} \quad (s_i * Z.S.) = 0,8 * 1,071 = 0,857 \text{ kNm}^{-1}$$



4.3.17 ZS 17 - Sníh - návěj

Případ (i) $b_1 = 30 \text{ m}$ $b_2 = 31 \text{ m}$ $h = 4.5 \text{ m}$

Případ (ii) $\alpha = 5^\circ < 15^\circ \Rightarrow \mu_s = 0$

$$\mu_w = \frac{b_1 + b_2}{2 \cdot h} = \frac{(30 + 31)}{(2 \cdot 4.5)}$$

$$\mu_w = 6.778$$

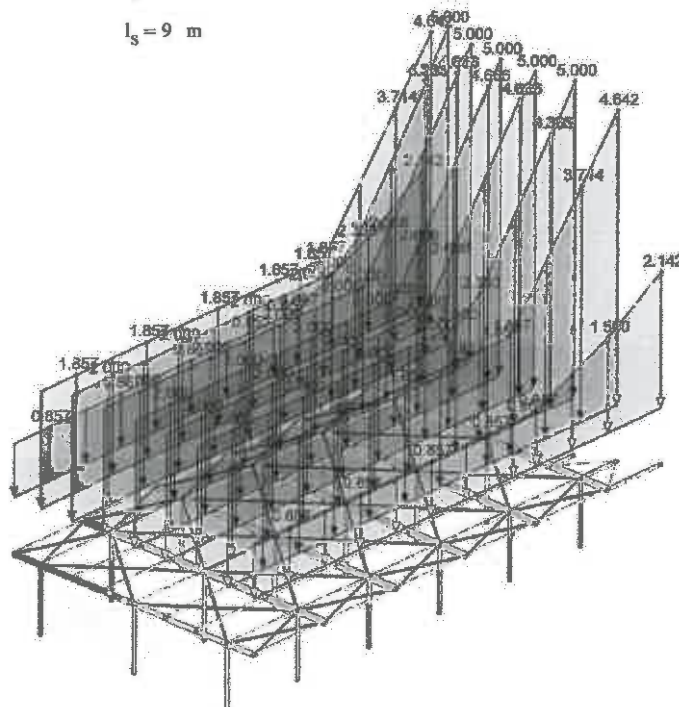
dle NA. je max. $\mu_w = 2,00$

$$a \Rightarrow s = \mu_w * s_k = 2 * 1 = 2 \text{ kNm}^{-2}$$

délka návěje:

$$l_s = 2 \cdot h = 2 \cdot 4.5$$

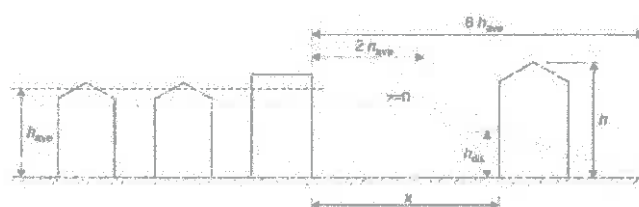
$$l_s = 9 \text{ m}$$

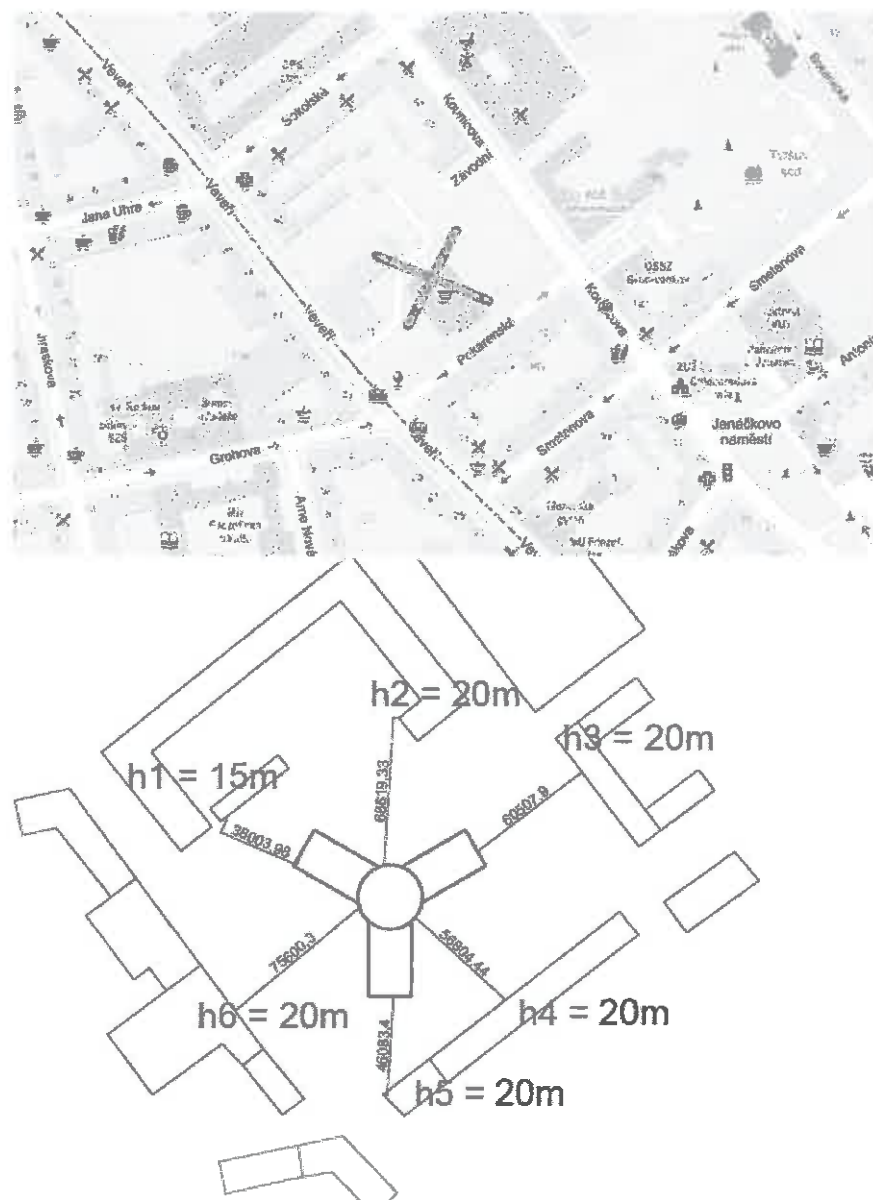


4.3.18 ZS 18 - Vítr A

Půdorysný tvar konstrukce vedl k zjednodušení pro výpočet zatížení od větru tam kde to bylo možné kde to nebylo možné byl použit odhad. Při tomto tvaru konstrukce by bylo vhodné provést podrobnější analýzu působení větru např. programem Ansys (CFX)

Dle ČSN EN 1993-1-4 Přílohy A.5 bylo uvažováno s vlivem okolních budov na konstrukci a to změnou z_0 a tím snížení výšky braně do výpočtu zatížení větrem.





Nejlepší možnost $\Rightarrow x_6 = 75,6\text{m}$ a $h_{ave} = 20\text{m}$

$$2 \cdot h_{ave} < x < 6 \cdot h_{ave}$$

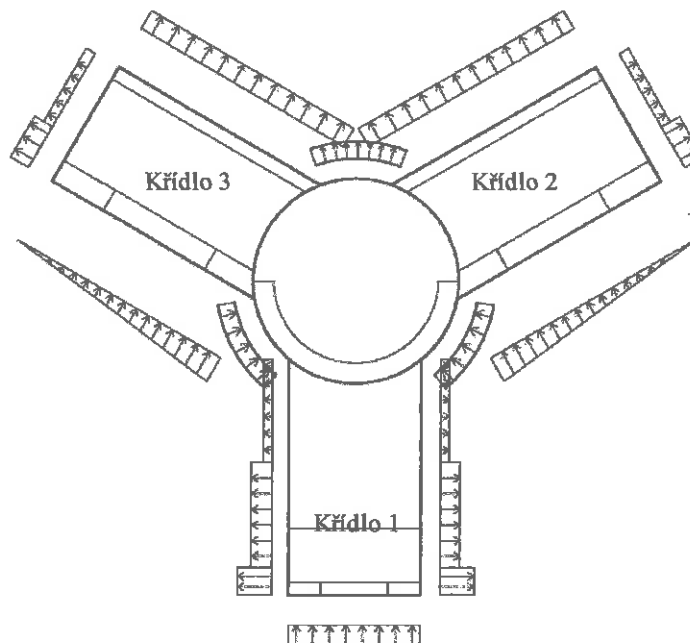
$$\min z \quad 1.2 \cdot h_{ave} - 0.2 \cdot x = 1.2 \cdot 20 - 0.2 \cdot 75,6 = 8.88$$

$$0.6 \cdot h = 0.6 \cdot 79.115 = 47.469$$

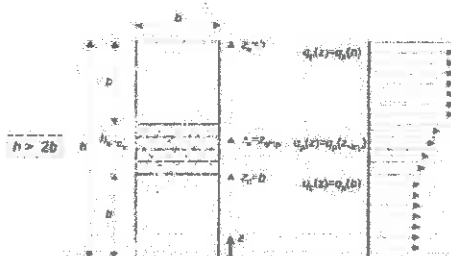
$$h_{dis} = 9 \text{ m}$$

\Rightarrow výška pro výpočet větru se sníží o 9m

Uvažované působení větru



Výpočet tlaku větru ve výškách z



$$h = 63 \text{ m}$$

$$b = 19.5 \text{ m}$$

$$A = 1.2$$

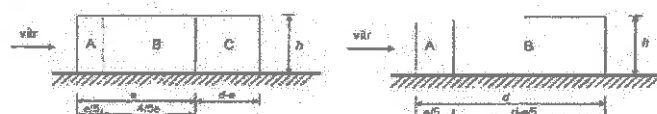
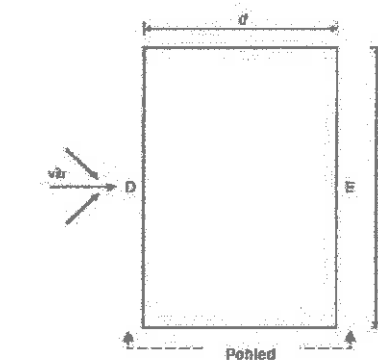
$$B = 0.8$$

$$C = 0.5$$

$$D = 0.8$$

$$Eu = 0.55$$

$$E_s = 0.68$$



Úroveň	72 (63)m
Patro 16	67,5 (58,5)m
Patro 15	63 (54)m
Patro 14	58,5 (49,5)m
Patro 13	54 (45)m
Patro 12	49,5 (40,5)m
Patro 11	45 (36)m
Patro 10	40,5 (31,5)m
Patro 9	36 (27)m
Patro 8	31,5 (22,5)m
Patro 7	27 (18)m
Patro 6	22,5 (13,5)m
Patro 5	18 (9)m
Patro 4	13,5 (4,5)m
Patro 3	9 (0)m
Patro 2	4,5m
Patro 1	0m

$$v = 25 \text{ m} \cdot \text{s}^{-1}$$

$$c_{\text{air}} = 1,0$$

$$c_{\text{ext}} = 1,0$$

$$c_{\text{obj}} = 1,0$$

$$z_0 = 1 \text{ m}$$

$$z_{\text{ref}} = 10 \text{ m}$$

$$z_{\infty} = 200 \text{ m}$$

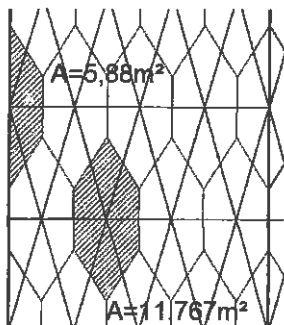
$$k_t = 1,0$$

$$\rho = 1,25 \text{ kg} \cdot \text{m}^{-3}$$

$$v_0 = 25 \text{ m} \cdot \text{s}^{-1}$$

$$k_z = 0,2343$$

z	c _t (z)	v _p (z)	l _p (z)	q _p (z)	A	B	C	D	Eu	E _s
10	0,5396	13,49	0,4343	459,44	-551,3	-367,6	-229,7	367,6	-252,7	-312,4
19,5	0,6961	17,40	0,3367	635,25	-762,3	-508,2	-317,6	508,2	-349,4	-432,0
22,5	0,7296	18,24	0,3212	675,41	-810,5	-540,3	-337,7	540,3	-371,5	-459,3
27	0,7723	19,31	0,3034	727,84	-873,4	-582,3	-363,9	582,3	-400,3	-494,9
31,5	0,8084	20,21	0,2899	773,29	-928,0	-618,6	-386,6	618,6	-425,3	-525,8
36	0,8397	20,99	0,2791	813,49	-976,2	-650,8	-406,7	650,8	-447,4	-553,2
40,5	0,8673	21,68	0,2702	849,58	-1019,5	-679,7	-424,8	679,7	-467,3	-577,7
43,5	0,8841	22,10	0,2651	871,76	-1046,1	-697,4	-435,9	697,4	-479,5	-592,8
43,5	0,9709	24,27	0,2414	990,26	-1188,3	-792,2	-495,1	792,2	-544,6	-673,4
79,115	1,0242	25,61	0,2288	1012,98						

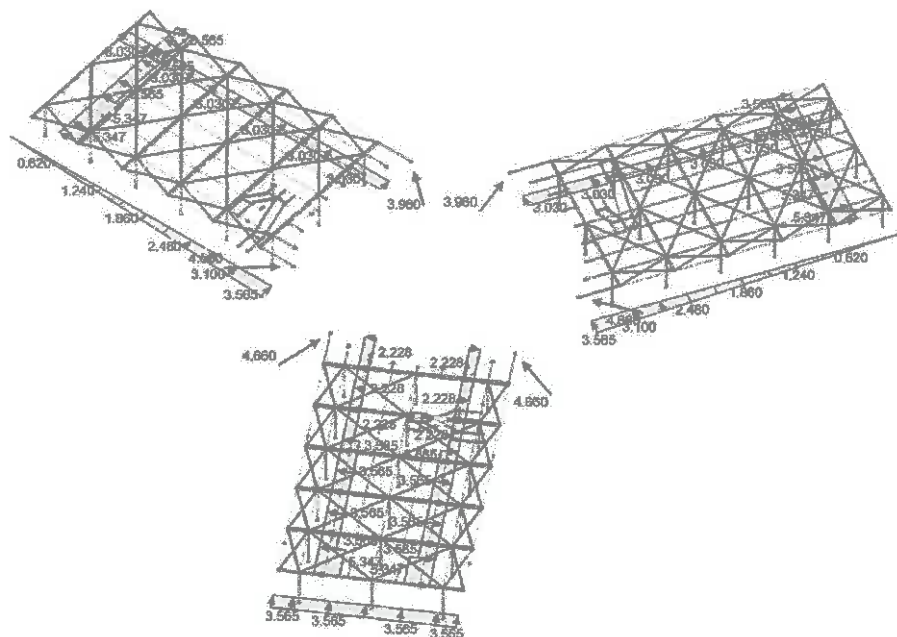


Mezi křídly je atrium zatíženo větrem do styčníků přepočet obdobný jako u opláštění

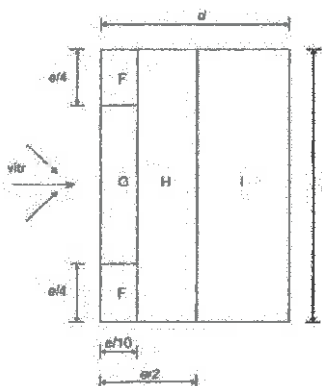
oblast A		oblast B		oblast C	
Zatížení		Zatížení		Zatížení	
z (m)	Krajní vzdálice kNm ⁻¹	Patro	Krajní vzdálice kNm ⁻¹	Patro	Krajní vzdálice kNm ⁻¹
63	-2970,77	16	-1980,51	16	-1237,82
58,5	-5347,39	15	-3564,92	15	-2228,08
54	-5347,39		-3564,92		-2228,08
49,5	-5347,39	14	-3564,92	14	-2228,08
45	-5240,74	13	-3493,83	13	-2183,64
40,5	-4647,61	12	-3098,41	12	-1936,51
36	-4490,27	11	-2993,52	11	-1870,95
31,5	-4284,31	10	-2856,21	10	-1785,13
27	-4053,08	9	-2702,05	9	-1688,78
22,5	-3788,78	8	-2525,85	8	-1578,66
18	-3466,47	7	-2310,98	7	-1444,36
13,5	-3430,33	6	-2286,88	6	-1429,30
9	-3430,33	5	-2286,88	5	-1429,30
4,5	-3430,33	4	-2286,88	4	-1429,30
0	-2955,66	3	-1970,44	3	-1231,52
2	-2480,99	2	-1653,99	2	-1033,74
1		1		1	

oblast D		oblast E		oblast Es	
Zatížení		Zatížení		Zatížení	
Patro	Krajní vzdálice kNm ⁻¹	Styčník atria kN	Patro	Krajní vzdálice kNm ⁻¹	Styčník atria kN
16	1980,51	5,18	16	-1361,60	-1683,44
		2,59			-2,20
15	3564,92	9,32	15	-2450,89	-7,92
		4,66			-3,96
14	3564,92	9,32	14	-2450,89	-7,92
		4,66			-3,96
13	3564,92	9,32	13	-2402,01	-7,77
		4,66			-3,88
12	3493,83	9,14	12	-2130,16	-2633,65
		4,57			-6,89
11	3098,41	8,10	11	-2058,04	-3,44
		4,05			-6,65
		7,83			-3,33
10	2993,52	3,91	10	-1963,64	-2427,78
		7,47			-6,35
9	2856,21	3,73	9	-1857,66	-6,01
		7,07			-5,14
8	2302,05	3,53	8	-1736,52	-2296,74
		6,61			-5,00
7	2525,85	3,30	7	-1588,80	-2146,97
		6,04			-4,81
6	2310,98	3,02	6	-1572,23	-1964,33
		5,98			-4,57
5	2286,88	2,99	5	-1572,23	-1943,85
		5,98			-4,54
4	2286,88	2,99	4	-1572,23	-1943,85
		5,98			-4,54
3	1970,44	2,99	3	-1354,68	-1943,85
		5,15			-4,38
2	1970,44	2,58	2	-1137,12	-1674,87
		4,33			-2,19
1	1653,99	2,16	1		-1405,89

Pro příklad, obrázek zatížení patra č.14



Zatížení na střeše administrativní části



Křídlo 1

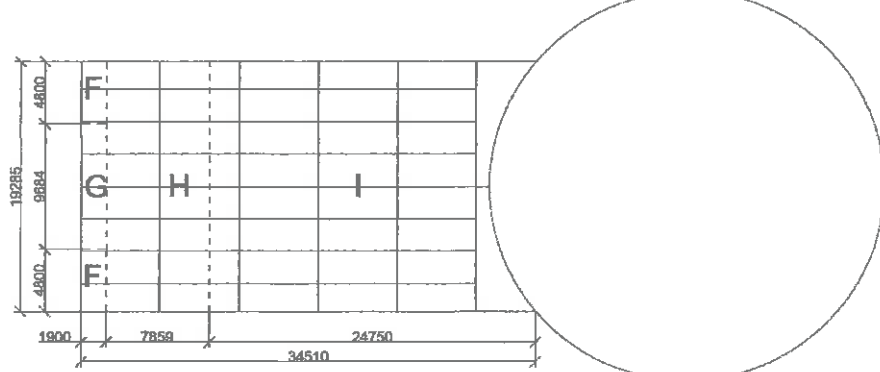
$$e = b$$

$$e = 19.5 \text{ m}$$

$$\frac{e}{10} = 1.95 \text{ m}$$

$$\frac{e}{4} = 4.875 \text{ m}$$

$$\frac{e}{2} = 9.75 \text{ m}$$



Křídla 2 a 3

$$e = b$$

$$e = 34.5 \text{ m}$$

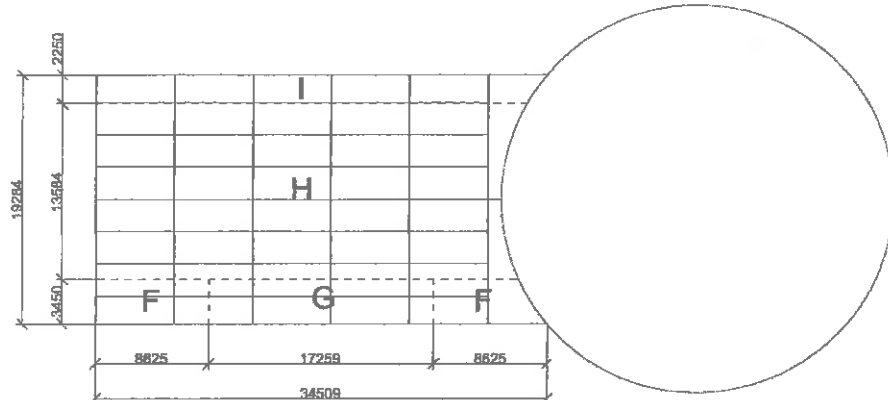
$$\frac{e}{10} = 3.45 \text{ m}$$

$$\frac{e}{4} = 8.625 \text{ m}$$

$$\frac{e}{2} = 17.25 \text{ m}$$

zatížení v 63m:

$$q_p = 0.9903 \text{ kNm}^{-2}$$



znaménko - je tah

$$q_F = -1.6 \cdot q_p = (-1.6) \cdot 0.9903$$

$$q_F = -1.584 \text{ kNm}^{-2}$$

$$q_G = -1.1 \cdot q_p = (-1.1) \cdot 0.9903$$

$$q_G = -1.089 \text{ kNm}^{-2}$$

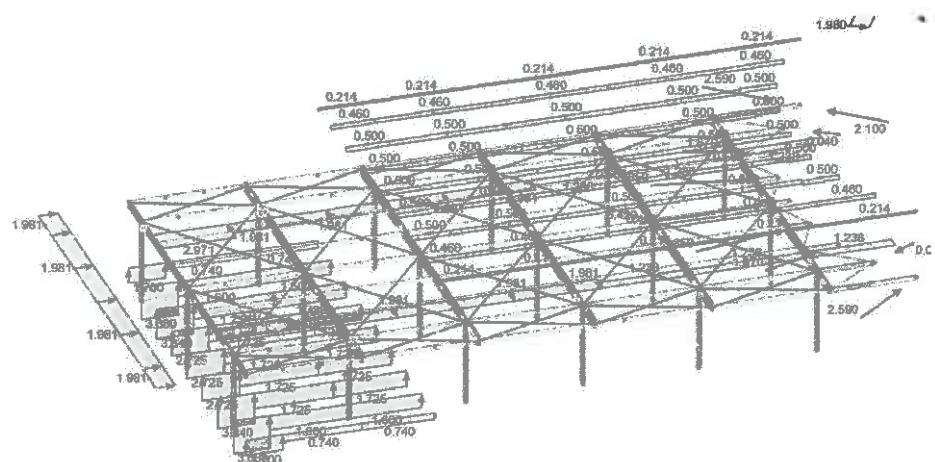
$$q_H = -0.7 \cdot q_p = (-0.7) \cdot 0.9903$$

$$q_H = -0.693 \text{ kNm}^{-2}$$

$$q_I = 0.2 \cdot q_p = 0.2 \cdot 0.9903$$

$$q_I = 0.198 \text{ kNm}^{-2}$$

Zatížení jsou umístěny pomocí zatěžovacích šírek na stropnice



Zatížení prstence zastřešení atria:

Zatížení je uvažováno jako zatížení na válec dle ČSN EN 1991-1-4 čl. 7.9

$$q_p = 1012.98 \text{ Nm}^{-2} \quad d = 30 \text{ m} \quad v = 15 \cdot 10^{-6} \text{ m}^2 \text{s}^{-1}$$

$$v = \sqrt{\frac{2 \cdot q_p}{\rho}} = \sqrt{\frac{2 \cdot 1012.98}{1.25}}$$

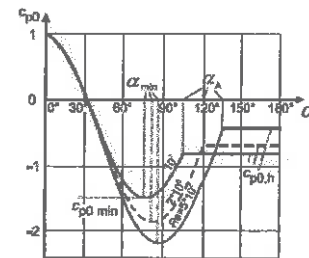
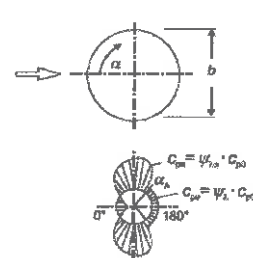
$$v = 40.259 \text{ ms}^{-1}$$

$$Re = \frac{d \cdot v}{v} = \frac{30 \cdot 40.259}{(15 \cdot 10^{-6})}$$

$$Re = 8.052 \times 10^7$$

Re	α_{min}	$C_{p0,min}$	α_h	$C_{p0,h}$
$5 \cdot 10^5$	85	-2,2	135	-0,4
$2 \cdot 10^6$	80	-1,9	120	-0,7
10^7	75	-1,5	105	-0,9

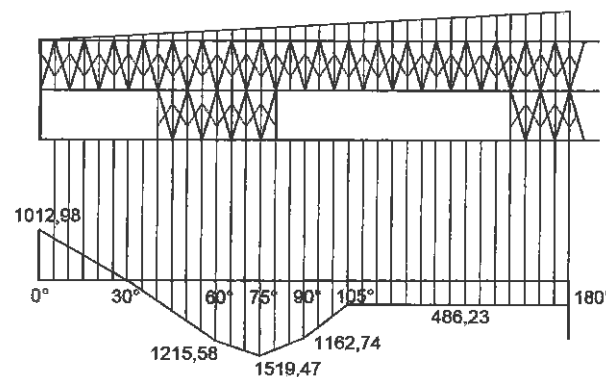
Kde je:
 α_{min} místo minimálního úhlu ve ($^\circ$);
 $C_{p0,min}$ hodnota součinitele minimálního tlaku;
 α_h poloha bodu oddělení proudu ve ($^\circ$);
 $C_{p0,h}$ součinitel tlaku na závěrné straně válce.



α	C_{p0}	ψ_h	$C_{p0,h}$	w
0	1	1	1	1012,98
31	0	1	0	0
60	-1,2	1	-1,2	-1215,58
75	-1,5	1	-1,5	-1519,47
90	-1,3	0,88	-1,15	-1162,74
105	-0,8	0,6	-0,48	-486,23

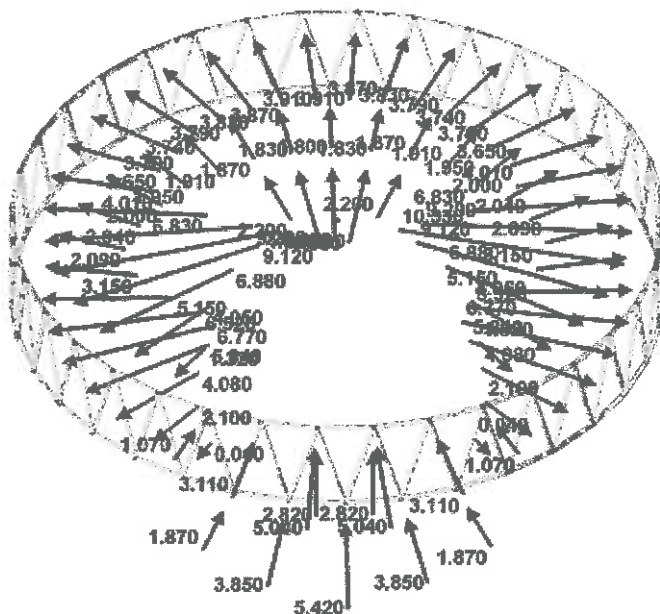
tlak
tah
tah
tah
tah

Rozvinutí kce atria k určení zatěžovacích ploch pro zatížení větrem do styčníků.

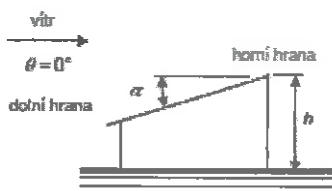


Bylo stanoveno zatížení na úsek 5° a poté pomocí poměru ploch mezi spodním a horním styčníkem byla tato síla rozdělena mezi horní a dolní styčník.

	% zastoupení					
	A (m ²)	spodní plochy	Zatížení (N)	části zatížení	Spodní styc.	části zatížení
1	2,99	0,50	5462	2,71	5,42	2,75
2	3,09	0,49	4469	2,18	3,85	2,29
3	3,18	0,48	3476	1,67		1,81
4	3,28	0,47	2483	1,17	1,87	1,31
5	3,38	0,47	1489	0,69		0,80
6	3,48	0,46	497	0,23	0,50	0,27
7	3,57	0,45	596	0,27		0,33
8	3,67	0,44	1788	0,80	2,10	0,99
9	3,77	0,44	2981	1,31		1,67
10	3,88	0,43	4173	1,80	4,08	2,37
11	3,97	0,43	5366	2,28		3,08
12	4,06	0,42	6558	2,76	5,84	3,80
13	4,16	0,41	7451	3,09		4,36
14	4,26	0,41	8046	3,29	6,77	4,76
15	4,36	0,40	8639	3,48		5,16
16	4,45	0,40	8587	3,42	6,52	5,17
17	4,55	0,39	7889	3,10		4,79
18	4,65	0,39	7191	2,79	5,15	4,40
19	4,75	0,38	6178	2,36		3,82
20	4,85	0,38	4851	1,83	3,15	3,02
21	4,94	0,37	3523	1,31		2,21
22	5,04	0,37	2859	1,05	2,09	1,81
23	5,14	0,36	2859	1,04		1,82
24	5,24	0,36	2859	1,03	2,04	1,83
25	5,33	0,36	2859	1,02		1,84
26	5,43	0,35	2859	1,00	2,00	1,85
27	5,53	0,35	2859	0,99		1,87
28	5,63	0,34	2859	0,98	1,95	1,88
29	5,73	0,34	2859	0,97		1,89
30	5,82	0,34	2859	0,96	1,91	1,90
31	5,92	0,33	2859	0,95		1,91
32	6,02	0,33	2859	0,94	1,87	1,92
33	6,12	0,32	2859	0,93		1,93
34	6,21	0,32	2859	0,92	1,83	1,94
35	6,31	0,32	2859	0,91		1,95
36	6,41	0,31	2859	0,90	1,80	1,96



Zatížení na střešní plášt' atria:



$$\alpha = 5^\circ$$

$$q_p = 1.01298 \text{ Nm}^{-2}$$

$$\frac{e}{10} = 3m$$

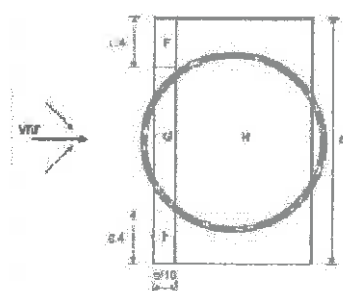
G = -1.2

$$H = -0.6 \quad q_G = q_p \cdot G = 1.01298 - 1.2$$

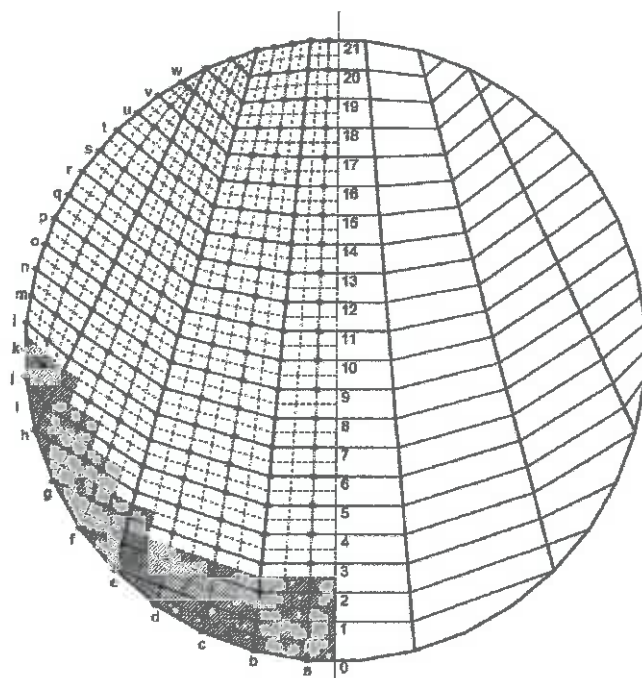
$$q_G = -1.216 \text{ kNm}^{-2}$$

$$q_H = q_p \cdot H = 1.01298 - 0.6$$

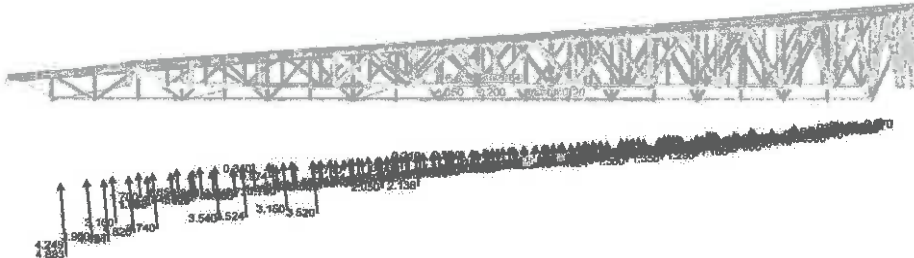
$$q_H = -0.608 \text{ kNm}^{-2}$$



uvažovaný způsob zatížení
oblasti G a H



Vyšrafováná část značí oblast G



Výpočet zatížení na jednotlivé uzly uveden v tabuce níže

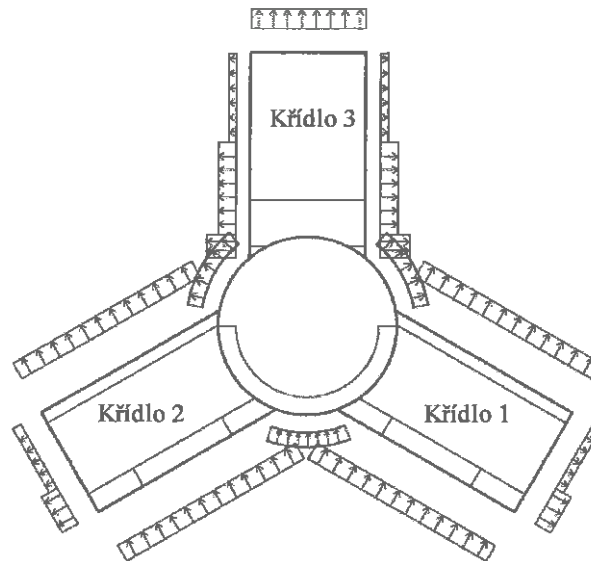
Sloupec a		Sloupec b		Sloupec c		Sloupec d		Sloupec e	
A (m ²)	Q (kN)								
a-21	0,615	b-21	0,624	c-21	0,570	d-21	0,560	e-21	0,419
a-20	1,336	b-20	1,313	c-20	1,237	d-20	1,184	e-20	0,943
a-19	1,450	b-19	1,416	c-19	1,343	d-19	1,290	e-19	1,193
a-18	1,565	b-18	1,525	c-18	1,449	d-18	1,396	e-18	1,294
a-17	1,679	b-17	1,639	c-17	1,554	d-17	1,502	e-17	1,395
a-16	1,794	b-16	1,747	c-16	1,660	d-16	1,607	e-16	1,496
a-15	1,909	b-15	1,856	c-15	1,766	d-15	1,712	e-15	1,597
a-14	2,024	b-14	1,965	c-14	1,872	d-14	1,817	e-14	1,698
a-13	2,139	b-13	2,074	c-13	1,978	d-13	1,922	e-13	1,799
a-12	2,254	b-12	2,183	c-12	2,084	d-12	2,027	e-12	1,900
a-11	2,369	b-11	2,292	c-11	2,190	d-11	2,132	e-11	2,001
a-10	2,484	b-10	2,401	c-10	2,296	d-10	2,237	e-10	2,102
a-9	2,599	b-9	2,510	c-9	2,402	d-9	2,342	e-9	2,203
a-8	2,714	b-8	2,619	c-8	2,508	d-8	2,447	e-8	2,304
a-7	2,829	b-7	2,728	c-7	2,614	d-7	2,552	e-7	2,405
a-6	2,944	b-6	2,837	c-6	2,720	d-6	2,657	e-6	2,506
a-5	3,059	b-5	2,946	c-5	2,826	d-5	2,762	e-5	2,607
a-4	3,169	b-4	3,055	c-4	2,932	d-4	2,867	e-4	2,708
a-3	3,283	b-3	3,179	c-3	3,035	d-3	2,972	e-3	2,809
a-2	3,398	b-2	3,289	c-2	3,141	d-2	3,077	e-2	2,910
a-1	4,017	b-1	3,495	c-1	3,217	d-1	2,604	e-1	1,400
a-0	2,320	b-0	1,849	c-0	1,646	d-0	1,045		1,702

Sloupec f		Sloupec g		Sloupec h		Sloupec i		zbytek krajních bodů	
A (m ²)	Q (kN)	A (m ²)	Q (kN)						
f-20	0,584	g-20	0,944	h-19	0,523	i-18	0,482	w-18	0,181
f-19	0,902	g-19	1,159	h-18	0,838	i-17	0,940	v-17	0,516
f-18	1,140	g-18	1,353	h-17	1,052	i-16	1,340	u-16	0,628
f-17	1,333	g-17	1,456	h-16	1,296	i-15	1,650	t-15	0,856
f-16	1,430	g-16	1,662	h-15	1,506	i-14	1,913	s-14	0,959
f-15	1,527	g-15	1,765	h-14	1,682	i-13	2,137	r-13	1,156
f-14	1,624	g-14	1,868	h-13	1,821	i-12	2,215	q-12	1,121
f-13	1,721	g-13	1,971	h-12	1,923	i-11	2,233	p-11	1,159
f-12	1,818	g-12	2,074	h-11	1,986	i-10	2,179	o-10	1,088
f-11	1,915	g-11	2,177	h-10	2,013	i-9	2,036	n-9	1,041
f-10	2,012	g-10	2,280	h-9	1,998	i-8	1,821	m-8	0,884
f-9	2,109	g-9	2,383	h-8	1,950	i-7	1,525	l-7	0,757
f-8	2,206	g-8	2,486	h-7	1,876	i-6	1,163	k-6	0,523
f-7	2,303	g-7	2,589	h-6	1,759	i-5	0,763	j-5	0,340
f-6	2,400	g-6	2,692	h-5	1,683				0,207
f-5	2,497	g-5	2,795	h-4	1,218				
f-4	2,594	g-4	2,898						
f-3	2,899	g-3	1,603						
f-2	1,493								

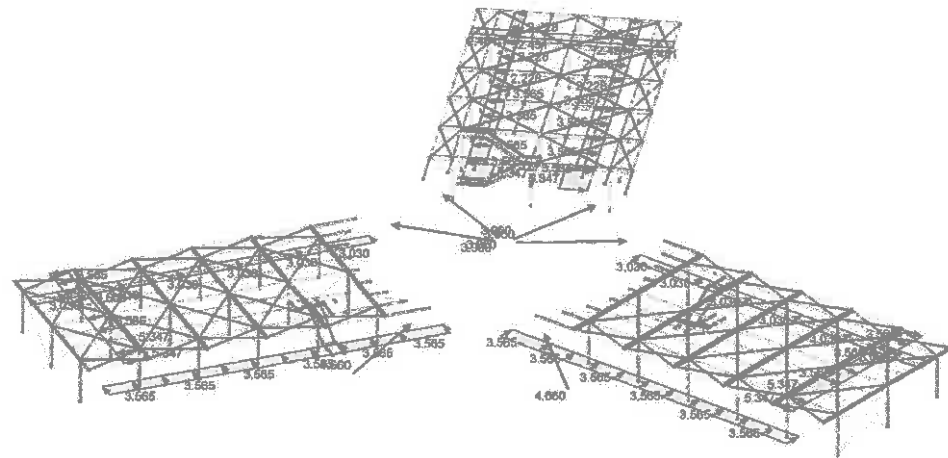
0,810	0,880	0,950	1,020	1,090	1,160	1,230	1,300	1,370	1,440	1,510	1,580	1,650	1,720	1,790	1,860	1,926	1,995	4,131	4,883	
0,800	0,860	0,930	0,990	0,960	1,130	1,190	1,260	1,330	1,390	1,460	1,530	1,600	1,680	1,720	1,780	1,857	1,932	3,998	4,249	
0,750	0,818	0,880	0,945	0,910	1,073	1,140	1,200	1,267	1,330	1,400	1,474	1,540	1,610	1,680	1,720	1,780	1,857	1,932	3,998	4,249
0,720	0,784	0,850	0,913	0,980	1,040	1,104	1,170	1,232	1,290	1,360	1,423	1,490	1,550	1,615	1,680	1,740	1,810	1,874	1,940	3,900
0,610	0,570	0,640	0,710	0,790	1,030	1,090	1,150	1,220	1,280	1,340	1,400	1,460	1,524	1,590	1,650	1,720	1,780	1,845	1,910	3,820
0,574	0,610	0,680	0,750	0,820	1,030	1,090	1,150	1,220	1,280	1,340	1,400	1,460	1,524	1,590	1,650	1,720	1,780	1,845	1,910	3,820
0,520	0,580	0,650	0,720	0,790	1,030	1,090	1,150	1,220	1,280	1,340	1,400	1,460	1,524	1,590	1,650	1,720	1,780	1,845	1,910	3,820
0,480	0,540	0,610	0,680	0,750	1,030	1,090	1,150	1,220	1,280	1,340	1,400	1,460	1,524	1,590	1,650	1,720	1,780	1,845	1,910	3,820
0,410	0,470	0,540	0,610	0,680	1,030	1,090	1,150	1,220	1,280	1,340	1,400	1,460	1,524	1,590	1,650	1,720	1,780	1,845	1,910	3,820
0,370	0,430	0,500	0,570	0,640	1,030	1,090	1,150	1,220	1,280	1,340	1,400	1,460	1,524	1,590	1,650	1,720	1,780	1,845	1,910	3,820
0,310	0,370	0,440	0,510	0,580	1,030	1,090	1,150	1,220	1,280	1,340	1,400	1,460	1,524	1,590	1,650	1,720	1,780	1,845	1,910	3,820
0,280	0,340	0,410	0,480	0,550	1,030	1,090	1,150	1,220	1,280	1,340	1,400	1,460	1,524	1,590	1,650	1,720	1,780	1,845	1,910	3,820
0,250	0,310	0,380	0,450	0,520	1,030	1,090	1,150	1,220	1,280	1,340	1,400	1,460	1,524	1,590	1,650	1,720	1,780	1,845	1,910	3,820
0,220	0,290	0,360	0,430	0,500	1,030	1,090	1,150	1,220	1,280	1,340	1,400	1,460	1,524	1,590	1,650	1,720	1,780	1,845	1,910	3,820
0,180	0,260	0,330	0,400	0,470	1,030	1,090	1,150	1,220	1,280	1,340	1,400	1,460	1,524	1,590	1,650	1,720	1,780	1,845	1,910	3,820
0,150	0,230	0,300	0,370	0,440	1,030	1,090	1,150	1,220	1,280	1,340	1,400	1,460	1,524	1,590	1,650	1,720	1,780	1,845	1,910	3,820
0,120	0,200	0,270	0,340	0,410	1,030	1,090	1,150	1,220	1,280	1,340	1,400	1,460	1,524	1,590	1,650	1,720	1,780	1,845	1,910	3,820
0,090	0,160	0,230	0,300	0,370	1,030	1,090	1,150	1,220	1,280	1,340	1,400	1,460	1,524	1,590	1,650	1,720	1,780	1,845	1,910	3,820
0,060	0,130	0,200	0,270	0,340	1,030	1,090	1,150	1,220	1,280	1,340	1,400	1,460	1,524	1,590	1,650	1,720	1,780	1,845	1,910	3,820
0,030	0,100	0,170	0,240	0,310	1,030	1,090	1,150	1,220	1,280	1,340	1,400	1,460	1,524	1,590	1,650	1,720	1,780	1,845	1,910	3,820
0,000	0,070	0,140	0,210	0,280	1,030	1,090	1,150	1,220	1,280	1,340	1,400	1,460	1,524	1,590	1,650	1,720	1,780	1,845	1,910	3,820

4.3.19 ZS 19 - Vítr B

Postup výpočtu zatížení Vítr B je identický jako u ZS Vítr A proto je postup u ZS Vítr B stručnější.



Pro příklad, obrázek zatížení patra č.14

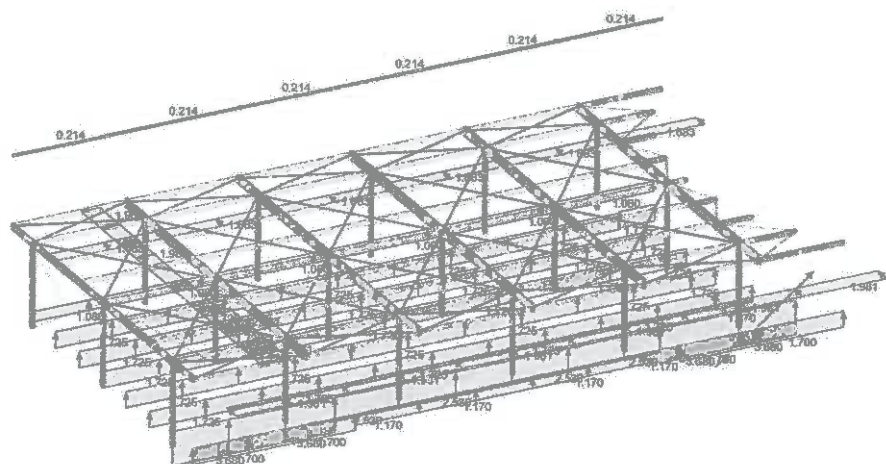


Zatížení na střeše administrativní části

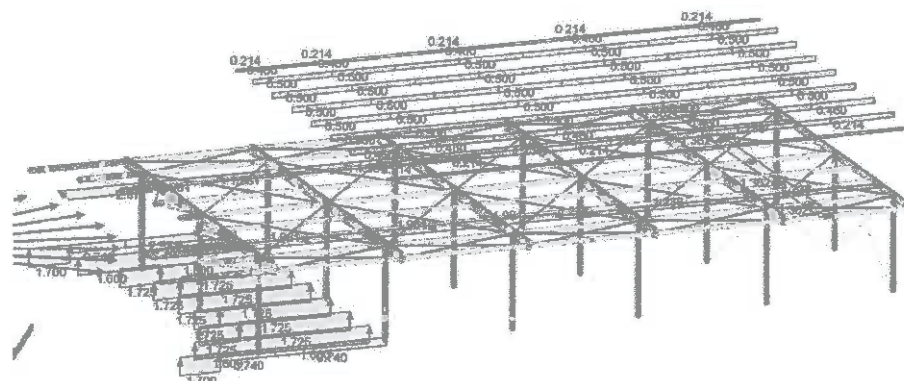
stejné jako u ZS 18 Vitr A

Zatížení jsou umístěny pomocí zatěžovacích šírek na stropnice

Křídlo 1 a 2



Křídlo 3



Zatížení prstence zastřešení atria:

Je identické jako u ZS 18 Vitr A, jen otočený o 180°

Zatížení na střešní plášt' atria:

$$\alpha = 5^\circ$$

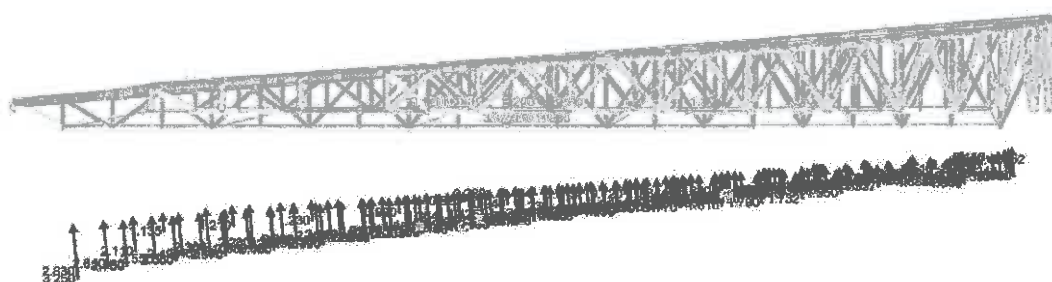
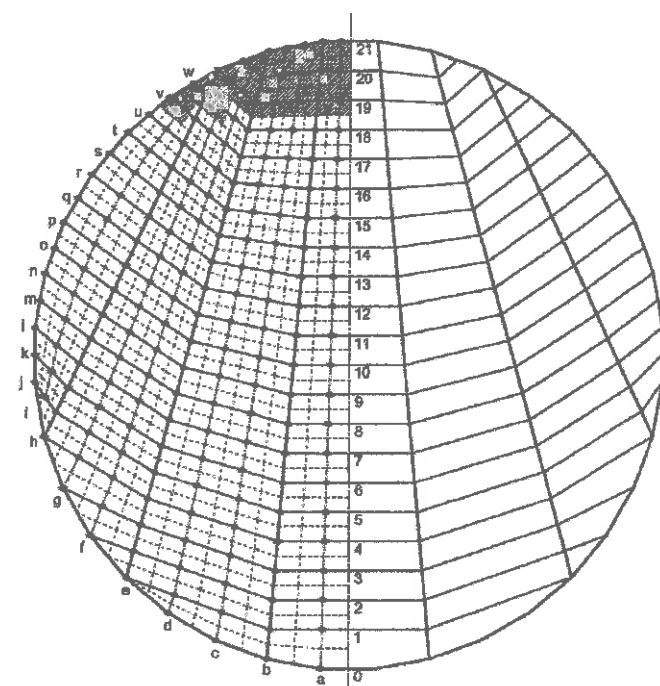
$$q_p = 1.01298 \text{ Nm}^{-2}$$

$$\frac{e}{10} = 3\text{m}$$

$$G = -1.3$$

$$H = -0.8 \quad q_G = q_p \cdot G = 1.01298 \cdot -1.3 \quad q_H = q_p \cdot H = 1.01298 \cdot -0.8$$

$$q_G = -1.317 \text{ kNm}^{-2} \quad q_H = -0.81 \text{ kNm}^{-2}$$



1750	1910	1270	1360	1450	1550	1640	1733	1630	1620	2016	2106	2200	2280	2390	2480	2570	2660	2750	2850
1730	1886	240	130	1420	1500	1580	1680	1770	1860	1950	2034	2120	2210	2300	2390	2480	2580	2680	2780
1630	1770	170	1280	1350	1430	1520	1600	1690	1780	1870	1950	2030	2110	2200	2290	2380	2460	2560	2660
1590	1700	130	120	130	140	150	160	170	180	190	1990	2080	2170	2260	2350	2440	2530	2630	2730
1240	1410	130	1220	1300	1380	1470	1560	1640	1730	1820	1910	1990	2080	2170	2260	2350	2440	2530	2630
0,552	1,180	0,967	1,130	1,210	1,290	1,380	1,470	1,560	1,640	1,730	1,820	1,910	1,990	2,080	2,170	2,260	2,350	2,440	2,530
0,424	1,160	1,080	1,150	1,240	1,320	1,410	1,500	1,590	1,680	1,770	1,860	1,950	2,040	2,130	2,220	2,310	2,400	2,490	2,580
0,160	1,260	1,150	1,240	1,330	1,420	1,510	1,600	1,690	1,780	1,870	1,960	2,050	2,140	2,230	2,320	2,410	2,500	2,590	2,680
0,050	1,365	1,350	1,450	1,550	1,650	1,750	1,850	1,950	2,050	2,150	2,250	2,350	2,450	2,550	2,650	2,750	2,850	2,950	3,050
1,208	1,050	1,050	1,150	1,250	1,350	1,450	1,550	1,650	1,750	1,850	1,950	2,050	2,150	2,250	2,350	2,450	2,550	2,650	2,750
0,420	1,000	1,220	1,310	1,400	1,490	1,580	1,670	1,760	1,850	1,940	2,030	2,120	2,210	2,300	2,390	2,480	2,570	2,660	2,750
0,310	1,337	1,260	1,360	1,460	1,560	1,660	1,764	1,860	1,960	2,060	2,160	2,260	2,360	2,460	2,560	2,660	2,760	2,860	2,960
0,080	1,550	1,500	1,560	1,620	1,680	1,740	1,800	1,860	1,920	1,980	2,040	2,100	2,160	2,220	2,280	2,340	2,400	2,460	2,520
0,277	1,732	1,700	1,810	1,880	1,950	2,020	2,090	2,160	2,230	2,300	2,370	2,440	2,510	2,580	2,650	2,720	2,790	2,860	2,930
0,040	1,810	1,770	1,850	1,920	1,990	2,060	2,130	2,200	2,270	2,340	2,410	2,480	2,550	2,620	2,690	2,760	2,830	2,900	2,970
0,310	1,770	1,850	1,920	1,990	2,060	2,130	2,200	2,270	2,340	2,410	2,480	2,550	2,620	2,690	2,760	2,830	2,900	2,970	3,040
0,040	1,850	1,720	0,813	0,424	0,300	0,244	0,177	0,110	0,040	0,000	0,000	0,000	0,000	0,000	0,000	0,000	0,000	0,000	0,000

Výpočet sil je uveden v tabulkách níže

Sloupec a		Sloupec b		Sloupec c		Sloupec d		Sloupec e						
A (m ²)	Q (kN)													
a-21	0,615	0,81	b-21	0,624	0,82	c-21	0,570	0,75	d-21	0,560	0,74	e-21	0,419	0,55
a-20	1,336	1,76	b-20	1,313	1,73	c-20	1,237	1,63	d-20	1,184	1,56	e-20	0,943	1,24
a-19	1,450	1,91	b-19	1,416	1,86	c-19	1,343	1,77	d-19	1,290	1,70	e-19	1,193	1,57
a-18	1,565	1,27	b-18	1,525	1,24	c-18	1,449	1,17	d-18	1,396	1,13	e-18	1,294	0,97
a-17	1,679	1,36	b-17	1,639	1,33	c-17	1,554	1,26	d-17	1,502	1,22	e-17	1,395	1,13
a-16	1,794	1,45	b-16	1,747	1,42	c-16	1,660	1,35	d-16	1,607	1,30	e-16	1,496	1,21
a-15	1,909	1,55	b-15	1,856	1,50	c-15	1,766	1,43	d-15	1,712	1,39	e-15	1,597	1,29
a-14	2,024	1,64	b-14	1,965	1,59	c-14	1,872	1,52	d-14	1,817	1,47	e-14	1,698	1,38
a-13	2,139	1,73	b-13	2,074	1,68	c-13	1,978	1,60	d-13	1,922	1,56	e-13	1,799	1,46
a-12	2,254	1,83	b-12	2,183	1,77	c-12	2,084	1,69	d-12	2,027	1,64	e-12	1,900	1,54
a-11	2,369	1,92	b-11	2,292	1,86	c-11	2,190	1,77	d-11	2,132	1,73	e-11	2,001	1,62
a-10	2,484	2,01	b-10	2,401	1,95	c-10	2,296	1,86	d-10	2,237	1,81	e-10	2,102	1,70
a-9	2,599	2,11	b-9	2,510	2,03	c-9	2,402	1,95	d-9	2,342	1,90	e-9	2,203	1,79
a-8	2,714	2,20	b-8	2,619	2,12	c-8	2,508	2,03	d-8	2,447	1,98	e-8	2,304	1,87
a-7	2,829	2,29	b-7	2,728	2,21	c-7	2,614	2,12	d-7	2,552	2,07	e-7	2,405	1,95
a-6	2,944	2,39	b-6	2,837	2,30	c-6	2,720	2,20	d-6	2,657	2,15	e-6	2,506	2,03
a-5	3,059	2,48	b-5	2,946	2,39	c-5	2,826	2,29	d-5	2,762	2,24	e-5	2,607	2,11
a-4	3,169	2,57	b-4	3,055	2,48	c-4	2,932	2,38	d-4	2,867	2,32	e-4	2,708	2,19
a-3	3,283	2,66	b-3	3,179	2,58	c-3	3,035	2,46	d-3	2,972	2,41	e-3	2,809	2,28
a-2	3,398	2,75	b-2	3,289	2,67	c-2	3,141	2,55	d-2	3,077	2,49	e-2	2,910	2,36
a-1	4,017	3,26	b-1	3,495	2,83	c-1	3,217	2,61	d-1	2,604	2,11	e-1	1,400	1,13
a-0	2,320	1,88	b-0	1,849	1,50	c-0	1,646	1,33	d-0	1,045	0,85			

Sloupec f		Sloupec g		Sloupec h		Sloupec i		zbytek krajních bodů						
A (m ²)	Q (kN)	A (m ²)	Q (kN)											
f-20	0,584	0,77	g-20	0,944	1,24	h-19	0,523	0,42	i-18	0,482	0,39	w-18	0,520	0,42
f-19	0,902	1,19	g-19	1,159	1,53	h-18	0,838	0,68	i-17	0,940	0,76	v-17	0,516	0,42
f-18	1,140	1,50	g-18	1,353	1,78	h-17	1,052	0,85	i-16	1,340	1,09	u-16	0,628	0,51
f-17	1,333	1,08	g-17	1,456	1,18	h-16	1,296	1,05	i-15	1,650	1,34	t-15	0,856	0,69
f-16	1,430	1,16	g-16	1,662	1,35	h-15	1,506	1,22	i-14	1,913	1,55	s-14	0,959	0,78
f-15	1,527	1,24	g-15	1,765	1,43	h-14	1,682	1,36	i-13	2,137	1,73	r-13	1,156	0,94
f-14	1,624	1,32	g-14	1,868	1,51	h-13	1,821	1,48	i-12	2,215	1,80	q-12	1,121	0,91
f-13	1,721	1,39	g-13	1,971	1,60	h-12	1,923	1,56	i-11	2,233	1,81	p-11	1,159	0,94
f-12	1,818	1,47	g-12	2,074	1,68	h-11	1,986	1,61	i-10	2,179	1,77	o-10	1,088	0,88
f-11	1,915	1,55	g-11	2,177	1,76	h-10	2,013	1,63	i-9	2,036	1,65	n-9	1,041	0,84
f-10	2,012	1,63	g-10	2,280	1,85	h-9	1,998	1,62	i-8	1,821	1,48	m-8	0,884	0,72
f-9	2,109	1,71	g-9	2,383	1,93	h-8	1,950	1,58	i-7	1,525	1,24	l-7	0,757	0,61
f-8	2,206	1,79	g-8	2,486	2,01	h-7	1,876	1,52	i-6	1,163	0,94	k-6	0,523	0,42
f-7	2,303	1,87	g-7	2,589	2,10	h-6	1,759	1,43	i-5	0,763	0,62	j-5	0,340	0,28
f-6	2,400	1,94	g-6	2,692	2,18	h-5	1,683	1,36						
f-5	2,497	2,02	g-5	2,795	2,27	h-4	1,218	0,99						
f-4	2,594	2,10	g-4	2,898	2,35									
f-3	2,899	2,35	g-3	1,603	1,30									
f-2	1,493	1,21												

Souhrn zatěžovacích stavů:

ZS 1 - Vlastní třha
 ZS 2 - Stropní konstrukce administrativní části
 ZS 3 - Střešní konstrukce administrativní části
 ZS 4 - Atika střechy administrativní části
 ZS 5 - Pochází plocha atria + zábradlí
 ZS 6 - Střešní konstrukce atria
 ZS 7 - Schodiště
 ZS 8 - Obvodový plášt administrativní části
 ZS 9 - Obvodový plášt atria
 ZS 10 - Užitné - Kancelářské - plné
 ZS 11 - Užitné - Kancelářské - šach 1
 ZS 12 - Užitné - Kancelářské - šach 2
 ZS 13 - Užitné - střecha
 ZS 14 - Užitné - atrium
 ZS 15 - Užitné - schodiště
 ZS 16 - Sníh
 ZS 17 - Sníh - návěj
 ZS 18 - Vitr A
 ZS 19 - Vitr B

4.4 KOMBINACE

Kombinace byly vytvořeny ručně a zadány do programu RFEM

4.4.1 Mezní stav únosnosti - MSÚ

Rovnice 6.10:

$$\sum_{j>1} \gamma_{G,j} G_{k,j} + \gamma_P P + \gamma_{Q,1} Q_{k,1} + \sum_{i>1} \gamma_{Q,i} w_{0,i} Q_{k,i}$$

$$\Sigma G = ZS1 + ZS2 + ZS3 + ZS4 + ZS5 + ZS6 + ZS7 + ZS8 + ZS9$$

KZ 1 = 1,35*ΣG + 1,5*ZS18 + 1,5*0,7*ZS11	vitr A + šach 1
KZ 2 = 1,35*ΣG + 1,5*ZS18 + 1,5*0,7*ZS12	vitr A + šach 2
KZ 3 = 1,35*ΣG + 1,5*ZS18 + 1,5*0,7*ZS10	vitr A + plné
KZ 4 = 1,35*ΣG + 1,5*ZS19 + 1,5*0,7*ZS11	vitr B + šach 1
KZ 5 = 1,35*ΣG + 1,5*ZS19 + 1,5*0,7*ZS12	vitr B + šach 2
KZ 6 = 1,35*ΣG + 1,5*ZS19 + 1,5*0,7*ZS10	vitr B + plné
KZ 7 = 1,35*ΣG + 1,5*ZS16 + 1,5*0,7*ZS11	sníh + šach 1
KZ 8 = 1,35*ΣG + 1,5*ZS16 + 1,5*0,7*ZS12	sníh + šach 2
KZ 9 = 1,35*ΣG + 1,5*ZS16 + 1,5*0,7*ZS10	sníh + plné
KZ 10 = 1,35*ΣG + 1,5*ZS17	návěj
KZ 11 = 1,35*ΣG + 1,5*ZS13	užit. střecha
KZ 12 = 1,35*ΣG + 1,5*ZS14 + 1,5*0,6*ZS18	atrium + vitr A
KZ 13 = 1,35*ΣG + 1,5*ZS14 + 1,5*0,6*ZS19	atrium + vitr B
KZ 14 = 1,35*ΣG + 1,5*ZS14 + 1,5*0,7*ZS11	atrium + šach 1
KZ 15 = 1,35*ΣG + 1,5*ZS14 + 1,5*0,7*ZS12	atrium + šach 2
KZ 16 = 1,35*ΣG + 1,5*ZS14 + 1,5*0,7*ZS10	atrium + plné
KZ 17 = 1,35*ΣG + 1,5*ZS15 + 1,5*0,6*ZS18	schody + vitr A
KZ 18 = 1,35*ΣG + 1,5*ZS15 + 1,5*0,6*ZS19	schody + vitr B
KZ 19 = 1,35*ΣG + 1,5*ZS15 + 1,5*0,7*ZS11	schody + šach 1
KZ 20 = 1,35*ΣG + 1,5*ZS15 + 1,5*0,7*ZS12	schody + šach 2
KZ 21 = 1,35*ΣG + 1,5*ZS15 + 1,5*0,7*ZS10	schody + plné
KZ 22 = 1,35*ΣG + 1,5*ZS10 + 1,5*0,6*ZS18	plné + vitr A
KZ 23 = 1,35*ΣG + 1,5*ZS10 + 1,5*0,6*ZS19	plné + vitr B
KZ 24 = 1,35*ΣG + 1,5*ZS10 + 1,5*0,5*ZS16	plné + sníh
KZ 25 = 1,35*ΣG + 1,5*ZS10 + 1,5*0,5*ZS17	plné + návěj

KZ 26 = $\Sigma G + 1,5 \cdot ZS11 + 1,5 \cdot 0,6 \cdot ZS18$	šach 1 + vítr A
KZ 27 = $\Sigma G + 1,5 \cdot ZS11 + 1,5 \cdot 0,6 \cdot ZS19$	šach 1 + vítr B
KZ 28 = $\Sigma G + 1,5 \cdot ZS11 + 1,5 \cdot 0,5 \cdot ZS16$	šach 1 + sníh
KZ 29 = $\Sigma G + 1,5 \cdot ZS11 + 1,5 \cdot 0,5 \cdot ZS17$	šach 1 + návěj
KZ 30 = $\Sigma G + 1,5 \cdot ZS12 + 1,5 \cdot 0,6 \cdot ZS18$	šach 2 + vítr A
KZ 31 = $\Sigma G + 1,5 \cdot ZS12 + 1,5 \cdot 0,6 \cdot ZS19$	šach 2 + vítr B
KZ 32 = $\Sigma G + 1,5 \cdot ZS12 + 1,5 \cdot 0,5 \cdot ZS16$	šach 2 + sníh
KZ 33 = $\Sigma G + 1,5 \cdot ZS12 + 1,5 \cdot 0,5 \cdot ZS17$	šach 2 + návěj

4.4.2 Mezní stav použitelnosti - MSP

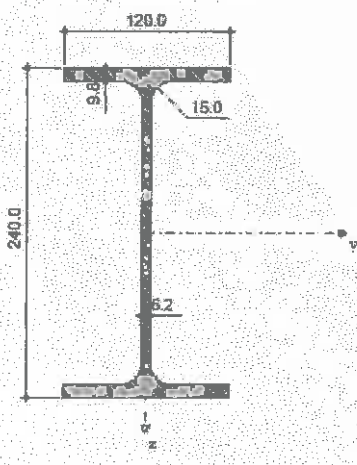
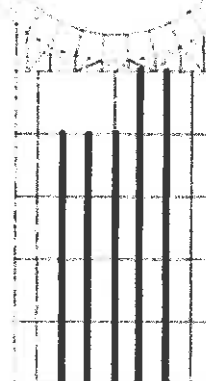
Rovnice 6.14b:

$$\sum_{j \geq 1} G_{k,j} + Q_{k,1} + \sum_{i > 1} \psi_{0,i} Q_{k,i}$$

KZ 34 = $\Sigma G + ZS18$	vítr A
KZ 35 = $\Sigma G + ZS19$	vítr B
KZ 36 = $\Sigma G + ZS10$	plné
KZ 37 = $\Sigma G + ZS11$	šach 1
KZ 38 = $\Sigma G + ZS12$	šach 2
KZ 39 = $\Sigma G + ZS16$	sníh
KZ 40 = $\Sigma G + ZS18 + 0,7 \cdot ZS10$	vítr A + plné
KZ 41 = $\Sigma G + ZS18 + 0,7 \cdot ZS11$	vítr A + šach 1
KZ 42 = $\Sigma G + ZS18 + 0,7 \cdot ZS12$	vítr A + šach 2
KZ 43 = $\Sigma G + ZS19 + 0,7 \cdot ZS10$	vítr B + plné
KZ 44 = $\Sigma G + ZS19 + 0,7 \cdot ZS11$	vítr B + šach 1
KZ 45 = $\Sigma G + ZS19 + 0,7 \cdot ZS12$	vítr B + šach 2
KZ 46 = $\Sigma G + ZS14$	atrium
KZ 47 = $\Sigma G + ZS14 + 0,6 \cdot ZS18$	atrium
KZ 48 = $\Sigma G + ZS14 + 0,6 \cdot ZS19$	atrium

5 POSOUZENÍ VYBRANÝCH PRVKŮ

5.1 SPŘAŽENÁ STROPNICE



$$\varepsilon = 1$$

$$c_f = 41.9 \text{ mm}$$

$$c_w = 190.4 \text{ mm}$$

$$t_f = 9.8 \text{ mm}$$

$$t_w = 6.2 \text{ mm}$$

$$\frac{c_f}{t_f} \leq 9 \cdot \varepsilon \quad \frac{41.9}{9.8} \leq 9 \\ 4.28 < 9$$

$$\frac{c_w}{t_w} \leq 72 \cdot \varepsilon \quad \frac{190.4}{6.2} \leq 72 \\ 30.71 < 72$$

Průřez třídy
1

STROPNICE - BĚŽNÁ

OCELOVÝ PROFIL

Třída průřezu:

IPE 240

1

Délka:

L = 6000 mm

Výška průřezu:

h_a = 240 mm

Šířka průřezu:

b = 120 mm

Tloušťka stojny:

t_w = 6.2 mm

Tloušťka pásnice:

t_f = 9.8 mm

Poloměr zaoblení:

r = 15 mm

Plocha průřezu:

A_a = 3912 mm²

Poloměr setrvačnosti:

i_y = 99.7 mm

i_z = 26.9 mm

Moment setrvačnosti:

I_y = 38920000 mm⁴

I_z = 2836000 mm⁴

Plastický průřezový modul:

W_{pl,y} = 366600 mm³

W_{pl,z} = 73920 mm³

Hmotnost profilu:

m = 30,7 kg m⁻¹

Materiál

Ocel:

S235

Mez kluzu:

f_y = 235 MPa

Návrhová mez kluzu:

f_{yd} = 235 MPa (γ_M0 = 1,0)

Modul pružnosti:

E_a = 210 GPa

BETONOVÁ DESKA

Osová vzdálenost vlevo:

B_1 = 2500 mm

Osová vzdálenost vpravo:

B_2 = 2500 mm

Celková výška desky:

h = 120 mm

Výška desky bez vln:

h_c = 70 mm

Materiál

Beton:

C 30 / 37

Charakteristická pevnost betonu v tlaku:

f_{ck} = 30 MPa

Návrhová pevnost betonu v tlaku:

f_{cd} = 20 MPa (γ_c = 1,5)

Modul pružnosti:

E_{cm} = 32 GPa

Objemová hmotnost ztvrdlého betonu:

ρ = 2500 kg m⁻³

Objemová hmotnost čerstvého betonu:

ρ = 2600 kg m⁻³

TRAPÉZOVÝ PLECH

Tloušťka plechu:

t_p = 1,0 mm

Výška vlny:

h_p = 50 mm

Šířka v těžišti vlny:

b_0 = 84,5 mm

Osová vzdálenost vln:

d_v = 250 mm

Efektivní moment setrvačnosti (kladný):

I_{eff,+} = 41300000 mm⁴

Efektivní modul průřezu (kladný):

W_{eff,+} = 124300 mm³

Efektivní modul průřezu (záporný):

W_{eff,-} = 128300 mm³

Hmotnost plechu:

m = 10 kg m⁻²

Materiál

Ocel:

S 320GD

Mez kluzu:

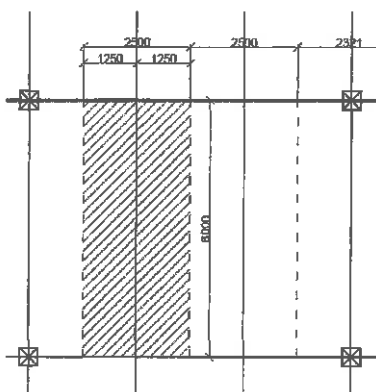
f_y = 320 MPa

Modul pružnosti:

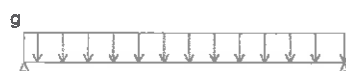
E = 210 GPa

5.1.1 ZATÍŽENÍ

STALÉ:



		g_k	$g_d (\gamma=1,35)$
<u>Fáze 1</u>	vlnatý tříha IPE deska - čerstvý beton trapézový plech	$t ZŠ \gamma_c = 0,087 * 2,5 * 26 =$ $m ZŠ = 0,1 * 2,5 =$	0,262 0,354 5,655 7,634 0,250 0,337
			$g_{k11} = 6,167 \text{ kN}\cdot\text{m}^{-1}$ $g_{d11} = 8,325 \text{ kN}\cdot\text{m}^{-1}$
<u>Fáze 2</u>	vlnatý tříha IPE deska - ztvrdlý beton trapézový plech	$t ZŠ \gamma_c = 0,087 * 2,5 * 25 =$ $m ZŠ = 0,1 * 2,5 =$	0,262 0,354 5,437 7,341 0,250 0,337
			$g_{k12} = 5,949 \text{ kN}\cdot\text{m}^{-1}$ $g_{d12} = 8,032 \text{ kN}\cdot\text{m}^{-1}$



	g_k	$g_d (\gamma=1,35)$
<u>Fáze 2</u> zbytek stálého zatížení (podhled + podlaha)	$g_k ZŠ = 1,671 * 2,5 =$	4,178 5,64
		$g_{k2} = 4,178 \text{ kN}\cdot\text{m}^{-1}$ $g_{d2} = 5,64 \text{ kN}\cdot\text{m}^{-1}$



	q_k	$q_d (\gamma=1,5)$
<u>Fáze 2</u> užitné kanceláře	$q_k ZŠ = 3,3 * 2,5 =$	8,250 12,375
		$q_k = 8,25 \text{ kN}\cdot\text{m}^{-1}$ $q_d = 12,375 \text{ kN}\cdot\text{m}^{-1}$

Fáze 1 - montážní: působí pouze ocelový nosník a trapézový plech
stropnice nebudou podepřeny

Fáze 2 - provozní: působí spřažený nosník s betonovou deskou

5.1.2 POSOUZENÍ TRAPÉZOVÉHO PLECHU

Zatížení:

Stálé:

	$t ZŠ \gamma_c = 0,087 * 1,0 * 26 =$ $m ZŠ = 0,1 * 1,0 =$	g_k	$g_d (\gamma=1,35)$
		2,262	3,054
		0,100	0,135
		$g_k = 2,362 \text{ kN}\cdot\text{m}^{-1}$ $g_d = 3,189 \text{ kN}\cdot\text{m}^{-1}$	

$$q_k \quad q_d (\gamma=1,5)$$

Proměnné:
montážní soustředné

$$1,500 \quad 2,250$$

$$q_k = 6.167 \text{ kN}\cdot\text{m}^{-1}$$

$$q_d = 8.325 \text{ kN}\cdot\text{m}^{-1}$$

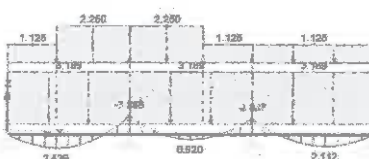
$$q_k \quad q_d (\gamma=1,5)$$

montážní na zbývající ploše

$$0,750 \quad 1,125$$

$$q_k = 0.750 \text{ kN}\cdot\text{m}^{-1}$$

$$q_d = 1.125 \text{ kN}\cdot\text{m}^{-1}$$



Posouzení MSÚ:

Max. moment v poli:

$$M_{Ed} = 2.426 \text{ kNm}$$

$$M_{Rd} = \frac{W_{yeff} f_y}{\gamma M_0} = \frac{1.243 \cdot 10^{-5} \cdot (320 \cdot 10^3)}{1}$$

$$M_{Rd} = 3.978 \text{ kNm}$$

$$M_{Ed} \leq M_{Rd} \quad 2.426 \leq 3.978$$

Vyhovuje

Max. moment nad podporou:

$$M_{Ed} = 2.426 \text{ kNm}$$

$$M_{Rd} = \frac{W_{yeff} f_y}{\gamma M_0} = \frac{1.283 \cdot 10^{-5} \cdot (320 \cdot 10^3)}{1}$$

$$M_{Rd} = 4.106 \text{ kNm}$$

$$M_{Ed} \leq M_{Rd} \quad 2.426 \leq 3.978$$

Vyhovuje



Posouzení MSP:

$$M_1 = 1.181 \text{ kNm}$$

$$\delta = \frac{1}{E \cdot I_{yeff}} \left(\frac{5}{384} g_k l^4 - \frac{1}{16} M_1 l^2 \right) = \frac{1}{[210 \cdot 10^6 \cdot (4.13 \cdot 10^{-7})]} \left(\frac{5}{384} \cdot 2.362 \cdot 2.5^4 - \frac{1}{16} \cdot 1.181 \cdot 2.5^2 \right)$$

$$\delta = 8.533 \times 10^{-3} \text{ m}$$

$$\delta_{max} = \frac{L}{250} = \frac{2.5}{250}$$

$$\delta_{max} = 0.01 \text{ m}$$

$$\delta \leq \delta_{max} \quad 8.5 \text{ mm} \leq 10 \text{ mm}$$

Vyhovuje

$$\delta \leq \frac{h}{10} \quad \delta \leq \frac{120}{10}$$

$$8.5 \text{ mm} \leq 12 \text{ mm}$$

-> rybníkový efekt není nutno uvažovat

5.1.3 POSOUZENÍ - OHYB - fáze 1

$$M_{Ed} = \frac{1}{8} g_{d11} \cdot L^2 = \frac{1}{8} \cdot 8.325 \cdot 6^2$$

$$M_{Ed} = 37.462 \text{ kNm}$$

$$M_{cRd} = \frac{W_{ply} f_{yd}}{\gamma_{MO}} = \frac{3.666 \cdot 10^{-4} \cdot (235 \cdot 10^3)}{1}$$

$$M_{cRd} = 86.15 \text{ kNm}$$

$$\frac{M_{Ed}}{M_{cRd}} \leq 1.0 \quad \frac{37.462}{86.15} = 0.435 < 1.0$$

Vyhovuje

5.1.4 POSOUZENÍ - SMYK - fáze 2

$$d_w = 0.1904 \text{ m}$$

$$t_w = 0.0062 \text{ m}$$

$$V_{Ed} = \frac{1}{2} (g_{d12} + g_{d2} + q_d) \cdot L = \frac{1}{2} (8.032 + 5.64 + 12.375) \cdot 6$$

$$V_{Ed} = 78.141 \text{ kN}$$

$$A_v = d_w \cdot t_w = 0.1904 \cdot 0.0062$$

$$A_v = 1.18 \times 10^{-3} \text{ m}^2$$

$$V_{plRd} = \frac{A_v f_{yd}}{\sqrt{3} \cdot \gamma_{MO}} = \frac{0.1904 \cdot 0.0062 \cdot (235 \cdot 10^3)}{(\sqrt{3} \cdot 1)}$$

$$V_{plRd} = 160.164 \text{ kN}$$

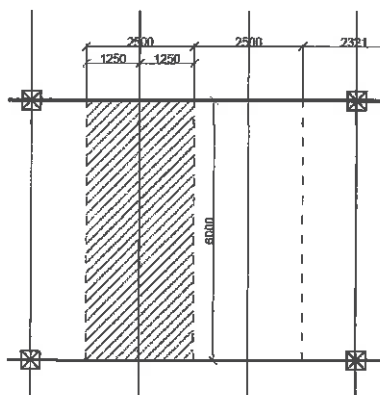
$$\frac{V_{Ed}}{V_{plRd}} \leq 1.0 \quad \frac{78.141}{160.16} = 0.488 < 1.0$$

Vyhovuje

5.1.5 POSOUZENÍ - OHYB - fáze 2

$$M_{Ed} = \frac{1}{8} (g_{d12} + g_{d2} + q_d) \cdot L^2 = \frac{1}{8} (8.032 + 5.64 + 12.375) \cdot 6^2$$

$$M_{Ed} = 117.212 \text{ kNm}$$



Spolupůsobící šířka desky:

$$b_{e1} = \min(L/8; b_1 = B_1/2) = \min(6/8; 2.5/2) = \min(0.75; 1.25)$$

$$b_{e2} = \min(L/8; b_2 = B_2/2) = \min(6/8; 2.5/2) = \min(0.75; 1.25)$$

$$b_t = 0$$

$$b_{eff} = b_{e1} + b_{e2} + b_t = 0.75 + 0.75 + 0$$

$$b_{e1} = 0.75 \text{ m}$$

$$b_{e2} = 0.75 \text{ m}$$

$$b_t = 0 \text{ m}$$

$$b_{eff} = 1.5 \text{ m}$$

Plasticá neutrálá osa:

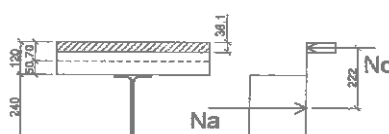
$$N_a = N_c$$

$$A_a \cdot f_{yd} = b_{eff} \cdot x_{pl} \cdot 0.85 \cdot f_{cd}$$

$$x_{pl} = \frac{A_a \cdot f_{yd}}{b_{eff} \cdot 0.85 \cdot f_{cd}} = \frac{3.912 \cdot 10^{-3} \cdot (235 \cdot 10^3)}{[1.5 \cdot 0.85 \cdot (20 \cdot 10^3)]}$$

$$x_{pl} = 0.036 \text{ m}$$

$$x_{pl} < h_d - h_p$$



$$0.036 < 0.120 - 0.050$$

$$0.036 < 0.07 \rightarrow \text{neutrálá osa v betonu}$$

$$r = \frac{h_a}{2} + h - \frac{x_{pl}}{2} = \frac{0.24}{2} + 0.12 - \frac{0.036}{2}$$

$$r = 0.222 \text{ m}$$

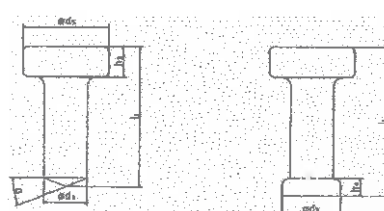
$$M_{plRd} = A_a \cdot f_{yd} \cdot r = 3.912 \cdot 10^{-3} \cdot (235 \cdot 10^3) \cdot 0.222$$

$$M_{plRd} = 204.089 \text{ kNm}$$

$$\frac{M_{Ed}}{M_{plRd}} \leq 1.0 \quad \frac{117.212}{197.15} = 0.595 < 1.0$$

Vyhovuje

5.1.6 NÁVRH SPŘAŽENÍ



Spřahovací prostředek

Průměr délku trnu

Průměr hlavy trnu

Výška hlavy trnu

Délka trnu

Délka trnu po přivaření

Vzdálenost trnů od sebe

Pevnost materiálu trnu

Součinitel spolehlivosti materiálu

spřahovací trny s hlavou

d= 22 mm

d_h= 35 mm

h_h= 10 mm

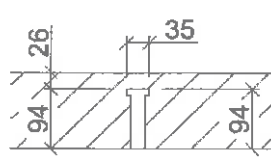
L_1= 100 mm

h_sc= 94 mm

s_i= 250mm (osová vzdálenost vln)

f_u= 360 MPa

γ_v= 1,25



Podélná smyková síla na polovině nosníku:

$$V_1 = A_a \cdot f_{yd} = 3.912 \cdot 10^{-3} \cdot 235000$$

$$V_1 = 919.3 \text{ kN}$$

Únosnost jednoho trnu:

$$P_{Rk1} = 0.8 \cdot f_u \cdot \pi \cdot \frac{d^2}{4} = 0.8 \cdot (360 \cdot 10^3) \cdot \pi \cdot \left(\frac{0.022^2}{4} \right)$$

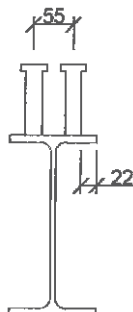
$$P_{Rk1} = 109.478 \text{ kN}$$

$$\alpha = 1.0$$

$$b_0 = 0.0845$$

$$h_p = 0.05$$

$$n_r = 2$$



$$P_{Rk2} = 0.29 \cdot \alpha \cdot d^2 \cdot \sqrt{f_{ck} E_{cm}} = 0.29 \cdot 1.0 \cdot 0.022^2 \cdot \sqrt{30 \cdot 10^3 \cdot (32 \cdot 10^6)}$$

$$P_{Rk2} = 137.524 \text{ kN}$$

$$P_{Rk} = \min (P_{Rk1}, P_{Rk2}) = \min (109.478, 137.524)$$

$$P_{Rk} = 109.478 \text{ kN}$$

$$k_t = \frac{0.7}{\sqrt{n_r}} \frac{b_0}{h_p} \left(\frac{h_{sc}}{h_p} - 1 \right) = \frac{0.7}{\sqrt{2}} \left(\frac{0.0845}{0.05} \right) \left(\frac{0.094}{0.05} - 1 \right)$$

$$k_t = 0.736$$

$$t_p = 1.0 \text{ mm} \rightarrow k_{t,max} = 0.85$$

$$k_t \leq k_{t,max}$$

$$k_t = 0.736$$

$$P_{Rd} = \frac{P_{Rk} \cdot k_t}{\gamma_v} = \frac{109.478 \cdot 0.736}{1.25}$$

$$P_{Rd} = 64.461 \text{ kN}$$

Potřebný počet trnů na celou délku nosníku:

$$n_f = 2 \cdot \frac{V_1}{P_{Rd}} = 2 \cdot \left(\frac{919.3}{64.461} \right)$$

$$n_f = 28.523 \text{ ks} \rightarrow 29 \text{ ks}$$

Možný počet trnů:

$$n = \frac{L}{s_l} \cdot 2 = \frac{6}{0.25} \cdot 2$$

$$n = 48 \text{ ks}$$

Stupeň smykového spojení:

$$\eta = \frac{n}{n_f} = \frac{48}{29}$$

$$\eta = 1.655 > 1.0 \rightarrow \text{plné spřažení}$$

Počet trnů: Navrhoji 32 ks trnů, v prvních 4 vlnách po 2ks zbytek po 1ks

Konstrukční zásady:

$$L_1 \geq 4 \cdot d$$

$$100 \geq 4 \cdot 22$$

$$100 \geq 88 \text{ mm} \quad \text{Vyhovuje}$$

$$d_h \geq 1.5 \cdot d$$

$$35 \geq 1.5 \cdot 22$$

$$35 \geq 33 \text{ mm} \quad \text{Vyhovuje}$$

$$h_h \geq 0.4 \cdot d$$

$$10 \geq 0.4 \cdot 22$$

10 \geq 8.8mm **Vyhovuje**

$$h_{sc} \geq 3 \cdot d$$

$$94 \geq 3 \cdot 22$$

94 \geq 66mm **Vyhovuje**

$$e_D \geq 20\text{mm}$$

22 \geq 20mm **Vyhovuje**

$$h_{sc} - h_p \geq 2 \cdot d$$

$$94 - 50 \geq 2 \cdot 22$$

44 \geq 44 **Vyhovuje**

$$s_l \geq 5 \cdot d$$

$$250 \geq 5 \cdot 22$$

250 \geq 110mm **Vyhovuje**

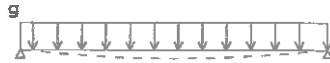
$$s_l < \min(8 \cdot h_c; 800\text{mm})$$

$$250 < \min(8 \cdot 70; 800)$$

$$250 < \min(560; 800)$$

250 $<$ 560 mm \rightarrow **Vyhovuje**

5.1.7 POSOUZENÍ PRŮHYBU - fáze 1



$$\delta_1 = \frac{5}{384} \frac{9k_{11} \cdot L^4}{E_a \cdot I_a} = \frac{5}{384} \left[\frac{6.167 \cdot 6^4}{210 \cdot 10^6 \cdot (3.892 \cdot 10^{-5})} \right]$$

$$\delta_1 = 0.013$$

$$\delta_{max} = \frac{L}{250} = \frac{6}{250}$$

$$\delta_{max} = 0.024$$

$$\delta_1 \leq \delta_{max}$$

13 \leq 24mm **Vyhovuje**

5.1.8 POSOUZENÍ PRŮHYBU - fáze 2

Ideální průřez

$$E_{cmi} = \frac{E_{cm}}{2} = \frac{32 \cdot 10^6}{2}$$

$$E_{cmi} = 1.6 \times 10^7 \text{ kPa}$$

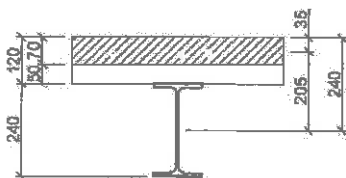
$$n = \frac{E_a}{E_{cmi}} = \frac{210 \cdot 10^6}{(1.6 \cdot 10^7)}$$

$$n = 13.125$$

$$A_c = b_{eff} \cdot h_c = 1.5 \cdot 0.07$$

$$A_c = 0.105 \text{ m}^2$$

$$z_t = \frac{A_a \left(\frac{h_a}{2} + h \right) + \frac{1}{n} b_{eff} h_c \frac{h_c}{2}}{A_a + \frac{1}{n} b_{eff} h_c} = \frac{\left[3.912 \cdot 10^{-3} \left(\frac{0.24}{2} + 0.12 \right) + \frac{1}{13.125} \cdot 1.5 \cdot 0.07 \cdot \left(\frac{0.07}{2} \right) \right]}{\left(3.912 \cdot 10^{-3} + \frac{1}{13.125} \cdot 1.5 \cdot 0.07 \right)}$$



$$z_t = 0.102 \text{ m}$$

$$r_a = \frac{h_a}{2} + h - z_t = \frac{0.24}{2} + 0.12 - 0.102$$

$$r_a = 0.138 \text{ m}$$

$$r_c = z_t - \frac{h_c}{2} = 0.102 - \frac{0.07}{2}$$

$$r_c = 0.067 \text{ m}$$

$$I_c = \frac{1}{12} b_{eff} h^3 = \frac{1}{12} \cdot 1.5 \cdot 0.12^3$$

$$I_c = 2.16 \times 10^{-4} \text{ m}^4$$

$$I_y = I_a + A_a \cdot r_a^2 + \frac{1}{n} (I_c + A_c \cdot r_c^2) = 3.892 \cdot 10^{-5} + 3.912 \cdot 10^{-3} \cdot 0.138^2 + \frac{1}{13.125} \cdot (2.16 \cdot 10^{-4} + 0.105 \cdot 0.067^2)$$

$$I_y = 1.658 \times 10^{-4} \text{ m}^4$$

$$\delta_2 = \frac{5}{384} \frac{(g_k 2 + q_k) \cdot L^4}{E_a \cdot I_y} = \frac{5}{384} \left[\frac{(4.178 + 8.25) \cdot 6^4}{210 \cdot 10^6 \cdot (1.658 \cdot 10^{-4})} \right]$$

$$\delta_2 = 6.023 \times 10^{-3} \text{ m}$$

$$\delta = \delta_1 + \delta_2 = 13 + 6$$

$$\delta = 19 \text{ mm}$$

$$\delta_{max} = \frac{L}{250} = \frac{6}{250}$$

$$\delta_{max} = 0.024$$

$$\delta \leq \delta_{max}$$

$$19 \leq 24 \text{ mm}$$

Vyhovuje

Poznámka:

Výpočty ostatních stropnic jsou uvedeny stručnější tabulkou

Prvek: Stropnice patrová krajní

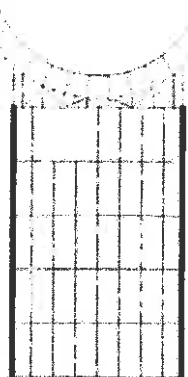
profil IPE 200
materiál S 235 Beton C 30 $f_{cd} = 20,00 \text{ MPa}$
délka L = 6 m
ZS = 1,071 m

Průřezové charakteristiky:

A = 2848 mm²
 $I_y = 19430000 \text{ mm}^4$
 $W_{pl} = 220600 \text{ mm}^3$
 $d_w = 159 \text{ mm}$
 $t_w = 5,6 \text{ mm}$
 $m = 0,224 \text{ kN}\cdot\text{m}^{-1}$

Spřahovací prostředky:

průměr trnu d = 22 mm
výška trnu h = 94 mm
rozteč trnů s = 250 mm



Spoluupůsobící šířka:

$B_1 = 2142 \text{ mm}$ min (b / 2 ; 1 / 8)
 $B_2 = 0 \text{ mm}$
 $h = 120 \text{ mm}$ $b_{el} = 750,0 \text{ mm}$
 $h_c = 70 \text{ mm}$ $b_{e2} = 0 \text{ mm}$ $b_{eff} = 750 \text{ mm}$

Zatížení:

Stálé $g_{k,1} = 2,75 \text{ kN}\cdot\text{m}^{-1}$ $g_{d,1,1} = 3,72 \text{ kN}\cdot\text{m}^{-1}$
 $g_{k,1,2} = 2,66 \text{ kN}\cdot\text{m}^{-1}$ $g_{d,1,2} = 3,59 \text{ kN}\cdot\text{m}^{-1}$
 $g_{k,2} = 6,29 \text{ kN}\cdot\text{m}^{-1}$ $g_{d,2} = 8,49 \text{ kN}\cdot\text{m}^{-1}$
včetně opláštění

proměnné $q_k = 3,53 \text{ kN}\cdot\text{m}^{-1}$ $q_d = 5,30 \text{ kN}\cdot\text{m}^{-1}$

Posouzení:

Fáze 1 Ohyb $M_{Ed} = 16,73 \text{ kNm}$
 $M_{p,Rd} = 51,84 \text{ kNm}$
 $M_{Ed} / M_{p,Rd} = 0,32$

Vyhovuje

Fáze 2 Smyk $V_{Ed} = 52,15 \text{ kN}$
 $V_{p,Rd} = 120,8 \text{ kN}$
 $V_{Ed} / V_{p,Rd} = 0,43$

Vyhovuje



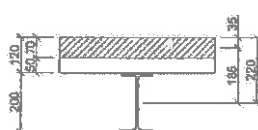
Ohyb $M_{Ed} = 78,23 \text{ kNm}$
 $x_{pl} = 52,5 \text{ mm}$
 $M_{p,Rd} = 129,68 \text{ kNm}$
 $M_{Ed} / M_{p,Rd} = 0,60$

plastická neutrální osa v betonu

Vyhovuje

Sprážení:

$V_i = 669,28 \text{ kN}$
 $P_{Rd} = 74,4 \text{ kN}$
 $n_r = 18 \text{ ks}$
 $n = 24 \text{ ks}$
 $\eta = 1,3 \geq 1,00$ → plné sprážení



Průhyb:

Fáze 1 $\delta_1 = 11,4 \text{ mm}$
 $\delta_{max} = 24 \text{ mm}$
 $\delta_1 / \delta_{max} = 0,47$

Vyhovuje

Fáze 2 $n = 14$
 $A_c = 52500 \text{ mm}^2$ $z_i = 114,9 \text{ mm}$ $r_i = 105,1 \text{ mm}$
 $r_c = 79,9 \text{ mm}$ $I_c = 21437500 \text{ mm}^4$
 $I_{y,i} = 76360310 \text{ mm}^4$
 $\delta_2 = 10,3 \text{ mm}$
 $\delta = 21,7 \text{ mm}$
 $\delta / \delta = 0,905$

Vyhovuje

Prvek: Stropnice patrová mezišloupová

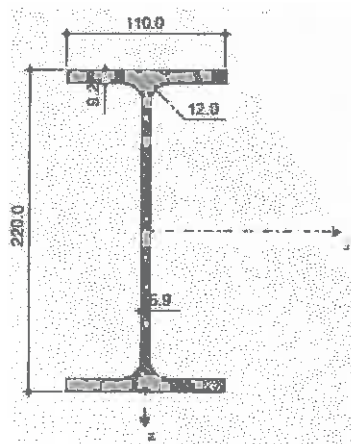
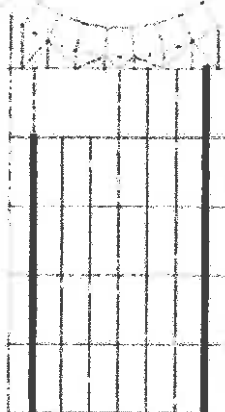
profil IPE 220
materiál S 235 Beton C 30 $f_{cd} = 20,00 \text{ MPa}$
délka L = 6 m
 $Z_s = 2,321 \text{ m}$

Průřezové charakteristiky:

A = 3337 mm²
 $I_y = 27720000 \text{ mm}^4$
 $W_{pl,y} = 285400 \text{ mm}^3$
 $d_w = 177,6 \text{ mm}$
 $t_w = 5,9 \text{ mm}$
 $m = 0,262 \text{ kN}\cdot\text{m}^{-1}$

Spřáhovací prostředky:

průměr trnu d = 22 mm
výška trnu h_{ac} = 94 mm
rozteč trnů s_i = 250 mm



Spoluupůsobící šířka:

B₁ = 2,142 mm min (b / 2 ; 1 / 8)
B₂ = 2,5 mm
h = 120 mm b_{el} = 750 mm
h_c = 70 mm b_{el} = 750 mm b_{eff} = 1500 mm

Zatížení:

Stálé	$g_{k,1,1} = 5,74 \text{ kN}\cdot\text{m}^{-1}$	$g_{d,1,1} = 7,75 \text{ kN}\cdot\text{m}^{-1}$
	$g_{k,1,2} = 5,54 \text{ kN}\cdot\text{m}^{-1}$	$g_{d,1,2} = 7,48 \text{ kN}\cdot\text{m}^{-1}$
	$g_{k,2} = 3,88 \text{ kN}\cdot\text{m}^{-1}$	$g_{d,2} = 5,24 \text{ kN}\cdot\text{m}^{-1}$
proměnné	$q_k = 7,66 \text{ kN}\cdot\text{m}^{-1}$	$q_d = 11,49 \text{ kN}\cdot\text{m}^{-1}$

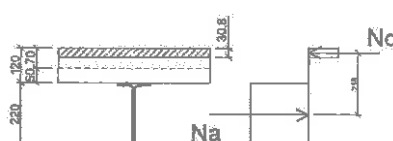
Posouzení:

Fáze 1 Ohyb $M_{Ed} = 34,90 \text{ kNm}$
 $M_{e,Rd} = 67,07 \text{ kNm}$
 $M_{Ed} / M_{e,Rd} = 0,52$

Vyhovuje

Fáze 2 Smyk $V_{Ed} = 72,62 \text{ kN}$
 $V_{pl,Rd} = 142,2 \text{ kN}$
 $V_{Ed} / V_{pl,Rd} = 0,51$

Vyhovuje



Ohyb $M_{Ed} = 108,93 \text{ kNm}$
 $x_{pl} = 30,8 \text{ mm}$
 $M_{pl,Rd} = 168,31 \text{ kNm}$
 $M_{Ed} / M_{pl,Rd} = 0,65$

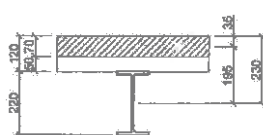
plastická neutrální osa v betonu

Vyhovuje

Sprážení:

$V_i = 784,2 \text{ kN}$
 $P_{Rd} = 74,4 \text{ kN}$
 $n_r = 22 \text{ ks}$
 $n = 24 \text{ ks}$
 $\eta = 1,1 \geq 1,00 \rightarrow \text{plné sprážení}$

Průhyb:



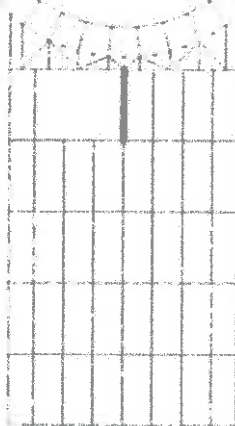
Fáze 1 $\delta_1 = 16,7 \text{ mm}$
 $\delta_{max} = 24 \text{ mm}$
 $\delta_1 / \delta_{max} = 0,69$

Vyhovuje

Fáze 2 $n = 14$
 $A_c = 105000 \text{ mm}^2$ $z_i = 95,0 \text{ mm}$ $r_a = 135,0 \text{ mm}$
 $r_c = 60,0 \text{ mm}$ $I_c = 42875000 \text{ mm}^4$
 $I_{y,i} = 118599302 \text{ mm}^4$
 $\delta_2 = 7,8 \text{ mm}$
 $\delta = 24,5 \text{ mm}$
 $\delta / \delta = 1,0195$ Vyhovuje
 $\approx 1,00$ s přihlédnutím na 3% zaokrouhlující chybu

Prvek: Stropnice patrová šachta krajní

profil IPE 200
materiál S 235 Beton C 30 $f_{ed} = 20,00 \text{ MPa}$
délka L = 6 m
 $Z_s = 1,071 \text{ m}$



Průřezové charakteristiky:

A = 2848 mm²
 $I_y = 19430000 \text{ mm}^4$
 $W_{pl,y} = 220600 \text{ mm}^3$
 $d_w = 159 \text{ mm}$
 $t_w = 5,6 \text{ mm}$
 $m = 0,224 \text{ kN}\cdot\text{m}^{-1}$

Spřáhovací prostředky:

průměr trnu d = 22 mm
výška trnu h_a = 94 mm
rozteč trnů s_l = 250 mm

Spoluúčinná šířka:

$B_1 = 2,142 \text{ mm}$ min (b/2; 1/8)
 $B_2 = 0 \text{ mm}$
 $h = 120 \text{ mm}$ $b_{el} = 750 \text{ mm}$
 $h_c = 70 \text{ mm}$ $b_{el} = 0 \text{ mm}$ $b_{eff} = 750 \text{ mm}$

Zatížení:

Stálé $g_{k,1,1} = 2,75 \text{ kN}\cdot\text{m}^{-1}$ $g_{k,1,2} = 3,72 \text{ kN}\cdot\text{m}^{-1}$
 $g_{k,1,2} = 2,66 \text{ kN}\cdot\text{m}^{-1}$ $g_{k,2} = 3,59 \text{ kN}\cdot\text{m}^{-1}$
 $g_{k,2} = 1,79 \text{ kN}\cdot\text{m}^{-1}$ $g_{k,2} = 2,42 \text{ kN}\cdot\text{m}^{-1}$

proměnné $q_k = 3,53 \text{ kN}\cdot\text{m}^{-1}$ $q_d = 5,30 \text{ kN}\cdot\text{m}^{-1}$

moment od stálého zatížení schodiště na ½ nosníku: $M_{Ed,g} = 3,02 \text{ kNm}$
moment od proměnného zatížení schodiště na ½ nosníku: $M_{Ed,q} = 12,4 \text{ kNm}$
(viz vnitřní síly z programu RFEM v příloze X.X)

Posouzení:

Fáze 1 Ohyb $M_{Ed} = 19,75 \text{ kNm}$
 $M_{c,Rd} = 51,84 \text{ kNm}$
 $M_{Ed} / M_{c,Rd} = 0,38$

Vyhovuje

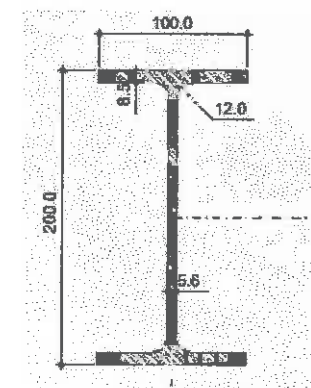
Fáze 2 Smyk $V_{Ed} = 33,93 \text{ kN}$
 $V_{pl,Rd} = 120,8 \text{ kN}$
 $V_{Ed} / V_{pl,Rd} = 0,28$

Vyhovuje

Ohyb $M_{Ed} = 63,29 \text{ kNm}$
 $x_{pl} = 52,5 \text{ mm}$
 $M_{pl,Rd} = 129,68 \text{ kNm}$
 $M_{Ed} / M_{pl,Rd} = 0,49$

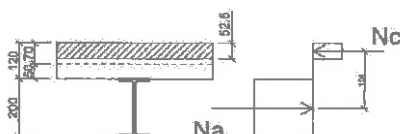
plastická neutrální osa v betonu

Vyhovuje



Sprážení:

$V_i = 669,28 \text{ kN}$
 $P_{rd} = 55,5 \text{ kN}$
 $n_i = 25 \text{ ks}$
 $n = 24 \text{ ks}$
 $\eta = 0,96 \geq 1,00 \rightarrow \text{plné spřážení}$



Průhyb:

Fáze 1 $\delta_1 = 11,4 \text{ mm}$
 $\delta_{max} = 24 \text{ mm}$
 $\delta_1 / \delta_{max} = 0,47$

Vyhovuje

Fáze 2 $n = 14$
 $A_c = 52500 \text{ mm}^2$ $z_i = 114,9 \text{ mm}$ $r_a = 105,1 \text{ mm}$
 $r_c = 79,9 \text{ mm}$ $I_c = 21437500 \text{ mm}^4$
 $I_{y,i} = 76360310 \text{ mm}^4$
 $\delta_2 = 5,6 \text{ mm}$
 $\delta = 17,0 \text{ mm}$
 $\delta / \delta = 0,708$

Vyhovuje

Prvek: **Stropnice patrová šachta vnitřní**

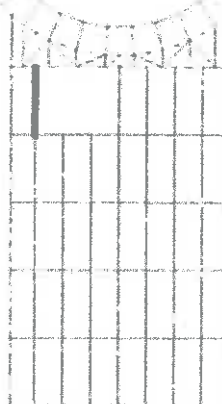
profil IPE 200
materiál S 235 Beton C 30 $f_{cd} = 20,00 \text{ MPa}$
délka L = 6 m
 $Z_S = 1,25 \text{ m}$

Průřezové charakteristiky:

A = 2848 mm²
 $I_y = 19430000 \text{ mm}^4$
 $W_{pl,y} = 220600 \text{ mm}^3$
 $d_w = 159 \text{ mm}$
 $t_w = 5,6 \text{ mm}$
 $m = 0,224 \text{ kN}\cdot\text{m}^{-1}$

Spřáhovací prostředky:

průměr trnu d = 22 mm
výška trnu h_{sc} = 94 mm
rozteč trnů s_i = 250 mm



Spoluupínací síňka:

B₁ = 2,5 mm min (b / 2 ; 1 / 8)
B₂ = 0 mm
h = 120 mm b_{el} = 750 mm
h_c = 70 mm b_{e2} = 0 mm b_{eff} = 750 mm

Zatížení:

Stálé g_{k,1,1} = 3,18 kN·m⁻¹ g_{k,l,1} = 4,29 kN·m⁻¹
g_{k,1,2} = 3,07 kN·m⁻¹ g_{k,l,2} = 4,14 kN·m⁻¹
g_{k,2} = 2,09 kN·m⁻¹ g_{k,l,2} = 2,82 kN·m⁻¹

proměnné q_k = 4,13 kN·m⁻¹ q_d = 6,19 kN·m⁻¹

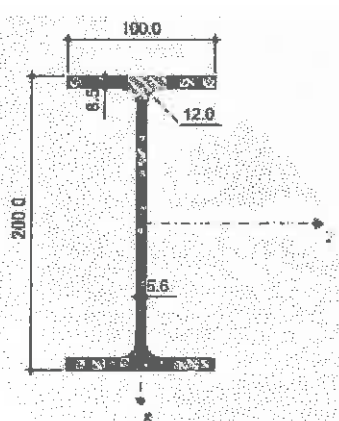
Posouzení:

Fáze 1 Ohyb M_{Ed} = 19,30 kNm
M_{c,Rd} = 51,84 kNm
M_{Ed} / M_{c,Rd} = 0,37

Vyhovuje

Fáze 2 Smyk V_{Ed} = 39,45 kN
V_{pl,Rd} = 120,8 kN
V_{Ed} / V_{pl,Rd} = 0,33

Vyhovuje



Ohyb M_{Ed} = 59,17 kNm
X_{pl} = 52,5 mm
M_{pL,Rd} = 129,68 kNm
M_{Ed} / M_{pL,Rd} = 0,46

plastická neutrální osa v betonu

Vyhovuje

Spřážení:

V_i = 669,28 kN
P_{Rd} = 74,4 kN
n_t = 18 ks
n = 24 ks
 $\eta = 1,3 \geq 1,00 \rightarrow \text{plné spřážení}$



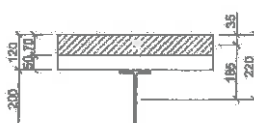
Průhyb:

Fáze 1 δ₁ = 13,1 mm
δ_{max} = 24 mm
δ₁ / δ_{max} = 0,55

Vyhovuje

Fáze 2 n = 14
A_c = 52500 mm² z_i = 114,9 mm r_a = 105,1 mm
r_c = 79,9 mm I_c = 21437500 mm⁴
I_{y,i} = 76360310 mm⁴
δ₂ = 6,5 mm
δ = 19,7 mm
δ / δ = 0,820

Vyhovuje



Prvek: Stropnice střešní běžná
 profil IPE 240
 materiál S 235
 délka L = 6 m
 ZŠ = 2,5 m

$$f_{cd} = 20,00 \text{ MPa}$$

Průřezové charakteristiky:

$$\begin{aligned} A &= 3912 \text{ mm}^2 \\ I_y &= 38920000 \text{ mm}^4 \\ W_{pl} &= 366600 \text{ mm}^3 \\ d_w &= 190,4 \text{ mm} \\ t_w &= 6,2 \text{ mm} \\ m &= 0,307 \text{ kN}\cdot\text{m}^{-1} \end{aligned}$$

Spřáhovací prostředky:

$$\begin{aligned} \text{průměr trnu} &= 22 \text{ mm} \\ \text{výška trnu} &= 94 \text{ mm} \\ \text{rozteč trnů} &= 250 \text{ mm} \end{aligned}$$

Spoluupůsobící šířka:

$$\begin{aligned} B_1 &= 2,5 \text{ mm} & \min(b/2; 1/8) \\ B_2 &= 2,5 \text{ mm} \\ h &= 120 \text{ mm} & b_{cl} = 750 \text{ mm} \\ h_c &= 70 \text{ mm} & b_{c2} = 750 \text{ mm} & b_{eff} = 1500 \text{ mm} \end{aligned}$$

Zatížení:

Stálé	$g_{k,1,1} = 6,21 \text{ kN}\cdot\text{m}^{-1}$	$g_{d,1,1} = 8,39 \text{ kN}\cdot\text{m}^{-1}$
	$g_{k,1,2} = 5,99 \text{ kN}\cdot\text{m}^{-1}$	$g_{d,1,2} = 8,09 \text{ kN}\cdot\text{m}^{-1}$
	$g_{k,2} = 6,65 \text{ kN}\cdot\text{m}^{-1}$	$g_{d,2} = 8,97 \text{ kN}\cdot\text{m}^{-1}$
proměnné	$q_k = 6,25 \text{ kN}\cdot\text{m}^{-1}$	$q_d = 9,38 \text{ kN}\cdot\text{m}^{-1}$

Posouzení:

Fáze 1 Ohyb $M_{Ed} = 37,74 \text{ kNm}$
 $M_{c,Rd} = 86,15 \text{ kNm}$
 $M_{Ed} / M_{c,Rd} = 0,44$

Vyhovuje

Fáze 2 Smyk $V_{Ed} = 79,31 \text{ kN}$
 $V_{pl,Rd} = 160,2 \text{ kN}$
 $V_{Ed} / V_{pl,Rd} = 0,50$

Vyhovuje

Ohyb $M_{Ed} = 118,97 \text{ kNm}$
 $x_{pl} = 36,1 \text{ mm}$
 $M_{pl,Rd} = 204,07 \text{ kNm}$
 $M_{Ed} / M_{pl,Rd} = 0,58$

plastická neutrální osa v betonu

Vyhovuje

Spřážení:

$$\begin{aligned} V_i &= 919,32 \text{ kN} \\ P_{Rd} &= 74,4 \text{ kN} \\ n_f &= 25 \text{ ks} \\ n &= 48 \text{ ks} \\ \eta &= 1,92 \geq 1,00 \rightarrow \text{plné spřážení} \end{aligned}$$

navrhují 30ks v prvních 3 vlnách tr. plechu po 2 trnach zbytek po jednom trnu

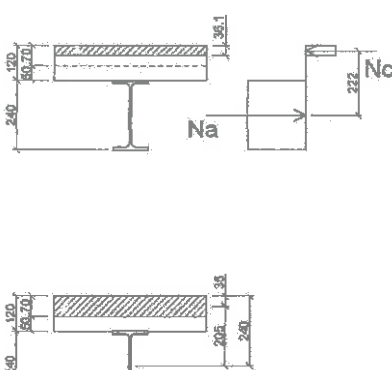
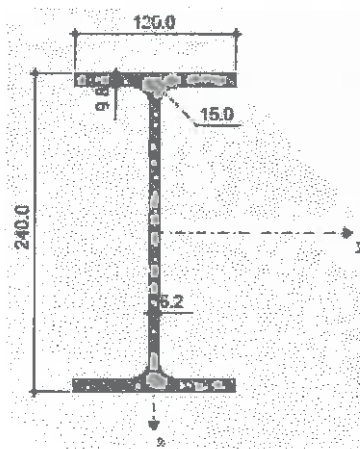
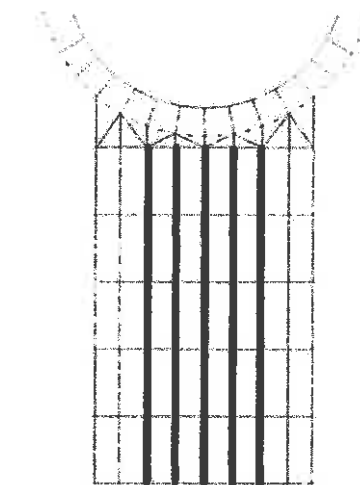
Průhyb:

Fáze 1 $\delta_1 = 12,8 \text{ mm}$
 $\delta_{max} = 24 \text{ mm}$
 $\delta_1 / \delta_{max} = 0,53$

Vyhovuje

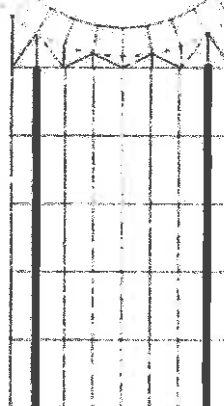
Fáze 2 $n = 14$
 $A_c = 105000 \text{ mm}^2$ $z_i = 105,3 \text{ mm}$ $r_a = 134,7 \text{ mm}$
 $r_c = 70,3 \text{ mm}$ $I_c = 42875000 \text{ mm}^4$
 $I_{y,i} = 150027847 \text{ mm}^4$
 $\delta_2 = 6,9 \text{ mm}$
 $\delta = 19,7 \text{ mm}$
 $\delta / \delta = 0,822$

Vyhovuje



Prvek: Stropnice střešní mezikoloumová

profil IPE 240
materiál S 235 Beton C 30 $f_{cd} = 20,00 \text{ MPa}$
délka L = 6 m
ZS = 2,321 m



Průřezové charakteristiky:

A = 3912 mm²
I_y = 38920000 mm⁴
W_{pl,y} = 366600 mm³
d_w = 190,4 mm
t_w = 6,2 mm
m = 0,307 kN·m⁻¹

Spráhovací prostředky:

průměr trnu d = 22 mm
výška trnu h_{sc} = 94 mm
rozteč trnů s_i = 250 mm

Spolupůsobící šířka:

B₁ = 2,142 mm min (b / 2 ; 1 / 8)
B₂ = 2,5 mm
h_c = 120 mm b_{el} = 750 mm
h_e = 70 mm b_{el} = 750 mm b_{eff} = 1500 mm

Zatížení:

Stálé	$g_{k,1,1} = 5,79 \text{ kN} \cdot \text{m}^{-1}$	$g_{k,1,2} = 5,59 \text{ kN} \cdot \text{m}^{-1}$	$g_{k,2} = 6,17 \text{ kN} \cdot \text{m}^{-1}$	$g_{d,1,1} = 7,82 \text{ kN} \cdot \text{m}^{-1}$	$g_{d,1,2} = 7,54 \text{ kN} \cdot \text{m}^{-1}$	$g_{d,2} = 8,33 \text{ kN} \cdot \text{m}^{-1}$
proměnné	$q_k = 5,80 \text{ kN} \cdot \text{m}^{-1}$			$q_d = 8,70 \text{ kN} \cdot \text{m}^{-1}$		

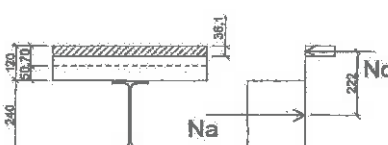
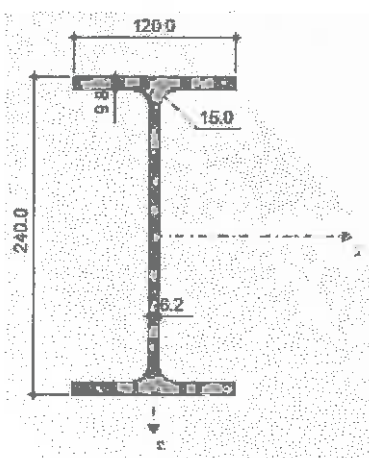
Posouzení:

Fáze 1 Ohyb $M_{Ed} = 35,17 \text{ kNm}$
 $M_{c,Rd} = 86,15 \text{ kNm}$
 $M_{Ed} / M_{c,Rd} = 0,41$

Vyhovuje

Fáze 2 Smyk $V_{Ed} = 73,73 \text{ kN}$
 $V_{pl,Rd} = 160,2 \text{ kN}$
 $V_{Ed} / V_{pl,Rd} = 0,46$

Vyhovuje



Ohyb $M_{Ed} = 110,59 \text{ kNm}$
 $x_{pl} = 36,1 \text{ mm}$
 $M_{pl,Rd} = 204,07 \text{ kNm}$
 $M_{Ed} / M_{pl,Rd} = 0,54$

plastická neutrální osa v betonu

Vyhovuje

Sprážení:

$V_i = 919,32 \text{ kN}$
 $P_{Rd} = 64,4 \text{ kN}$
 $n_i = 29 \text{ ks}$
 $n = 48 \text{ ks}$
 $\eta = 1,66 \geq 1,00 \rightarrow \text{plné sprážení}$

navrhují 30ks v prvních 3 vlnách tr. plechu po 2 tmech zbytek po jednom trnu

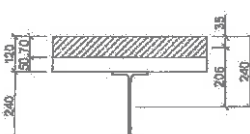
Práhov:

Fáze 1 $\delta_1 = 12,0 \text{ mm}$
 $\delta_{max} = 24 \text{ mm}$
 $\delta_1 / \delta_{max} = 0,50$

Vyhovuje

Fáze 2 $n = 14$
 $A_c = 105000 \text{ mm}^2$ $z_i = 105,3 \text{ mm}$ $r_a = 134,7 \text{ mm}$
 $r_c = 70,3 \text{ mm}$ $I_c = 42875000 \text{ mm}^4$
 $I_{y,i} = 150027847 \text{ mm}^4$
 $\delta_2 = 6,4 \text{ mm}$
 $\delta = 18,4 \text{ mm}$
 $\delta / \delta = 0,765$

Vyhovuje



Prvek: Stropnice střešní krajní

profil IPE 200
materiál S 235 Beton C 30 $f_{ed} = 20,00 \text{ MPa}$
délka L = 6 m
ZŠ = 1,071 m

Průřezové charakteristiky:

A = 2848 mm²
 $I_y = 19430000 \text{ mm}^4$
 $W_{pl,y} = 220600 \text{ mm}^3$
 $d_w = 159 \text{ mm}$
 $t_w = 5,6 \text{ mm}$
 $m = 0,224 \text{ kN}\cdot\text{m}^{-1}$

Spřáhovací prostředky:

průměr trnu d = 22 mm
výška trnu h_{sc} = 94 mm
rozteč trnů s_i = 250 mm

Spolupůsobící šířka:

$B_1 = 2,142 \text{ mm}$ min (b / 2 ; 1 / 8)
 $B_2 = 0 \text{ mm}$
 $h = 120 \text{ mm}$ $b_{el} = 750 \text{ mm}$
 $h_c = 70 \text{ mm}$ $b_{el} = 0 \text{ mm}$ $b_{eff} = 750 \text{ mm}$

Zatížení:

Stálé $g_{k,1,1} = 2,75 \text{ kN}\cdot\text{m}^{-1}$ $g_{d,1,1} = 3,72 \text{ kN}\cdot\text{m}^{-1}$
 $g_{k,1,2} = 2,66 \text{ kN}\cdot\text{m}^{-1}$ $g_{d,1,2} = 3,59 \text{ kN}\cdot\text{m}^{-1}$
 $g_{k,2} = 8,67 \text{ kN}\cdot\text{m}^{-1}$ $g_{d,2} = 11,70 \text{ kN}\cdot\text{m}^{-1}$
včetně atiky a opláštění

proměnné $q_k = 2,68 \text{ kN}\cdot\text{m}^{-1}$ $q_d = 4,02 \text{ kN}\cdot\text{m}^{-1}$

Posouzení:

Fáze 1 Ohyb $M_{Ed} = 16,73 \text{ kNm}$
 $M_{c,Rd} = 51,84 \text{ kNm}$
 $M_{Ed} / M_{c,Rd} = 0,32$

Vyhovuje

Fáze 2 Smyk $V_{Ed} = 57,93 \text{ kN}$
 $V_{pl,Rd} = 120,8 \text{ kN}$
 $V_{Ed} / V_{pl,Rd} = 0,48$

Vyhovuje

Ohyb $M_{Ed} = 86,89 \text{ kNm}$
 $x_{pl} = 52,5 \text{ mm}$
 $M_{pl,Rd} = 129,68 \text{ kNm}$
 $M_{Ed} / M_{pl,Rd} = 0,67$

plastická neutrální osa v betonu

Vyhovuje

Spřážení:

$V_i = 669,28 \text{ kN}$
 $P_{Rd} = 74,4 \text{ kN}$
 $n_f = 18 \text{ ks}$
 $n = 24 \text{ ks}$
 $\eta = 1,3 \geq 1,00 \rightarrow \text{plné spřážení}$

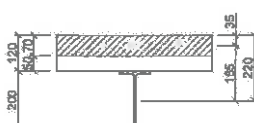
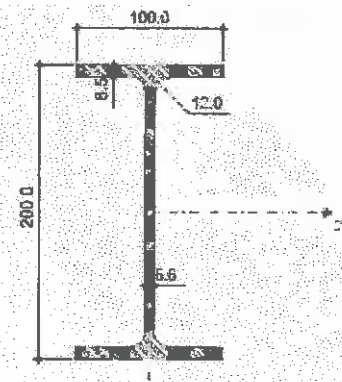
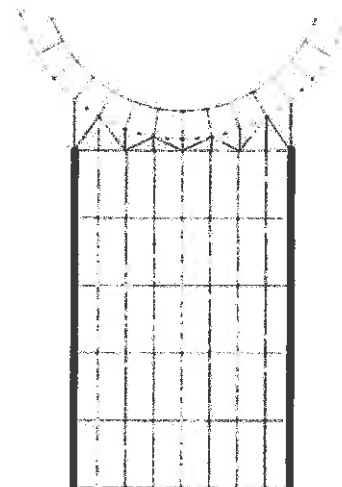
Průhyb:

Fáze 1 $\delta_i = 11,4 \text{ mm}$
 $\delta_{max} = 24 \text{ mm}$
 $\delta_i / \delta_{max} = 0,47$

Vyhovuje

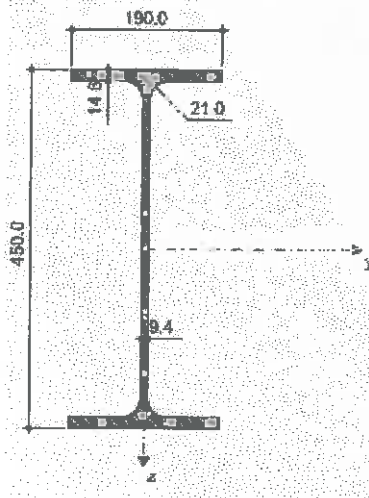
Fáze 2 $n = 14$
 $A_c = 52500 \text{ mm}^2$ $z = 114,9 \text{ mm}$ $r_s = 105,1 \text{ mm}$
 $r_c = 79,9 \text{ mm}$ $I_c = 21437500 \text{ mm}^4$
 $I_{y,i} = 76360310 \text{ mm}^4$
 $\delta_2 = 11,9 \text{ mm}$
 $\delta = 23,3 \text{ mm}$
 $\delta / \delta = 0,972$

Vyhovuje



5.2 SPŘAŽENÝ PRŮVLAK

PRŮVLAK - BĚŽNÝ



$$\epsilon = 1$$

$$c_f = 69.3 \text{ mm}$$

$$c_w = 378.8 \text{ mm}$$

$$t_f = 14.6 \text{ mm}$$

$$t_w = 9.4 \text{ mm}$$

$$\frac{c_f}{t_f} \leq 9 \cdot \epsilon \quad \frac{69.3}{14.6} \leq 9$$

$$4.7 < 9$$

$$\frac{c_w}{t_w} \leq 72 \cdot \epsilon \quad \frac{378.8}{9.4} \leq 72$$

$$40.3 < 72$$

Průřez třídy 1

OCELOVÝ PROFIL

Třída průřezu:

Délka konzolové části:

Délka pole:

Výška průřezu:

Šířka průřezu:

Tloušťka stojny:

Tloušťka pásnice:

Poloměr zaoblení:

Plocha průřezu:

Poloměr setrvačnosti:

Moment setrvačnosti:

Plasticický průřezový modul:

IPE 450



$$L = 2142 \text{ mm}$$

$$L = 7500 \text{ mm}$$

$$h_a = 450 \text{ mm}$$

$$b = 190 \text{ mm}$$

$$t_w = 9.4 \text{ mm}$$

$$t_f = 14.6 \text{ mm}$$

$$r = 21 \text{ mm}$$

$$A_a = 9882 \text{ mm}^2$$

$$i_y = 184.8 \text{ mm}$$

$$i_z = 41.2 \text{ mm}$$

$$I_y = 337\,400\,000 \text{ mm}^4$$

$$I_z = 16\,760\,000 \text{ mm}^4$$

$$W_{pl,y} = 1\,702\,000 \text{ mm}^3$$

$$W_{pl,z} = 276\,400 \text{ mm}^3$$

$$m = 77.6 \text{ kg m}^{-1}$$

Hmotnost profilu:

Materiál

Ocel:

Mez kluzu:

Návrhová mez kluzu:

Modul pružnosti:

S235

$$f_y = 235 \text{ MPa}$$

$$f_{yd} = 235 \text{ MPa} \quad (\gamma_{M0} = 1.0)$$

$$E_a = 210 \text{ GPa}$$

BETONOVÁ DESKA

Osová vzdálenost vlevo:

Osová vzdálenost vpravo:

Celková výška desky:

Výška desky bez vln:

Materiál

Beton:

Charakteristická pevnost betonu v tlaku:

Návrhová pevnost betonu v tlaku:

Modul pružnosti:

Objemová hmotnost ztvrdlého betonu:

Objemová hmotnost čerstvého betonu:

$$B_1 = 6000 \text{ mm}$$

$$B_2 = 6000 \text{ mm}$$

$$h = 120 \text{ mm}$$

$$h_c = 70 \text{ mm}$$

C 30 / 37

$$f_{ck} = 30 \text{ MPa}$$

$$f_{cd} = 20 \text{ MPa} \quad (\gamma_c = 1.5)$$

$$E_{cm} = 30 \text{ GPa}$$

$$\rho = 2500 \text{ kg m}^{-3}$$

$$\rho = 2600 \text{ kg m}^{-3}$$

TRAPÉZOVÝ PLECH

Tloušťka plechu:

Výška vlny:

Šířka v těžišti vlny:

Osová vzdálenost vln:

Efektivní moment setrvačnosti (kladný):

Efektivní modul průřezu (kladný):

Efektivní modul průřezu (záporný):

Hmotnost plechu:

TR 50/250 (pozitivní poloha B)

$$t_p = 1.0 \text{ mm}$$

$$h_p = 50 \text{ mm}$$

$$b_0 = 84.5 \text{ mm}$$

$$d_v = 250 \text{ mm}$$

$$I_{eff,+} = 41300000 \text{ mm}^4$$

$$W_{eff,+} = 124300 \text{ mm}^3$$

$$W_{eff,-} = 128300 \text{ mm}^3$$

$$m = 10 \text{ kg m}^{-2}$$

Materiál

Ocel:

Mez kluzu:

Modul pružnosti:

S 320GD

$$f_y = 320 \text{ MPa}$$

$$E = 201 \text{ GPa}$$

5.2.1 ZATÍŽENÍ

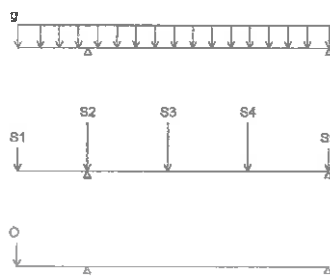
STALÉ:

		g_k	$g_d (\gamma=1,35)$
Fáze 1	vlatní třha průvlaku IPE	0,776	1,048 kNm ⁻¹

		$G_{k,1,1}$	$G_{d,1,1}$
Stropnice S1	vl. třha + bet.deska(čerst.) + tr.blech	17,02	22,98 kN
Stropnice S2	vl. třha + bet.deska(čerst.) + tr.blech	34,74	46,89 kN
Stropnice S3	vl. třha + bet.deska(čerst.) + tr.blech	37,27	50,32 kN
Stropnice S4	vl. třha + bet.deska(čerst.) + tr.blech	37,27	50,32 kN
Stropnice S5	vl. třha + bet.deska(čerst.) + tr.blech	19,56	26,40 kN

		g_k	$g_d (\gamma=1,35)$
Fáze 2	vlatní třha průvlaku IPE	0,776	1,048 kNm ⁻¹

		$G_{k,1,2}$	$G_{d,1,2}$
Stropnice S1	vl. třha + bet.deska(zatvr.) + tr.blech	16,46	22,22 kN
Stropnice S2	vl. třha + bet.deska(zatvr.) + tr.blech	33,52	45,26 kN
Stropnice S3	vl. třha + bet.deska(zatvr.) + tr.blech	35,97	48,56 kN
Stropnice S4	vl. třha + bet.deska(zatvr.) + tr.blech	35,97	48,56 kN
Stropnice S5	vl. třha + bet.deska(zatvr.) + tr.blech	18,90	25,52 kN



Fáze 2 zbytek stálého zatížení
(podhlad + podlaha)

		$G_{k,2}$	$G_{d,2} (\gamma=1,35)$
Stropnice S1		10,74	14,50 kN
Stropnice S2		23,27	31,41 kN
Stropnice S3		25,07	33,84 kN
Stropnice S4		25,07	33,84 kN
Stropnice S5		12,53	16,92 kN
oplášť budovy O		27,00	36,45 kN

PROMĚNNÉ:

		Q_k	$Q_d (\gamma=1,5)$
Fáze 2	užitné kanceláře		
Stropnice S1		21,21	31,81 kN
Stropnice S2		45,96	68,93 kN
Stropnice S3		49,50	74,25 kN
Stropnice S4		49,50	74,25 kN
Stropnice S5		24,75	37,13 kN

Fáze 1 - montážní: působí pouze ocelový nosník a trapézový plech

průvlaky nebudou podepřeny

Fáze 2 - provozní: působí spřažený nosník s betonovou deskou

5.2.2 POSOUZENÍ - OHYB - fáze 1

$$L_k = 2.142 \text{ m}$$

$$L_n = 7.5 \text{ m}$$

$$W_{\text{ply}} = 1.702 \cdot 10^{-3} \text{ m}^3$$

Vnitřní sily:

$$\Sigma M=0$$

$$S1 \cdot L_k + g_d \cdot \frac{L_k^2}{2} + g_d \cdot \frac{L_n^2}{2} - S3 \cdot \frac{L_n}{3} - S4 \cdot \frac{2 \cdot L_n}{3} - S5 \cdot L_n - R_b \cdot L_n = 0$$

$$R_b = \frac{S5 \cdot L_n + S4 \cdot \frac{2 \cdot L_n}{3} + g_d \cdot \frac{L_n^2}{2} + S3 \cdot \frac{L_n}{3} - g_d \cdot \frac{L_k^2}{2} - S1 \cdot L_k}{L_n} = \frac{\left[26.40 \cdot 7.5 + 50.32 \cdot \left(\frac{2 \cdot 7.5}{3} \right) + 1.048 \cdot \left(\frac{7.5^2}{2} \right) + 50.32 \cdot \left(\frac{7.5}{3} \right) - 1.048 \cdot \left(\frac{2.142^2}{2} \right) - 22.98 \cdot 2.142 \right]}{7.5}$$

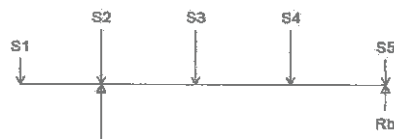
$$R_b = 73.766 \text{ kN}$$

$$\Sigma F=0$$

$$S1 + S2 + R_a + S3 + S4 + S5 + R_b + g_d \cdot (L_k + L_n) = 0$$

$$R_a = S1 + S2 + S3 + S4 + S5 + g_d \cdot (L_k + L_n) - R_b = 22.98 + 46.89 + 50.32 + 50.32 + 26.40 + 1.048 \cdot (2.142 + 7.5) - 73.766$$

$$R_a = 133.249 \text{ kN}$$



$$M_{Edn} = R_b \cdot \frac{L_n}{3} - S5 \cdot \frac{L_n}{3} - g_d \cdot \frac{L_n}{3} \cdot \frac{L_n}{6} = 73.766 \cdot \left(\frac{7.5}{3} \right) - 26.40 \cdot \left(\frac{7.5}{3} \right) - 1.048 \cdot \left(\frac{7.5}{3} \right) \cdot \left(\frac{7.5}{6} \right)$$

$$M_{Edn} = 115.14 \text{ kNm}$$

$$M_{Edk} = S1 \cdot L_k + g_d \cdot \frac{L_k^2}{2} = 22.98 \cdot 2.142 + 1.048 \cdot \left(\frac{2.142^2}{2} \right)$$

$$M_{Edk} = 51.627 \text{ kNm}$$

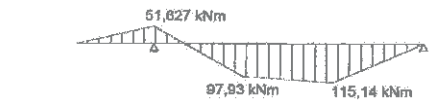
$$M_{cRd} = \frac{W_{\text{ply}} \cdot f_y d}{\gamma_{M0}} = \frac{1.702 \cdot 10^{-3} \cdot (235 \cdot 10^3)}{1.00}$$

$$M_{cRd} = 399.97 \text{ kNm}$$

$$\frac{M_{Edn}}{M_{cRd}} \leq 1.0 \quad \frac{115.14}{399.97} = 0.288 < 1.0$$

$$\frac{M_{Edk}}{M_{cRd}} \leq 1.0 \quad \frac{51.627}{399.97} = 0.129 < 1.0$$

Vyhovuje



5.2.3 POSOUZENÍ - SMYK - fáze 2

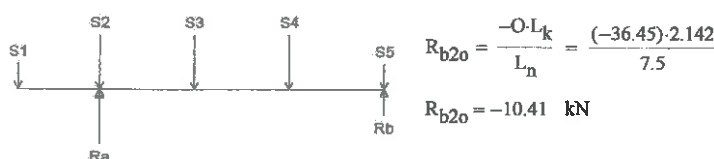
Vnitřní sily:

$$\Sigma M=0$$

$$S1 \cdot L_k + g_d \cdot \frac{L_k^2}{2} + g_d \cdot 12 \cdot \frac{L_n^2}{2} - S3 \cdot \frac{L_n}{3} - S4 \cdot \frac{2 \cdot L_n}{3} - S5 \cdot L_n - R_{b2} \cdot L_n = 0$$

$$R_{b2s} = \frac{S5 \cdot L_n + S4 \cdot \frac{2 \cdot L_n}{3} + g_d \cdot \frac{L_n^2}{2} + S3 \cdot \frac{L_n}{3} - g_d \cdot \frac{L_k^2}{2} - S1 \cdot L_k}{L_n} = \frac{\left[79.6 \cdot 7.5 + 156.6 \cdot \left(\frac{2 \cdot 7.5}{3} \right) + 1.048 \cdot \left(\frac{7.5^2}{2} \right) + 156.6 \cdot \left(\frac{7.5}{3} \right) - 1.048 \cdot \left(\frac{2.142^2}{2} \right) - 68.5 \cdot 2.142 \right]}{7.5}$$

$$R_{b2s} = 220.246 \text{ kN}$$



$$R_{b20} = \frac{-O \cdot L_k}{L_n} = \frac{(-36.45) \cdot 2.142}{7.5}$$

$$R_{b20} = -10.41 \text{ kN}$$

$$R_{b2} = R_{b2s} + R_{b2o} = 220.246 + -10.41$$

$$R_{b2} = 209.836 \text{ kN}$$

$$\Sigma F=0$$

$$O + S1 + S2 + R_{a2} + S3 + S4 + S5 + R_{b2} + g_d \cdot (L_k + L_n) = 0$$

$$R_{a2} = O + S1 + S2 + S3 + S4 + S5 + g_d \cdot (L_k + L_n) - R_{b2} = 36.45 + 68.5 + 145.6 + 156.6 + 156.6 + 79.6 + 1.048 \cdot (2.142 + 7.5) - 209.836$$

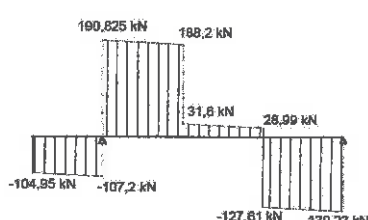
$$R_{a2} = 443.619 \text{ kN}$$

$$d_w = 0.379 \text{ m}$$

$$V_{Ed} = -O - S1 - S2 - g_d \cdot L_k + R_{a2} = -36.45 - 68.5 - 145.6 - 1.048 \cdot 2.142 + 443.62$$

$$t_w = 0.0094 \text{ m}$$

$$V_{Ed} = 190.825 \text{ kN}$$



$$A_v = d_w \cdot t_w = 0.379 \cdot 0.0094$$

$$A_v = 3.563 \times 10^{-3} \text{ m}^2$$

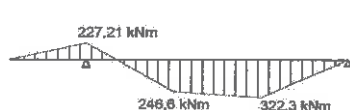
$$V_{plRd} = \frac{A_v \cdot f_yd}{\sqrt{3} \cdot \gamma_{M0}} = \frac{0.379 \cdot 0.0094 \cdot (235 \cdot 10^3)}{(\sqrt{3} \cdot 1.00)}$$

$$V_{plRd} = 483.364 \text{ kN}$$

$$\frac{V_{Ed}}{V_{plRd}} \leq 1.0 \quad \frac{190.825}{483.364} = 0.395 < 1.0$$

Vyhovuje

5.2.4 POSOUZENÍ - OHYB - fáze 2



$$M_{Edn} = R_{b2} \cdot \frac{L_n}{3} - S5 \cdot \frac{L_n}{3} - g_d \cdot \frac{L_n}{3} \cdot \frac{L_n}{6} = 209.836 \cdot \left(\frac{7.5}{3} \right) - 79.6 \cdot \left(\frac{7.5}{3} \right) - 1.048 \cdot \left(\frac{7.5}{3} \right) \cdot \left(\frac{7.5}{6} \right)$$

$$M_{Edn} = 322.315 \text{ kNm}$$

$$M_{Edk} = O \cdot L_k + S1 \cdot L_k + g_d \cdot L_k \cdot \frac{L_k^2}{2} = 36.45 \cdot 2.142 + 68.5 \cdot 2.142 + 1.048 \cdot \left(\frac{2.142^2}{2} \right)$$

$$M_{Edk} = 227.207 \text{ kNm}$$

Spoluúčinná šířka desky:

$$b_{e1} = \min(L/8 ; b_t = B_1/2) = \min(9,642/8 ; 6/2) = \min(1,205 ; 3)$$

$$b_{e2} = \min(L/8 ; b_2 = B_2/2) = \min(9,642/8 ; 6/2) = \min(1,205 ; 3)$$

$$b_t = 0$$

$$b_{eff} = b_{e1} + b_{e2} + b_t = 1.205 + 1.205 + 0$$

$$b_{e1} = 1.205 \text{ m} \quad b_t = 0 \text{ m}$$

$$b_{e2} = 1.205 \text{ m} \quad b_{eff} = 2.411 \text{ m}$$

Plastická neutrálá osa:

$$N_a = N_c$$

$$A_a \cdot f_yd = b_{eff} \cdot x_{pl} \cdot 0.85 \cdot f_{cd}$$

$$x_{pl} = \frac{A_a \cdot f_yd}{b_{eff} \cdot 0.85 \cdot f_{cd}} = \frac{9.882 \cdot 10^{-3} \cdot (235 \cdot 10^3)}{[2.411 \cdot 0.85 \cdot (20 \cdot 10^3)]}$$

$$x_{pl} = 0.057 \text{ m}$$

$$A_a = 9.882 \cdot 10^{-3} \text{ m}^2$$

$$f_{yd} = 235 \cdot 10^3 \text{ kPa}$$

$$f_{cd} = 20 \cdot 10^3 \text{ kPa}$$

$$h = 0.12 \text{ m}$$

$$h_a = 0.45 \text{ m}$$

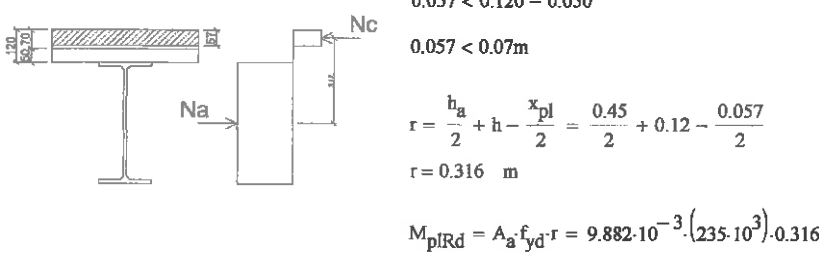
$$x_{pl} < h_d - h_p$$

$$0.057 < 0.120 - 0.050$$

$$0.057 < 0.07 \text{ m}$$

$$r = \frac{h_a}{2} + h - \frac{x_{pl}}{2} = \frac{0.45}{2} + 0.12 - \frac{0.057}{2}$$

$$r = 0.316 \text{ m}$$



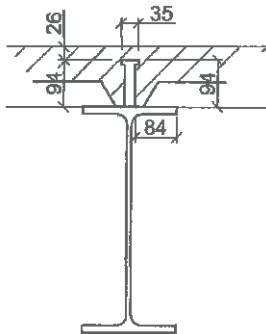
$$M_{plRd} = A_g f_y d \cdot r = 9.882 \cdot 10^{-3} \cdot (235 \cdot 10^3) \cdot 0.316$$

$$M_{plRd} = 733.837 \text{ kNm}$$

$$\frac{M_{Ed}}{M_{plRd}} \leq 1.0 \quad \frac{325.59}{733.837} = 0.444 < 1.0$$

Vyhovuje

5.2.5 NÁVRH SPŘAŽENÍ



Spřahovací prostředek

spřahovací trny s hlavou

Průměr dříku trnu

$d = 22 \text{ mm}$

Průměr hlavy trnu

$d_h = 35 \text{ mm}$

Výška hlavy trnu

$h_h = 10 \text{ mm}$

Délka trnu

$L_t = 100 \text{ mm}$

Délka trnu po přivaření

$h_{sc} = 94 \text{ mm}$

Vzdálenost trnů od sebe

$s_t = 140 \text{ mm}$

Pevnost materiálu trnu

$f_u = 360 \text{ MPa}$

Součinitel spolehlivosti materiálu

$\gamma_v = 1,25$

Podélná smyková síla na polovině nosníku:

$$V_1 = A_g f_y d = 9.882 \cdot 10^{-3} \cdot (235 \cdot 10^3)$$

$$V_1 = 2.322 \times 10^3 \text{ N}$$

Únosnost jednoho trnu:

$$P_{Rkl} = 0.8 \cdot f_u \cdot \pi \cdot \frac{d^2}{4} = 0.8 \cdot (360 \cdot 10^3) \cdot \pi \cdot \left(\frac{0.022^2}{4} \right)$$

$$P_{Rkl} = 109.478 \text{ kN}$$

$$\alpha = 1.0$$

$$b_0 = 0.0845 \text{ m}$$

$$h_p = 0.05 \text{ m}$$

$$P_{Rk2} = 0.29 \cdot \alpha \cdot d^2 \cdot \sqrt{f_{ck} \cdot E_{cm}} = 0.29 \cdot 1.0 \cdot 0.022^2 \cdot \sqrt{30 \cdot 10^3 \cdot (30 \cdot 10^6)}$$

$$P_{Rk2} = 133.157 \text{ kN}$$

$$P_{Rk} = \min (P_{Rkl} ; P_{Rk2}) = \min (109.478 ; 133.157)$$

$$P_{Rk} = 109.478 \text{ kN}$$

$$k_t = \frac{0.7}{\sqrt{n_r}} \cdot \frac{b_0}{h_p} \left(\frac{h_{sc}}{h_p} - 1 \right) = \frac{0.7}{\sqrt{1.0}} \cdot \left(\frac{0.0845}{0.05} \right) \cdot \left(\frac{0.094}{0.05} - 1 \right)$$

$$k_t = 1.041$$

$$t_p = 1.0 \text{ mm} \Rightarrow k_{t,max} = 0.85$$

$$k_t \leq k_{t,max}$$

$$k_t = 0.85$$

$$P_{Rd} = \frac{P_{Rk} \cdot k_t}{\gamma_v} = \frac{109.478 \cdot 0.85}{1.25}$$

$$P_{Rd} = 74.445 \text{ kN}$$



Potřebný počet trnů na celou délku nosníku:

$$n_f = 2 \cdot \frac{V_1}{P_{Rd}} = 2 \left(\frac{2322}{74.445} \right)$$

$$n_f = 62.382 \text{ ks} \quad \Rightarrow 63 \text{ ks}$$

Možný počet trnů pro plné spřažení:

$$n = \frac{L}{s_l} = \frac{9.642}{0.14}$$

$$n = 68.871 \text{ ks}$$

Stupeň smykového spojení:

$$\eta = \frac{n}{n_f} = \frac{68}{63}$$

$$\eta = 1.079 \quad > 1.0 \Rightarrow \text{plné spřažení}$$

Počet trnů : 68 ks

Konstrukční zásady:

$$L_1 \geq 4 \cdot d$$

$$100 \geq 4 \cdot 22$$

100 \geq 88mm **Vyhovuje**

$$d_h \geq 1.5 \cdot d$$

$$35 \geq 1.5 \cdot 22$$

35 \geq 33mm **Vyhovuje**

$$h_p \geq 0.4 \cdot d$$

$$10 \geq 0.4 \cdot 22$$

10 \geq 8.8mm **Vyhovuje**

$$h_{sc} \geq 3 \cdot d$$

$$94 \geq 3 \cdot 22$$

94 \geq 66mm **Vyhovuje**

$$c_D \geq 20\text{mm}$$

84 \geq 20mm **Vyhovuje**

$$h_{sc} - h_p \geq 2 \cdot d$$

$$94 - 50 \geq 2 \cdot 22$$

44 \geq 44 **Vyhovuje**

$$s_l \geq 5 \cdot d$$

$$140 \geq 5 \cdot 22$$

140 \geq 110mm **Vyhovuje**

$$s_l < \min (8 * h_c ; 800\text{mm})$$

$$140 < \min (8 * 70 ; 800)$$

$$140 < \min (560 ; 800)$$

140 $<$ 560 mm **-> Vyhovuje**

$$E_a = 210 \cdot 10^6 \text{ kPa}$$

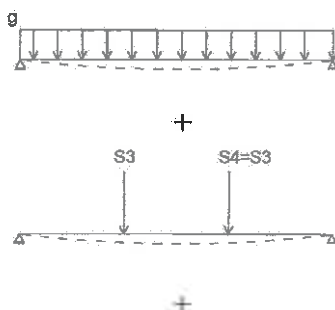
$$I_a = 3.374 \cdot 10^{-4} \text{ m}^4$$

5.2.6 POSOUZENÍ PRŮHYBU - fáze 1

$$M_k = S1_k \cdot L_k + g_k \cdot \frac{L_k^2}{2} = 17.02 \cdot 2.142 + 0.776 \left(\frac{2.142^2}{2} \right)$$

$$M_k = 38.237 \text{ kNm}$$

$$\delta_1 = \frac{1}{E_a \cdot I_a} \left(\frac{23}{648} \cdot S3_k \cdot L_n^3 + \frac{5}{384} \cdot g_k \cdot L_n^4 - 0.06415 \cdot M_k \cdot L_n^2 \right) = \frac{1}{[210 \cdot 10^6 \cdot (3.374 \cdot 10^{-4})]} \left(\frac{23}{648} \cdot 37.27 \cdot 7.5^3 + \frac{5}{384} \cdot 0.776 \cdot 7.5^4 - 0.06415 \cdot 38.237 \cdot 7.5^2 \right)$$



$$\delta_1 = 6.38 \times 10^{-3} \text{ m}$$

$$\delta_{\max} = \frac{L}{400} = \frac{7.5}{400}$$

$$\delta_{\max} = 0.019$$

$$\delta_1 \leq \delta_{\max}$$

$$6.4 \leq 19 \text{ mm}$$

Vyhovuje

5.2.7 POSOUZENÍ PRŮHYBU - fáze 2

Ideální průřez

$$E_{cmi} = \frac{E_{cm}}{2} = \frac{30 \cdot 10^6}{2}$$

$$E_{cmi} = 1.5 \times 10^7 \text{ kPa}$$

$$n = \frac{E_a}{E_{cmi}} = \frac{210 \cdot 10^6}{(1.5 \cdot 10^7)}$$

$$n = 14$$

$$A_c = b_{eff} \cdot h_c = 2.411 \cdot 0.07$$

$$A_c = 0.169 \text{ m}^2$$

$$z_t = \frac{A_a \left(\frac{h_a}{2} + h \right) + \frac{1}{n} \cdot b_{eff} \cdot h_c \cdot \frac{h_c}{2}}{A_a + \frac{1}{n} \cdot b_{eff} \cdot h_c} = \frac{\left[9.882 \cdot 10^{-3} \left(\frac{0.45}{2} + 0.12 \right) + \frac{1}{14} \cdot 2.411 \cdot 0.07 \cdot \left(\frac{0.07}{2} \right) \right]}{\left(9.882 \cdot 10^{-3} + \frac{1}{14} \cdot 2.411 \cdot 0.07 \right)}$$

$$z_t = 0.175 \text{ m}$$

$$r_a = \frac{h_a}{2} + h - z_t = \frac{0.45}{2} + 0.12 - 0.175$$

$$r_a = 0.17 \text{ m}$$

$$r_c = z_t - \frac{h_c}{2} = 0.175 - \frac{0.07}{2}$$

$$r_c = 0.14 \text{ m}$$

$$I_c = \frac{1}{12} \cdot b_{eff} \cdot h_c^3 = \frac{1}{12} \cdot 2.411 \cdot 0.07^3$$

$$I_c = 6.891 \times 10^{-5} \text{ m}^4$$

$$I_{yi} = I_a + A_a \cdot r_a^2 + \frac{1}{n} \cdot (I_c + A_c \cdot r_c^2) = 3.374 \cdot 10^{-4} + 9.882 \cdot 10^{-3} \cdot 0.17^2 + \frac{1}{14} \cdot \left(\frac{1}{12} \cdot 2.411 \cdot 0.07^3 + 0.169 \cdot 0.14^2 \right)$$

$$I_{yi} = 8.645 \times 10^{-4} \text{ m}^4$$

$$M_k = O \cdot L_k + S1_k \cdot L_k + g_k \cdot \frac{L_k^2}{2} = 27 \cdot 2.142 + 48.41 \cdot 2.142 + 0.776 \left(\frac{2.142^2}{2} \right)$$

$$M_k = 163.308 \text{ kNm}$$

$$\delta_2 = \frac{1}{E_a I_y} \left(\frac{23}{648} \cdot S_{3k} \cdot L_n^3 + \frac{5}{384} \cdot g_d \cdot L_n^4 - 0.06415 \cdot M_k \cdot L_n^2 \right) = \frac{1}{[210 \cdot 10^6 \cdot (8.645 \cdot 10^{-4})]} \left(\frac{23}{648} \cdot 110.54 \cdot 7.5^3 + \frac{5}{384} \cdot 1.048 \cdot 7.5^4 - 0.06415 \cdot 163.308 \cdot 7.5^2 \right)$$

$$\delta_2 = 6.109 \times 10^{-3} \text{ m}$$

$$\delta = \delta_1 + \delta_2 = 6.4 + 6.1$$

$$\delta = 12.5 \text{ mm}$$

$$\delta_{\max} = \frac{L}{400} = \frac{7.5}{400}$$

$$\delta_{\max} = 0.019$$

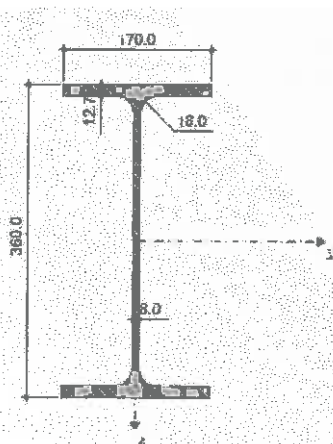
$$\delta \leq \delta_{\max}$$

$$12.5 \leq 19 \text{ mm}$$

Vyhovuje

Poznámka:

Výpočet krajního průvlaku je uveden ve stručné tabulce



Prvek: **Průvlak krajní**

profil IPE 360
materiál S 235
délka $L_p = 7,5$ m
 $L_k = 2,142$ m

$$f_{ed} = 20,00 \text{ MPa}$$

Průřezové charakteristiky:

$$A = 7273 \text{ mm}^2$$

$$I_y = 162700000 \text{ mm}^4$$

$$W_{pl,y} = 1019000 \text{ mm}^3$$

$$d_w = 298,6 \text{ mm}$$

$$t_w = 8 \text{ mm}$$

$$m = 0,571 \text{ kN}\cdot\text{m}^{-1}$$

Spřahovací prostředky:

$$\text{průměr trnu} d = 22 \text{ mm}$$

$$\text{výška trnu} h_{sc} = 94 \text{ mm}$$

$$\text{rozteč trnů} s_i = 200 \text{ mm}$$

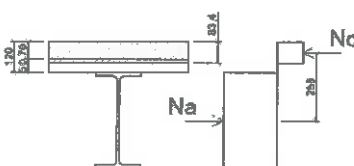
Spoluúčinící šířka:

$$B_1 = 3000 \text{ mm} \quad h_1 = 120 \text{ mm} \quad b_{el} = 1205 \text{ mm}$$

$$B_2 = 0 \text{ mm} \quad h_2 = 70 \text{ mm} \quad b_{el2} = 0 \text{ mm} \quad b_{eff} = 1205 \text{ mm}$$

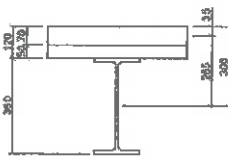
Zatížení:

		Str. 1	Str. 2	Str. 3	Str. 4	Str. 5
Stálé	$G_{k,1,1}$	8,51	17,37	18,64	18,64	9,78 $\text{kN}\cdot\text{m}^{-1}$
	$G_{k,1,2}$	8,23	16,76	17,98	17,98	9,45 $\text{kN}\cdot\text{m}^{-1}$
	$G_{k,2}$	5,37	11,64	12,53	12,53	6,27 $\text{kN}\cdot\text{m}^{-1}$
	$G_{d,1,1}$	11,49	23,45	25,16	25,16	13,20 $\text{kN}\cdot\text{m}^{-1}$
	$G_{d,1,2}$	11,11	22,63	24,28	24,28	12,76 $\text{kN}\cdot\text{m}^{-1}$
	$G_{d,2}$	7,25	15,71	16,92	16,92	8,46 $\text{kN}\cdot\text{m}^{-1}$
opláštění na konzole:		$O_k = 13,5 \text{ kN}$				
opláštění na krajním průvlaku:		$g_{O,k} = 4,5 \text{ kNm}^{-1}$				
proměnné	Q_k	10,60	22,98	24,75	24,75	12,38 $\text{kN}\cdot\text{m}^{-1}$
	Q_d	15,90	34,47	37,13	37,13	18,56 $\text{kN}\cdot\text{m}^{-1}$



Posouzení:

Fáze 1 Ohyb	$M_{Ed} = 57,83$	$26,38$	kNm	$R_a = 66,91 \text{ kN}$
	$M_{pl,Rd} = 239,47 \text{ kNm}$			$R_b = 37,05 \text{ kN}$
	$M_{Ed} / M_{pl,Rd} = 0,24$	$0,11$		Vyhovuje



Fáze 2 Smyk	$V_{Ed} = 193,88 \text{ kN}$			$R_a = 261,034 \text{ kN}$
	$V_{pl,Rd} = 324,1 \text{ kN}$			$R_b = 126,691 \text{ kN}$
	$V_{Ed} / V_{pl,Rd} = 0,60$			Vyhovuje
	$\rho = (2 * V_{Ed} / V_{pl,Rd} - 1)^2 = 0,03858$			
	$f_y = (1 - \rho) f_y = 225,935$			

Ohyb	$M_{Ed} = 217,27$	$128,136 \text{ kNm}$	pole podpora
	$x_{pl} = 83,42 \text{ mm}$		plastická neutrální osa v betonu
	$M_{pl,Rd} = 424,43 \text{ kNm}$		prumerna vyska 87 mm tj v betonu
	$M_{Ed} / M_{pl,Rd} = 0,51$		Vyhovuje

Sprážení:	$V_i = 1709,16 \text{ kN}$	$n_f = 47 \text{ ks}$
	$P_{Rd} = 73,9 \text{ kN}$	$n = 48 \text{ ks}$
	$\eta = 1,02 \geq 1,00$	\rightarrow plné sprážení

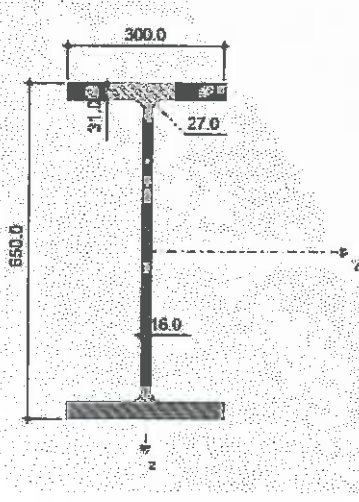
Příhyb:

Fáze 1	$\delta_1 = 6,8 \text{ mm}$	
	$\delta_{max} = 18,75 \text{ mm}$	
	$\delta_1 / \delta_{max} = 0,36$	Vyhovuje

Fáze 2	$n = 14$	
	$A_c = 84367,5 \text{ mm}^2$	$z_c = 179,9 \text{ mm}$
	$t_c = 144,9 \text{ mm}$	$r_a = 120,1 \text{ mm}$
	$I_{yz} = 396593743 \text{ mm}^4$	$I_c = 34450062,5 \text{ mm}$
	$\delta_2 = 10,8 \text{ mm}$	
	$\delta = 17,6 \text{ mm}$	
	$\delta / \delta = 0,940$	Vyhovuje

5.3 SLOUPY

1. NP (vnitřní) - NEJVÍCE NAMÁHANÝ



OCELOVÝ PROFIL

Třída průřezu:
Délka:
Výška průřezu:
Šířka průřezu:
Tloušťka stojny:
Tloušťka pásnice:
Poloměr zaoblení:
Plocha průřezu:
Poloměr setrvačnosti:

HEB 650

3
L=4500 mm
h_a=650 mm
b=300 mm
t_w=16 mm
t_f=31 mm
r=27 mm
A_a=28630 mm²
i_y=251,7 mm
i_z=70,8 mm
I_y=2 106 000 000 mm⁴
I_z=139 800 000 mm⁴
m=224,7 kg m⁻¹

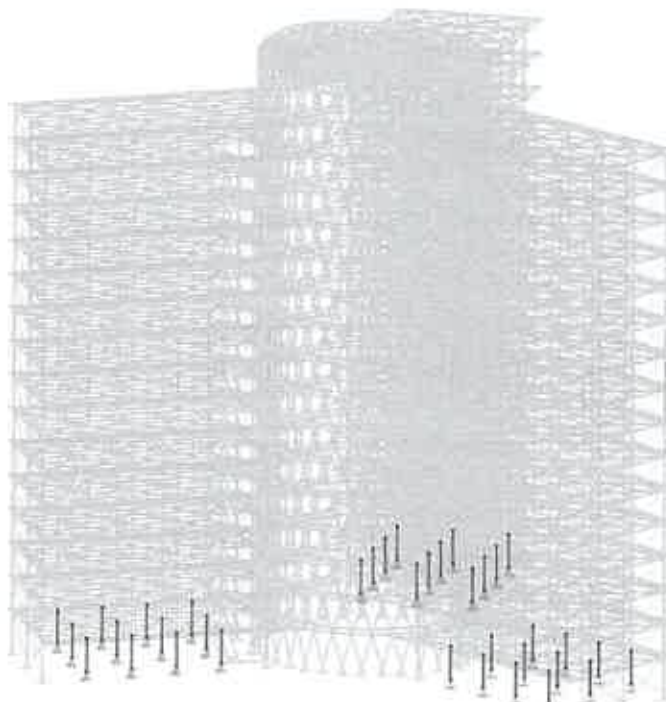
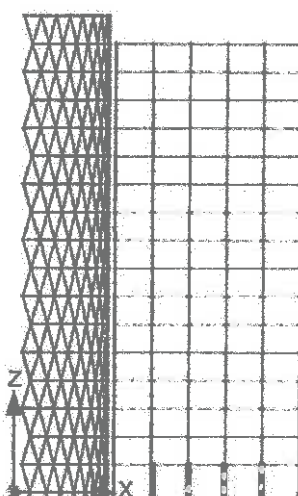
Moment setrvačnosti:

Hmotnost profilu:

Materiál

Ocel:
Mez kluzu:
Návrhová mez kluzu:
Modul pružnosti:

S 355
f_y=355 MPa
f_{yd}=355 MPa ($\gamma_{M0}=1,0$)
E_a=210 GPa



$$\epsilon = 0.81$$

$$c_f = 115 \text{ mm}$$

$$c_w = 534 \text{ mm}$$

$$t_f = 31 \text{ mm}$$

$$t_w = 16 \text{ mm}$$

$$\frac{c_f}{t_f} \leq 9 \cdot \epsilon \quad \frac{115}{31} \leq 7.29$$

$$3.71 < 7.29$$

5.3.1 ZATÍŽENÍ

KZ 24

$$\Sigma 1,35 \cdot G + 1,5 \cdot (\text{užitné stropy plné}) + 1,5 \cdot 0,6 \cdot (\text{sníh})$$

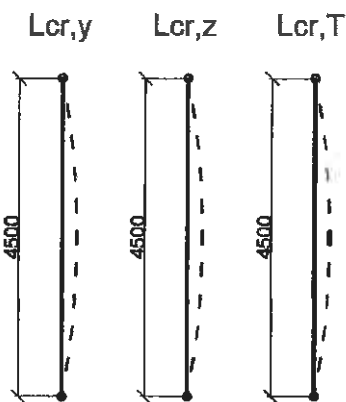
Posuzovaný prut č. 577

Průřez třídy 3

$$L_{\text{cry}} = 4.5 \text{ m}$$

$$L_{\text{crz}} = 4.5 \text{ m}$$

$$L_T = 4.5 \text{ m}$$



5.3.2 POSOUZENÍ - VZPĚR

$$N_{\text{Ed}} = 6391.937 \text{ kN}$$

$$A = 0.02863 \text{ m}^2$$

$$I_y = 2.106 \cdot 10^{-3} \text{ m}^4$$

$$I_z = 0.1398 \cdot 10^{-3} \text{ m}^4$$

$$I_t = 7.392 \cdot 10^{-6} \text{ m}^4$$

$$I_w = 1.336 \cdot 10^{-5} \text{ m}^6$$

$$i_y = 0.2712 \text{ m}$$

$$i_z = 0.0699 \text{ m}$$

$$y_0 = 0 \text{ m}$$

$$z_0 = 0 \text{ m}$$

$$f_y = 355 \cdot 10^3 \text{ kPa}$$

$$E = 210 \cdot 10^6 \text{ kPa}$$

$$G = 81 \cdot 10^6 \text{ kPa}$$

$$N_{\text{cry}} = \frac{\pi^2 \cdot E \cdot I_y}{L_{\text{cry}}^2} = \frac{\pi^2 \cdot (210 \cdot 10^6) \cdot (2.106 \cdot 10^{-3})}{4.5^2}$$

$$N_{\text{cry}} = 215.552 \times 10^3 \text{ kN}$$

$$N_{\text{crz}} = \frac{\pi^2 \cdot E \cdot I_z}{L_{\text{crz}}^2} = \frac{\pi^2 \cdot (210 \cdot 10^6) \cdot (0.1398 \cdot 10^{-3})}{4.5^2}$$

$$N_{\text{crz}} = 13.844 \times 10^3 \text{ kN}$$

$$i_0 = \sqrt{(i_y^2 + i_z^2 + y_0^2 + z_0^2)} = \sqrt{0.2712^2 + 0.0699^2 + 0^2 + 0^2}$$

$$i_0 = 0.28 \text{ m}^2$$

$$N_{\text{crT}} = \frac{1}{i_0^2} \left(G \cdot I_t + \frac{\pi^2 \cdot E \cdot I_w}{L_T^2} \right) = \frac{1}{0.28^2} \left[81 \cdot 10^6 \cdot (7.392 \cdot 10^{-6}) + \frac{\pi^2 \cdot (210 \cdot 10^6) \cdot (1.336 \cdot 10^{-5})}{4.5^2} \right]$$

$$N_{\text{crT}} = 25.079 \times 10^3 \text{ kN}$$

$$\lambda_y = \sqrt{\frac{A \cdot f_y}{N_{\text{cry}}}} = \sqrt{\frac{0.02863 \cdot (355 \cdot 10^3)}{215552}}$$

$$\lambda_z = \sqrt{\frac{A \cdot f_y}{N_{\text{crz}}}} = \sqrt{\frac{0.02863 \cdot (355 \cdot 10^3)}{13844}}$$

$$\lambda_y = 0.217$$

$$\lambda_z = 0.857$$

$$\alpha = 0.34$$

$$\phi_y = 0.5 \left[1 + \alpha \cdot (\lambda_y - 0.2) + \lambda_y^2 \right] = 0.5 \left[1 + 0.34 \cdot (0.217 - 0.2) + 0.217^2 \right]$$

$$\phi_y = 0.526$$

$$\phi_z = 0.5 \left[1 + \alpha \cdot (\lambda_z - 0.2) + \lambda_z^2 \right] = 0.5 \left[1 + 0.34 \cdot (0.857 - 0.2) + 0.857^2 \right]$$

$$\phi_z = 0.979$$

$$\chi_y = \frac{1}{\phi_y + \sqrt{(\phi_y^2 - \lambda_y^2)}}$$

$$\chi_z = \frac{1}{\phi_z + \sqrt{(\phi_z^2 - \lambda_z^2)}}$$

$$\chi_y = 0.995$$

$$\chi_z = 0.689$$

$$\gamma_{\text{M1}} = 1.00$$

$$N_{\text{bRd}} = \frac{\chi_z \cdot A \cdot f_y}{\gamma_{\text{M1}}} = \frac{0.689 \cdot 0.02863 \cdot (355 \cdot 10^3)}{1.00}$$

$$N_{\text{bRd}} = 7.003 \times 10^3 \text{ kN}$$

$$\frac{N_{\text{Ed}}}{N_{\text{bRd}}} \leq 1.0$$

$$\frac{6391.937}{7003} = 0.913$$

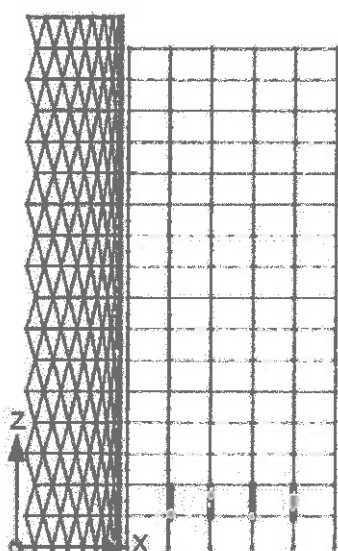
$$0.91 < 1.00$$

Vyhovuje

Prvek: Sloupy 1.-2. NP vnitřní
 profil HEB 600
 materiál S 355
 délka $L_{\alpha,y} = 4,5 \text{ m}$ $L_{\alpha,z} = 4,5 \text{ m}$ $L_T = 4,5 \text{ m}$

Průřezové charakteristiky:

$A = 27000 \text{ mm}^2$	$i_y = 251,7 \text{ mm}$
$I_y = 1710000000 \text{ mm}^4$	$i_z = 70,8 \text{ mm}$
$I_z = 135300000 \text{ mm}^4$	$y_0 = 0 \text{ mm}$
$I_t = 6672000 \text{ mm}^4$	$z_0 = 0 \text{ mm}$
$I_o = 1,097E+13 \text{ mm}^6$	
$W_{pl,y} = 6425000 \text{ mm}^3$	
$W_{pl,z} = 1391000 \text{ mm}^3$	



Návrhové vnitřní síly:

KZ 24 $N_{Ed} = 5983,097 \text{ kN}$ Prut č. 604
 $N_{\alpha,y} = 174844 \text{ kN}$ $i_0^2 = 68366 \text{ mm}^2$
 $N_{\alpha,z} = 13834 \text{ kN}$
 $N_{\alpha,T} = 24312 \text{ kN}$

rozhoduje vzpěr kolmo k z

poměrná štíhlosť $\lambda_z = 0,8324$ křivka vzpěrné pevnosti b
 $\Phi_z = 0,9539$ $a = 0,34$
 $\chi_z = 0,7043$

$$N_{b,Rd} = 6750,5 \text{ kN}$$

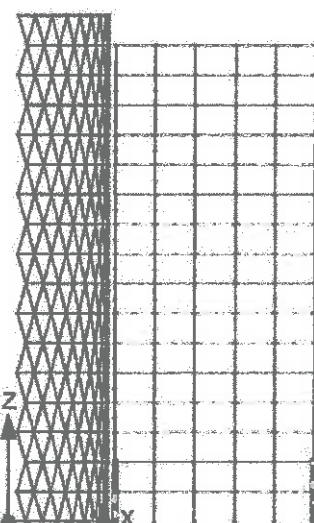
$$N_{Ed} / N_{b,Rd} = 0,89 < 1,00$$

Vyhovuje

Prvek: Sloupy 1.-2. NP krajní
 profil HEB 500
 materiál S 355
 délka $L_{\alpha,y} = 4,5 \text{ m}$ $L_{\alpha,z} = 4,5 \text{ m}$ $L_T = 4,5 \text{ m}$

Průřezové charakteristiky:

$A = 23860 \text{ mm}^2$	$i_y = 211,9 \text{ mm}$
$I_y = 1072000000 \text{ mm}^4$	$i_z = 72,7 \text{ mm}$
$I_z = 126200000 \text{ mm}^4$	$y_0 = 0 \text{ mm}$
$I_t = 5384000 \text{ mm}^4$	$z_0 = 0 \text{ mm}$
$I_o = 701800000000 \text{ mm}^6$	
$W_{pl,y} = 4815000 \text{ mm}^3$	
$W_{pl,z} = 1292000 \text{ mm}^3$	



Návrhové vnitřní síly:

KZ 22 $N_{Ed} = 4374,578 \text{ kN}$ Prut č. 478

$N_{\alpha,y} = 109610 \text{ kN}$ $i_0^2 = 50187 \text{ mm}^2$
 $N_{\alpha,z} = 12904 \text{ kN}$
 $N_{\alpha,T} = 22988 \text{ kN}$

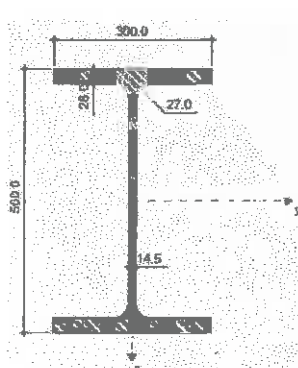
rozhoduje vzpěr kolmo k z

poměrná štíhlosť $\lambda_z = 0,8102$ křivka vzpěrné pevnosti b
 $\Phi_z = 0,9319$ $a = 0,34$
 $\chi_z = 0,7181$

$$N_{b,Rd} = 6082,8 \text{ kN}$$

$$N_{Ed} / N_{b,Rd} = 0,72 < 1,00$$

Vyhovuje



Prvek: **Sloupy 3.-4. NP**

profil HEB 500
materiál S 355
délka $L_{cr,y} = 4,5 \text{ m}$ $L_{cr,z} = 4,5 \text{ m}$ $L_T = 4,5 \text{ m}$

Průřezové charakteristiky:

$A = 23860 \text{ mm}^2$	$i_y = 211,9 \text{ mm}$
$I_y = 1072000000 \text{ mm}^4$	$i_z = 72,7 \text{ mm}$
$I_z = 126200000 \text{ mm}^4$	$y_0 = 0 \text{ mm}$
$I_t = 5384000 \text{ mm}^4$	$z_0 = 0 \text{ mm}$
$I_w = 701800000000 \text{ mm}^6$	
$W_{pl,y} = 4815000 \text{ mm}^3$	
$W_{pl,z} = 1292000 \text{ mm}^3$	

Návrhové vnitřní sily:

KZ 24 $N_{Ed} = 5575,02 \text{ kN}$ Prut č. 1852

$N_{cr,y} = 109610 \text{ kN}$ $i_0^2 = 50187 \text{ mm}^2$
 $N_{cr,z} = 12904 \text{ kN}$
 $N_{cr,T} = 22988 \text{ kN}$

rozhoduje vzpěr kolmo k z

poměrná štíhlosť

$\lambda_z = 0,8102$
 $\Phi_z = 0,9319$
 $\chi_z = 0,7181$

křivka vzpěrné pevnosti b
 $a = 0,34$

$N_{b,Rd} = 6082,8 \text{ kN}$

$N_{Ed} / N_{b,Rd} = 0,92 < 1,00$

Vyhovuje

Prvek: **Sloupy 5.-6. NP**

profil HEB 450
materiál S 355
délka $L_{cr,y} = 4,5 \text{ m}$ $L_{cr,z} = 4,5 \text{ m}$ $L_T = 4,5 \text{ m}$

Průřezové charakteristiky:

$A = 21800 \text{ mm}^2$	$i_y = 191,4 \text{ mm}$
$I_y = 79890000 \text{ mm}^4$	$i_z = 73,3 \text{ mm}$
$I_z = 117200000 \text{ mm}^4$	$y_0 = 0 \text{ mm}$
$I_t = 4405000 \text{ mm}^4$	$z_0 = 0 \text{ mm}$
$I_w = 525800000000 \text{ mm}^6$	
$W_{pl,y} = 3982000 \text{ mm}^3$	
$W_{pl,z} = 1198000 \text{ mm}^3$	

Návrhové vnitřní sily:

KZ 24 $N_{Ed} = 4761,849 \text{ kN}$ Prut č. 3205

$N_{cr,y} = 81686 \text{ kN}$ $i_0^2 = 42007 \text{ mm}^2$
 $N_{cr,z} = 11983 \text{ kN}$
 $N_{cr,T} = 21292 \text{ kN}$

rozhoduje vzpěr kolmo k z

poměrná štíhlosť

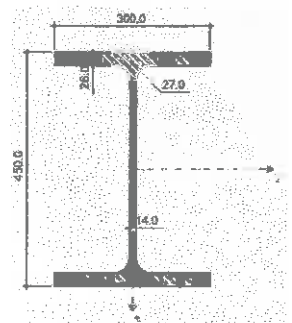
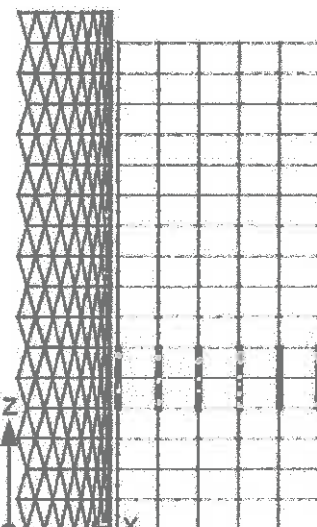
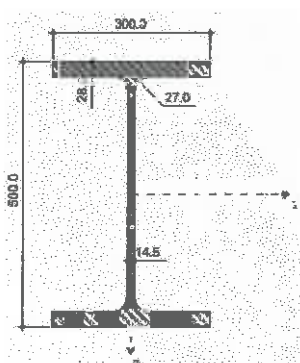
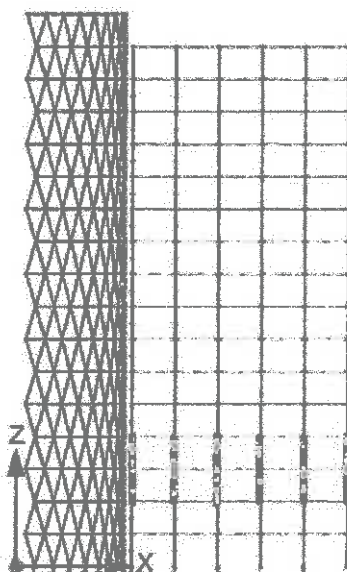
$\lambda_z = 0,8036$
 $\Phi_z = 0,9255$
 $\chi_z = 0,7222$

křivka vzpěrné pevnosti b
 $a = 0,34$

$N_{b,Rd} = 5589,2 \text{ kN}$

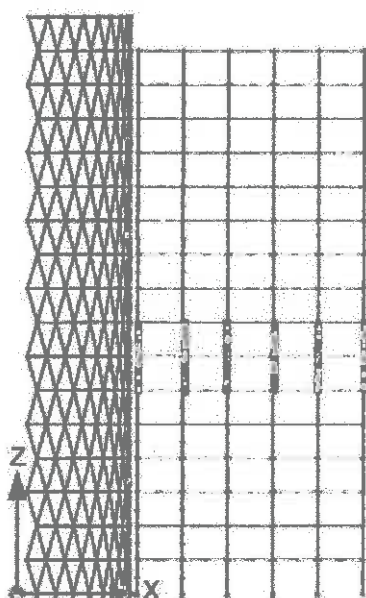
$N_{Ed} / N_{b,Rd} = 0,85 < 1,00$

Vyhovuje



Prvek: Sloupy 7-8. NP
 profil HEB 340
 materiál S 355
 délka $L_{cr,y} = 4,5 \text{ m}$ $L_{cr,z} = 4,5 \text{ m}$ $L_T = 4,5 \text{ m}$

Průřezové charakteristiky:
 $A = 17090 \text{ mm}^2$ $i_y = 146,5 \text{ mm}$
 $I_y = 366600000 \text{ mm}^4$ $i_z = 75,3 \text{ mm}$
 $I_z = 96900000 \text{ mm}^4$ $y_0 = 0 \text{ mm}$
 $I_t = 2572000 \text{ mm}^4$ $z_0 = 0 \text{ mm}$
 $I_w = 2454000000000 \text{ mm}^6$
 $W_{pl,y} = 2408000 \text{ mm}^3$
 $W_{pl,z} = 985700 \text{ mm}^3$



Návrhové vnitřní síly:

KZ 24 $N_{Ed} = 3950,74 \text{ kN}$ Prut č. 4558
 $N_{cr,y} = 37484 \text{ kN}$ $i_0^2 = 27132 \text{ mm}^2$
 $N_{cr,z} = 9907,8 \text{ kN}$
 $N_{cr,T} = 16926 \text{ kN}$

rozhoduje vzpěr kolmo k z

poměrná štíhlosť $\lambda_z = 0,7825$ křivka vzpěrné pevnosti b
 $\Phi_z = 0,9052$ $a = 0,34$
 $\chi_z = 0,7352$

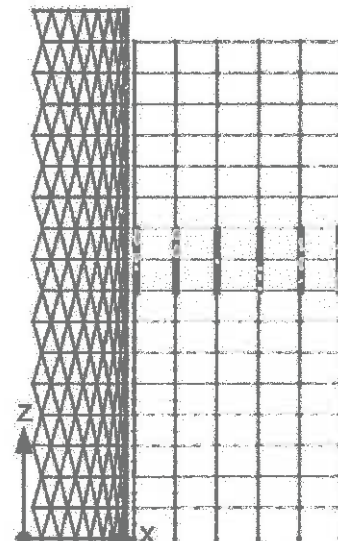
$$N_{b,Rd} = 4460,3 \text{ kN}$$

$$N_{Ed} / N_{b,Rd} = 0,89 < 1,00$$

Vyhovuje

Prvek: Sloupy 9-10. NP
 profil HEB 300
 materiál S 355
 délka $L_{cr,y} = 4,5 \text{ m}$ $L_{cr,z} = 4,5 \text{ m}$ $L_T = 4,5 \text{ m}$

Průřezové charakteristiky:
 $A = 14910 \text{ mm}^2$ $i_y = 129,9 \text{ mm}$
 $I_y = 251700000 \text{ mm}^4$ $i_z = 75,8 \text{ mm}$
 $I_z = 85630000 \text{ mm}^4$ $y_0 = 0 \text{ mm}$
 $I_t = 1850000 \text{ mm}^4$ $z_0 = 0 \text{ mm}$
 $I_w = 168800000000 \text{ mm}^6$
 $W_{pl,y} = 1869000 \text{ mm}^3$
 $W_{pl,z} = 870100 \text{ mm}^3$



Návrhové vnitřní síly:

KZ 24 $N_{Ed} = 3141,634 \text{ kN}$ Prut č. 5911
 $N_{cr,y} = 25736 \text{ kN}$ $i_0^2 = 22620 \text{ mm}^2$
 $N_{cr,z} = 8755,5 \text{ kN}$
 $N_{cr,T} = 14255 \text{ kN}$

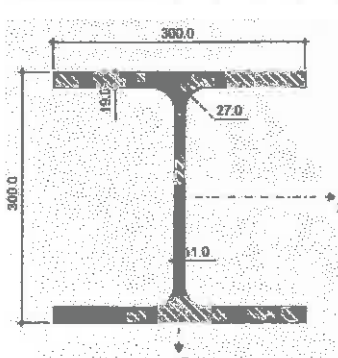
rozhoduje vzpěr kolmo k z

poměrná štíhlosť $\lambda_z = 0,7775$ křivka vzpěrné pevnosti b
 $\Phi_z = 0,9004$ $a = 0,34$
 $\chi_z = 0,7382$

$$N_{b,Rd} = 3907,4 \text{ kN}$$

$$N_{Ed} / N_{b,Rd} = 0,80 < 1,00$$

Vyhovuje

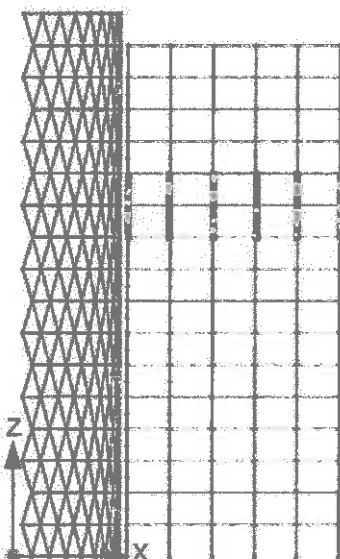


Prvek: Sloupy 11.-12. NP

profil HEB 260
materiál S 355
délka $L_{ax} = 4,5 \text{ m}$ $L_{cz} = 4,5 \text{ m}$ $L_T = 4,5 \text{ m}$

Průřezové charakteristiky:

$A = 11840 \text{ mm}^2$	$i_y = 112,2 \text{ mm}$
$I_y = 149200000 \text{ mm}^4$	$i_z = 65,8 \text{ mm}$
$I_z = 51350000 \text{ mm}^4$	$y_0 = 0 \text{ mm}$
$I_t = 1238000 \text{ mm}^4$	$z_0 = 0 \text{ mm}$
$I_w = 753700000000 \text{ mm}^6$	
$W_{pl,y} = 1283000 \text{ mm}^3$	
$W_{pl,z} = 602200 \text{ mm}^3$	



Návrhové vnitřní síly:

KZ 24 $N_{Ed} = 2337,517 \text{ kN}$ Prut č. 7262

$N_{ax} = 15255 \text{ kN}$ $i_0^2 = 16918 \text{ mm}^2$
 $N_{cz} = 5250,4 \text{ kN}$
 $N_{ct,T} = 10482 \text{ kN}$

rozhoduje vzpěr kolmo k z

poměrná štíhlosť

$\lambda_z = 0,8947$
 $\Phi_z = 1,0184$
 $\chi_z = 0,6646$

křivka vzpěrné pevnosti b
 $\alpha = 0,34$

$N_{b,Rd} = 2793,3 \text{ kN}$

$N_{Ed} / N_{b,Rd} = 0,84 < 1,00$

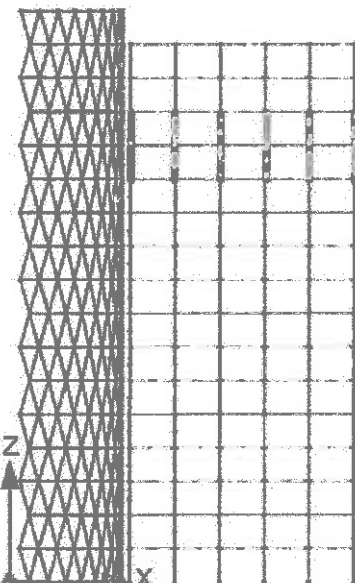
Vyhovuje

Prvek: Sloupy 13.-14. NP

profil HEB 240
materiál S 355
délka $L_{ax} = 4,5 \text{ m}$ $L_{cz} = 4,5 \text{ m}$ $L_T = 4,5 \text{ m}$

Průřezové charakteristiky:

$A = 10600 \text{ mm}^2$	$i_y = 103,1 \text{ mm}$
$I_y = 112600000 \text{ mm}^4$	$i_z = 60,8 \text{ mm}$
$I_z = 39230000 \text{ mm}^4$	$y_0 = 0 \text{ mm}$
$I_t = 1027000 \text{ mm}^4$	$z_0 = 0 \text{ mm}$
$I_w = 48690000000 \text{ mm}^6$	
$W_{pl,y} = 1053000 \text{ mm}^3$	
$W_{pl,z} = 498400 \text{ mm}^3$	



Návrhové vnitřní síly:

KZ 24 $N_{Ed} = 1536,358 \text{ kN}$ Prut č. 8615

$N_{ax} = 11513 \text{ kN}$ $i_0^2 = 14326 \text{ mm}^2$
 $N_{cz} = 4011,2 \text{ kN}$
 $N_{ct,T} = 9281,7 \text{ kN}$

rozhoduje vzpěr kolmo k z

poměrná štíhlosť

$\lambda_z = 0,9686$
 $\Phi_z = 1,0997$
 $\chi_z = 0,6171$

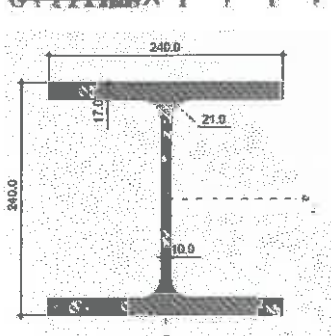
křivka vzpěrné pevnosti b

$\alpha = 0,34$

$N_{b,Rd} = 2322,1 \text{ kN}$

$N_{Ed} / N_{b,Rd} = 0,66 < 1,00$

Vyhovuje

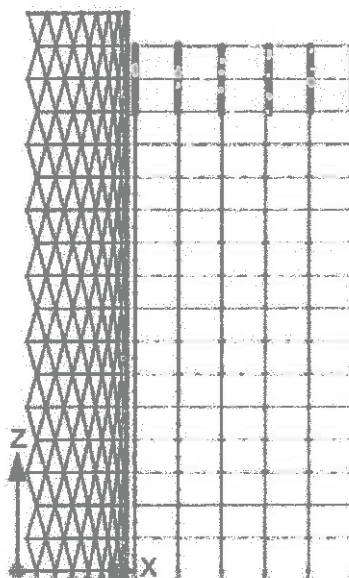


Prvek: Sloupy 15.-16. NP

profil HEB 200
 materiál S 355
 délka $L_{cr,y} = 4,5 \text{ m}$ $L_{cr,z} = 4,5 \text{ m}$ $L_T = 4,5 \text{ m}$

Průřezové charakteristiky:

$A = 7808 \text{ mm}^2$	$i_y = 85,4 \text{ mm}$
$I_y = 56960000 \text{ mm}^4$	$i_z = 50,7 \text{ mm}$
$I_z = 20030000 \text{ mm}^4$	$y_0 = 0 \text{ mm}$
$I_t = 592800 \text{ mm}^4$	$z_0 = 0 \text{ mm}$
$I_o = 171100000000 \text{ mm}^6$	
$W_{pl,y} = 642500 \text{ mm}^3$	
$W_{pl,z} = 305800 \text{ mm}^3$	



Návrhové vnitřní síly:

KZ 25 $N_{Ed} = 736,349 \text{ kN}$ Prut č. 9968

$N_{cr,y} = 5824 \text{ kN}$ $i_b^2 = 9863,7 \text{ mm}^2$
 $N_{cr,z} = 2048 \text{ kN}$
 $N_{cr,T} = 6641,7 \text{ kN}$

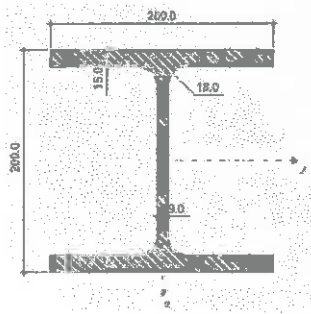
rozhoduje vzpěr kolmo k z

poměrná šíhlost $\lambda_z = 1,1634$ křivka vzpěrné pevnosti b
 $\Phi_z = 1,3405$ $a = 0,34$
 $\chi_z = 0,4984$

$N_{b,Rd} = 1381,5 \text{ kN}$

$N_{Ed} / N_{b,Rd} = 0,53 < 1,00$

Vyhovuje

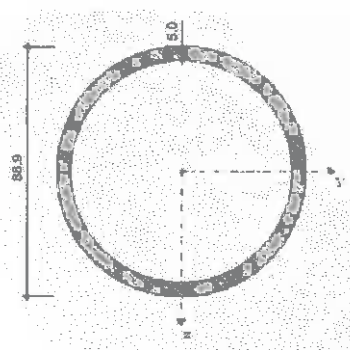


Poznámka:

sloupy budou spojeny kontaktními styky pomocí čelních desek tloušťky minimálně stojny a konstrukčně spojeny 4 šrouby M12 8.8

5.4 ZTUŽUJÍCÍ PRUTY V NAPOJENÍ

POSOUZENÍ NEJVÍCENAMÁHANÉHO PRUTU



$$\begin{aligned} A &= 0.00132 \text{ m}^2 \\ I_y &= 1.16 \cdot 10^{-6} \text{ m}^4 \\ I_z &= 1.16 \cdot 10^{-6} \text{ m}^4 \\ W_{pl,y} &= 3.52 \cdot 10^{-5} \text{ m}^3 \\ W_{pl,z} &= 3.52 \cdot 10^{-5} \text{ m}^3 \end{aligned}$$

$$\begin{aligned} f_y &= 235 \cdot 10^3 \text{ kPa} \\ f_{yd} &= 235 \cdot 10^3 \text{ kPa} \\ E &= 210 \cdot 10^6 \text{ kPa} \\ G &= 81 \cdot 10^6 \text{ kPa} \end{aligned}$$

5.4.1 ZATÍŽENÍ A VNITŘNÍ SÍLY

KZ 6

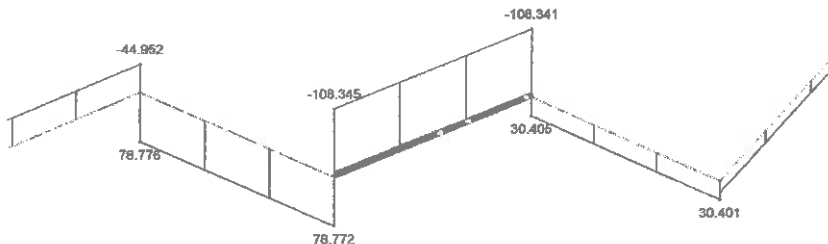
$$\Sigma 1,35 \cdot G + 1,5 \cdot (\text{vtr B}) + 1,5 \cdot 0,7 \cdot (\text{plné})$$

Posuzovaný prut č. 10 607

$$\frac{d}{t} \leq 50 - \varepsilon \quad \frac{88.9}{5} \leq 50$$

$$17.78 < 50$$

Průřez třídy 1



$$N_{Ed} = 103.293 \text{ kN} \quad (\text{tlak})$$

$$L_{cry} = 2.880 \text{ m}$$

$$L_{crz} = 2.880 \text{ m}$$

5.4.2 POSOUZENÍ - Ohyb a osový tlak

$$N_{cr,y} = \frac{\pi^2 \cdot E \cdot I_y}{L_{cry}^2} = \frac{\pi^2 \cdot (210 \cdot 10^6) \cdot (1.16 \cdot 10^{-6})}{2.880^2}$$

$$N_{cr,y} = 289.863 \text{ kN}$$

$$N_{cr,z} = \frac{\pi^2 \cdot E \cdot I_z}{L_{crz}^2} = \frac{\pi^2 \cdot (210 \cdot 10^6) \cdot (1.16 \cdot 10^{-6})}{2.880^2}$$

$$N_{cr,z} = 289.863 \text{ kN}$$

$$\lambda_y = \sqrt{\frac{A \cdot f_y}{N_{cr,y}}} = \sqrt{\frac{0.00132 \cdot (235 \cdot 10^3)}{289.863}} \quad \lambda_z = \sqrt{\frac{A \cdot f_y}{N_{cr,z}}} = \sqrt{\frac{0.00132 \cdot (235 \cdot 10^3)}{289.863}}$$

$$\lambda_y = 1.034$$

$$\lambda_z = 1.034$$

$$\alpha = 0.49$$

$$\phi_y = 0.5 \cdot [1 + \alpha \cdot (\lambda_y - 0.2) + \lambda_y^2] = 0.5 \cdot [1 + 0.49 \cdot (1.034 - 0.2) + 1.034^2]$$

$$\phi_y = 1.239$$

$$\phi_z = 0.5 \cdot [1 + \alpha \cdot (\lambda_z - 0.2) + \lambda_z^2] = 0.5 \cdot [1 + 0.49 \cdot (1.034 - 0.2) + 1.034^2]$$

$$\phi_z = 1.239$$

$$\chi_y = \frac{1}{\phi_y + \sqrt{(\phi_y^2 - \lambda_y^2)}}$$

$$\chi_z = \frac{1}{\phi_z + \sqrt{(\phi_z^2 - \lambda_z^2)}}$$

$$\chi_y = 0.52$$

$$\chi_z = 0.52$$

$$N_{b,Rd} = \frac{\chi \cdot A \cdot f_y}{\gamma_{M1}} = \frac{0.52 \cdot 0.00132 \cdot (235 \cdot 10^3)}{1.00}$$

$$N_{b,Rd} = 161.304 \text{ kN}$$

$$\frac{N_{Ed}}{N_{bRd}} \leq 1.0 \quad \frac{103.293}{161.304} = 0.64$$

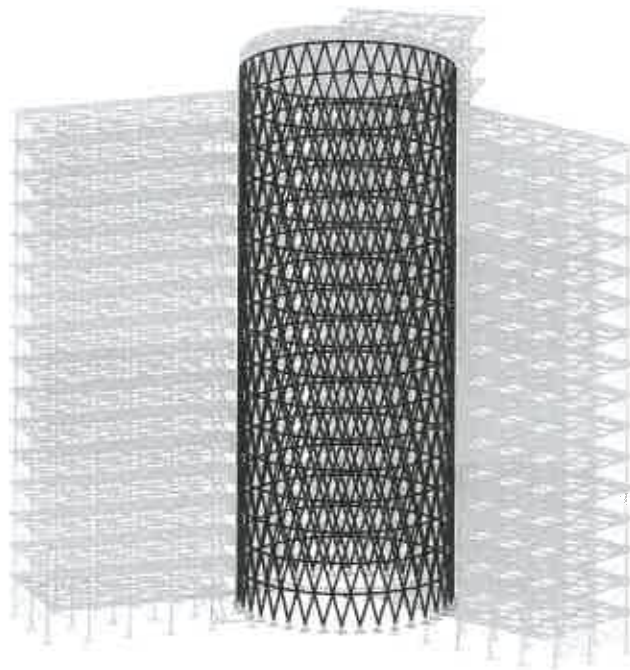
$$0.64 < 1.00$$

Vyhovuje

Poznámka: Ostatní pruty jsou namáhány menšími silami a byly posouzeny programem RFEM

5.5 KONSTRUKCE ATRIA

POSOUZENÍ NEJVÍCENAMÁHANÉHO PRUTU



5.5.1 ZATÍŽENÍ A VNITŘNÍ SÍLY

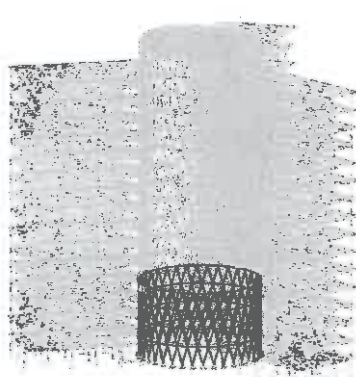
KZ 3

$$\Sigma 1,35 \cdot G + 1,5 \cdot (\text{vitr A}) + 1,5 \cdot 0,7 \cdot (\text{plné})$$

Vnitřní síly dle programu RFEM

5.5.2 POSOUZENÍ - Ohyb a osový tlak - patra 1-4

Výpočet dle ČSN EN 1993-1-1 článku 6.3.3 metody 2



$$A = 0.007367 \text{ m}^2$$

$$I_y = 5.073 \cdot 10^{-5} \text{ m}^4$$

$$I_z = 5.073 \cdot 10^{-5} \text{ m}^4$$

$$W_{pl,y} = 5.5024 \cdot 10^{-4} \text{ m}^3$$

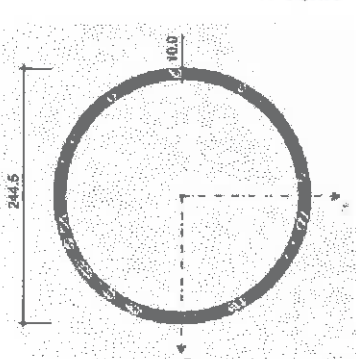
$$W_{pl,z} = 5.5024 \cdot 10^{-4} \text{ m}^3$$

$$f_y = 355 \cdot 10^3 \text{ kPa}$$

$$f_{yd} = 355 \cdot 10^3 \text{ kPa}$$

$$E = 210 \cdot 10^6 \text{ kPa}$$

$$G = 81 \cdot 10^6 \text{ kPa}$$



Posuzovaný prut č.233

$$L_{cry} = L \cdot 0.5$$

$$L_{cry} = 4.686 \cdot 0.5 = 2.343$$

$$L_{cry} = 2.343 \text{ m}$$

$$L_{crz} = 2.343 \text{ m}$$

$$N_{Ed} = 1288.372 \text{ kN (tlak)}$$

$$M_{y,Ed} = 2.98 \text{ kNm}$$

$$M_{z,Ed} = 5.53 \text{ kNm}$$

$$\epsilon = 0.66$$

$$d = 244.5 \text{ mm}$$

$$t = 10 \text{ mm}$$

$$\frac{d}{t} \leq 50 \cdot \epsilon^2 \quad \frac{244.5}{10} \leq 33$$

$$24.45 < 33$$

Průřez třídy 1

$$N_{cr,y} = \frac{\pi^2 \cdot E \cdot I_y}{L_{cry}^2} = \frac{\pi^2 \cdot (210 \cdot 10^6) \cdot (5.073 \cdot 10^{-5})}{2.343^2}$$

$$N_{cr,y} = 1.915 \times 10^4 \text{ kN}$$

$$N_{cr,z} = \frac{\pi^2 \cdot E \cdot I_z}{L_{crz}^2} = \frac{\pi^2 \cdot (210 \cdot 10^6) \cdot (5.073 \cdot 10^{-5})}{2.343^2}$$

$$N_{cr,z} = 1.915 \times 10^4 \text{ kN}$$

$$\lambda_y = \sqrt{\frac{A \cdot f_y}{N_{cr,y}}} = \sqrt{\frac{0.007367 \cdot (355 \cdot 10^3)}{19150}}$$

$$\lambda_z = \sqrt{\frac{A \cdot f_y}{N_{cr,z}}} = \sqrt{\frac{0.007367 \cdot (355 \cdot 10^3)}{19150}}$$

Vzpěrná křivka c

$$\lambda_y = 0.37$$

$$\lambda_z = 0.37$$

$$\alpha = 0.49$$

$$\phi_y = 0.5 \cdot [1 + \alpha \cdot (\lambda_y - 0.2) + \lambda_y^2] = 0.5 \cdot [1 + 0.49 \cdot (0.37 - 0.2) + 0.37^2]$$

$$\phi_y = 0.61$$

$$\phi_z = 0.5 \cdot [1 + \alpha \cdot (\lambda_z - 0.2) + \lambda_z^2] = 0.5 \cdot [1 + 0.49 \cdot (0.37 - 0.2) + 0.37^2]$$

$$\phi_z = 0.61$$

$$\chi_y = \frac{1}{\phi_y + \sqrt{(\phi_y^2 - \lambda_y^2)}}$$

$$\chi_z = \frac{1}{\phi_z + \sqrt{(\phi_z^2 - \lambda_z^2)}}$$

$$\chi_y = 0.913$$

$$\chi_z = 0.913$$

$$N_{Rk} = A \cdot f_y = 0.007367 \cdot (355 \cdot 10^3)$$

$$N_{Rk} = 2.615 \times 10^3 \text{ kN}$$

interakční součinitele:

$$C_{my} = 0.99 \quad 0.95 + 0.05 \cdot \alpha_h \quad \alpha_h = 0.98$$

$$C_{mz} = 1.0 \quad 0.95 + 0.05 \cdot \alpha_h \quad \alpha_h = 1.0$$

$$k_{yy}$$

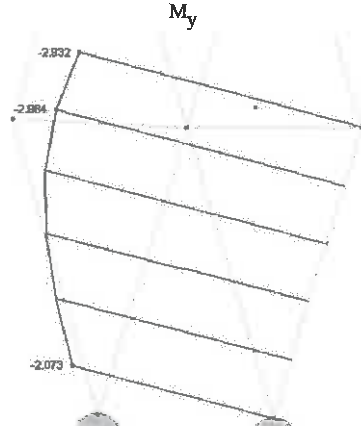
$$C_{my} \left[1 + (\lambda_y - 0.2) \cdot \left(\frac{N_{Ed}}{\chi_y \cdot N_{Rk}} \right) \right] \leq C_{my} \left[1 + 0.8 \cdot \left(\frac{N_{Ed}}{\chi_y \cdot N_{Rk}} \right) \right]$$

$$C_{my} \left[1 + (\lambda_y - 0.2) \cdot \left(\frac{N_{Ed}}{\chi_y \cdot N_{Rk}} \right) \right] = 0.99 \left[1 + (0.37 - 0.2) \cdot \left[\frac{1288.372}{\left(\frac{0.913 \cdot 2615}{1.00} \right)} \right] \right] = 1.081$$

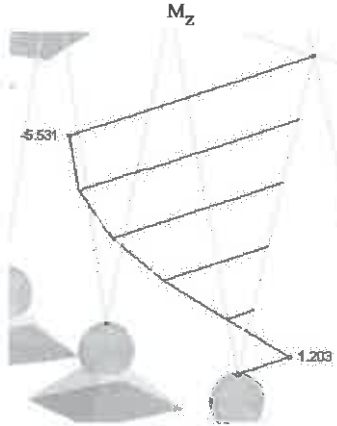
$$C_{my} \left[1 + 0.8 \cdot \left(\frac{N_{Ed}}{\chi_y \cdot N_{Rk}} \right) \right] = 0.99 \left[1 + 0.8 \cdot \left[\frac{1288.372}{\left(\frac{0.913 \cdot 2615}{1.00} \right)} \right] \right] = 1.417$$

$$1.081 \leq 1.417$$

$$k_{yy} = 1.081$$



M_y



M_z

k_{zz}

$$C_{mz} \left[1 + (\lambda_z - 0.2) \cdot \frac{N_{Ed}}{\left(\frac{\chi_z \cdot N_{Rk}}{\gamma_{M1}} \right)} \right] \leq C_{mz} \left[1 + 0.8 \cdot \frac{N_{Ed}}{\left(\frac{\chi_z \cdot N_{Rk}}{\gamma_{M1}} \right)} \right]$$

$$C_{mz} \left[1 + (\lambda_z - 0.2) \cdot \frac{N_{Ed}}{\left(\frac{\chi_z \cdot N_{Rk}}{\gamma_{M1}} \right)} \right] = 1.0 \left[1 + (0.37 - 0.2) \cdot \left[\frac{1288.372}{\left(\frac{0.913 \cdot 2615}{1.00} \right)} \right] \right] = 1.092$$

$$C_{mz} \left[1 + 0.8 \cdot \frac{N_{Ed}}{\left(\frac{\chi_z \cdot N_{Rk}}{\gamma_{M1}} \right)} \right] = 1.0 \left[1 + 0.8 \cdot \left[\frac{1288.372}{\left(\frac{0.913 \cdot 2615}{1.00} \right)} \right] \right] = 1.432$$

$$1.092 \leq 1.432$$

$$k_{zz} = 1.092$$

k_{yz}

$$k_{yz} = 0.6 \cdot k_{zz}$$

$$k_{yz} = 0.655$$

k_{zy}

$$k_{zy} = 0.6 \cdot k_{yy}$$

$$k_{zy} = 0.649$$

Posouzení:

$$M_{y,Rd} = \frac{W_{pl,y} f_{yd}}{\gamma_{M0}} =$$

$$M_{y,Rd} = 195.335 \text{ kNm}$$

$$M_{z,Rd} = \frac{W_{pl,z} f_{yd}}{\gamma_{M0}} = \frac{5.5024 \cdot 10^{-4} \cdot (355 \cdot 10^3)}{1.00}$$

$$M_{z,Rd} = 195.335 \text{ kNm}$$

$$\left(\frac{N_{Ed}}{\frac{\chi_y \cdot N_{Rk}}{\gamma_{M1}}} \right) + k_{yy} \cdot \frac{M_{y,Ed}}{M_{y,Rd}} + k_{yz} \cdot \frac{M_{z,Ed}}{M_{z,Rd}} \leq 1.00$$

$$\left(\frac{N_{Ed}}{\frac{\chi_y \cdot N_{Rk}}{\gamma_{M1}}} \right) + k_{yy} \cdot \frac{M_{y,Ed}}{M_{y,Rd}} + k_{yz} \cdot \frac{M_{z,Ed}}{M_{z,Rd}} = \frac{1288.372}{\left(\frac{0.913 \cdot 2615}{1.00} \right)} + 1.081 \cdot \left(\frac{2.98}{195.335} \right) + 0.655 \cdot \left(\frac{5.53}{195.335} \right) = 0.575$$

$$0.575 \leq 1.00$$

Vyhovuje

$$\left(\frac{N_{Ed}}{\frac{\chi_z \cdot N_{Rk}}{\gamma_{M1}}} \right) + k_{zy} \cdot \frac{M_{y,Ed}}{M_{y,Rd}} + k_{zz} \cdot \frac{M_{z,Ed}}{M_{z,Rd}} \leq 1.00$$

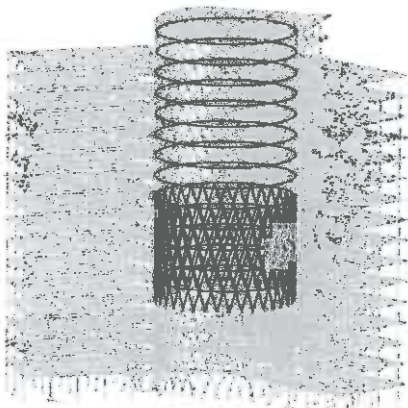
$$\left(\frac{N_{Ed}}{\frac{\chi_z \cdot N_{Rk}}{\gamma_{M1}}} \right) + k_{zy} \cdot \frac{M_{y,Ed}}{M_{y,Rd}} + k_{zz} \cdot \frac{M_{z,Ed}}{M_{z,Rd}} = \frac{1288.372}{\left(\frac{0.913 \cdot 2615}{1.00} \right)} + 0.649 \cdot \left(\frac{2.98}{195.335} \right) + 1.092 \cdot \left(\frac{5.53}{195.335} \right) = 0.58$$

$$0.58 \leq 1.00$$

Vyhovuje

5.5.3 POSOUZENÍ - Ohyb a osový tlak - patra 5-9 + prstence

Výpočet dle ČSN EN 1993-1-1 článku 6.3.3 metody 2



$$A = 0.005944 \text{ m}^2$$

$$f_y = 355 \cdot 10^3 \text{ kPa}$$

$$I_y = 4.160 \cdot 10^{-5} \text{ m}^4$$

$$f_{yd} = 355 \cdot 10^3 \text{ kPa}$$

$$I_z = 4.160 \cdot 10^{-5} \text{ m}^4$$

$$E = 210 \cdot 10^6 \text{ kPa}$$

$$W_{pl,y} = 4.4763 \cdot 10^{-4} \text{ m}^3$$

$$G = 81 \cdot 10^6 \text{ kPa}$$

$$W_{pl,z} = 4.4763 \cdot 10^{-4} \text{ m}^3$$

Posuzovaný prut č. 2891

$$L_{cry} = L \cdot 0.5$$

$$L_{cry} = 4.686 \cdot 0.5 = 2.343$$

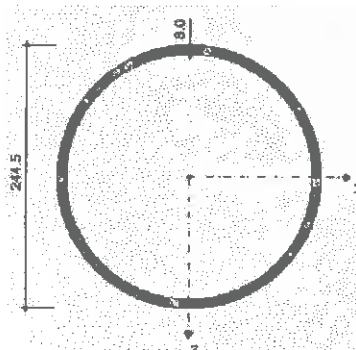
$$N_{Ed} = 958.559 \text{ kN (tlak)}$$

$$L_{cry} = 2.343 \text{ m}$$

$$M_{y,Ed} = 6.675 \text{ kNm}$$

$$L_{crz} = 2.343 \text{ m}$$

$$M_{z,Ed} = 7.46 \text{ kNm}$$



$$\epsilon = 0.66$$

$$d = 244.5 \text{ mm}$$

$$t = 8 \text{ mm}$$

$$\frac{d}{t} \leq 50 \cdot \epsilon \quad \frac{244.5}{8} \leq 33$$

$$30.6 < 33$$

Průřez třídy 1

$$N_{cr,y} = \frac{\pi^2 \cdot E \cdot I_y}{L_{cry}^2} = \frac{\pi^2 \cdot (210 \cdot 10^6) \cdot (4.160 \cdot 10^{-5})}{2.343^2}$$

$$N_{cr,y} = 1.571 \times 10^4 \text{ kN}$$

$$N_{cr,z} = \frac{\pi^2 \cdot E \cdot I_z}{L_{crz}^2} = \frac{\pi^2 \cdot (210 \cdot 10^6) \cdot (4.160 \cdot 10^{-5})}{2.343^2}$$

$$N_{cr,z} = 1.571 \times 10^4 \text{ kN}$$

$$\lambda_y = \sqrt{\frac{A \cdot f_y}{N_{cr,y}}} = \sqrt{\frac{0.005944 \cdot (355 \cdot 10^3)}{15710}}$$

$$\lambda_z = \sqrt{\frac{A \cdot f_y}{N_{cr,z}}} = \sqrt{\frac{0.005944 \cdot (355 \cdot 10^3)}{15710}}$$

$$\lambda_y = 0.366$$

$$\lambda_z = 0.366$$

Vzpěrná křivka c

$$\alpha = 0.49$$

$$\phi_y = 0.5 \cdot [1 + \alpha \cdot (\lambda_y - 0.2) + \lambda_y^2] = 0.5 \cdot [1 + 0.49 \cdot (0.366 - 0.2) + 0.366^2]$$

$$\phi_y = 0.608$$

$$\phi_z = 0.5 \cdot [1 + \alpha \cdot (\lambda_z - 0.2) + \lambda_z^2] = 0.5 \cdot [1 + 0.49 \cdot (0.366 - 0.2) + 0.366^2]$$

$$\phi_z = 0.608$$

$$\chi_y = \frac{1}{\phi_y + \sqrt{(\phi_y^2 - \lambda_y^2)}}$$

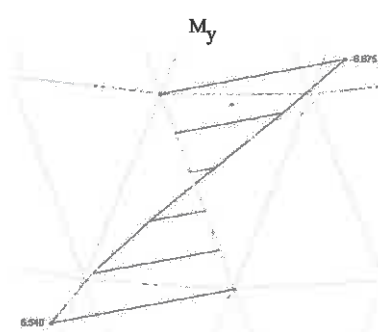
$$\chi_z = \frac{1}{\phi_z + \sqrt{(\phi_z^2 - \lambda_z^2)}}$$

$$\chi_y = 0.914$$

$$\chi_z = 0.914$$

$$N_{Rk} = A \cdot f_y = 0.005944 \cdot (355 \cdot 10^3)$$

$$N_{Rk} = 2.11 \times 10^3 \text{ kN}$$



interakční součinitele:

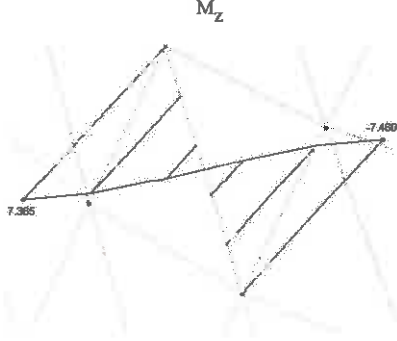
$$C_{my} = 0.208 \quad 0.6 + 0.4 \cdot \psi \quad \psi = -0.98$$

$$C_{mz} = 0.204 \quad 0.6 + 0.4 \cdot \psi \quad \psi = -0.99$$

k_{yy}

$$C_{my} \left[1 + (\lambda_y - 0.2) \cdot \frac{N_{Ed}}{\left(\frac{\chi_y \cdot N_{Rk}}{\gamma_{M1}} \right)} \right] \leq C_{my} \left[1 + 0.8 \cdot \frac{N_{Ed}}{\left(\frac{\chi_y \cdot N_{Rk}}{\gamma_{M1}} \right)} \right]$$

$$C_{my} \left[1 + (\lambda_y - 0.2) \cdot \frac{N_{Ed}}{\left(\frac{\chi_y \cdot N_{Rk}}{\gamma_{M1}} \right)} \right] = 0.208 \left[1 + (0.366 - 0.2) \cdot \left[\frac{958.559}{\left(\frac{0.914 \cdot 2110}{1.00} \right)} \right] \right] = 0.225$$



$$C_{my} \left[1 + 0.8 \cdot \frac{N_{Ed}}{\left(\frac{\chi_y \cdot N_{Rk}}{\gamma_{M1}} \right)} \right] = 0.208 \left[1 + 0.8 \cdot \left[\frac{958.559}{\left(\frac{0.914 \cdot 2110}{1.00} \right)} \right] \right] = 0.291$$

$$0.225 \leq 0.291$$

$$k_{yy} = 0.225$$

k_{zz}

$$C_{mz} \left[1 + (\lambda_z - 0.2) \cdot \frac{N_{Ed}}{\left(\frac{\chi_z \cdot N_{Rk}}{\gamma_{M1}} \right)} \right] \leq C_{mz} \left[1 + 0.8 \cdot \frac{N_{Ed}}{\left(\frac{\chi_z \cdot N_{Rk}}{\gamma_{M1}} \right)} \right]$$

$$C_{mz} \left[1 + (\lambda_z - 0.2) \cdot \frac{N_{Ed}}{\left(\frac{\chi_z \cdot N_{Rk}}{\gamma_{M1}} \right)} \right] = 0.204 \left[1 + (0.366 - 0.2) \cdot \left[\frac{958.559}{\left(\frac{0.914 \cdot 2110}{1.00} \right)} \right] \right] = 0.221$$

$$C_{mz} \left[1 + 0.8 \cdot \frac{N_{Ed}}{\left(\frac{\chi_z \cdot N_{Rk}}{\gamma_{M1}} \right)} \right] = 0.204 \left[1 + 0.8 \cdot \left[\frac{958.559}{\left(\frac{0.914 \cdot 2110}{1.00} \right)} \right] \right] = 0.285$$

$$0.221 \leq 0.285$$

$$k_{zz} = 0.221$$

k_{yz}

$$k_{yz} = 0.6 \cdot k_{zz}$$

$$k_{yz} = 0.133$$

k_{zy}

$$k_{zy} = 0.6 \cdot k_{yy}$$

$$k_{zy} = 0.135$$

Posouzení:

$$M_{y,Rd} = \frac{W_{pl,y} f_y}{\gamma M_0} = \frac{4.4763 \cdot 10^{-4} (355 \cdot 10^3)}{1.00}$$

$$M_{y,Rd} = 158.909 \text{ kNm}$$

$$M_{z,Rd} = \frac{W_{pl,z} f_y}{\gamma M_0} = \frac{4.4763 \cdot 10^{-4} (355 \cdot 10^3)}{1.00}$$

$$M_{z,Rd} = 158.909 \text{ kNm}$$

$$\left(\frac{N_{Ed}}{\chi_y \cdot N_{Rk}} \right) + k_{yy} \cdot \frac{M_{y,Ed}}{M_{y,Rd}} + k_{yz} \cdot \frac{M_{z,Ed}}{M_{z,Rd}} \leq 1.00$$

$$\left(\frac{N_{Ed}}{\chi_y \cdot N_{Rk}} \right) + k_{yy} \cdot \frac{M_{y,Ed}}{M_{y,Rd}} + k_{yz} \cdot \frac{M_{z,Ed}}{M_{z,Rd}} = \left(\frac{958.559}{0.914 \cdot 2110} \right) + 0.225 \left(\frac{6.675}{158.909} \right) + 0.133 \left(\frac{7.46}{158.909} \right) = 0.513$$

$$0.513 \leq 1.00$$

Vyhovuje

$$\left(\frac{N_{Ed}}{\chi_z \cdot N_{Rk}} \right) + k_{zy} \cdot \frac{M_{y,Ed}}{M_{y,Rd}} + k_{zz} \cdot \frac{M_{z,Ed}}{M_{z,Rd}} \leq 1.00$$

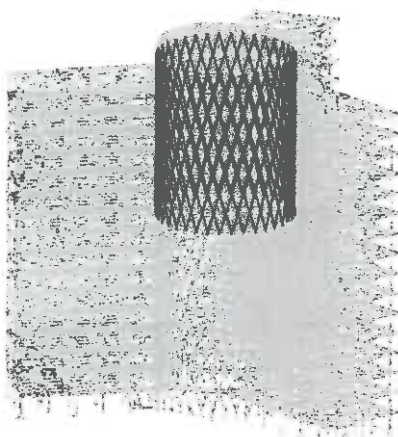
$$\left(\frac{N_{Ed}}{\chi_z \cdot N_{Rk}} \right) + k_{zy} \cdot \frac{M_{y,Ed}}{M_{y,Rd}} + k_{zz} \cdot \frac{M_{z,Ed}}{M_{z,Rd}} = \left(\frac{958.559}{0.914 \cdot 2110} \right) + 0.135 \left(\frac{6.675}{158.909} \right) + 0.221 \left(\frac{7.46}{158.909} \right) = 0.513$$

$$0.513 \leq 1.00$$

Vyhovuje

5.5.4 POSOUZENÍ - Ohyb a osový tlak - patra 10-16

Výpočet dle ČSN EN 1993-1-1 článku 6.3.3 metody 2



$$A = 0.004496 \text{ m}^2$$

$$f_y = 355 \cdot 10^3 \text{ kPa}$$

$$f_{yd} = 355 \cdot 10^3 \text{ kPa}$$

$$I_y = 3.199 \cdot 10^{-5} \text{ m}^4$$

$$E = 210 \cdot 10^6 \text{ kPa}$$

$$I_z = 3.199 \cdot 10^{-5} \text{ m}^4$$

$$G = 81 \cdot 10^6 \text{ kPa}$$

$$W_{pl,y} = 3.4137 \cdot 10^{-4} \text{ m}^3$$

$$W_{pl,z} = 3.4137 \cdot 10^{-4} \text{ m}^3$$

$$\varepsilon = 0.66$$

$$d = 244.5 \text{ mm}$$

$$t = 6 \text{ mm}$$

Posuzovaný prut č. 5594

$$L_{cry} = L \cdot 0.5$$

$$\frac{d}{t} \leq 70 \cdot \varepsilon^2 \quad \frac{244.5}{8} \leq 46.2$$

$$L_{cry} = 4.686 \cdot 0.5 = 2.343 \text{ m}$$

$$N_{Ed} = 555.801 \text{ kN (tlak)}$$

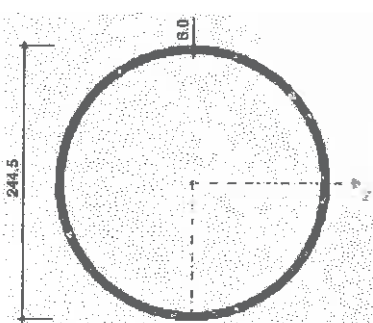
$$L_{crz} = 2.343 \text{ m}$$

$$M_{y,Ed} = 6.362 \text{ kNm}$$

$$L_{crz} = 2.343 \text{ m}$$

$$M_{z,Ed} = 7.442 \text{ kNm}$$

Průřez třídy 2



$$N_{cr,y} = \frac{\pi^2 \cdot E \cdot I_y}{L_{cr,y}^2} = \frac{\pi^2 \cdot (210 \cdot 10^6) \cdot (3.199 \cdot 10^{-5})}{2.343^2}$$

$$N_{cr,y} = 1.208 \times 10^4 \text{ kN}$$

$$N_{cr,z} = \frac{\pi^2 \cdot E \cdot I_z}{L_{cr,z}^2} = \frac{\pi^2 \cdot (210 \cdot 10^6) \cdot (3.199 \cdot 10^{-5})}{2.343^2}$$

$$N_{cr,z} = 1.208 \times 10^4 \text{ kN}$$

$$\lambda_y = \sqrt{\frac{A \cdot f_y}{N_{cr,y}}} = \sqrt{\frac{0.004496 \cdot (355 \cdot 10^3)}{12080}}$$

$$\lambda_z = \sqrt{\frac{A \cdot f_y}{N_{cr,z}}} = \sqrt{\frac{0.004496 \cdot (355 \cdot 10^3)}{12080}}$$

Vzpěrná křivka c

$$\lambda_y = 0.363$$

$$\lambda_z = 0.363$$

$$\alpha = 0.49$$

$$\phi_y = 0.5 \left[1 + \alpha \cdot (\lambda_y - 0.2) + \lambda_y^2 \right] = 0.5 \left[1 + 0.49 \cdot (0.363 - 0.2) + 0.363^2 \right]$$

$$\phi_y = 0.606$$

$$\phi_z = 0.5 \left[1 + \alpha \cdot (\lambda_z - 0.2) + \lambda_z^2 \right] = 0.5 \left[1 + 0.49 \cdot (0.363 - 0.2) + 0.363^2 \right]$$

$$\phi_z = 0.606$$

$$\chi_y = \frac{1}{\phi_y + \sqrt{(\phi_y^2 - \lambda_y^2)}}$$

$$\chi_z = \frac{1}{\phi_z + \sqrt{(\phi_z^2 - \lambda_z^2)}}$$

$$\chi_y = 0.916$$

$$\chi_z = 0.916$$

$$N_{Rk} = A \cdot f_y = 0.004496 \cdot (355 \cdot 10^3)$$

$$N_{Rk} = 1.596 \times 10^3 \text{ kN}$$

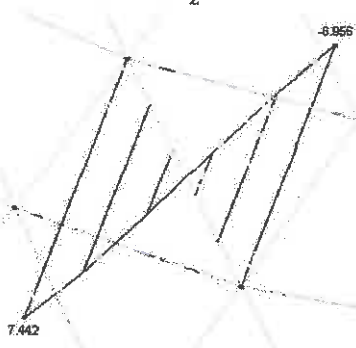
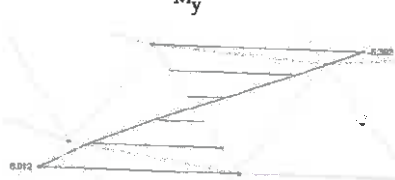
interakční součinitele:

$$C_{my} = 0.224 \quad 0.6 + 0.4 \cdot \psi \quad \psi = -0.94$$

$$C_{mz} = 0.228 \quad 0.6 + 0.4 \cdot \psi \quad \psi = -0.93$$

$$k_{yy}$$

$$C_{my} \left[1 + (\lambda_y - 0.2) \cdot \frac{N_{Ed}}{\left(\frac{\chi_y \cdot N_{Rk}}{\gamma_{M1}} \right)} \right] \leq C_{my} \left[1 + 0.8 \cdot \frac{N_{Ed}}{\left(\frac{\chi_y \cdot N_{Rk}}{\gamma_{M1}} \right)} \right]$$



$$C_{my} \left[1 + (\lambda_y - 0.2) \cdot \frac{N_{Ed}}{\left(\frac{\chi_y \cdot N_{Rk}}{\gamma_{M1}} \right)} \right] = 0.224 \left[1 + (0.363 - 0.2) \cdot \left[\frac{555.801}{\left(\frac{0.916 \cdot 1596}{1.00} \right)} \right] \right] = 0.238$$

$$C_{my} \left[1 + 0.8 \cdot \frac{N_{Ed}}{\left(\frac{\chi_y \cdot N_{Rk}}{\gamma_{M1}} \right)} \right] = 0.224 \left[1 + 0.8 \cdot \left[\frac{555.801}{\left(\frac{0.916 \cdot 1596}{1.00} \right)} \right] \right] = 0.292$$

$$0.238 \leq 0.292$$

$$k_{yy} = 0.238$$

k_{zz}

$$C_{mz} \left[1 + (\lambda_z - 0.2) \cdot \frac{N_{Ed}}{\left(\frac{x_z \cdot N_{Rk}}{\gamma_{M1}} \right)} \right] \leq C_{mz} \left[1 + 0.8 \cdot \frac{N_{Ed}}{\left(\frac{x_z \cdot N_{Rk}}{\gamma_{M1}} \right)} \right]$$

$$C_{mz} \left[1 + (\lambda_z - 0.2) \cdot \frac{N_{Ed}}{\left(\frac{x_z \cdot N_{Rk}}{\gamma_{M1}} \right)} \right] = 0.228 \left[1 + (0.363 - 0.2) \cdot \left[\frac{555.801}{\left(\frac{0.916-1596}{1.00} \right)} \right] \right] = 0.242$$

$$C_{mz} \left[1 + 0.8 \cdot \frac{N_{Ed}}{\left(\frac{x_z \cdot N_{Rk}}{\gamma_{M1}} \right)} \right] = 0.228 \left[1 + 0.8 \cdot \left[\frac{555.801}{\left(\frac{0.916-1596}{1.00} \right)} \right] \right] = 0.297$$

$$0.242 \leq 0.297$$

$$k_{zz} = 0.242$$

k_{yz}

$$k_{yz} = 0.6 \cdot k_{zz}$$

$$k_{yz} = 0.145$$

k_{zy}

$$k_{zy} = 0.6 \cdot k_{yy}$$

$$k_{zy} = 0.143$$

Posouzení:

$$M_{y,Rd} = \frac{W_{pl,y} f_{yd}}{\gamma_{M0}} = \frac{3.4137 \cdot 10^{-4} \cdot (355 \cdot 10^3)}{1.00}$$

$$M_{y,Rd} = 121.186 \text{ kNm}$$

$$M_{z,Rd} = \frac{W_{pl,z} f_{yd}}{\gamma_{M0}} = \frac{3.4137 \cdot 10^{-4} \cdot (355 \cdot 10^3)}{1.00}$$

$$M_{z,Rd} = 121.186 \text{ kNm}$$

$$\left(\frac{N_{Ed}}{\frac{x_y \cdot N_{Rk}}{\gamma_{M1}}} \right) + k_{yy} \cdot \frac{M_{y,Ed}}{M_{y,Rd}} + k_{yz} \cdot \frac{M_{z,Ed}}{M_{z,Rd}} \leq 1.00$$

$$\left(\frac{N_{Ed}}{\frac{x_y \cdot N_{Rk}}{\gamma_{M1}}} \right) + k_{yy} \cdot \frac{M_{y,Ed}}{M_{y,Rd}} + k_{yz} \cdot \frac{M_{z,Ed}}{M_{z,Rd}} = \left(\frac{555.801}{\frac{0.916-1596}{1.00}} \right) + 0.238 \cdot \left(\frac{6.362}{121.186} \right) + 0.145 \cdot \left(\frac{7.442}{121.186} \right) = 0.402$$

$$0.402 \leq 1.00$$

Vyhovuje

$$\left(\frac{N_{Ed}}{\frac{x_z \cdot N_{Rk}}{\gamma_{M1}}} \right) + k_{zy} \cdot \frac{M_{y,Ed}}{M_{y,Rd}} + k_{zz} \cdot \frac{M_{z,Ed}}{M_{z,Rd}} \leq 1.00$$

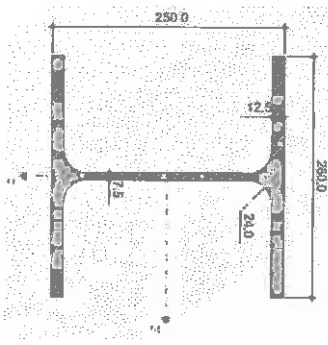
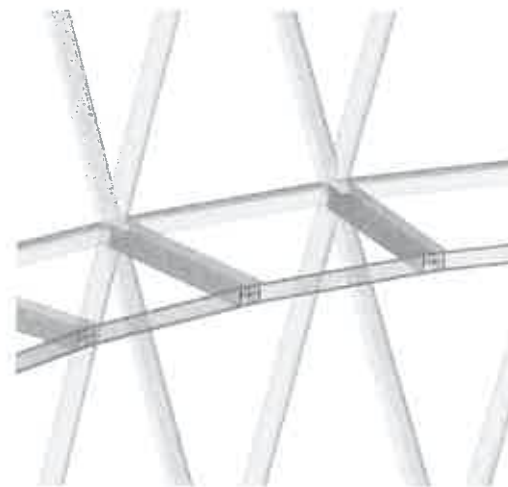
$$\left(\frac{N_{Ed}}{\frac{x_z \cdot N_{Rk}}{\gamma_{M1}}} \right) + k_{zy} \cdot \frac{M_{y,Ed}}{M_{y,Rd}} + k_{zz} \cdot \frac{M_{z,Ed}}{M_{z,Rd}} = \left(\frac{555.801}{\frac{0.916-1596}{1.00}} \right) + 0.143 \cdot \left(\frac{6.362}{121.186} \right) + 0.242 \cdot \left(\frac{7.442}{121.186} \right) = 0.403$$

$$0.403 \leq 1.00$$

Vyhovuje

5.6 KONZOLA

POSOUZENÍ NEJVÍCENAMÁHANÉHO PRUTU



OCELOVÝ PROFIL

Třída průřezu:

HEA 260

1

Délka:

$l = 2500 \text{ mm}$

Výška průřezu:

$h_a = 260 \text{ mm}$

Šířka průřezu:

$b = 250 \text{ mm}$

Tloušťka stojny:

$t_w = 7,5 \text{ mm}$

Tloušťka pásnice:

$t_f = 12,5 \text{ mm}$

Poloměr zaoblení:

$r = 25 \text{ mm}$

Plocha průřezu:

$A_a = 8682 \text{ mm}^2$

Poloměr setrvačnosti:

$i_y = 109,7 \text{ mm}$

Moment setrvačnosti:

$i_z = 65 \text{ mm}$

Plastický průrezový modul:

$I_y = 104\,500\,000 \text{ mm}^4$

Hmotnost profilu:

$I_z = 36\,880\,000 \text{ mm}^4$

Plastický průrezový modul:

$W_{pl,y} = 919\,800 \text{ mm}^3$

Hmotnost profilu:

$W_{pl,z} = 430\,200 \text{ mm}^3$

Materiál

$m = 68,2 \text{ kg m}^{-1}$

Ocel:

S 235

Mez kluzu:

$f_y = 235 \text{ MPa}$

Návrhová mez kluzu:

$f_{yd} = 235 \text{ MPa} (\gamma_{M0} = 1,0)$

Modul pružnosti:

$E_a = 210 \text{ GPa}$

$$\frac{c_f}{t_f} \leq 9 \cdot \epsilon \quad \frac{102,3}{12,5} \leq 9 \\ 8,18 < 9$$

$$\frac{c_w}{t_w} \leq 72 \cdot \epsilon \quad \frac{177}{7,5} \leq 72 \\ 23,6 < 72$$

Průřez třídy I

5.6.1 ZATÍŽENÍ A VNITŘNÍ SÍLY

KZ 13

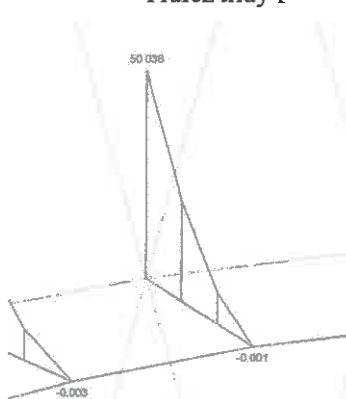
$\Sigma 1,35 \cdot G + 1,5 \cdot (\text{užitné poch. plochy atria}) + 1,5 \cdot 0,6 \cdot (\text{vitr B})$

Vnitřní síly dle programu RFEM

Prut č. 9777

$$M_{y,Ed} = 18,268 \text{ kNm}$$

$$M_{z,Ed} = 50,038 \text{ kNm}$$



5.6.2 POSOUZENÍ - Ohyb a osový tlak

$$A = 0.008682 \text{ m}^2$$

$$f_y = 235 \cdot 10^3 \text{ kPa}$$

$$I_y = 1.045 \cdot 10^{-4} \text{ m}^4$$

$$f_{yd} = 235 \cdot 10^3 \text{ kPa}$$

$$I_z = 3.688 \cdot 10^{-5} \text{ m}^4$$

$$E = 210 \cdot 10^6 \text{ kPa}$$

$$W_{pl,y} = 9.198 \cdot 10^{-4} \text{ m}^3$$

$$G = 81 \cdot 10^6 \text{ kPa}$$

$$W_{pl,z} = 4.302 \cdot 10^{-4} \text{ m}^3$$

Nosník je ohýban na měkkou osu \Rightarrow nedochází ke klopení

$$M_{b,Rd} = \frac{W_{pl,z} \cdot f_y}{\gamma_{M0}}$$

$$M_{b,Rd} = 101.097$$

$$\frac{M_{Ed}}{M_{b,Rd}} \leq 1.00$$

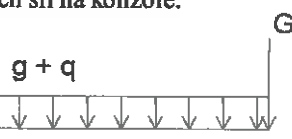
$$\frac{50.038}{101.097} = 0.495$$

$$0.49 < 1.00$$

Vyhovuje

Kontrola vnitřních sil na konzole:

$$g_{d,kce} = 3.24 \text{ kNm}^{-1}$$



$$g_{d,kon} = 0.763 \text{ kNm}^{-1}$$

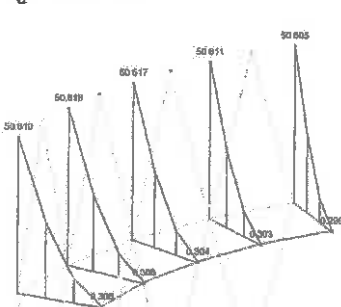
$$G_{d,zab} = 3.439 \text{ kN}$$

$$q_d = 8.954 \text{ kNm}^{-1}$$

$$M = g_{d,kon} \cdot \frac{L^2}{2} + q_d \cdot \frac{L^2}{2} + G_{d,zab} \cdot L + g_{d,kce} \cdot \frac{L^2}{2} = 0.763 \cdot \left(\frac{2.5^2}{2} \right) + 8.954 \cdot \left(\frac{2.5^2}{2} \right) + 3.439 \cdot 2.5 + 3.24 \cdot \left(\frac{2.5^2}{2} \right)$$

$$M = 49.088 \text{ kNm}$$

dle RFEM $M = 50.617 \text{ kNm}$



Poznámka: konzoly jsou umístěny symetricky a ve výsledcích jsou vnitřní síly téměř identické \Rightarrow průřez na všech konzolách bude stejný



5.6.3 POSOUZENÍ - Průhyb

$$u = 21.5 - 8.8 = 12.7$$

$$u_{lim} = \frac{2 \cdot L}{400} = \frac{2 \cdot 2.5}{400}$$

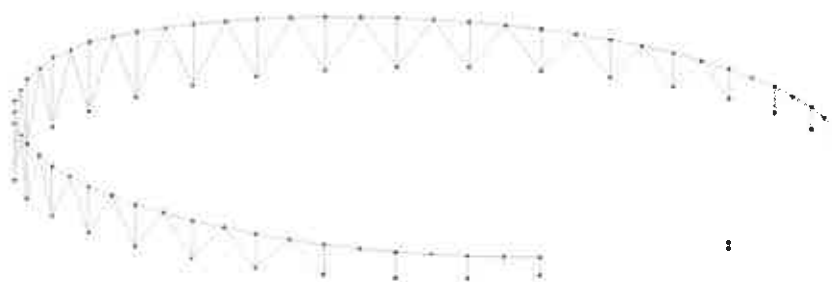
$$u_{lim} = 0.013 \text{ m}$$

$$12.7 < 13 \text{ mm}$$

Vyhovuje

5.7 PRSTENEC

POSOUZENÍ NEJVÍCENAMÁHANÉHO PRUTU

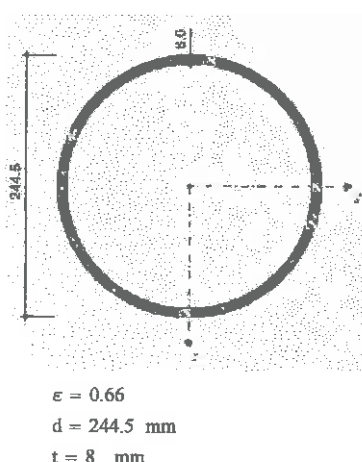


5.7.1 ZATÍŽENÍ A VNITŘNÍ SÍLY

KZ 6

$$\Sigma 1,35*G + 1,5*(vitr\ b) + 1,5*0,7*(plné)$$

Vnitřní síly dle programu RFEM



5.7.2 POSOUZENÍ - Ohyb a osový tlak

Výpočet dle ČSN EN 1993-1-1 článku 6.3.3 metody 2

$$A = 0.005944 \text{ m}^2$$

$$f_y = 355 \cdot 10^3 \text{ kPa}$$

$$I_y = 4.160 \cdot 10^{-5} \text{ m}^4$$

$$f_{yd} = 355 \cdot 10^3 \text{ kPa}$$

$$I_z = 4.160 \cdot 10^{-5} \text{ m}^4$$

$$E = 210 \cdot 10^6 \text{ kPa}$$

$$W_{pl,y} = 4.4763 \cdot 10^{-4} \text{ m}^3$$

$$G = 81 \cdot 10^6 \text{ kPa}$$

$$W_{pl,z} = 4.4763 \cdot 10^{-4} \text{ m}^3$$

$$\frac{d}{t} \leq 50 \cdot \frac{\epsilon}{t} \quad \frac{244.5}{8} \leq 33$$

Posuzovaný prut č. 11467

$$L_{crz} = L \cdot 0.5$$

$$N_{Ed} = 211.172 \text{ kN (tlak)}$$

$$L_{crz} = 2.615 \cdot 0.5 = 1.308$$

$$M_{y,Ed} = 2.7 \text{ kNm}$$

$$30.6 < 33$$

$$L_{cry} = 0.654 \text{ m}$$

$$M_{z,Ed} = 20.46 \text{ kNm}$$

Průřez třídy 1

$$N_{cr,y} = \frac{\pi^2 \cdot E \cdot I_y}{L_{cry}^2} = \frac{\pi^2 \cdot (210 \cdot 10^6) \cdot (4.160 \cdot 10^{-5})}{0.654^2}$$

$$N_{cr,y} = 2.016 \times 10^5 \text{ kN}$$

$$N_{cr,z} = \frac{\pi^2 \cdot E \cdot I_z}{L_{crz}^2} = \frac{\pi^2 \cdot (210 \cdot 10^6) \cdot (4.160 \cdot 10^{-5})}{1.308^2}$$

$$N_{cr,z} = 5.04 \times 10^4 \text{ kN}$$

$$\lambda_y = \sqrt{\frac{A \cdot f_y}{N_{cr,y}}} = \sqrt{\frac{0.005944 \cdot (355 \cdot 10^3)}{201600}}$$

$$\lambda_z = \sqrt{\frac{A \cdot f_y}{N_{cr,z}}} = \sqrt{\frac{0.005944 \cdot (355 \cdot 10^3)}{50400}}$$

$$\lambda_y = 0.102$$

$$\lambda_z = 0.205$$

$$\alpha = 0.49$$

$$\phi_y = 0.5 \cdot [1 + \alpha \cdot (\lambda_y - 0.2) + \lambda_y^2] = 0.5 \cdot [1 + 0.49 \cdot (0.102 - 0.2) + 0.102^2]$$

$$\phi_y = 0.481$$

$$\phi_z = 0.5 \cdot [1 + \alpha \cdot (\lambda_z - 0.2) + \lambda_z^2] = 0.5 \cdot [1 + 0.49 \cdot (0.205 - 0.2) + 0.205^2]$$

$$\phi_z = 0.522$$

$$\chi_y = \frac{1}{\phi_y + \sqrt{(\phi_y^2 - \lambda_y^2)}}$$

$$\chi_z = \frac{1}{\phi_z + \sqrt{(\phi_z^2 - \lambda_z^2)}}$$

$$\chi_y = 1.051$$

$$\chi_z = 0.998$$

$$N_{Rk} = A \cdot f_y = 0.005944 \cdot (355 \cdot 10^3)$$

$$N_{Rk} = 2.11 \times 10^3 \text{ kN}$$

interakční součinitele:

$$C_{my} = 0.604$$

$$0.1 - 0.8 \cdot \alpha_s = 0.604$$

$$\alpha_s = -0.63$$

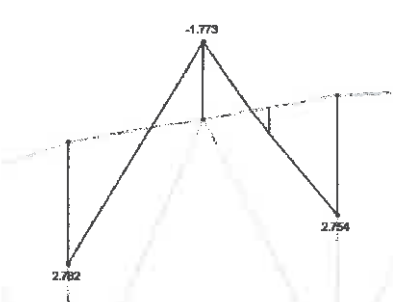
$$C_{mz} = 0.928$$

$$0.2 + 0.8 \cdot \alpha_s = 0.928$$

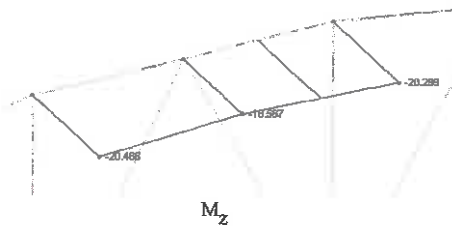
$$\alpha_s = 0.91$$

$$k_{yy}$$

$$C_{my} \left[1 + (\lambda_y - 0.2) \cdot \frac{N_{Ed}}{\left(\frac{X_y \cdot N_{Rk}}{\gamma_{M1}} \right)} \right] \leq C_{my} \left[1 + 0.8 \cdot \frac{N_{Ed}}{\left(\frac{X_y \cdot N_{Rk}}{\gamma_{M1}} \right)} \right]$$



$$C_{my} \left[1 + (\lambda_y - 0.2) \cdot \frac{N_{Ed}}{\left(\frac{X_y \cdot N_{Rk}}{\gamma_{M1}} \right)} \right] = 0.604 \left[1 + (0.102 - 0.2) \cdot \left[\frac{211.172}{\left(\frac{1.00 \cdot 2110}{1.00} \right)} \right] \right] = 0.598$$



$$C_{my} \left[1 + 0.8 \cdot \frac{N_{Ed}}{\left(\frac{X_y \cdot N_{Rk}}{\gamma_{M1}} \right)} \right] \text{ explicit, ALL } \rightarrow 0.604 \left[1 + 0.8 \cdot \left[\frac{211.172}{\left(\frac{1.00 \cdot 2110}{1.00} \right)} \right] \right] = 0.652$$

$$0.598 \leq 0.652$$

$$k_{yy} = 0.598$$

k_{zz}

$$C_{mz} \left[1 + (\lambda_z - 0.2) \cdot \frac{N_{Ed}}{\left(\frac{\chi_z \cdot N_{Rk}}{\gamma_{M1}} \right)} \right] \leq C_{mz} \left[1 + 0.8 \cdot \frac{N_{Ed}}{\left(\frac{\chi_z \cdot N_{Rk}}{\gamma_{M1}} \right)} \right]$$

$$C_{mz} \left[1 + (\lambda_z - 0.2) \cdot \frac{N_{Ed}}{\left(\frac{\chi_z \cdot N_{Rk}}{\gamma_{M1}} \right)} \right] = 0.928 \left[1 + (0.205 - 0.2) \cdot \left[\frac{211.172}{\left(\frac{0.998 \cdot 2110}{1.00} \right)} \right] \right] = 0.928$$

$$C_{mz} \left[1 + 0.8 \cdot \frac{N_{Ed}}{\left(\frac{\chi_z \cdot N_{Rk}}{\gamma_{M1}} \right)} \right] = 0.928 \left[1 + 0.8 \cdot \left[\frac{211.172}{\left(\frac{0.998 \cdot 2110}{1.00} \right)} \right] \right] = 1.002$$

$$0.928 \leq 1.002$$

$$k_{zz} = 0.928$$

k_{yz}

$$k_{yz} = 0.6 \cdot k_{zz}$$

$$k_{yz} = 0.557$$

k_{zy}

$$k_{zy} = 0.6 \cdot k_{yy}$$

$$k_{zy} = 0.359$$

Posouzení:

$$M_{y,Rd} = \frac{W_{pl,y} f_{yd}}{\gamma_{M0}} = \frac{4.4763 \cdot 10^{-4} \cdot (355 \cdot 10^3)}{1.00}$$

$$M_{y,Rd} = 158.909$$

$$M_{z,Rd} = \frac{W_{pl,z} f_{yd}}{\gamma_{M0}} = \frac{4.4763 \cdot 10^{-4} \cdot (355 \cdot 10^3)}{1.00}$$

$$M_{z,Rd} = 158.909$$

$$\frac{N_{Ed}}{\left(\frac{\chi_y \cdot N_{Rk}}{\gamma_{M1}} \right)} + k_{yy} \cdot \frac{M_{y,Ed}}{M_{y,Rd}} + k_{yz} \cdot \frac{M_{z,Ed}}{M_{z,Rd}} \leq 1.00$$

$$\frac{N_{Ed}}{\left(\frac{\chi_y \cdot N_{Rk}}{\gamma_{M1}} \right)} + k_{yy} \cdot \frac{M_{y,Ed}}{M_{y,Rd}} + k_{yz} \cdot \frac{M_{z,Ed}}{M_{z,Rd}} = \frac{211.172}{\left(\frac{1.00 \cdot 2110}{1.00} \right)} + 0.598 \left(\frac{2.7}{158.909} \right) + 0.557 \left(\frac{20.46}{158.909} \right) = 0.182$$

$$0.182 \leq 1.00$$

Vyhovuje

$$\frac{N_{Ed}}{\left(\frac{\chi_z \cdot N_{Rk}}{\gamma_{M1}} \right)} + k_{zy} \cdot \frac{M_{y,Ed}}{M_{y,Rd}} + k_{zz} \cdot \frac{M_{z,Ed}}{M_{z,Rd}} \leq 1.00$$

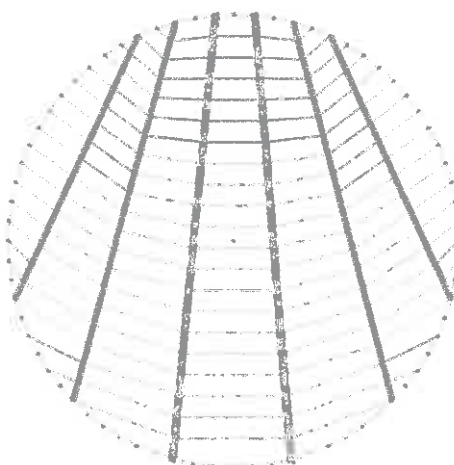
$$\frac{N_{Ed}}{\left(\frac{\chi_z \cdot N_{Rk}}{\gamma_{M1}} \right)} + k_{zy} \cdot \frac{M_{y,Ed}}{M_{y,Rd}} + k_{zz} \cdot \frac{M_{z,Ed}}{M_{z,Rd}} = \frac{211.172}{\left(\frac{0.998 \cdot 2110}{1.00} \right)} + 0.359 \left(\frac{2.7}{158.909} \right) + 0.928 \left(\frac{20.46}{158.909} \right) = 0.226$$

$$0.226 \leq 1.00$$

Vyhovuje

5.8 VAZNÍKY

VAZNÍK Č. 1

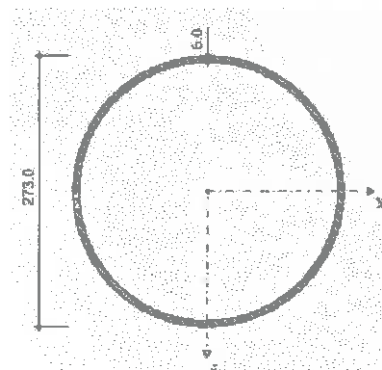
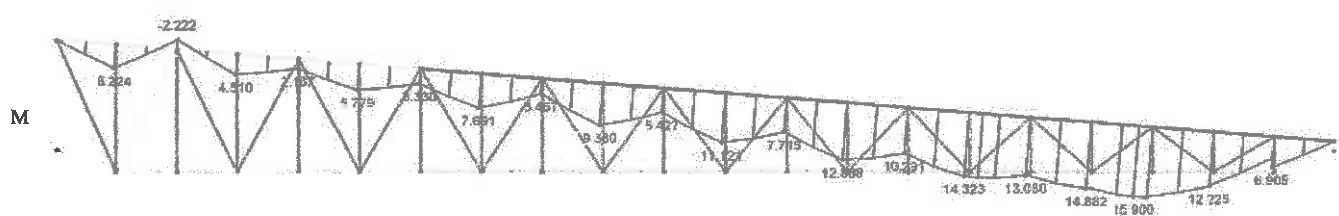
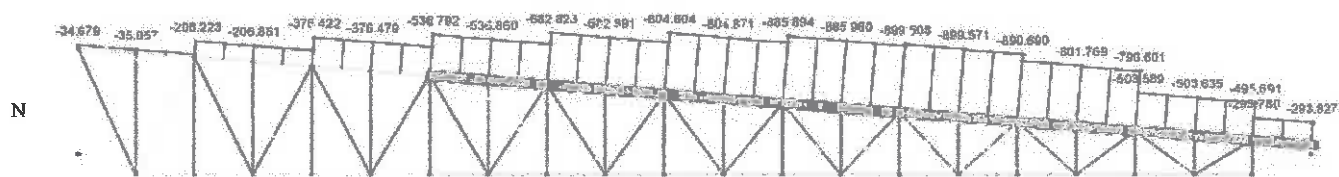


5.8.1 ZATÍŽENÍ A VNITŘNÍ SÍLY

KZ 7
 $\Sigma 1,35*G + 1,5*(\text{sníh})$

Vnitřní síly byly použity dle programu RFEM

5.8.2 POSOUZENÍ - Horní pás, část 1



$$N_{Ed} = 899.571 \text{ kN} \quad M_{y,Ed} = 14.325 \text{ kNm} \quad M_{z,Ed} = 0 \text{ kNm}$$

$$A = 0.00503 \text{ m}^2$$

$$f_y = 235 \cdot 10^3 \text{ kPa}$$

$$I_y = 4.487 \cdot 10^{-5} \text{ m}^4$$

$$f_{yd} = 235 \cdot 10^3 \text{ kPa}$$

$$I_z = 4.487 \cdot 10^{-5} \text{ m}^4$$

$$E = 210 \cdot 10^6 \text{ kPa}$$

$$W_{pl,y} = 4.28 \cdot 10^{-4} \text{ m}^3$$

$$L_{cry} = 1.411 \text{ m}$$

$$G = 81 \cdot 10^6 \text{ kPa}$$

$$W_{pl,z} = 4.28 \cdot 10^{-4} \text{ m}^3$$

$$L_{crz} = 1.411 \text{ m}$$

Výpočet dle ČSN EN 1993-1-1 článku 6.3.3 metody 2

$$N_{cr,y} = \frac{\pi^2 \cdot E \cdot I_y}{L_{cry}^2} = \frac{\pi^2 \cdot (210 \cdot 10^6) \cdot (4.487 \cdot 10^{-5})}{1.411^2}$$

$$N_{cr,y} = 4.671 \times 10^4 \text{ kN}$$

$$N_{cr,z} = \frac{\pi^2 \cdot E \cdot I_z}{L_{crz}^2} = \frac{\pi^2 \cdot (210 \cdot 10^6) \cdot (4.487 \cdot 10^{-5})}{1.411^2}$$

$$N_{cr,z} = 4.671 \times 10^4 \text{ kN}$$

$$\lambda_y = \sqrt{\frac{A \cdot f_y}{N_{cr,y}}} = \sqrt{\frac{0.00503 \cdot (235 \cdot 10^3)}{46710}}$$

$$\lambda_z = \sqrt{\frac{A \cdot f_y}{N_{cr,z}}} = \sqrt{\frac{0.00503 \cdot (235 \cdot 10^3)}{46710}}$$

$$\lambda_y = 0.159$$

$$\lambda_z = 0.159$$

$$\alpha = 0.49$$

$$\phi_y = 0.5 \left[1 + \alpha \cdot (\lambda_y - 0.2) + \lambda_y^2 \right] = 0.5 \left[1 + 0.49 \cdot (0.159 - 0.2) + 0.159^2 \right]$$

$$\phi_y = 0.503$$

$$\phi_z = 0.5 \left[1 + \alpha \cdot (\lambda_z - 0.2) + \lambda_z^2 \right] = 0.5 \left[1 + 0.49 \cdot (0.159 - 0.2) + 0.159^2 \right]$$

$$\phi_z = 0.503$$

$$\chi_y = \frac{1}{\phi_y + \sqrt{(\phi_y^2 - \lambda_y^2)}} = \frac{1}{(0.503 + \sqrt{0.503^2 - 0.159^2})}$$

$$\chi_z = \frac{1}{\phi_z + \sqrt{(\phi_z^2 - \lambda_z^2)}} = \frac{1}{(0.503 + \sqrt{0.503^2 - 0.159^2})}$$

$$\chi_y = 1.02$$

$$\chi_z = 1.02$$

$$\psi = 0.71$$

$$N_{Rk} = A \cdot f_y = 0.00503 \cdot (235 \cdot 10^3)$$

=> uvažuje se jako prostý tlak $\chi = 1$

$$C_{my} = 0.6 + 0.4 \cdot \psi = 0.6 + 0.4 \cdot 0.71$$

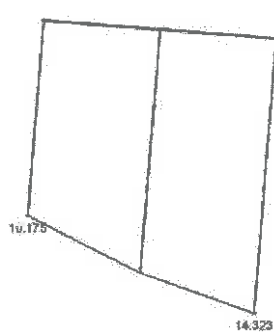
$$N_{Rk} = 1.182 \times 10^3 \text{ kN}$$

$$C_{my} = 0.884$$

interakční součinitele:

$$C_{my} = 0.884$$

$$C_{mz} = 0.884$$



$$k_{yy}$$

$$C_{my} \left[1 + (\lambda_y - 0.2) \cdot \frac{N_{Ed}}{\left(\frac{\chi_y \cdot N_{Rk}}{\gamma_{M1}} \right)} \right] \leq C_{my} \left[1 + 0.8 \cdot \frac{N_{Ed}}{\left(\frac{\chi_y \cdot N_{Rk}}{\gamma_{M1}} \right)} \right]$$

$$C_{my} \left[1 + (\lambda_y - 0.2) \cdot \frac{N_{Ed}}{\left(\frac{\chi_y \cdot N_{Rk}}{\gamma_{M1}} \right)} \right] = 0.884 \left[1 + (0.159 - 0.2) \cdot \left[\frac{899.571}{\left(\frac{1.00 \cdot 1182}{1.00} \right)} \right] \right] = 0.856$$

$$C_{my} \left[1 + 0.8 \cdot \frac{N_{Ed}}{\left(\frac{\chi_y \cdot N_{Rk}}{\gamma_{M1}} \right)} \right] = 0.884 \left[1 + 0.8 \cdot \left[\frac{899.571}{\left(\frac{1.00 \cdot 1182}{1.00} \right)} \right] \right] = 1.422$$

$$0.856 \leq 1.422$$

$$k_{yy} = 0.856$$



k_{zz}

$$C_{mz} \left[1 + (\lambda_z - 0.2) \cdot \frac{N_{Ed}}{\left(\frac{\chi_z N_{Rk}}{\gamma_{M1}} \right)} \right] \leq C_{mz} \left[1 + 0.8 \cdot \frac{N_{Ed}}{\left(\frac{\chi_z N_{Rk}}{\gamma_{M1}} \right)} \right]$$

$$C_{mz} \left[1 + (\lambda_z - 0.2) \cdot \frac{N_{Ed}}{\left(\frac{\chi_z N_{Rk}}{\gamma_{M1}} \right)} \right] = 0.884 \left[1 + (0.159 - 0.2) \cdot \left[\frac{899.571}{\left(\frac{1.00 \cdot 1182}{1.00} \right)} \right] \right] = 0.856$$

$$C_{mz} \left[1 + 0.8 \cdot \frac{N_{Ed}}{\left(\frac{\chi_z N_{Rk}}{\gamma_{M1}} \right)} \right] = 0.884 \left[1 + 0.8 \cdot \left[\frac{899.571}{\left(\frac{1.00 \cdot 1182}{1.00} \right)} \right] \right] = 1.422$$

$$0.856 \leq 1.422$$

$$k_{zz} = 0.856$$

k_{yz}

$$k_{yz} = 0.6 \cdot k_{zz}$$

$$k_{yz} = 0.514$$

k_{zy}

$$k_{zy} = 0.6 \cdot k_{yy}$$

$$k_{zy} = 0.514$$

Posouzení:

$$M_{y,Rd} = \frac{W_{pl,y} f_{yd}}{\gamma_{M0}} = \frac{4.28 \cdot 10^{-4} \cdot (235 \cdot 10^3)}{1.00}$$

$$M_{y,Rd} = 100.58 \text{ kNm}$$

$$M_{z,Rd} = \frac{W_{pl,z} f_{yd}}{\gamma_{M0}} = \frac{4.28 \cdot 10^{-4} \cdot (235 \cdot 10^3)}{1.00}$$

$$M_{z,Rd} = 100.58 \text{ kNm}$$

$$\left(\frac{N_{Ed}}{\frac{\chi_y N_{Rk}}{\gamma_{M1}}} \right) + k_{yy} \cdot \frac{M_{y,Ed}}{M_{y,Rd}} + k_{yz} \cdot \frac{M_{z,Ed}}{M_{z,Rd}} \leq 1.00$$

$$\left(\frac{N_{Ed}}{\frac{\chi_y N_{Rk}}{\gamma_{M1}}} \right) + k_{yy} \cdot \frac{M_{y,Ed}}{M_{y,Rd}} + k_{yz} \cdot \frac{M_{z,Ed}}{M_{z,Rd}} = \frac{899.571}{\left(\frac{1.00 \cdot 1182}{1.00} \right)} + 0.856 \left(\frac{14.325}{100.58} \right) + 0.514 \left(\frac{0}{100.58} \right) = 0.883$$

$$0.883 \leq 1.00$$

Vyhovuje

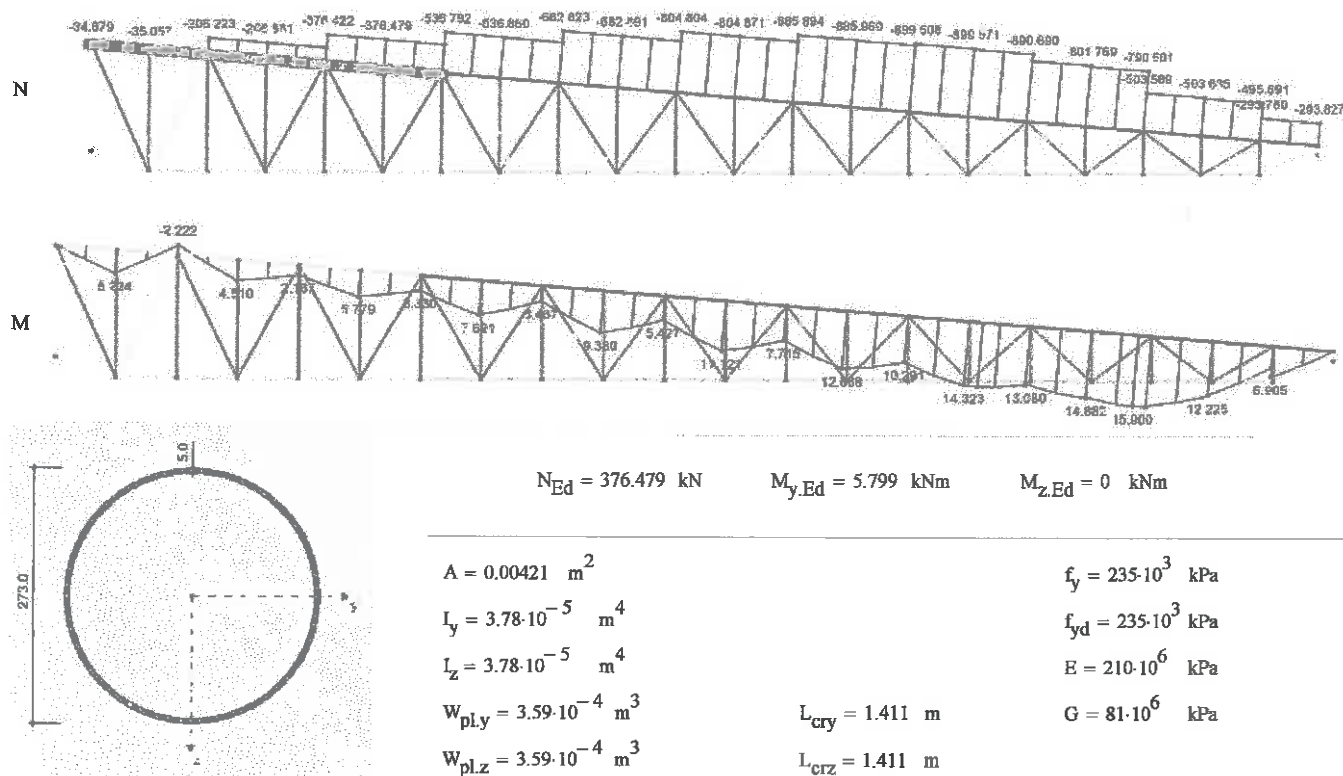
$$\left(\frac{N_{Ed}}{\frac{\chi_z N_{Rk}}{\gamma_{M1}}} \right) + k_{zy} \cdot \frac{M_{y,Ed}}{M_{y,Rd}} + k_{zz} \cdot \frac{M_{z,Ed}}{M_{z,Rd}} \leq 1.00$$

$$\left(\frac{N_{Ed}}{\frac{\chi_z N_{Rk}}{\gamma_{M1}}} \right) + k_{zy} \cdot \frac{M_{y,Ed}}{M_{y,Rd}} + k_{zz} \cdot \frac{M_{z,Ed}}{M_{z,Rd}} = \frac{899.571}{\left(\frac{1.00 \cdot 1182}{1.00} \right)} + 0.514 \left(\frac{14.325}{100.58} \right) + 0.856 \left(\frac{0}{100.58} \right) = 0.834$$

$$0.834 \leq 1.00$$

Vyhovuje

5.8.3 POSOUZENÍ - Horní pás, část 2



Výpočet dle ČSN EN 1993-1-1 článku 6.3.3 metody 2

$$N_{cr,y} = \frac{\pi^2 \cdot E \cdot I_y}{L_{cry}^2} = \frac{\pi^2 \cdot (210 \cdot 10^6) \cdot (3.78 \cdot 10^{-5})}{1.411^2}$$

$$N_{cr,y} = 3.935 \times 10^4 \text{ kN}$$

$$N_{cr,z} = \frac{\pi^2 \cdot E \cdot I_z}{L_{crz}^2} = \frac{\pi^2 \cdot (210 \cdot 10^6) \cdot (3.78 \cdot 10^{-5})}{1.411^2}$$

$$N_{cr,z} = 3.935 \times 10^4 \text{ kN}$$

$$\lambda_y = \sqrt{\frac{A \cdot f_y}{N_{cr,y}}} = \sqrt{\frac{0.00421 \cdot (235 \cdot 10^3)}{39350}}$$

$$\lambda_z = \sqrt{\frac{A \cdot f_y}{N_{cr,z}}} = \sqrt{\frac{0.00421 \cdot (235 \cdot 10^3)}{39350}}$$

$$\lambda_y = 0.159$$

$$\lambda_z = 0.159$$

$$\alpha = 0.49$$

$$\phi_y = 0.5 \left[1 + \alpha (\lambda_y - 0.2) + \lambda_y^2 \right] = 0.5 \left[1 + 0.49 \cdot (0.159 - 0.2) + 0.159^2 \right]$$

$$\phi_y = 0.503$$

$$\phi_z = 0.5 \left[1 + \alpha (\lambda_z - 0.2) + \lambda_z^2 \right] = 0.5 \left[1 + 0.49 \cdot (0.159 - 0.2) + 0.159^2 \right]$$

$$\phi_z = 0.503$$

$$\chi_y = \frac{1}{\phi_y + \sqrt{(\phi_y^2 - \lambda_y^2)}} = \frac{1}{(0.503 + \sqrt{0.503^2 - 0.159^2})}$$

$$\chi_y = 1.02$$

$$\chi_z = \frac{1}{\phi_z + \sqrt{(\phi_z^2 - \lambda_z^2)}} = \frac{1}{(0.503 + \sqrt{0.503^2 - 0.159^2})}$$

$$\chi_z = 1.02$$

$$\psi = 0.578$$

$$N_{Rk} = A \cdot f_y = 0.00421 \cdot (235 \cdot 10^3)$$

\Rightarrow uvažuje se jako prostý tlak $\chi = 1$

$$C_{my} = 0.6 + 0.4 \cdot \psi = 0.6 + 0.4 \cdot 0.578$$

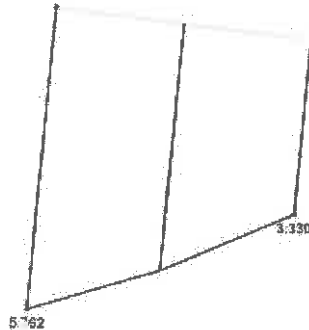
$$N_{Rk} = 989.35 \text{ kN}$$

$$C_{my} = 0.831$$

interakční součinitele:

$$C_{my} = 0.831$$

$$C_{mz} = 0.831$$



$$k_{yy}$$

$$C_{my} \left[1 + (\lambda_y - 0.2) \cdot \frac{N_{Ed}}{\left(\frac{x_y \cdot N_{Rk}}{\gamma_{M1}} \right)} \right] \leq C_{my} \left[1 + 0.8 \cdot \frac{N_{Ed}}{\left(\frac{x_y \cdot N_{Rk}}{\gamma_{M1}} \right)} \right]$$

$$C_{my} \left[1 + (\lambda_y - 0.2) \cdot \frac{N_{Ed}}{\left(\frac{x_y \cdot N_{Rk}}{\gamma_{M1}} \right)} \right] = 0.831 \left[1 + (0.159 - 0.2) \cdot \left[\frac{376.479}{\left(\frac{1.00 \cdot 989.35}{1.00} \right)} \right] \right] = 0.818$$

$$C_{my} \left[1 + 0.8 \cdot \frac{N_{Ed}}{\left(\frac{x_y \cdot N_{Rk}}{\gamma_{M1}} \right)} \right] = 0.831 \left[1 + 0.8 \cdot \left[\frac{376.479}{\left(\frac{1.00 \cdot 989.35}{1.00} \right)} \right] \right] = 1.084$$

$$0.818 \leq 1.084$$

$$k_{yy} = 0.818$$

$$k_{zz}$$

$$C_{mz} \left[1 + (\lambda_z - 0.2) \cdot \frac{N_{Ed}}{\left(\frac{x_z \cdot N_{Rk}}{\gamma_{M1}} \right)} \right] \leq C_{mz} \left[1 + 0.8 \cdot \frac{N_{Ed}}{\left(\frac{x_z \cdot N_{Rk}}{\gamma_{M1}} \right)} \right]$$

$$C_{mz} \left[1 + (\lambda_z - 0.2) \cdot \frac{N_{Ed}}{\left(\frac{x_z \cdot N_{Rk}}{\gamma_{M1}} \right)} \right] = 0.831 \left[1 + (0.159 - 0.2) \cdot \left[\frac{376.479}{\left(\frac{1.00 \cdot 989.35}{1.00} \right)} \right] \right] = 0.818$$

$$C_{mz} \left[1 + 0.8 \cdot \frac{N_{Ed}}{\left(\frac{x_z \cdot N_{Rk}}{\gamma_{M1}} \right)} \right] = 0.831 \left[1 + 0.8 \cdot \left[\frac{376.479}{\left(\frac{1.00 \cdot 989.35}{1.00} \right)} \right] \right] = 1.084$$

$$0.818 \leq 1.084$$

$$k_{zz} = 0.818$$

$$k_{yz}$$

$$k_{yz} = 0.6 \cdot k_{zz}$$

$$k_{yz} = 0.491$$

$$k_{zy}$$

$$k_{zy} = 0.6 \cdot k_{yy}$$

$$k_{zy} = 0.491$$

Posouzení:

$$M_{y,Rd} = \frac{W_{pl,y} \cdot f_y}{\gamma_{M0}} = \frac{3.59 \cdot 10^{-4} \cdot (235 \cdot 10^3)}{1.00}$$

$$M_{y,Rd} = 84.365 \text{ kNm}$$

$$M_{z,Rd} = \frac{W_{pl,z} \cdot f_y}{\gamma_{M0}} = \frac{3.59 \cdot 10^{-4} \cdot (235 \cdot 10^3)}{1.00}$$

$$M_{z,Rd} = 84.365 \text{ kNm}$$

$$\left(\frac{N_{Ed}}{\chi_y N_{Rk}} \right) + k_{yy} \cdot \frac{M_{y,Ed}}{M_{y,Rd}} + k_{yz} \cdot \frac{M_{z,Ed}}{M_{z,Rd}} \leq 1.00$$

$$\left(\frac{N_{Ed}}{\chi_y N_{Rk}} \right) + k_{yy} \cdot \frac{M_{y,Ed}}{M_{y,Rd}} + k_{yz} \cdot \frac{M_{z,Ed}}{M_{z,Rd}} = \left(\frac{376.479}{\frac{1.00 \cdot 989.35}{1.00}} \right) + 0.818 \cdot \left(\frac{5.799}{84.365} \right) + 0.491 \cdot \left(\frac{0}{84.365} \right) = 0.437$$

$0.437 \leq 1.00$

Vyhovuje

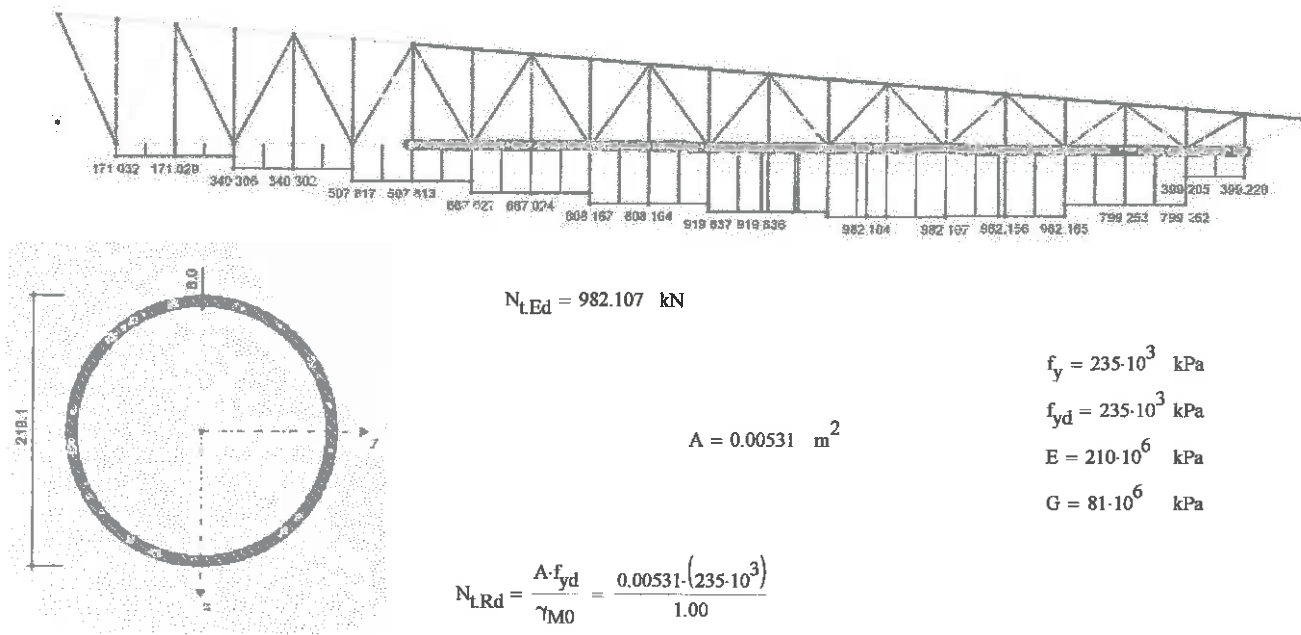
$$\left(\frac{N_{Ed}}{\chi_z N_{Rk}} \right) + k_{zy} \cdot \frac{M_{y,Ed}}{M_{y,Rd}} + k_{zz} \cdot \frac{M_{z,Ed}}{M_{z,Rd}} \leq 1.00$$

$$\left(\frac{N_{Ed}}{\chi_z N_{Rk}} \right) + k_{zy} \cdot \frac{M_{y,Ed}}{M_{y,Rd}} + k_{zz} \cdot \frac{M_{z,Ed}}{M_{z,Rd}} = \left(\frac{376.479}{\frac{1.00 \cdot 989.35}{1.00}} \right) + 0.491 \cdot \left(\frac{5.799}{84.365} \right) + 0.818 \cdot \left(\frac{0}{84.365} \right) = 0.414$$

$0.414 \leq 1.00$

Vyhovuje

5.8.4 POSOUZENÍ - Dolní pás, část 1



$$f_y = 235 \cdot 10^3 \text{ kPa}$$

$$f_{yd} = 235 \cdot 10^3 \text{ kPa}$$

$$E = 210 \cdot 10^6 \text{ kPa}$$

$$G = 81 \cdot 10^6 \text{ kPa}$$

$$N_{t,Rd} = \frac{A \cdot f_{yd}}{\gamma_{M0}} = \frac{0.00531 \cdot (235 \cdot 10^3)}{1.00}$$

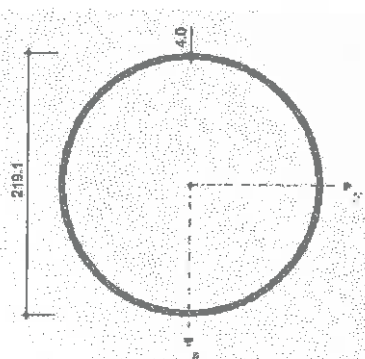
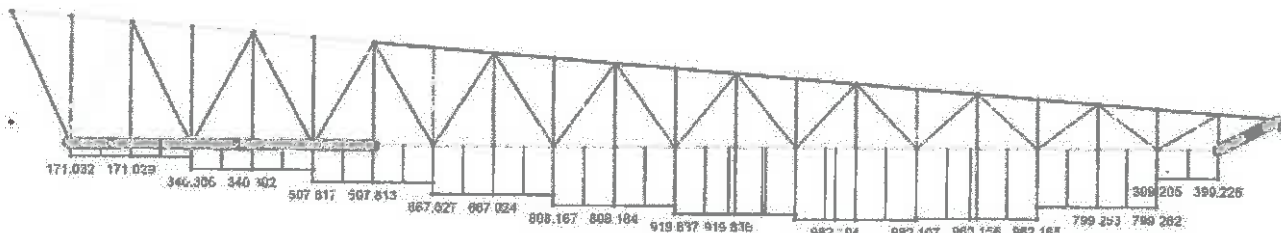
$$N_{t,Rd} = 1.248 \times 10^3 \text{ kN}$$

$$\frac{N_{t,Ed}}{N_{t,Rd}} \leq 1.0$$

$$\frac{982.107}{1248} = 0.787$$

$0.787 < 1.00$ **Vyhovuje**

5.8.5 POSOUZENÍ - Dolní pás, část 2



$$N_{t,Ed} = 507.813 \text{ kN}$$

$$A = 0.0027 \text{ m}^2$$

$$f_y = 235 \cdot 10^3 \text{ kPa}$$

$$f_{yd} = 235 \cdot 10^3 \text{ kPa}$$

$$E = 210 \cdot 10^6 \text{ kPa}$$

$$G = 81 \cdot 10^6 \text{ kPa}$$

$$\frac{N_{t,Rd}}{\gamma_{M0}} = \frac{0.0027 \cdot (235 \cdot 10^3)}{1.00}$$

$$N_{t,Rd} = 634.5 \text{ kN}$$

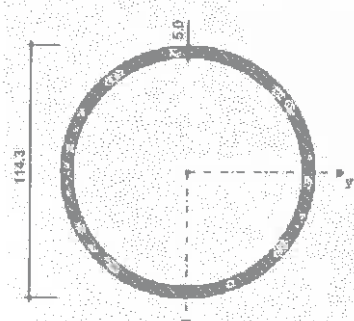
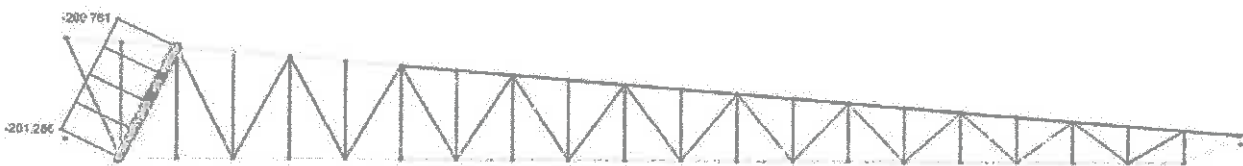
$$\frac{N_{t,Ed}}{N_{t,Rd}} \leq 1.0$$

$$\frac{507.813}{634.5} = 0.8$$

$$0.8 < 1.00$$

Vyhovuje

5.8.6 POSOUZENÍ - 1. tlačená diagonála



$$N_{Ed} = 201.286 \text{ kN}$$

$$A = 0.00172 \text{ m}^2$$

$$f_y = 235 \cdot 10^3 \text{ kPa}$$

$$I_y = 2.57 \cdot 10^{-6} \text{ m}^4$$

$$f_{yd} = 235 \cdot 10^3 \text{ kPa}$$

$$I_z = 2.57 \cdot 10^{-6} \text{ m}^4$$

$$E = 210 \cdot 10^6 \text{ kPa}$$

$$W_{pl,y} = 5.98 \cdot 10^{-5} \text{ m}^3$$

$$L_{cry} = 3.212 \text{ m}$$

$$G = 81 \cdot 10^6 \text{ kPa}$$

$$W_{pl,z} = 5.98 \cdot 10^{-5} \text{ m}^3$$

$$L_{crz} = 3.212 \text{ m}$$

$$N_{cr,y} = \frac{\pi^2 \cdot E \cdot I_y}{L_{cry}^2} = \frac{\pi^2 \cdot (210 \cdot 10^6) \cdot (2.57 \cdot 10^{-6})}{3.212^2}$$

$$N_{cr,y} = 516.299 \text{ kN}$$

$$N_{cr,z} = \frac{\pi^2 \cdot E \cdot I_z}{L_{crz}^2} = \frac{\pi^2 \cdot (210 \cdot 10^6) \cdot (2.57 \cdot 10^{-6})}{3.212^2}$$

$$N_{cr,z} = 516.299 \text{ kN}$$

$$\lambda_y = \sqrt{\frac{A \cdot f_y}{N_{cr,y}}} = \sqrt{\frac{0.00172 \cdot (235 \cdot 10^3)}{516.299}}$$

$$\lambda_z = \sqrt{\frac{A \cdot f_y}{N_{cr,z}}} = \sqrt{\frac{0.00172 \cdot (235 \cdot 10^3)}{516.299}}$$

$$\lambda_y = 0.885$$

$$\lambda_z = 0.885$$

$$\alpha = 0.49$$

$$\phi_y = 0.5 \cdot [1 + \alpha \cdot (\lambda_y - 0.2) + \lambda_y^2] = 0.5 \cdot [1 + 0.49 \cdot (0.885 - 0.2) + 0.885^2]$$

$$\phi_y = 1.059$$

$$\phi_z = 0.5 \cdot [1 + \alpha \cdot (\lambda_z - 0.2) + \lambda_z^2] = 0.5 \cdot [1 + 0.49 \cdot (0.885 - 0.2) + 0.885^2]$$

$$\phi_z = 1.059$$

$$\chi_y = \frac{1}{\phi_y + \sqrt{(\phi_y^2 - \lambda_y^2)}} = \frac{1}{(1.059 + \sqrt{1.059^2 - 0.885^2})}$$

$$\chi_z = \frac{1}{\phi_z + \sqrt{(\phi_z^2 - \lambda_z^2)}} = \frac{1}{(1.059 + \sqrt{1.059^2 - 0.885^2})}$$

$$\chi_y = 0.61$$

$$\chi_z = 0.61$$

$$\chi = 0.61$$

$$N_{Rd} = \frac{\chi \cdot A \cdot f_{yd}}{\gamma_{M0}} = \frac{0.61 \cdot 0.00172 \cdot (235 \cdot 10^3)}{1.00}$$

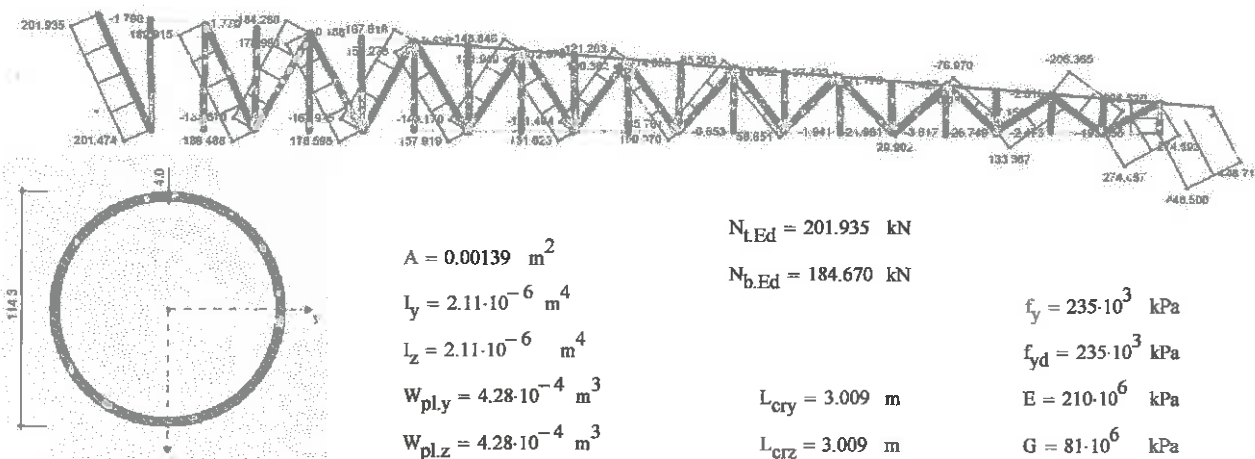
$$N_{Rd} = 246.562 \text{ kN}$$

$$\frac{N_{Ed}}{N_{Rd}} \leq 1.0$$

$$\frac{201.286}{246.562} = 0.816$$

0.816 < 1.00 **Vyhovuje**

5.8.7 POSOUZENÍ - diagonály a svislice vazníku



Vzpěr:

$$N_{cr.y} = \frac{\pi^2 E I_y}{L_{cry}^2} = \frac{\pi^2 (210 \cdot 10^6) (2.11 \cdot 10^{-6})}{3.009^2}$$

$$N_{cr.y} = 483.011 \text{ kN}$$

$$N_{cr.z} = \frac{\pi^2 E I_z}{L_{crz}^2} = \frac{\pi^2 (210 \cdot 10^6) (2.11 \cdot 10^{-6})}{3.009^2}$$

$$N_{cr.z} = 483.011 \text{ kN}$$

$$\lambda_y = \sqrt{\frac{A f_y}{N_{cr.y}}} = \sqrt{\frac{0.00139 \cdot (235 \cdot 10^3)}{483.011}}$$

$$\lambda_z = \sqrt{\frac{A f_y}{N_{cr.z}}} = \sqrt{\frac{0.00139 \cdot (235 \cdot 10^3)}{483.011}}$$

$$\lambda_y = 0.822$$

$$\lambda_z = 0.822$$

$$\alpha = 0.49$$

$$\phi_y = 0.5 \left[1 + \alpha \cdot (\lambda_y - 0.2) + \lambda_y^2 \right] = 0.5 \left[1 + 0.49 \cdot (0.822 - 0.2) + 0.822^2 \right]$$

$$\phi_y = 0.99$$

$$\phi_z = 0.5 \left[1 + \alpha \cdot (\lambda_z - 0.2) + \lambda_z^2 \right] =$$

$$\phi_z = 0.99$$

$$\chi_y = \frac{1}{\phi_y + \sqrt{(\phi_y^2 - \lambda_y^2)}} = \frac{1}{(0.99 + \sqrt{0.99^2 - 0.822^2})}$$

$$\chi_z = \frac{1}{\phi_z + \sqrt{(\phi_z^2 - \lambda_z^2)}} = \frac{1}{(0.99 + \sqrt{0.99^2 - 0.822^2})}$$

$$\chi_y = 0.649$$

$$\chi_z = 0.649$$

$$\chi = 0.649$$

$$N_{b.Rd} = \frac{\chi \cdot A \cdot f_y d}{\gamma_{M0}} = \frac{0.649 \cdot 0.00139 \cdot (235 \cdot 10^3)}{1.00}$$

$$N_{b.Rd} = 211.99 \text{ kN}$$

$$\frac{N_{b.Ed}}{N_{b.Rd}} \leq 1.0$$

$$\frac{184.67}{211.99} = 0.871$$

$$0.872 < 1.00 \quad \text{Vyhovuje}$$

Tah:

$$N_{t.Rd} = \frac{A \cdot f_y d}{\gamma_{M0}} = \frac{0.00139 \cdot (235 \cdot 10^3)}{1.00}$$

$$N_{t.Rd} = 326.65 \text{ kN}$$

$$\frac{N_{t.Ed}}{N_{t.Rd}} \leq 1.0$$

$$\frac{201.935}{326.65} = 0.618$$

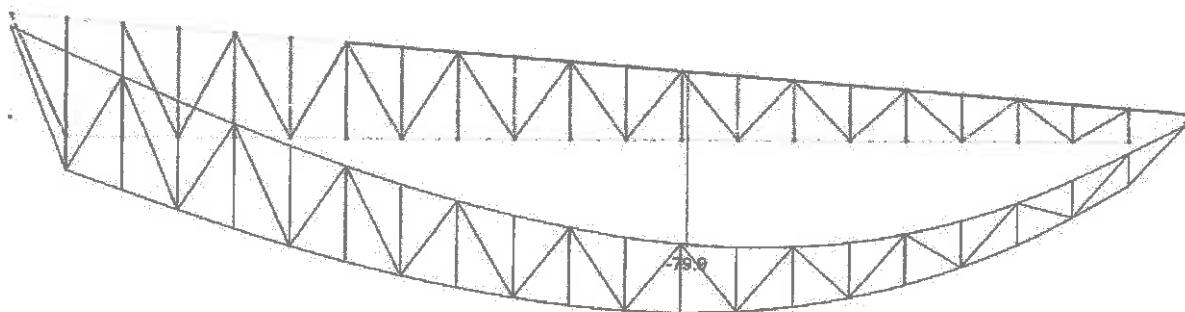
$$0.618 < 1.00 \quad \text{Vyhovuje}$$

Porovnání výsledků:

	Ruční výpočet	RFEM
Horní pás část 1	0,88	0,89
Horní pás část 2	0,44	0,44
Dolní pás část 1	0,79	0,79
Dolní pás část 2	0,80	0,80
Diagonála 1.tlačená	0,82	0,84
Diagonály - tlak	0,87	0,89
Diagonály - tah	0,62	0,62

Výsledky jsou téměř stejné a rozdíly jsou "na stranu bezpečnou"
další posouzení bude provedeno programem RFEM, výsledky
jsou uvedeny na následujících obrázcích.

5.8.8 POSOUZENÍ - Vazník 1 - Průhyb



$$L_{vazniku} = 29547 \text{ mm}$$

$$u = 79.9 \text{ mm}$$

$$u_{\lim} = \frac{L_{vazniku}}{300} = \frac{29547}{300}$$

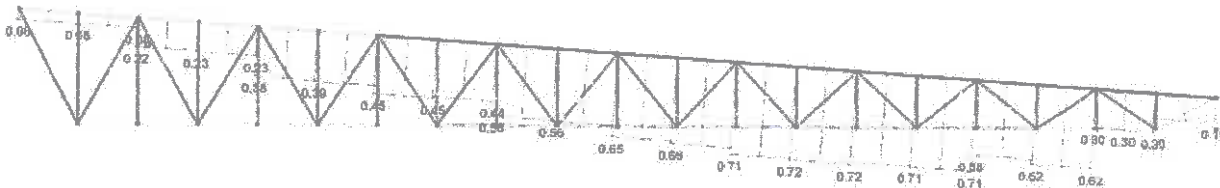
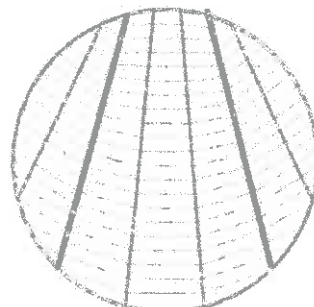
$$u_{\lim} = 98.49 \text{ mm}$$

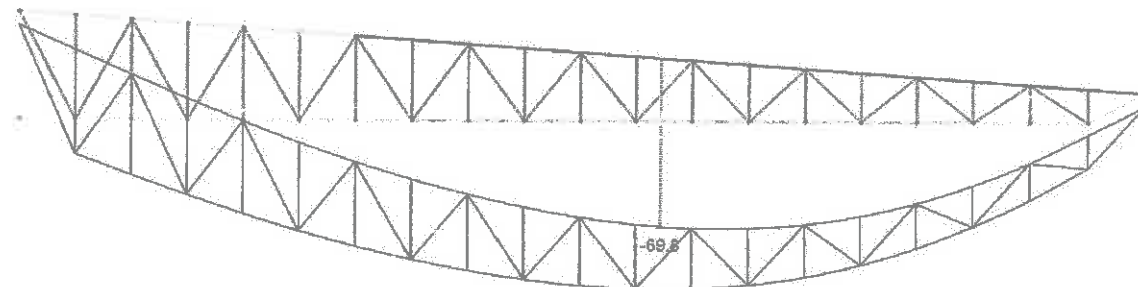
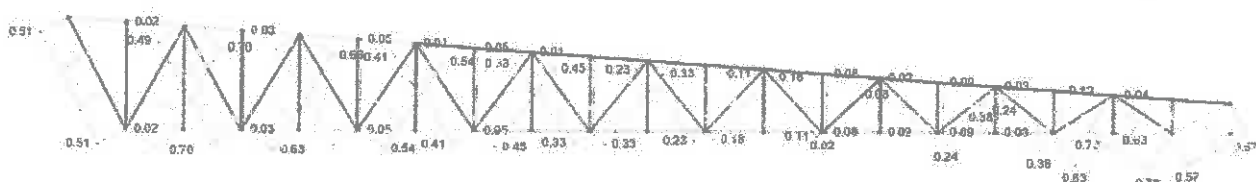
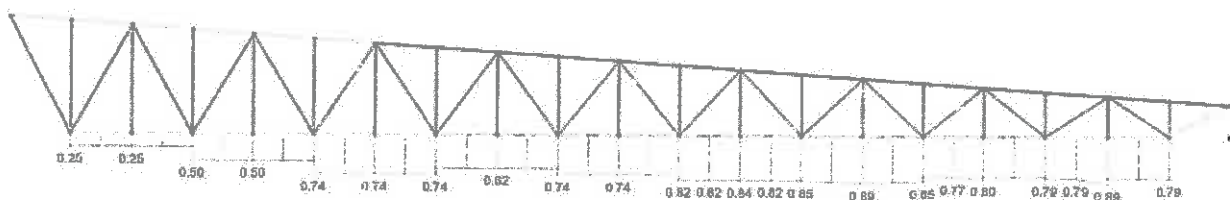
$$u \leq u_{\lim}$$

$$79.9 \leq 98.49$$

Vyhovuje

5.8.9 POSOUZENÍ - Vazník 2





$$L_{vazníku} = 25980 \text{ mm}$$

$$u = 69.8 \text{ mm}$$

$$u_{\lim} = \frac{L_{vazníku}}{300} = \frac{25980}{300}$$

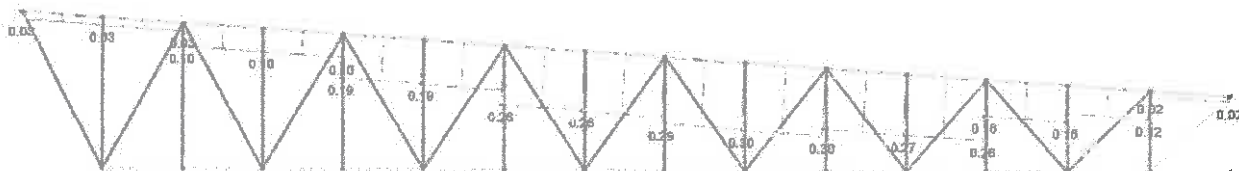
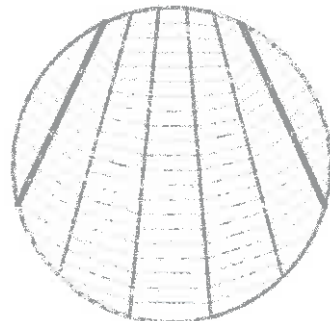
$$u_{\lim} = 86.6 \text{ mm}$$

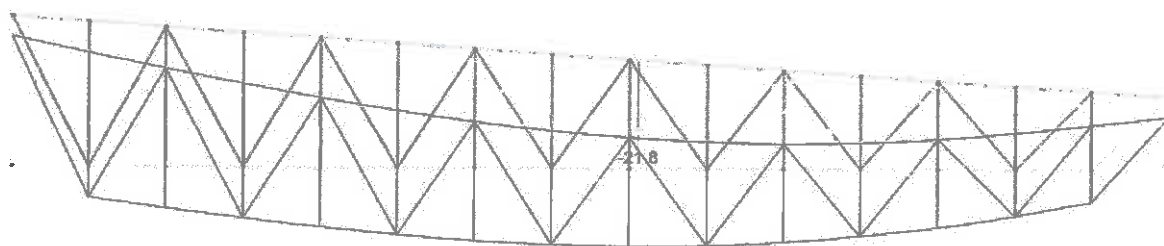
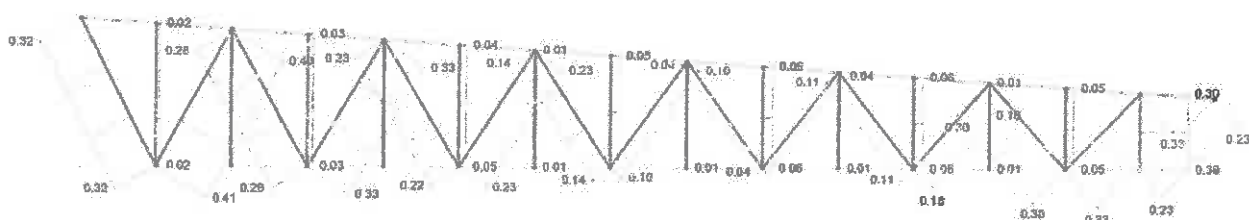
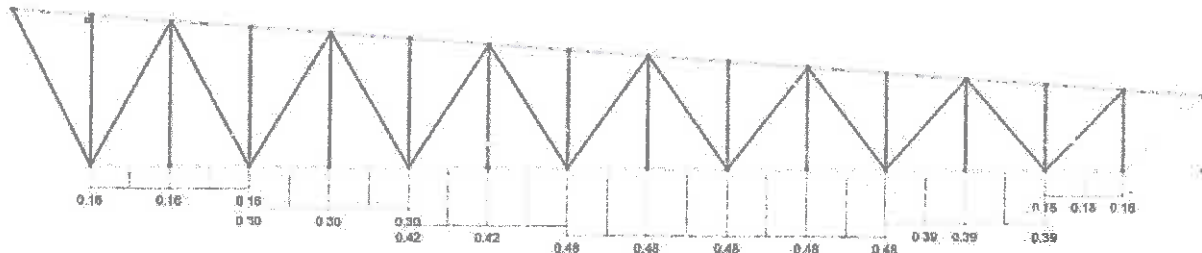
$$u \leq u_{\lim}$$

$$69.8 \leq 86.6$$

Vyhovuje

5.8.10 POSOUZENÍ - Vazník 3





$$L_{vazníku} = 19290 \text{ mm}$$

$$u = 21.8 \text{ mm}$$

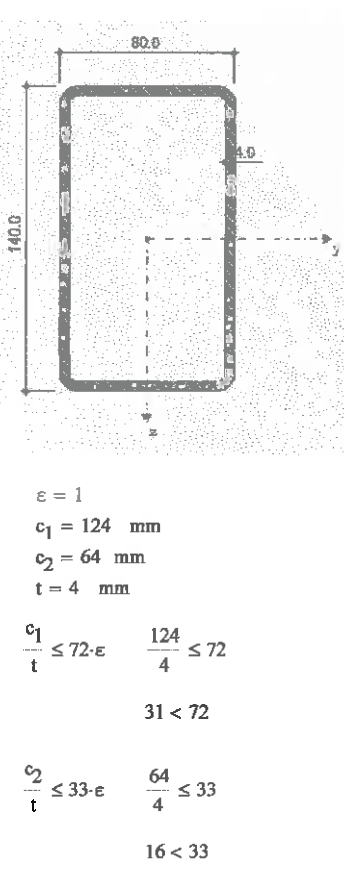
$$u_{\lim} = \frac{L_{vazníku}}{300} = \frac{19290}{300}$$

$$u_{\lim} = 64.3 \text{ mm}$$

$$u \leq u_{\lim}$$

$$21.8 \leq 64.3$$

Vyhovuje



5.9 VAZNICE IV

BĚŽNÁ VAZNICE

OCELOVÝ PROFIL

Třída průřezu:

Délka:

Výška průřezu:

Šířka průřezu:

Tloušťka:

Poloměr zaoblení:

Plocha průřezu:

Moment setrvačnosti:

RHS 140x80x4

1

L= 5,067 mm

h= 140 mm

b= 80 mm

t= 4 mm

r= 27 mm

A= 1650 mm²

I_y= 4300000 mm⁴

I_z= 1800000 mm⁴

W_{pl,y}= 75500 mm³

W_{pl,z}= 51300 mm³

m= 13 kg m⁻¹

Plasticický průřezový modul

Hmotnost profilu:

Materiál

Ocel:

S 235

Mez kluzu:

f_y= 235 MPa

Návrhová mez kluzu:

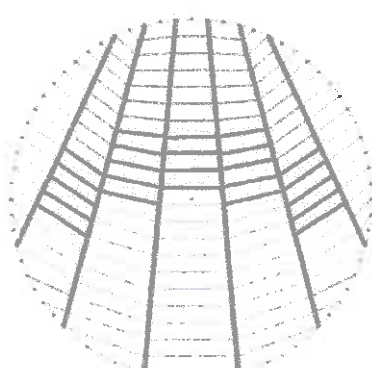
f_{yd}= 235 MPa ($\gamma_{M0}=1,0$)

Moduł pružnosti:

E_a= 210 GPa

5.9.1 ZATÍŽENÍ A VNITŘNÍ SÍLY

Průřez třídy 1



STÁLÉ

vlastní tíha vaznice

g_k	$g_d (\gamma=1,35)$
0,130	0,176 kNm ⁻¹

Střešní plášt (skleněná střecha) F1
Střešní plášt (skleněná střecha) F2

G_k	G_d
1,144	1,545 kN
2,375	3,206 kN

PROMĚNNÉ

Sníh F1
Sníh F2

Q_k	$Q_d (\gamma=1,5)$
0,915	1,373 kN
1,9	2,85 kN

Vnitřní síly:

$$F_{k1} = 2.06 \text{ kN} \quad F_{d1} = 2.917 \text{ kN}$$

$$F_{k2} = 4.275 \text{ kN} \quad F_{d2} = 6.06 \text{ kN}$$

$$\Sigma M=0$$

$$F_{d2} \cdot \frac{L}{3} + F_{d2} \cdot \frac{L \cdot 2}{3} + F_{d1} \cdot L - R_b \cdot L + g_d \cdot \frac{L^2}{2} = 0$$

$$R_b = \frac{F_{d2} \cdot \frac{L}{3} + F_{d2} \cdot \frac{L \cdot 2}{3} + F_{d1} \cdot L + g_d \cdot \frac{L^2}{2}}{L} = \frac{\left[6.06 \cdot \left(\frac{5.067}{3} \right) + 6.06 \cdot \left(\frac{5.067 \cdot 2}{3} \right) + 2.917 \cdot 5.067 + 0.176 \cdot \left(\frac{5.067^2}{2} \right) \right]}{5.067}$$

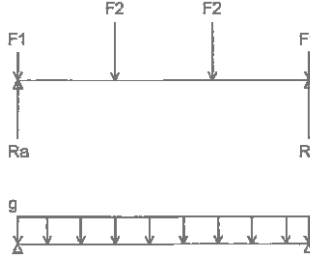
$$R_b = 9.423$$

$$\Sigma F=0$$

$$F_{d1} + F_{d2} + F_{d2} + F_{d1} + g_d \cdot L - R_b - R_a = 0$$

$$R_a = F_{d1} + F_{d2} + F_{d2} + F_{d1} + g_d \cdot L - R_b = 2.917 + 6.06 + 6.06 + 2.917 + 0.176 \cdot 5.067 - 9.423$$

$$R_a = 9.423$$



$$M_1 = R_a \cdot \frac{L}{3} - F_{d1} \cdot \frac{L}{3} - g_d \cdot \frac{L}{3} \cdot \frac{L}{6} = 9.423 \cdot \left(\frac{5.067}{3} \right) - 2.917 \cdot \left(\frac{5.067}{3} \right) - 0.176 \cdot \left(\frac{5.067}{3} \right) \cdot \left(\frac{5.067}{6} \right)$$

$$M_1 = 10.738 \text{ kNm}$$



$$M_2 = R_b \cdot \frac{L}{3} - F_{d1} \cdot \frac{L}{3} - g_d \cdot \frac{L}{3} \cdot \frac{L}{6} = 9.423 \cdot \left(\frac{5.067}{3} \right) - 2.917 \cdot \left(\frac{5.067}{3} \right) - 0.176 \cdot \left(\frac{5.067}{3} \right) \cdot \left(\frac{5.067}{6} \right)$$

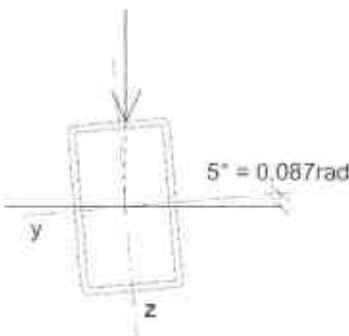
$$M_2 = 10.738 \text{ kNm}$$

$$\beta = 0.087 \text{ rad}$$

$$M_{y,Ed} = M_2 \cdot \cos(\beta) = 10.738 \cdot \cos(0.087)$$

$$M_{y,Ed} = 10.697$$

G+Q



$$V_{max} = R_a - F_{d1} = 9.423 - 2.917$$

$$V_{max} = 6.506 \text{ kN}$$

$$V_{y,Ed} = V_{max} \cdot \cos(\beta) = 6.506 \cdot \cos(0.087)$$

$$V_{y,Ed} = 6.481$$

$$V_{z,Ed} = V_{max} \cdot \sin(\beta) = 6.506 \cdot \sin(0.087)$$

$$V_{z,Ed} = 0.565$$

$$h = 0.140 \text{ mm}$$

$$b = 0.080 \text{ mm}$$

$$r = 0.008 \text{ mm}$$

$$t = 0.004 \text{ mm}$$

5.9.2 POSOUZENÍ - Smyk

$$A_{v,y} = (h - 2 \cdot r) \cdot t = (0.140 - 2 \cdot 0.008) \cdot 0.004$$

$$A_{v,y} = 4.96 \times 10^{-4} \text{ m}^2$$

$$A_{v,z} = (b - 2 \cdot r) \cdot t = (0.080 - 2 \cdot 0.008) \cdot 0.004$$

$$A_{v,z} = 2.56 \times 10^{-4} \text{ m}^2$$

$$V_{pl,y,Rd} = \frac{A_{v,y} f_y d}{\sqrt{3} \cdot \gamma_{M0}} = \frac{0.000496 \cdot (235 \cdot 10^3)}{(\sqrt{3} \cdot 1.00)}$$

$$V_{pl,y,Rd} = 67.296 \text{ kN}$$

$$\frac{V_{y,Ed}}{V_{pl,y,Rd}} \leq 1.0 \quad \frac{6.481}{67.296} = 0.096 \quad < 1.0 \quad \text{Vyhovuje}$$

$$V_{pl,z,Rd} = \frac{A_{v,z} f_y d}{\sqrt{3} \cdot \gamma_{M0}} = \frac{0.000256 \cdot (235 \cdot 10^3)}{(\sqrt{3} \cdot 1.00)}$$

$$V_{pl,z,Rd} = 34.733 \text{ kN}$$

$$\frac{V_{z,Ed}}{V_{pl,z,Rd}} \leq 1.0 \quad \frac{0.565}{34.733} = 0.016 \quad < 1.0 \quad \text{Vyhovuje}$$



5.9.3 POSOUZENÍ - dvouosý ohyb

$$A = 0.00165 \text{ m}^2$$

$$W_{pl,y} = 75.5 \cdot 10^{-6} \text{ m}^3$$

$$f_y = 355 \cdot 10^3 \text{ kPa}$$

$$I_y = 4.3 \cdot 10^{-6} \text{ m}^4$$

$$W_{pl,z} = 51.3 \cdot 10^{-6} \text{ m}^3$$

$$E = 210 \cdot 10^6 \text{ kPa}$$

$$I_z = 1.8 \cdot 10^{-6} \text{ m}^4$$

$$M_{pl,y,Rd} = \frac{W_{pl,y} f_y d}{\gamma M_0} = \frac{75.5 \cdot 10^{-6} \cdot (235 \cdot 10^3)}{1.00}$$

$$M_{pl,y,Rd} = 17.742 \text{ kNm}$$

$$M_{pl,z,Rd} = \frac{W_{pl,z} f_y d}{\gamma M_0} = \frac{51.3 \cdot 10^{-6} \cdot (235 \cdot 10^3)}{1.00}$$

$$M_{pl,z,Rd} = 12.055 \text{ kNm}$$

$$a_w = \frac{(A - 2 \cdot b \cdot t)}{A} =$$

$$a_w = 0.612$$

$$a_f = \frac{(A - 2 \cdot h \cdot t)}{A} = \frac{(0.00165 - 2 \cdot 0.140 \cdot 0.004)}{0.00165}$$

$$a_f = 0.321$$

$$n = \frac{N_{Ed}}{N_{pl,Rd}} \quad N_{Ed} = 0 \Rightarrow n = 0$$

$$M_{N,y,Rd} = M_{pl,y,Rd} \cdot \frac{(1-n)}{(1-0.5-a_w)} = 17.742 \left[\frac{(1-0)}{(1-0.5-0.612)} \right]$$

$$M_{N,y,Rd} = 25.565 \text{ kNm}$$

$$M_{N,y,Rd} \leq M_{pl,y,Rd} \Rightarrow \text{použito } M_{pl,y,Rd}$$

$$M_{N,z,Rd} = M_{pl,z,Rd} \cdot \frac{(1-n)}{(1-0.5-a_f)} = 12.055 \left[\frac{(1-0)}{(1-0.5-0.321)} \right]$$

$$M_{N,z,Rd} = 14.36 \text{ kNm}$$

$$M_{N,z,Rd} \leq M_{pl,z,Rd} \Rightarrow \text{použito } M_{pl,z,Rd}$$

$$\alpha = \frac{1.66}{1 - 1.13 \cdot n^2} = \frac{1.66}{(1 - 1.13 \cdot 0)^2}$$

$$\alpha = 1.66$$

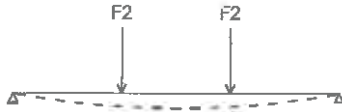
$$\beta = \alpha = 1.66$$

$$\left(\frac{M_{y,Ed}}{M_{pl,y,Rd}} \right)^\alpha + \left(\frac{M_{z,Ed}}{M_{pl,z,Rd}} \right)^\beta \leq 1.00$$

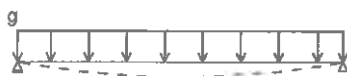
$$\left(\frac{10.697}{17.742} \right)^{1.66} + \left(\frac{0.933}{12.055} \right)^{1.66} = 0.446$$

0.446 < 1.00 **Vyhovuje**

5.9.4 POSOUZENÍ PRŮHYBU



$$\delta = \frac{1}{E \cdot I_y} \left(\frac{23}{648} \cdot F_{k2} \cdot L^3 + \frac{5}{384} \cdot g_k \cdot L^4 \right) = \left[\frac{1}{210 \cdot 10^6 \cdot (4.3 \cdot 10^{-6})} \right] \cdot \left(\frac{23}{648} \cdot 4.275 \cdot 5.067^3 + \frac{5}{384} \cdot 0.13 \cdot 5.067^4 \right)$$



$$\delta = 0.023$$

$$\delta_{\max} = \frac{L}{200} = \frac{5.067}{200}$$

$$\delta_{\max} = 0.025$$

$$\delta_1 \leq \delta_{\max}$$

$$23 \leq 25 \text{ mm}$$

Vyhovuje

5.9.5 POROVNÁNÍ VÝSLEDKŮ

ruční výpočet

vnitřní síly:

$$N_{Ed} = 0 \text{ kN}$$

$$M_{y,Ed} = 10.697 \text{ kNm}$$

$$M_{z,Ed} = 0.933 \text{ kNm}$$

Výsledky z programu RFEM

$$N_{Ed} = 11.988 \text{ kN}$$

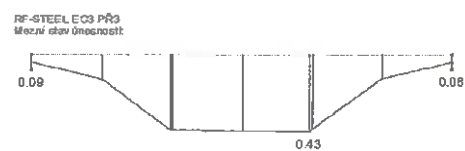
$$M_y = 10.463 \text{ kNm}$$

$$M_z = 0.905 \text{ kNm}$$

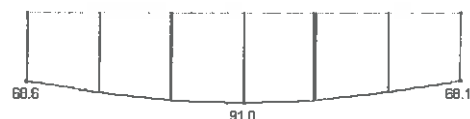
posouzení:

$$\left(\frac{M_{y,Ed}}{M_{pl,y,Rd}} \right)^{\alpha} + \left(\frac{M_{z,Ed}}{M_{pl,z,Rd}} \right)^{\beta} \leq 1.00$$

$$\left(\frac{10.697}{17.742} \right)^{1.66} + \left(\frac{0.933}{12.055} \right)^{1.66} = 0.446$$



průhyb:



$$\delta = 23 \text{ mm}$$

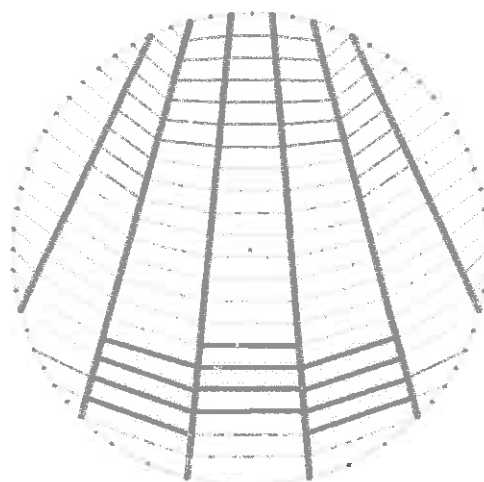
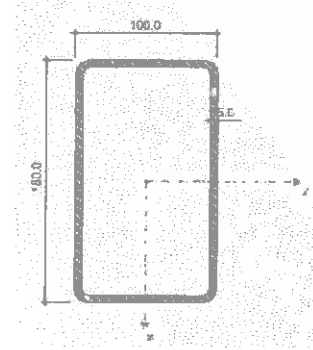
$$\delta = 91 - \left(\frac{68.6 + 68.1}{2} \right) = 22.65 \text{ mm}$$

Poznámka:

Výsledky z programu RFEM se též shodují s výsledky provedené ručním výpočtem, proto se již dále budou používat hodnoty vnitřních sil spočítané programem RFEM.

Prvek: Vaznice II

profil RHS 180/100/5
 materiál S 235
 délka L= 7,029 m



Průřezové charakteristiky:

A = 2640 mm²
 $I_y = 11240000 \text{ mm}^4$
 $I_z = 4520000 \text{ mm}^4$
 $W_{pl,y} = 154000 \text{ mm}^3$
 $W_{pl,z} = 103000 \text{ mm}^3$

Návrhové vnitřní síly:

$N_{Ed} = 32,902 \text{ kN}$
 $M_{y,Ed} = 20,041 \text{ kNm}$
 $M_{z,Ed} = 1,422 \text{ kNm}$

Posouzení na MSÚ

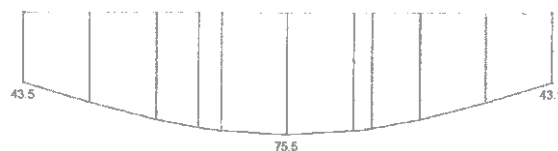
$N_{pl,Rd} = 620,4 \text{ kN}$	$n = 0,053$
$M_{pl,y,Rd} = 36,19 \text{ kNm}$	$b = 100 \text{ mm}$
$M_{pl,z,Rd} = 24,21 \text{ kNm}$	$h = 180 \text{ mm}$
$a_w = 0,6212$	$t = 5 \text{ mm}$
$a_t = 0,3182$	
$M_{Ny,Rd} = 49,711 \text{ kNm}$	
$M_{Nz,Rd} = 27,258 \text{ kNm}$	
$\alpha = 1,6653$	
$\beta = 1,6653$	

$$\left(\frac{M_{y,Ed}}{M_{pl,y,Rd}} \right)^\alpha + \left(\frac{M_{z,Ed}}{M_{pl,z,Rd}} \right)^\beta \leq 1,00$$

$$0,3737 + 0,0089 \leq 1,00 \\ 0,3827 \leq 1,00$$

Vyhovuje

Posouzení na MSP



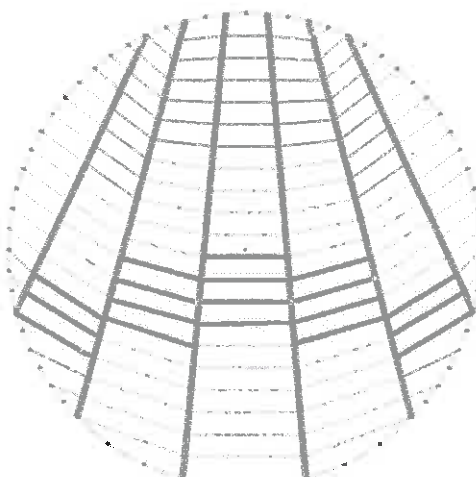
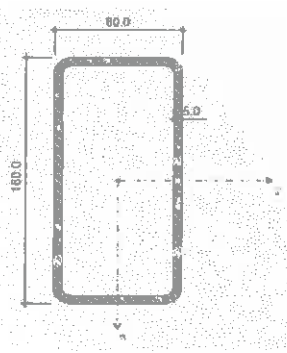
$$u = 32,2 \text{ mm} \\ u_{lim} = 35,145 \\ u / u_{lim} = 0,9162 \leq 1,00$$

Vyhovuje

Prvek:

Vaznice III

profil RHS 160/80/5
 materiál S 235
 délka L= 6,048 m



Pružové charakteristiky:

A= 2240 mm²
 I_y= 7220000 mm⁴
 I_z= 2440000 mm⁴
 W_{pl,y}= 113000 mm³
 W_{pl,z}= 69700 mm³

Návrhové vnitřní síly:

N_{Ed}= 18,788 kN
 M_{y,Ed}= 14,958 kNm
 M_{z,Ed}= 1,177 kNm

Posouzení na MSÚ

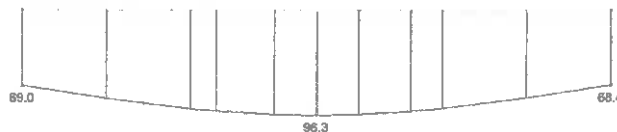
N _{pl,Rd} = 526,4 kN	n= 0,0357
M _{pl,y,Rd} = 26,56 kNm	b= 80 mm
M _{pl,z,Rd} = 16,38 kNm	h= 160 mm
a _w = 0,6429	t= 5 mm
a _i = 0,2857	
M _{Ny,Rd} = 37,737 kNm	
M _{Nz,Rd} = 18,427 kNm	
α= 1,6624	
β= 1,6624	

$$\left(\frac{M_{y,Ed}}{M_{pl,y,Rd}} \right)^{\alpha} + \left(\frac{M_{z,Ed}}{M_{pl,z,Rd}} \right)^{\beta} \leq 1,00$$

$$0,3851 + 0,0126 \leq 1,00 \\ 0,3977 \leq 1,00$$

Vyhovuje

Posouzení na MSP



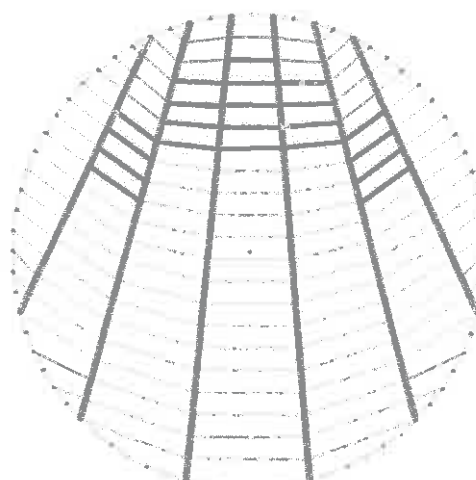
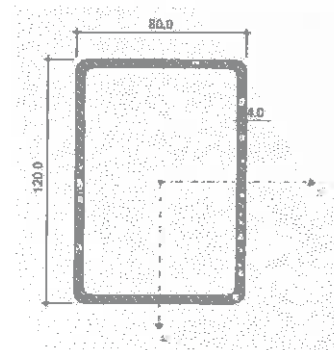
$$u= 27,6 \text{ mm} \\ u_{lim}= 30,24 \\ u / u_{lim}= 0,9127 \leq 1,00$$

Vyhovuje

Prvek:

Vazovice V

profil RHS 120/80/4
materiál S 235
délka L = 4,086 m



Průřezové charakteristiky:

A = 1520 mm²
I_y = 3030000 mm⁴
I_x = 1610000 mm⁴
W_{pl,y} = 61200 mm³
W_{pl,x} = 46100 mm³

Návrhové vnitřní síly:

N_{Ed} = 14,035 kN
M_{y,Ed} = 6,749 kNm
M_{z,Ed} = 0,612 kNm

Posouzení na MSÚ

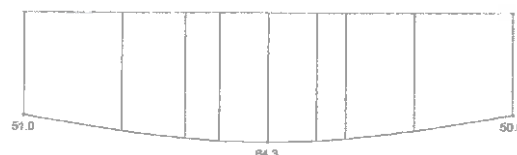
N _{pl,Rd} = 357,2 kN	n = 0,0393
M _{pl,y,Rd} = 14,38 kNm	b = 80 mm
M _{pl,x,Rd} = 10,83 kNm	h = 120 mm
a _w = 0,5789	t = 4 mm
a _f = 0,3684	
M _{Ny,Rd} = 19,446 kNm	
M _{Nx,Rd} = 12,758 kNm	
α = 1,6629	
β = 1,6629	

$$\left(\frac{M_{y,Ed}}{M_{pl,y,Rd}} \right)^{\alpha} + \left(\frac{M_{z,Ed}}{M_{pl,z,Rd}} \right)^{\beta} \leq 1,00$$

$$0,2842 + 0,0084 \leq 1,00 \\ 0,2926 \leq 1,00$$

Vyhovuje

Posouzení na MSP



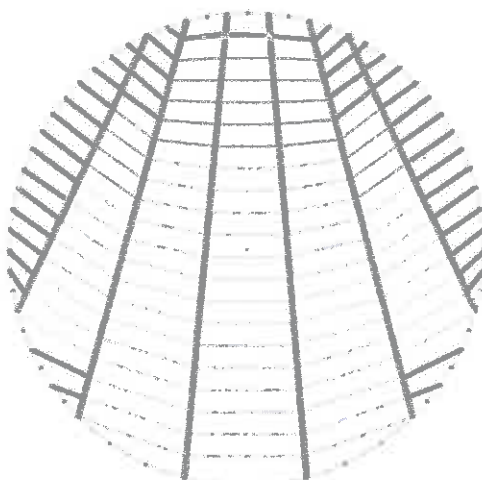
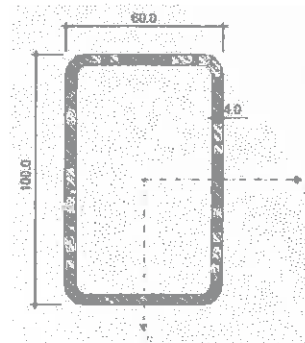
$$u = 13,5 \text{ mm} \\ u_{lim} = 20,43 \\ u / u_{lim} = 0,6608 \leq 1,00$$

Vyhovuje

Prvek:

Vaznice VI

profil RHS 100/60/4
 materiál S 235
 délka L= 3,568 m



Průřezové charakteristiky:

A= 1170 mm²
 I_y= 1530000 mm⁴
 I_z= 687000 mm⁴
 W_{pl,y}= 37900 mm³
 W_{pl,z}= 26600 mm³

Návrhové vnitřní sily:

N_{Ed}= 13,937 kN
 M_{y,Rd}= 5,036 kNm
 M_{z,Rd}= 0,419 kNm

Posouzení na MSÚ

N _{pl,Rd} = 274,95 kN	n= 0,0507
M _{pl,y,Rd} = 8,91 kNm	b= 60 mm
M _{pl,z,Rd} = 6,25 kNm	h= 100 mm
a _w = 0,5897	t= 4 mm
a _f = 0,3162	
M _{Ny,Rd} = 11,991 kNm	
M _{Nz,Rd} = 7,0487 kNm	
α= 1,6648	
β= 1,6648	

$$\left(\frac{M_{y,Ed}}{N_{pl,y,Rd}} \right)^{\alpha} + \left(\frac{M_{z,Ed}}{N_{pl,z,Rd}} \right)^{\beta} \leq 1,00$$

$$0,387 + 0,0111 \leq 1,00 \\ 0,3982 \leq 1,00$$

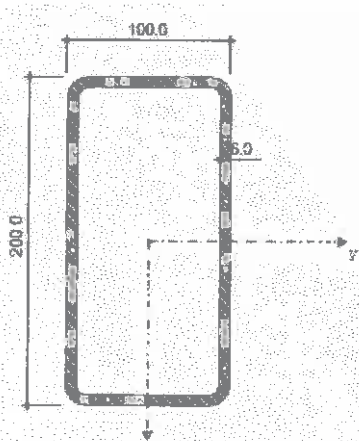
Vyhovuje

Posouzení na MSP



u= 12,65 mm
 u_{lim}= 17,84
 u / u_{lim}= 0,7091 ≤ 1,00

Vyhovuje



$\epsilon = 1$
 $c_1 = 176 \text{ mm}$
 $c_2 = 76 \text{ mm}$
 $t = 6 \text{ mm}$

$$\frac{c_1}{t} \leq 72 \cdot \epsilon \quad \frac{176}{6} \leq 72$$

$$29.33 < 72$$

$$\frac{c_2}{t} \leq 33 \cdot \epsilon \quad \frac{76}{6} \leq 33$$

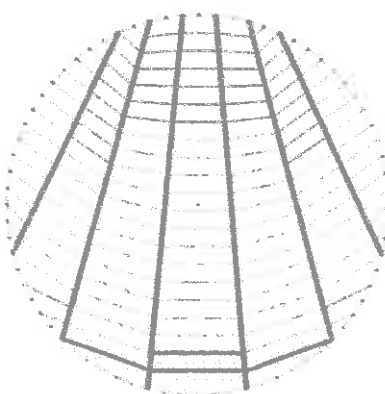
$$12.6 < 33$$

Průřez třídy 1

KZ 24

$$\Sigma 1,35 \cdot G + 1,5 \cdot (\text{sníh})$$

Vnitřní síly dle programu RFEM



5.10 VAZNICE I

NEJVÍCE NAMÁHANÁ VAZNICE dle RFEM

OCELOVÝ PROFIL

Třída průřezu:
 Délka:
 Výška průřezu:
 Šířka průřezu:
 Tloušťka:
 Poloměr zaoblení:
 Plocha průřezu:
 Moment setrvačnosti:

RHS 200x100x6

1
 $L = 7519 \text{ mm}$
 $h = 200 \text{ mm}$
 $b = 100 \text{ mm}$
 $t = 6 \text{ mm}$
 $r = 12 \text{ mm}$
 $A = 3360 \text{ mm}^2$
 $I_y = 17\ 030\ 000 \text{ mm}^4$
 $I_z = 5\ 770\ 000 \text{ mm}^4$

$$W_{pl,y} = 213\ 000 \text{ mm}^3$$

$$W_{pl,z} = 132\ 000 \text{ mm}^3$$

$$m = 26,4 \text{ kg m}^{-1}$$

Plastický průřezový modul

Hmotnost profilu:

Materiál

Ocel:
 Mez kluzu:
 Návrhová mez kluzu:
 Modul pružnosti:

S 235
 $f_y = 235 \text{ MPa}$
 $f_{yd} = 235 \text{ MPa} (\gamma_{M0}=1,0)$
 $E_a = 210 \text{ GPa}$

5.10.1 ZATÍŽENÍ A VNITŘNÍ SÍLY

KZ 24

$$\Sigma 1,35 \cdot G + 1,5 \cdot (\text{sníh})$$

Vnitřní síly dle programu RFEM

$$N_{Ed} = 66.893 \text{ kN} \quad (\text{tlak})$$

$$M_{y,Ed} = 31.784 \text{ kNm}$$

$$M_{z,Ed} = 3.252 \text{ kNm}$$

5.10.2 POSOUZENÍ - Ohyb a osový tlak

Výpočet dle ČSN EN 1993-1-1 článku 6.3.3 metody 2

$$A = 0.00336 \text{ m}^2$$

$$I_y = 1.703 \cdot 10^{-5} \text{ m}^4$$

$$i_y = 0.0712 \text{ m}$$

$$f_y = 235 \cdot 10^3 \text{ kPa}$$

$$I_z = 5.77 \cdot 10^{-6} \text{ m}^4$$

$$i_z = 0.0414 \text{ m}$$

$$f_{yd} = 235 \cdot 10^3 \text{ kPa}$$

$$I_t = 1.417 \cdot 10^{-5} \text{ m}^4$$

$$y_0 = 0 \text{ m}$$

$$E = 210 \cdot 10^6 \text{ kPa}$$

$$I_w = 2.908 \cdot 10^{-9} \text{ m}^6$$

$$z_0 = 0 \text{ m}$$

$$G = 81 \cdot 10^6 \text{ kPa}$$

$$W_{pl,y} = 2.13 \cdot 10^{-4} \text{ m}^3$$

$$\gamma_{M0} = 1.00$$

$$W_{pl,z} = 1.32 \cdot 10^{-4} \text{ m}^3$$

$$N_{cr,y} = \frac{\pi^2 \cdot E \cdot I_y}{L_{cry}^2} = \frac{\pi^2 \cdot (210 \cdot 10^6) \cdot (1.703 \cdot 10^{-5})}{7.519^2}$$

$$N_{cr,y} = 624.329 \text{ kN}$$

$$N_{cr,z} = \frac{\pi^2 \cdot E \cdot I_z}{L_{crz}^2} = \frac{\pi^2 \cdot (210 \cdot 10^6) \cdot (5.77 \cdot 10^{-6})}{7.519^2}$$

$$N_{cr,z} = 211.531 \text{ kN}$$

$$\lambda_y = \sqrt{\frac{A \cdot f_y}{N_{cr,y}}} = \sqrt{\frac{0.00336 \cdot (235 \cdot 10^3)}{624.329}}$$

$$\lambda_y = 1.125$$

$$\lambda_z = \sqrt{\frac{A \cdot f_y}{N_{cr,z}}} = \sqrt{\frac{0.00336 \cdot (235 \cdot 10^3)}{211.531}}$$

$$\lambda_z = 1.932$$

$$\alpha = 0.34$$

$$\phi_y = 0.5 \left[1 + \alpha \cdot (\lambda_y - 0.2) + \lambda_y^2 \right] = 0.5 \left[1 + 0.34 \cdot (1.125 - 0.2) + 1.125^2 \right]$$

$$\phi_y = 1.29$$

$$\phi_z = 0.5 \left[1 + \alpha \cdot (\lambda_z - 0.2) + \lambda_z^2 \right] = 0.5 \left[1 + 0.34 \cdot (1.932 - 0.2) + 1.932^2 \right]$$

$$\phi_z = 2.661$$

$$\chi_y = \frac{1}{\phi_y + \sqrt{(\phi_y^2 - \lambda_y^2)}}$$

$$\chi_z = \frac{1}{\phi_z + \sqrt{(\phi_z^2 - \lambda_z^2)}}$$

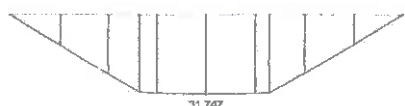
$$\chi_y = 0.52$$

$$\chi_z = 0.223$$

$$N_{Rk} = A \cdot f_y = 0.00336 \cdot (235 \cdot 10^3)$$

$$N_{Rk} = 789.6 \text{ kN}$$

interakční součinitele:



$$C_{my} = 0.9$$

$$C_{mz} = 0.9$$

$$k_{yy}$$

$$C_{my} \left[1 + (\lambda_y - 0.2) \cdot \frac{N_{Ed}}{\left(\frac{\chi_y \cdot N_{Rk}}{\gamma_{M1}} \right)} \right] \leq C_{my} \left[1 + 0.8 \cdot \frac{N_{Ed}}{\left(\frac{\chi_y \cdot N_{Rk}}{\gamma_{M1}} \right)} \right]$$

$$C_{my} \left[1 + (\lambda_y - 0.2) \cdot \frac{N_{Ed}}{\left(\frac{\chi_y \cdot N_{Rk}}{\gamma_{M1}} \right)} \right] = 0.9 \left[1 + (1.125 - 0.2) \cdot \left[\frac{66.893}{\left(\frac{0.52 \cdot 789.6}{1.00} \right)} \right] \right] = 1.036$$

$$C_{my} \left[1 + 0.8 \cdot \frac{N_{Ed}}{\left(\frac{\chi_y \cdot N_{Rk}}{\gamma_{M1}} \right)} \right] \text{ explicit, ALL } \rightarrow 0.9 \left[1 + 0.8 \left[\frac{66.893}{\left(\frac{0.52 \cdot 789.6}{1.00} \right)} \right] \right] = 1.017$$

$$1.036 \leq 1.017$$

$$k_{yy} = 1.017$$

k_{zz}

$$C_{mz} \left[1 + (\lambda_z - 0.2) \cdot \frac{N_{Ed}}{\left(\frac{\chi_z N_{Rk}}{\gamma_{M1}} \right)} \right] \leq C_{mz} \left[1 + 0.8 \cdot \frac{N_{Ed}}{\left(\frac{\chi_z N_{Rk}}{\gamma_{M1}} \right)} \right]$$

$$C_{mz} \left[1 + (\lambda_z - 0.2) \cdot \frac{N_{Ed}}{\left(\frac{\chi_z N_{Rk}}{\gamma_{M1}} \right)} \right] = 0.9 \left[1 + (1.932 - 0.2) \cdot \left[\frac{66.893}{\left(\frac{0.223 \cdot 789.6}{1.00} \right)} \right] \right] = 1.492$$

$$C_{mz} \left[1 + 0.8 \cdot \frac{N_{Ed}}{\left(\frac{\chi_z N_{Rk}}{\gamma_{M1}} \right)} \right] = 0.9 \left[1 + 0.8 \cdot \left[\frac{66.893}{\left(\frac{0.223 \cdot 789.6}{1.00} \right)} \right] \right] = 1.174$$

$$1.492 \leq 1.174$$

$$k_{zz} = 1.174$$

k_{yz}

$$k_{yz} = 0.6 \cdot k_{zz}$$

$$k_{yz} = 0.704$$

k_{zy}

$$k_{zy} = 0.6 \cdot k_{yy}$$

$$k_{zy} = 0.61$$

Posouzení:

$$M_{y,Rd} = \frac{W_{pl,y} f_{yd}}{\gamma_{M0}} = \frac{2.13 \cdot 10^{-4} \cdot (235 \cdot 10^3)}{1.00}$$

$$M_{y,Rd} = 50.055$$

$$M_{z,Rd} = \frac{W_{pl,z} f_{yd}}{\gamma_{M0}} = \frac{1.32 \cdot 10^{-4} \cdot (235 \cdot 10^3)}{1.00}$$

$$M_{z,Rd} = 31.02$$

$$\left(\frac{N_{Ed}}{\frac{\chi_y N_{Rk}}{\gamma_{M1}}} \right) + k_{yy} \cdot \frac{M_{y,Ed}}{M_{y,Rd}} + k_{yz} \cdot \frac{M_{z,Ed}}{M_{z,Rd}} \leq 1.00$$

$$\left(\frac{N_{Ed}}{\frac{\chi_y N_{Rk}}{\gamma_{M1}}} \right) + k_{yy} \cdot \frac{M_{y,Ed}}{M_{y,Rd}} + k_{yz} \cdot \frac{M_{z,Ed}}{M_{z,Rd}} = \frac{66.893}{\left(\frac{0.52 \cdot 789.6}{1.00} \right)} + 1.017 \cdot \left(\frac{31.784}{50.055} \right) + 0.704 \cdot \left(\frac{3.252}{31.02} \right) = 0.882$$

$$0.882 \leq 1.00$$

Vyhovuje

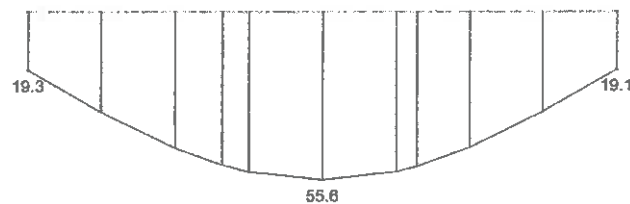
$$\left(\frac{N_{Ed}}{\frac{\chi_z N_{Rk}}{\gamma_{M1}}} \right) + k_{zy} \cdot \frac{M_{y,Ed}}{M_{y,Rd}} + k_{zz} \cdot \frac{M_{z,Ed}}{M_{z,Rd}} \leq 1.00$$

$$\left(\frac{N_{Ed}}{\frac{\chi_z N_{Rk}}{\gamma_{M1}}} \right) + k_{zy} \cdot \frac{M_{y,Ed}}{M_{y,Rd}} + k_{zz} \cdot \frac{M_{z,Ed}}{M_{z,Rd}} = \frac{66.893}{\left(\frac{0.223 \cdot 789.6}{1.00} \right)} + 0.61 \cdot \left(\frac{31.784}{50.055} \right) + 1.174 \cdot \left(\frac{3.252}{31.02} \right) = 0.89$$

$$0.89 \leq 1.00$$

Vyhovuje

5.10.3 POSOUZENÍ PRŮHYBU



$$\delta = 55.6 - \left(\frac{19.3 + 19.1}{2} \right) = 36.4$$

$$\delta_{\max} = \frac{L}{200} = \frac{7519}{200}$$

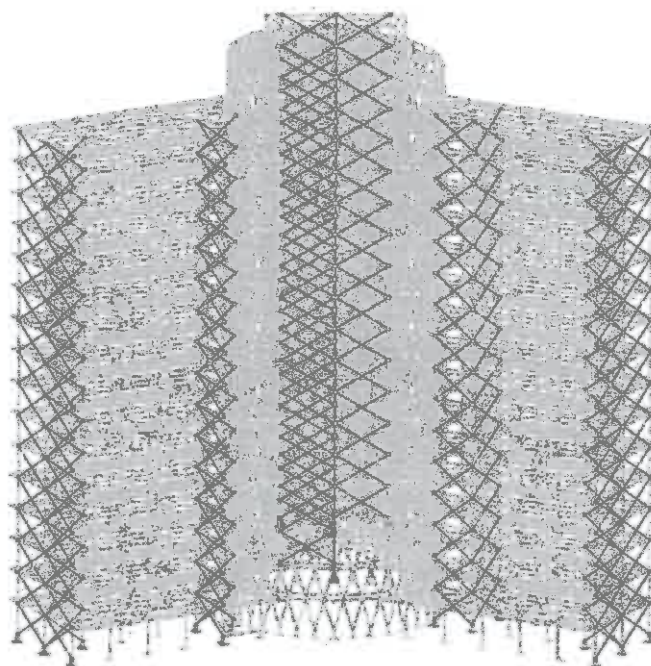
$$\delta_{\max} = 37.595$$

$$\delta_1 \leq \delta_{\max}$$

36.4 ≤ 37.6mm **Vyhovuje**

5.11 ZTUŽIDLA ADMINISTRATIVNÍ ČÁSTI

POSOUZENÍ NEJVÍCENAMÁHANÉHO PRUTU



5.11.1 ZATÍŽENÍ A VNITŘNÍ SÍLY

KZ 6

$$\Sigma 1,35 \cdot G + 1,5 \cdot (\text{vitr B}) + 1,5 \cdot 0,7 \cdot (\text{plné})$$

Vnitřní síly dle programu RFEM

5.11.2 POSOUZENÍ - Tah - Ztužidla v podlažích 1-8

RD 40



$$N_{t,Ed} = 210.387 \text{ kN} \quad \text{prut č. 1462}$$

$$f_y = 355 \cdot 10^3 \text{ kPa}$$

$$A = 0.001257 \text{ m}^2$$

$$f_{yd} = 355 \cdot 10^3 \text{ kPa}$$

$$N_{t,Rd} = \frac{A \cdot f_{yd}}{\gamma_{M0}} = \frac{0.001257 \cdot (355 \cdot 10^3)}{1.00}$$

$$E = 210 \cdot 10^6 \text{ kPa}$$

$$N_{t,Rd} = 446.2 \text{ kN}$$

$$G = 81 \cdot 10^6 \text{ kPa}$$

$$\frac{N_{t,Ed}}{N_{t,Rd}} \leq 1.0 \quad \frac{210.387}{446.2} = 0.472$$

0.472 < 1.00 **Vyhovuje**

RD 30



$$N_{t,Ed} = 139.663 \text{ kN} \quad \text{prut č. 6794}$$

$$f_y = 355 \cdot 10^3 \text{ kPa}$$

$$A = 0.000707 \text{ m}^2$$

$$f_{yd} = 355 \cdot 10^3 \text{ kPa}$$

$$N_{t,Rd} = \frac{A \cdot f_{yd}}{\gamma_{M0}} = \frac{0.000707 \cdot (355 \cdot 10^3)}{1.00}$$

$$E = 210 \cdot 10^6 \text{ kPa}$$

$$N_{t,Rd} = 250.9 \text{ kN}$$

$$G = 81 \cdot 10^6 \text{ kPa}$$

$$\frac{N_{t,Ed}}{N_{t,Rd}} \leq 1.0 \quad \frac{139.663}{250.9} = 0.557$$

0.557 < 1.00 **Vyhovuje**

Alternativně lze použít systém Macalloy 460 v průměru R20

6 POSOUZENÍ SPOJŮ

6.1 SPOJ STROPNICE - PRŮVLAK

Stropnice běžná IPE 240, průvlak IPE 450

ŠROUBY:	2x M16 8.8
Průměr šroubu	$d = 16 \text{ mm}$
Průměr otvoru	$d_0 = 17 \text{ mm}$
Průměr hlavy šroubu	$d_m = 25.85 \text{ mm}$
Plocha dříku šroubu	$A = 201 \text{ mm}^2$
Plocha jádra šroubu	$A_s = 157 \text{ mm}^2$
Počet šroubů	2

STYČNÍKOVÝ PLECH	
Tloušťka	$t_p = 8 \text{ mm}$
Ocel:	S 235
Mez kluzu	$f_y = 235 \text{ MPa}$
Mez pevnosti	$f_u = 360 \text{ MPa}$

STROPNICE	IPE 240
Tloušťka stojny	$t_w = 6.2 \text{ mm}$
Ocel	S 235

PRŮVLAK	IPE 450
Tloušťka stojny	$t_{wp} = 9.4 \text{ mm}$
Ocel	S 235

Návrhové vnitřní síly: $V_{Ed} = 78.141 \text{ kN}$

Přípoj je navržen na sílu od stropnice v 2. fázi
další síly se na přípoj neuvažují z důvodu spřažení
stropnice s betonovou deskou.

Návrh a kontrola roztečí:

$$t = \min(t_p, t_w) = \min(8, 6.2) = 6.2 \text{ mm}$$

$$e_1 = e_2 = 40 \text{ mm}$$

$$e_{1,min} = e_{2,min} = 1.2 * d_0 = 1.2 * 17 = 20.4 \text{ mm}$$

$$e_{1,max} = e_{2,max} = 4 * t + 40 = 4 * 6.2 + 40 = 64.8 \text{ mm}$$

$$e_{1,min} \leq e_1 \leq e_{1,max}$$

$$20.4 \leq 35 \leq 64.8 \quad \text{Vyhovuje}$$

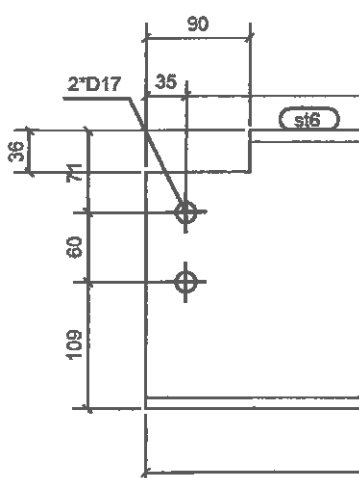
$$p_1 = 60 \text{ mm}$$

$$p_{1,min} = 2.2 * d_0 = 2.2 * 17 = 37.4 \text{ mm}$$

$$p_{1,max} = \min(14 * t; 200) = \min(14 * 6.2; 200) = 86.8 \text{ mm}$$

$$p_{1,min} \leq p_1 \leq p_{1,max}$$

$$37.4 \leq 60 \leq 86.8 \quad \text{Vyhovuje}$$



6.1.1 POSOUZENÍ - STŘIH

počet šroubů:

$$n_b = 2$$

$$F_{V,Ed} = \frac{V_{Ed}}{n_b} = \frac{78.141}{2}$$

$$\alpha_v = 0.6$$

$$F_{V,Ed} = 39.071 \text{ kN}$$

Únosnost ve střihu:

$$F_{V,Rd} = \frac{\alpha_v f_{ub} A_s}{\gamma_{M2}} = \frac{0.6 \cdot 800 \cdot 157}{1.25}$$

$$F_{V,Rd} = 60.288 \times 10^3 \text{ N}$$

$$F_{V,Ed} \leq F_{V,Rd}$$

$$39.071 \leq 60.29 \text{ kN} \quad \text{Vyhovuje}$$

6.1.2 POSOUZENÍ - OTLAČENÍ

$$F_{V,Ed} = 39.071 \text{ kN}$$

$$k_1 = \min((2.8 \cdot e_2 / d_0) - 1.7 ; 2.5) = \min((2.8 \cdot 35/17) - 1.7 ; 2.5) = \min(4.888 ; 2.5) = 2.5$$

$$a_d = \min(e_1 / 3 \cdot d_0 ; (p_1 / 3 \cdot d_0) - 1/4) = \min(35/3 \cdot 17 ; 60/3 \cdot 17 - 1/4) = \min(0.784 ; 0.926) = 0.784$$

$$a_b = \min(a_d ; f_{ub} / f_u ; 1.0) = \min(0.784 ; 800/360 ; 1.00) = \min(0.77 ; 2.22 ; 1.00) = 0.784$$

$$F_{b,Rd} = \frac{k_1 \cdot \alpha_b \cdot f_u \cdot d \cdot t}{\gamma_{M2}} = \frac{2.5 \cdot 0.784 \cdot 360 \cdot 16 \cdot 8}{1.25}$$

$$F_{b,Rd} = 7.225 \times 10^4 \text{ N}$$

$$F_{V,Rd} \leq F_{b,Rd}$$

$$39.071 \leq 72.25 \text{ kN} \quad \text{Vyhovuje}$$

6.1.3 POSOUZENÍ - STYČNÍKOVÉHO PLECHU

$$\text{plocha: } A_p = h \cdot t = 140 \cdot 8$$

$$A_p = 1.12 \times 10^3 \text{ mm}^2$$

oslabená plocha:

$$A_{net} = A_p - n_b (d_0 \cdot t) = 140 \cdot 8 - 2 \cdot (17 \cdot 8)$$

$$A_{net} = 848 \text{ mm}^2$$

SMYK:

$$V_{Ed} = 39.071 \text{ kN}$$

$$V_{c,Rd} = \frac{A_{net} f_u}{\sqrt{3} \cdot \gamma_{M2}} = \frac{[140 \cdot 8 - 2 \cdot (17 \cdot 8)] \cdot 360}{(\sqrt{3} \cdot 1.25)}$$

$$V_{c,Rd} = 1.41 \times 10^5 \text{ N}$$

$$V_{Ed} \leq V_{c,Rd}$$

$$39.071 \leq 141 \text{ kN}$$

Vyhovuje

6.1.4 POSOUZENÍ - SVARU plech-právylak

návrh: $a = 4 \text{ mm}$

délka: $l = h - 2 \cdot a = 140 - 2 \cdot 4$

$l = 132 \text{ mm}$

účinná plocha: $A_w = a \cdot l = 4 \cdot (140 - 2 \cdot 4)$

$$A_w = 528 \text{ mm}^2$$

Moment:

$$M_{Ed} = V_{Ed} \cdot e = 39071 \cdot 45$$

$$M_{Ed} = 1.758 \times 10^6 \text{ kNm}$$

Modul průřezu svaru: $W_w = \frac{a l^2}{6} = \frac{4 \cdot 132^2}{6}$
 $W_w = 1.162 \times 10^4 \text{ mm}^4$

$$\sigma = \frac{M_{Ed}}{W_w} = \frac{1.758 \cdot 10^6}{11620}$$

$$\sigma = 151.291 \text{ MPa}$$

$$\sigma_{kol} = \frac{\sigma}{\sqrt{2}} = \frac{151.291}{\sqrt{2}} \quad \tau_{kol} = \frac{\sigma}{\sqrt{2}} = \frac{151.291}{\sqrt{2}}$$

$$\sigma_{kol} = 106.979 \text{ MPa} \quad \tau_{kol} = 106.979 \text{ MPa}$$

$$\tau_{rov} = \frac{V_{Ed}}{2 \cdot A_w} = \frac{39071}{(2 \cdot 528)}$$

$$\tau_{rov} = 36.999 \text{ MPa}$$

$$\beta_w = 0.8$$

$$\sqrt{\sigma_{kol}^2 + 3 \cdot (\tau_{kol}^2 + \tau_{rov}^2)} \leq \frac{f_u}{\beta_w \gamma_{M2}} \rightarrow \sqrt{106.979^2 + 3 \cdot (106.979^2 + 36.999^2)} \leq \frac{360}{(0.8 \cdot 1.25)}$$

$$\sqrt{\sigma_{kol}^2 + 3 \cdot (\tau_{kol}^2 + \tau_{rov}^2)} = \sqrt{106.979^2 + 3 \cdot (106.979^2 + 36.999^2)} = 223.349 \text{ MPa}$$

$$\frac{f_u}{\beta_w \gamma_{M2}} = \frac{360}{(0.8 \cdot 1.25)} = 360 \text{ MPa}$$

$$223.35 \leq 360$$

Vyhovuje

$$\sigma_{kol} \leq \frac{0.9 \cdot f_u}{\gamma_{M2}} \rightarrow 106.979 \leq \frac{0.9 \cdot 360}{1.25}$$

$$\frac{0.9 \cdot f_u}{\gamma_{M2}} \rightarrow \frac{0.9 \cdot 360}{1.25} = 259.2 \text{ MPa}$$

$$106.979 \leq 259.2$$

Vyhovuje

6.2 SPOJ PRŮVLAK SLOUP

Průvlak běžný IPE 450, Sloup HEB 500

ŠROUBY:

Průměr šroubu	6x M12 8.8
Průměr otvoru	$d = 12 \text{ mm}$
Průměr hlavy šroubu	$d_0 = 13 \text{ mm}$
Plocha dříku šroubu	$A = 113 \text{ mm}^2$
Plocha jádra šroubu	$A_s = 84.3 \text{ mm}^2$

Počet šroubů

6

ČELNÍ DESKA

Tloušťka	$t_p = 10 \text{ mm}$
Ocel:	S 235
Mez kluzu	$f_y = 235 \text{ MPa}$
Mez pevnosti	$f_u = 360 \text{ MPa}$

PPRŮVLAK

Tloušťka stojny	IPE 450
Tloušťka pasnic	$t_w = 9,4 \text{ mm}$
Ocel	$t_f = 14,6 \text{ mm}$

SLOUP

Tloušťka pásnic	HEB 500
Ocel	$t_f = 28 \text{ mm}$

Návrhové vnitřní sily:

Vnitřní sily dle programu RFEM

KZ 23

$$\Sigma 1,35*G + 1,5*(\text{plné}) + 1,5*0,6*(\text{vitr B})$$

Prut č. 10 552

Vnitřní sily dle ručního výpočtu:

$$V_{z,Ed} = 114.927 \text{ kN}$$

$$N_{Ed} = 41.221 \text{ kN}$$

$$V_{z,Ed} = 130.23 \text{ kN}$$

Návrh a kontrola roztečí:

Rozdíl v $V_{z,Ed}$ je dán použitým součinitelem α_n který je zahrnut v ZS 23

$$t = \min(t_p, t_f) = \min(10, 28) = 10 \text{ mm}$$

$$e_1 = e_2 = 50 \text{ mm}$$

$$e_{1,\min} = e_{2,\min} = 1.2 * d_0 = 1.2 * 13 = 15.6 \text{ mm}$$

$$e_{1,\max} = e_{2,\max} = 4*t + 40 = 4*10 + 40 = 80 \text{ mm}$$

$$e_{1,\min} \leq e_1 \leq e_{1,\max}$$

$$15.6 \leq 50 \leq 80$$

Vyhovuje

$$p_1 = 100 \text{ mm}$$

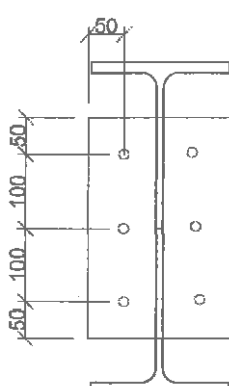
$$p_{1,\min} = 2.2 * d_0 = 2.2 * 13 = 28.6 \text{ mm}$$

$$p_{1,\max} = \min(14*t; 200) = \min(14*10; 200) = 140 \text{ mm}$$

$$p_{1,\min} \leq p_1 \leq p_{1,\max}$$

$$28.6 \leq 100 \leq 140$$

Vyhovuje



6.2.1 POSOUZENÍ - STŘIH

počet šroubů:

$$n_b = 6$$

$$F_{V,Ed} = \frac{V_{z,Ed}}{n_b} = \frac{130.23}{6}$$

pro šrouby 8.8

$$\alpha_v = 0.6$$

$$F_{V,Ed} = 21.705 \text{ kN}$$

Únosnost ve střihu:

$$F_{V,Rd} = \frac{\alpha_v f_{ub} A_s}{\gamma_{M2}} = \frac{0.6 \cdot 800 \cdot 84.3}{1.25}$$

$$F_{V,Rd} = 32.371 \times 10^3 \text{ N}$$

$$F_{V,Ed} \leq F_{V,Rd}$$

$$21.705 \leq 32.371 \text{ kN} \quad \text{Vyhovuje}$$

6.2.2 POSOUZENÍ - OTLAČENÍ

$$F_{V,Ed} = 21.705 \text{ kN}$$

$$k_1 = \min((2.8 \cdot e_2 / d_0) - 1.7 ; 2.5) = \min((2.8 \cdot 50/13) - 1.7 ; 2.5) = \min(9.069 ; 2.5) = 2.5$$

$$\alpha_d = \min(e_1 / 3 \cdot d_0 ; (p_1 / 3 \cdot d_0) - 1/4) = \min(50/3 \cdot 13 ; 100/3 \cdot 13 - 1/4) = \min(1.282 ; 2.314) = 1.282$$

$$\alpha_b = \min(\alpha_d ; f_{ub} / f_u ; 1.0) = \min(1.282 ; 800/360 ; 1.00) = \min(1.282 ; 2.22 ; 1.00) = 1.00$$

$$F_{b,Rd} = \frac{k_1 \cdot \alpha_b \cdot f_u \cdot d \cdot t}{\gamma_{M2}} = \frac{2.5 \cdot 1.00 \cdot 360 \cdot 12 \cdot 10}{1.25}$$

$$F_{b,Rd} = 8.64 \times 10^4 \text{ N}$$

$$F_{V,Rd} \leq F_{b,Rd}$$

$$21.705 \leq 86.4 \text{ kN} \quad \text{Vyhovuje}$$

6.2.3 POSOUZENÍ - TAH

$$F_{t,Ed} = \frac{N_{Ed}}{n_b} = \frac{41.221}{6}$$

$$k_2 = 0.9$$

$$F_{t,Ed} = 6.87 \text{ kN}$$

$$F_{t,Rd} = \frac{k_2 \cdot A_s \cdot f_{ub}}{\gamma_{M2}} = \frac{0.9 \cdot 84.3 \cdot 800}{1.25}$$

$$F_{t,Rd} = 4.856 \times 10^4 \text{ N}$$

$$F_{t,Ed} \leq N_{t,Rd}$$

$$6.87 \leq 48.560 \text{ kN}$$

Vyhovuje

6.2.4 POSOUZENÍ - PROTTLAČENÍ

$$B_{p,Rd} = \frac{0.6 \cdot \pi \cdot d_m \cdot t_p \cdot f_u}{\gamma_{M2}} = \frac{0.6 \cdot \pi \cdot 20.45 \cdot 10 \cdot 360}{1.25}$$

$$B_{p,Rd} = 1.11 \times 10^5 \text{ N}$$

$$F_{t,Ed} \leq B_{p,Rd}$$

$$6.87 \leq 111 \text{ kN}$$

Vyhovuje

6.2.5 POSOUZENÍ - ČELNÍ DESKY

plocha: $A_p = b \cdot t = 300 \cdot 10$

$$A_p = 3 \times 10^3 \text{ mm}^2$$

oslabená plocha:

$$A_{\text{net}} = A_p - n_b \cdot (d_0 \cdot t) = 300 \cdot 10 - 3 \cdot (13 \cdot 10)$$

$$A_{\text{net}} = 2.61 \times 10^3 \text{ mm}^2$$

$$V_{z,Ed} = 130.23 \text{ kN}$$

$$V_{c,Rd} = \frac{A_{\text{net}} f_u}{\sqrt{3 \gamma_M 2}} = \frac{[300 \cdot 10 - 3 \cdot (13 \cdot 10)] \cdot 360}{(\sqrt{3} \cdot 1.25)}$$

$$V_{c,Rd} = 4.34 \times 10^5 \text{ N}$$

$$V_{Ed} \leq V_{c,Rd}$$

$$130.23 \leq 434 \text{ kN} \quad \text{Vyhovuje}$$

6.2.6 POSOUZENÍ - SVARU stojna - čelní deska

návrh: $a = 5 \text{ mm}$

délka: $l = h - 2 \cdot a = 300 - 2 \cdot 5$

$$l = 290 \text{ mm}$$

účinná plocha:

$$A_w = a \cdot l = 5 \cdot (300 - 2 \cdot 5)$$

$$A_w = 1.45 \times 10^3 \text{ mm}^2$$

$$\sigma = \frac{N_{Ed}}{A_w} = \frac{41221}{1450}$$

$$\sigma = 28.428 \text{ MPa}$$

$$\sigma_{\text{kol}} = \frac{\sigma}{\sqrt{2}} = \frac{28.428}{\sqrt{2}}$$

$$\sigma_{\text{kol}} = 20.102 \text{ MPa}$$

$$\tau_{\text{kol}} = \frac{\sigma}{\sqrt{2}} = \frac{28.428}{\sqrt{2}}$$

$$\tau_{\text{kol}} = 20.102 \text{ MPa}$$

$$\tau_{\text{rov}} = \frac{V_{z,Ed}}{2A_w} = \frac{130230}{(2 \cdot 1450)}$$

$$\tau_{\text{rov}} = 44.907 \text{ MPa}$$

$$\beta_w = 0.8$$

$$\sqrt{\sigma_{\text{kol}}^2 + 3 \cdot (\tau_{\text{kol}}^2 + \tau_{\text{rov}}^2)} \leq \frac{f_u}{\beta_w \cdot \gamma_M 2} \rightarrow \sqrt{20.102^2 + 3 \cdot (20.102^2 + 44.907^2)} \leq \frac{360}{(0.8 \cdot 1.25)}$$

$$\sqrt{\sigma_{\text{kol}}^2 + 3 \cdot (\tau_{\text{kol}}^2 + \tau_{\text{rov}}^2)} = \sqrt{20.102^2 + 3 \cdot (20.102^2 + 44.907^2)} = 87.557 \text{ MPa}$$

$$\frac{f_u}{\beta_w \cdot \gamma_M 2} = \frac{360}{(0.8 \cdot 1.25)} = 360 \text{ MPa}$$

$$87.557 \leq 360$$

Vyhovuje

$$\sigma_{\text{kol}} \leq \frac{0.9 \cdot f_u}{\gamma_M 2} \rightarrow 20.102 \leq \frac{0.9 \cdot 360}{1.25}$$

$$\frac{0.9 \cdot f_u}{\gamma_M 2} \rightarrow \frac{0.9 \cdot 360}{1.25} = 259.2 \text{ MPa}$$

$$20.102 \leq 259.2$$

Vyhovuje

6.3 SPOJ ZTUŽIDLO - SLOUP

Ztužidlo (1.-8.) RD 40 na sloup HEB

ČEP:

Průměr šroubu	$d = 50 \text{ mm}$
Průměr otvoru	$d_0 = 51 \text{ mm}$
Plocha dříku šroubu	$A = 1260 \text{ mm}^2$
Elastický modul	$W_{el} = 6283,2 \text{ mm}^3$

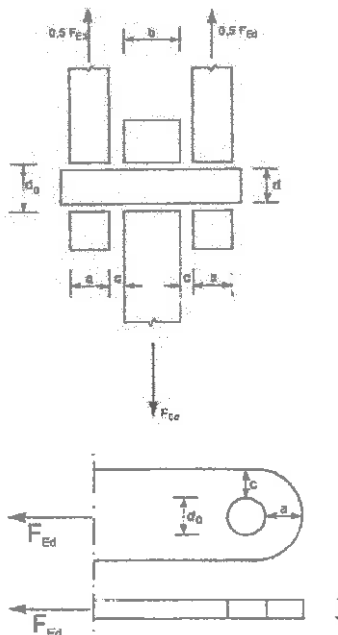
PLECH

Tloušťka	$t_p = 25 \text{ mm}$
Ocel:	S 355
Mez kluzu	$f_y = 355 \text{ MPa}$
Mez pevnosti	$f_u = 490 \text{ MPa}$

$$F_{Ed} = 359.116 \text{ kN}$$

$$\begin{aligned} d &= 0.050 \text{ m} & a &= 0.02 \text{ m} & f_y &= 355 \cdot 10^3 \text{ kPa} \\ d_0 &= 0.051 \text{ m} & b &= 0.025 \text{ m} & f_{up} &= 490 \cdot 10^3 \text{ kPa} \\ t &= 0.025 \text{ m} & c &= 0.005 \text{ m} & W_{el} &= 12.2718 \cdot 10^{-6} \text{ m}^3 \\ & & & & A &= 0.00196 \text{ m}^2 \end{aligned}$$

Konstrukční zásady:



únosnost ve střihu:

$$F_{V,Rd} = \frac{0.6 \cdot A \cdot f_{up}}{\gamma_{M2}} = \frac{0.6 \cdot 0.00196 \cdot (490 \cdot 10^3)}{1.25} = 460.99 \text{ kN}$$

$$F_{V,Rd} = 460.99 \text{ kN}$$

únosnost plechu a čepu v otlačení:

$$F_{b,Rd} = \frac{1.5 \cdot t \cdot d \cdot f_y}{\gamma_{M0}} = \frac{1.5 \cdot 0.025 \cdot 0.050 \cdot (355 \cdot 10^3)}{1.00} = 665 \text{ kN}$$

$$F_{b,Rd} = 665 \text{ kN}$$

únosnost v ohybu:

$$M_{Ed} = \frac{F_{Ed}}{8} \cdot (b + 4 \cdot c + 2 \cdot a) = \frac{359.116}{8} \cdot (0.025 + 4 \cdot 0.005 + 2 \cdot 0.02) = 3.816 \text{ kNm}$$

$$M_{Ed} = 3.816 \text{ kNm}$$

$$M_{Rd} = \frac{1.5 \cdot W_{el} \cdot f_y}{\gamma_{M0}} = \frac{1.5 \cdot (12.2718 \cdot 10^{-6}) \cdot (355 \cdot 10^3)}{1.00} = 6.535 \text{ kNm}$$

$$M_{Rd} = 6.535 \text{ kNm}$$

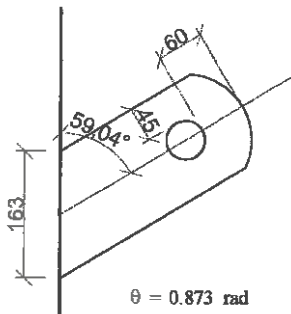
kombinace:

$$\left(\frac{M_{Ed}}{M_{Rd}} \right)^2 + \left(\frac{F_{Ed}}{F_{V,Rd}} \right)^2 \leq 1.00$$

$$\left(\frac{M_{Ed}}{M_{Rd}} \right)^2 + \left(\frac{F_{Ed}}{F_{V,Rd}} \right)^2 = \left(\frac{3.816}{6.535} \right)^2 + \left(\frac{359.116}{460.99} \right)^2 = 0.948$$

0.948 < 1.00 **Vyhovuje**

Posouzení svaru styčníkového plechu na sloup:



návrh: $a = 8 \text{ mm}$

délka:

$l = 160 \text{ mm}$

účinná plocha:

$$A_w = a \cdot l = 8 \cdot 160$$

$$A_w = 1.28 \times 10^3 \text{ mm}^2$$

$$F_{rov} = \cos(\theta) \cdot F_{Ed} = \cos(0.873) \cdot 359.116$$

$$F_{rov} = 230.743$$

$$F_{kol} = \sin(\theta) \cdot F_{Ed} = \sin(0.873) \cdot 359.116$$

$$F_{kol} = 275.176$$

$$\sigma = \frac{F_{kol}}{3A_w} = \frac{275176}{(3 \cdot 1280)}$$

$$\sigma = 71.66 \text{ MPa}$$

$$\sigma_{kol} = \frac{\sigma}{\sqrt{2}} = \frac{71.66}{\sqrt{2}}$$

$$\sigma_{kol} = 50.671 \text{ MPa}$$

$$\tau_{kol} = \frac{\sigma}{\sqrt{2}} = \frac{71.66}{\sqrt{2}}$$

$$\tau_{kol} = 50.671 \text{ MPa}$$

$$\tau_{rov} = \frac{F_{rov}}{3A_w} = \frac{230743}{(3 \cdot 1280)}$$

$$\tau_{rov} = 60.089 \text{ MPa}$$

$$\beta_w = 0.8$$

$$\sqrt{\sigma_{kol}^2 + 3 \cdot (\tau_{kol}^2 + \tau_{rov}^2)} \leq \frac{f_u}{\beta_w \cdot \gamma_{M2}} \rightarrow \sqrt{50.671^2 + 3 \cdot (50.671^2 + 60.089^2)} \leq \frac{360}{(0.8 \cdot 1.25)}$$

$$\sqrt{\sigma_{kol}^2 + 3 \cdot (\tau_{kol}^2 + \tau_{rov}^2)} = \sqrt{50.671^2 + 3 \cdot (50.671^2 + 60.089^2)} = 145.266 \text{ MPa}$$

$$\frac{f_u}{\beta_w \cdot \gamma_{M2}} = \frac{360}{(0.8 \cdot 1.25)} = 360 \text{ MPa}$$

$$145.266 \leq 360$$

Vyhovuje

$$\sigma_{kol} \leq \frac{0.9 \cdot f_u}{\gamma_{M2}} \rightarrow 50.671 \leq \frac{0.9 \cdot 360}{1.25}$$

$$\frac{0.9 \cdot f_u}{\gamma_{M2}} \rightarrow \frac{0.9 \cdot 360}{1.25} = 259.2 \text{ MPa}$$

$$60.089 \leq 259.2$$

Vyhovuje

6.4 SPOJ ZTUŽIDLO - SLOUP

Ztužidlo (9.-16.) RD 40 na sloup HEB

ČEP:

Průměr šroubu	$d = 40 \text{ mm}$
Průměr otvoru	$d_0 = 41 \text{ mm}$
Plocha dílku šroubu	$A = 1260 \text{ mm}^2$
Elastický modul	$W_{el} = 6283,2 \text{ mm}^3$

PLECH

Tloušťka	$t_p = 25 \text{ mm}$
Ocel:	S 355
Mez kluzu	$f_y = 355 \text{ MPa}$
Mez pevnosti	$f_u = 490 \text{ MPa}$

$$F_{Ed} = 139.663 \text{ kN} \quad \text{Prut č. 6974}$$

$$\begin{aligned} d &= 0.035 \text{ m} & a &= 0.015 \text{ m} & f_y &= 355 \cdot 10^3 \text{ kPa} \\ d_0 &= 0.036 \text{ m} & b &= 0.02 \text{ m} & f_{up} &= 490 \cdot 10^3 \text{ kPa} \\ t &= 0.02 \text{ m} & c &= 0.005 \text{ m} & W_{el} &= 4.2092 \cdot 10^{-6} \text{ m}^3 \\ &&&&& A = 0.000962 \text{ m}^2 \end{aligned}$$

Konstrukční zásady:

$$a \geq \frac{F_{Ed} \gamma M_0}{2 \cdot t \cdot f_y} + \frac{2 \cdot d_0}{3}$$

$$\frac{F_{Ed} \gamma M_0}{2 \cdot t \cdot f_y} + \frac{2 \cdot d_0}{3} = \frac{139.663 \cdot 1.00}{[2 \cdot 0.02 \cdot (355 \cdot 10^3)]} + \frac{2 \cdot 0.036}{3} = 0.034$$

$$c \geq \frac{F_{Ed} \gamma M_0}{2 \cdot t \cdot f_y} + \frac{d_0}{3}$$

$$\frac{F_{Ed} \gamma M_0}{2 \cdot t \cdot f_y} + \frac{d_0}{3} = \frac{139.663 \cdot 1.00}{[2 \cdot 0.02 \cdot (355 \cdot 10^3)]} + \frac{0.036}{3} = 0.022$$

únosnost ve střihu:

$$F_{V,Rd} = \frac{0.6 \cdot A \cdot f_{up}}{\gamma M_2} = \frac{0.6 \cdot 0.000962 \cdot (490 \cdot 10^3)}{1.25}$$

$$F_{V,Rd} = 226.26 \text{ kN}$$

únosnost plechu a čepu v otlacení:

$$F_{b,Rd} = \frac{1.5 \cdot t \cdot d \cdot f_y}{\gamma M_0} = \frac{1.5 \cdot 0.02 \cdot 0.035 \cdot (355 \cdot 10^3)}{1.00}$$

$$F_{b,Rd} = 372 \text{ kN}$$

únosnost v ohybu:

$$M_{Ed} = \frac{F_{Ed}}{8} \cdot (b + 4c + 2a) = \frac{139.663}{8} \cdot (0.02 + 4 \cdot 0.005 + 2 \cdot 0.015)$$

$$M_{Ed} = 1.222 \text{ kNm}$$

$$M_{Rd} = \frac{1.5 \cdot W_{el} f_y}{\gamma M_0} = \frac{1.5 \cdot (4.2092 \cdot 10^{-6}) \cdot (355 \cdot 10^3)}{1.00}$$

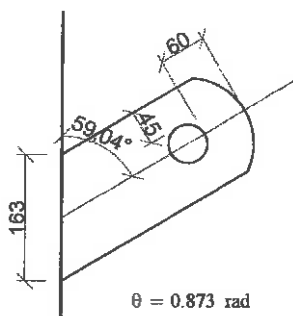
$$M_{Rd} = 2.241 \text{ kNm}$$

kombinace:

$$\left(\frac{M_{Ed}}{M_{Rd}} \right)^2 + \left(\frac{F_{Ed}}{F_{V,Rd}} \right)^2 \leq 1.00$$

$$\left(\frac{M_{Ed}}{M_{Rd}} \right)^2 + \left(\frac{F_{Ed}}{F_{V,Rd}} \right)^2 = \left(\frac{1.222}{2.241} \right)^2 + \left(\frac{139.663}{226.26} \right)^2 = 0.678$$

0.678 < 1.00 **Vyhovuje**



Posouzení svaru styčníkového plechu na sloup:

návrh: $a = 6 \text{ mm}$

délka:

$l = 160 \text{ mm}$

účinná plocha: $A_w = a \cdot l = 6 \cdot 160$

$$A_w = 960 \text{ mm}^2$$

$$F_{rov} = \cos(\theta) \cdot F_{Ed} = \cos(0.873) \cdot 139.663$$

$$F_{rov} = 89.738 \text{ kN}$$

$$F_{kol} = \sin(\theta) \cdot F_{Ed} = \sin(0.873) \cdot 139.663$$

$$F_{kol} = 107.018 \text{ kN}$$

$$\sigma = \frac{F_{kol}}{3A_w} = \frac{107018}{(3 \cdot 960)}$$

$$\sigma = 37.159 \text{ MPa}$$

$$\sigma_{kol} = \frac{\sigma}{\sqrt{2}} = \frac{37.159}{\sqrt{2}}$$

$$\sigma_{kol} = 26.275 \text{ MPa}$$

$$\tau_{kol} = \frac{\sigma}{\sqrt{2}} = \frac{37.159}{\sqrt{2}}$$

$$\tau_{kol} = 26.275 \text{ MPa}$$

$$\tau_{rov} = \frac{F_{rov}}{3A_w} = \frac{89738}{(3 \cdot 960)}$$

$$\tau_{rov} = 31.159 \text{ MPa}$$

$$\beta_w = 0.8$$

$$\sqrt{\sigma_{kol}^2 + 3 \cdot (\tau_{kol}^2 + \tau_{rov}^2)} \leq \frac{f_u}{\beta_w \cdot \gamma_{M2}} \rightarrow \sqrt{26.275^2 + 3 \cdot (26.275^2 + 31.159^2)} \leq \frac{360}{(0.8 \cdot 1.25)}$$

$$\sqrt{\sigma_{kol}^2 + 3 \cdot (\tau_{kol}^2 + \tau_{rov}^2)} = \sqrt{26.275^2 + 3 \cdot (26.275^2 + 31.159^2)} = 75.327 \text{ MPa}$$

$$\frac{f_u}{\beta_w \cdot \gamma_{M2}} = \frac{360}{(0.8 \cdot 1.25)} = 360 \text{ MPa}$$

$$75.327 \leq 360$$

Vyhovuje

$$\sigma_{kol} \leq \frac{0.9 \cdot f_u}{\gamma_{M2}} \rightarrow 26.275 \leq \frac{0.9 \cdot 360}{1.25}$$

$$\frac{0.9 \cdot f_u}{\gamma_{M2}} \rightarrow \frac{0.9 \cdot 360}{1.25} = 259.2 \text{ MPa}$$

$$31.159 \leq 259.2$$

Vyhovuje

6.5 SPOJ VAZNICE VAZNÍK

Stropnice běžná IPE 240, průvlak IPE 450

ŠROUBY:	2x M12 6.8
Průměr šroubu	d= 12 mm
Průměr otvoru	d ₀ = 13 mm
Průměr hlavy šroubu	d _m = 20,45 mm
Plocha dříku šroubu	A= 113 mm ²
Plocha jádra šroubu	A _s = 84,3 mm ²

Počet šroubů	2
--------------	---

STYČNÍKOVÝ PLECH

Tloušťka	t _{p1} = 6 mm
Ocel:	S 235
Mez kluzu	f _y = 235 MPa
Mez pevnosti	f _u = 360 MPa

VAZNICE	RHS 140x80x4
Tloušťka styč. plechu	t _{p2} = 6 mm
Ocel	S 235

VAZNÍK	CHS 273x6
Tloušťka stěny	t= 6 mm
Ocel	S 235

Návrhové vnitřní síly:

Vnitřní síly dle programu RFEM

KZ 23

$$\Sigma 1,35*G + 1,5*(sníh) + 1,5*0,7*(plné)$$

Prut č. 11 521

$$V_{Ed} = 12.023 \text{ kN}$$

Návrh a kontrola roztečí:

$$N_{Ed} = 10.394 \text{ kN}$$

$$t = \min(t_{p1}; t_{p2}) = \min(6; 6) = 6 \text{ mm}$$

$$e_1 = e_2 = 30 \text{ mm}$$

$$e_{1,min} = e_{2,min} = 1.2 * d_0 = 1.2 * 13 = 15.6 \text{ mm}$$

$$e_{1,max} = e_{2,max} = 4*t + 40 = 4*6 + 40 = 64 \text{ mm}$$

$$e_{1,min} \leq e_1 \leq e_{1,max}$$

$$15.6 \leq 30 \leq 64$$

Vyhovuje

$$p_1 = 60 \text{ mm}$$

$$p_{1,min} = 2.2 * d_0 = 2.2 * 13 = 28.6 \text{ mm}$$

$$p_{1,max} = \min(14*t; 200) = \min(14*6; 200) = 84 \text{ mm}$$

$$p_{1,min} \leq p_1 \leq p_{1,max}$$

$$28.6 \leq 60 \leq 84$$

Vyhovuje

$$F_{Ed} = \sqrt{V_{Ed}^2 + N_{Ed}^2} = \sqrt{12.023^2 + 10.394^2}$$

$$F_{Ed} = 15.893 \text{ kN}$$

6.5.1 POSOUZENÍ - STŘIH

počet šroubů:

$$n_b = 2$$

$$F_{V,Ed} = \frac{F_{Ed}}{n_b} = \frac{15.893}{2}$$

$$\alpha_v = 0.5$$

$$F_{V,Ed} = 7.947 \text{ kN}$$

Únosnost ve střihu:

$$F_{V,Rd} = \frac{\alpha_v f_{ub} A_s}{\gamma_{M2}} = \frac{0.5 \cdot 600 \cdot 84.3}{1.25}$$

$$F_{V,Rd} = 20.232 \times 10^3$$

$$F_{V,Ed} \leq F_{V,Rd}$$

$$7.947 \leq 20.232 \text{ kN} \quad \text{Vyhovuje}$$

6.5.2 POSOUZENÍ - OTLAČENÍ

$$F_{V,Ed} = 7.947 \text{ kN}$$

$$k_1 = \min((2.8 \cdot e_2 / d_0) - 1.7 ; 2.5) = \min((2.8 \cdot 30/13) - 1.7 ; 2.5) = \min(4.762 ; 2.5) = 2.5 \\ a_d = \min(e_1 / 3 \cdot d_0 ; (p_1 / 3 \cdot d_0) - 1/4) = \min(30/3 \cdot 13 ; 60/3 \cdot 13 - 1/4) = \min(0.769 ; 1.288) = 0.769 \\ a_b = \min(a_d ; f_{ub} / f_u ; 1.0) = \min(0.769 ; 800/360 ; 1.00) = \min(0.77 ; 2.22 ; 1.00) = 0.769$$

$$F_{b,Rd} = \frac{k_1 \cdot a_b \cdot f_u \cdot d \cdot t}{\gamma_{M2}} = \frac{2.5 \cdot 0.769 \cdot 360 \cdot 12 \cdot 6}{1.25} \\ F_{b,Rd} = 3.986 \times 10^4$$

$$F_{V,Rd} \leq F_{b,Rd}$$

$$7.947 \leq 39.86 \text{ kN} \quad \text{Vyhovuje}$$

6.5.3 POSOUZENÍ - STYČNÍKOVÉHO PLECHU

$$\text{plocha: } A_p = h \cdot t = 120 \cdot 6$$

$$A_p = 720 \text{ mm}^2$$

oslabená plocha:

$$A_{net} = A_p - n_b (d_0 \cdot t) = 120 \cdot 6 - 2 \cdot (13 \cdot 6)$$

$$A_{net} = 564 \text{ mm}^2$$

SMYK:

$$V_{Ed} = 12.023 \text{ kN}$$

$$V_{c,Rd} = \frac{A_{net} f_u}{\sqrt{3} \cdot \gamma_{M2}} = \frac{[120 \cdot 6 - 2 \cdot (13 \cdot 6)] \cdot 360}{(\sqrt{3} \cdot 1.25)}$$

$$V_{c,Rd} = 9.378 \times 10^4 \text{ N}$$

$$V_{Ed} \leq V_{c,Rd}$$

$$12.023 \leq 93.78 \text{ kN}$$

Vyhovuje

TAH:

$$F_{t,Ed} = 10.394 \text{ kN}$$

$$N_{t,Rd} = \frac{0.9 \cdot A_{net} f_u}{\gamma_{M2}} = \frac{0.9 \cdot [120 \cdot 6 - 2 \cdot (13 \cdot 6)] \cdot 360}{1.25}$$

$$N_{t,Rd} = 1.462 \times 10^5 \text{ N}$$

$$F_{t,Ed} \leq N_{t,Rd}$$

$$10.394 \leq 146.2 \text{ kN}$$

Vyhovuje

6.5.4 POSOUZENÍ - SVARU plech-prvek

Svary pro oba styčníkové plechy budou uvažovány na nejmenší možnou délku tj. h ve skutečnosti ale budou délky svarů větší z důvodu napojování na kruhové nebo šikmě hrany.

$$\text{návrh: } a = 4$$

$$\text{délka: } l = h - 2 \cdot a = 120 - 2 \cdot 4 \\ l = 112 \text{ mm}$$

$$\text{účinná plocha: } A_w = a \cdot l = 4 \cdot (120 - 2 \cdot 4) \\ A_w = 448 \text{ mm}^2$$

$$\text{Moment: } e = 100 \text{ mm}$$

$$M_{Ed} = V_{Ed} \cdot e = 12023 \cdot 100 \\ M_{Ed} = 1.202 \times 10^6 \text{ Nmm}$$

$$\text{Modul průřezu svaru: } W_w = \frac{a \cdot l^2}{6} = \frac{4 \cdot (120 - 2 \cdot 4)^2}{6}$$

$$W_w = 8.363 \times 10^3 \text{ mm}^3$$

$$\sigma = \frac{M_{Ed}}{W_w} = \frac{1.202 \cdot 10^6}{8363}$$

$$\sigma = 143.728 \text{ MPa}$$

$$\sigma_{kol} = \frac{\sigma}{\sqrt{2}} = \frac{143.728}{\sqrt{2}} \quad \tau_{kol} = \frac{\sigma}{\sqrt{2}} = \frac{143.728}{\sqrt{2}} \quad \tau_{rov} = \frac{V_{Ed}}{2 \cdot A_w} = \frac{12023}{(2 \cdot 448)}$$

$$\sigma_{kol} = 101.631 \text{ MPa} \quad \tau_{kol} = 101.631 \text{ MPa} \quad \tau_{rov} = 13.419 \text{ MPa}$$

$$\sqrt{\sigma_{kol}^2 + 3 \cdot (\tau_{kol}^2 + \tau_{rov}^2)} \leq \frac{f_u}{\beta_w \gamma_{M2}} \rightarrow \sqrt{101.631^2 + 3 \cdot (101.631^2 + 13.419^2)} \leq \frac{360}{(\beta_w \cdot 1.25)}$$

$$\sqrt{\sigma_{kol}^2 + 3 \cdot (\tau_{kol}^2 + \tau_{rov}^2)} = \sqrt{101.631^2 + 3 \cdot (101.631^2 + 13.419^2)} = 204.587$$

$$\frac{f_u}{\beta_w \gamma_{M2}} = \frac{360}{(0.8 \cdot 1.25)} = 360$$

$$204.587 \leq 360$$

Vyhovuje

$$\sigma_{kol} \leq \frac{0.9 \cdot f_u}{\gamma_{M2}} \rightarrow 101.631 \leq \frac{0.9 \cdot 360}{1.25}$$

$$\frac{0.9 \cdot f_u}{\gamma_{M2}} \rightarrow \frac{0.9 \cdot 360}{1.25} = 259.2 \quad 101.631 \leq 259.2$$

Vyhovuje

6.6 ČEPOVÝ SPOJ VAZNÍKU S ATRIEM

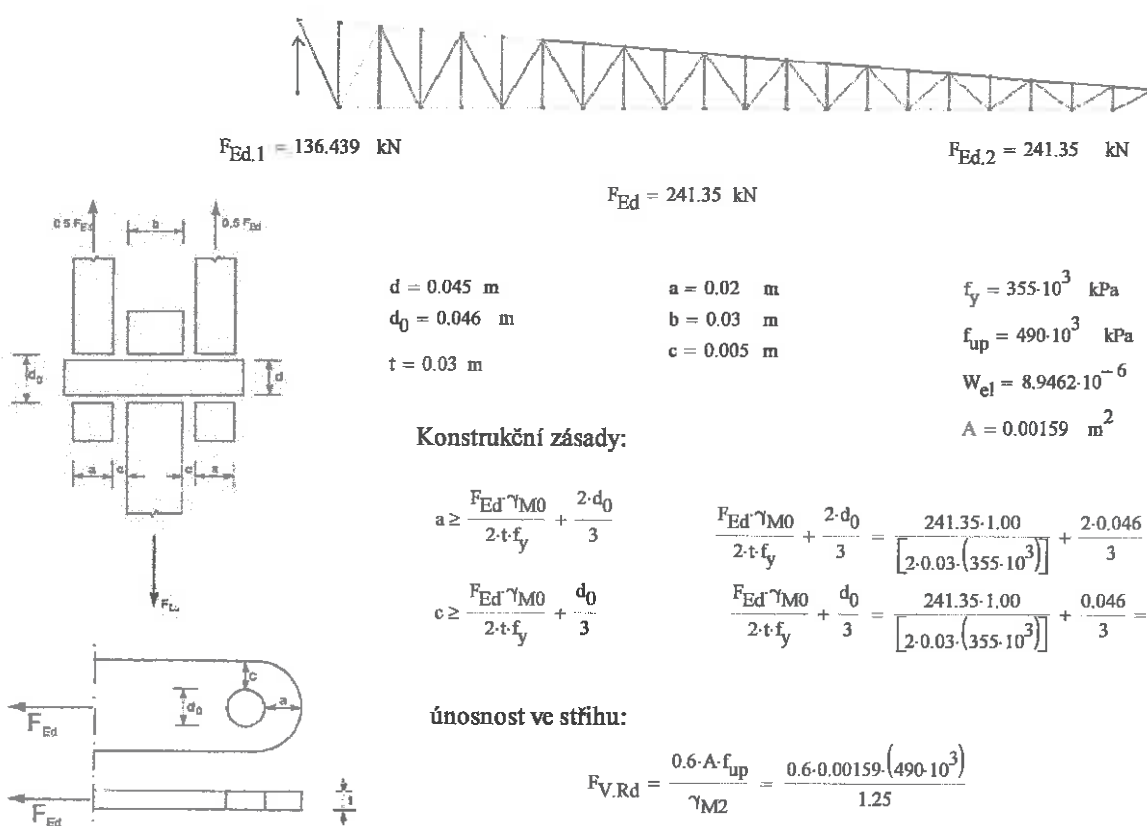
ČEP:

Průměr šroubu	$d = 45 \text{ mm}$
Průměr otvoru	$d_0 = 46 \text{ mm}$
Plocha dířku šroubu	$A = 1590 \text{ mm}^2$
Elastický modul	$W_{el} = 8946,2 \text{ mm}^3$

PLECH

Tloušťka	$t_p = 30 \text{ mm}$
Ocel:	S 355
Mez kluzu	$f_y = 355 \text{ MPa}$
Mez pevnosti	$f_u = 490 \text{ MPa}$

Návrhové vnitřní síly:



únosnost plechu a čepu v otlačení:

$$F_{b,Rd} = \frac{1.5 \cdot t \cdot d \cdot f_y}{\gamma_{M0}} = \frac{1.5 \cdot 0.03 \cdot 0.045 \cdot (355 \cdot 10^3)}{1.00}$$

$$F_{b,Rd} = 718 \text{ kN}$$

únosnost v ohybu:

$$M_{Ed} = \frac{F_{Ed}}{8} \cdot (b + 4c + 2a) = \frac{241.35}{8} \cdot (0.03 + 4 \cdot 0.005 + 2 \cdot 0.02)$$

$$M_{Ed} = 2.715 \text{ kNm}$$

$$M_{Rd} = \frac{1.5 \cdot W_{el} f_y}{\gamma_{M0}} = \frac{1.5 \cdot (8.9462 \cdot 10^{-6}) \cdot (355 \cdot 10^3)}{1.00}$$

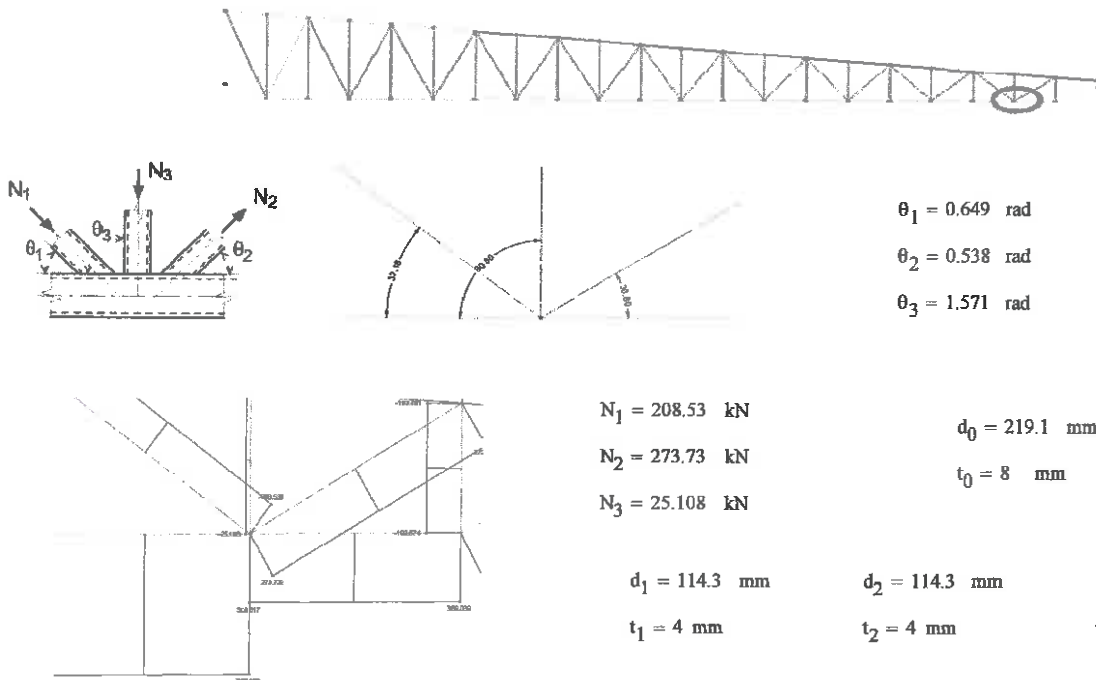
$$M_{Rd} = 4.764 \text{ kNm}$$

kombinace:

$$\left(\frac{M_{Ed}}{M_{Rd}} \right)^2 + \left(\frac{F_{Ed}}{F_{V,Rd}} \right)^2 \leq 1.00$$

$$\left(\frac{M_{Ed}}{M_{Rd}} \right)^2 + \left(\frac{F_{Ed}}{F_{V,Rd}} \right)^2 = \left(\frac{2.715}{4.764} \right)^2 + \left(\frac{241.35}{373.96} \right)^2 = 0.741$$

6.7 SPOJ PŘÍHRADOVÉHO VAZNÍKU



Posouzení na porušení povrchu pásu:

$$f_{y0} = 235 \text{ MPa}$$

$$\gamma = \frac{d_0}{2t_0} = \frac{219.1}{(2 \cdot 8)} = 13.694 \quad g = 114.3$$

$$k_g = \gamma^{0.2} \left[1 + \frac{0.024 \cdot \gamma^{1.2}}{0.5 \cdot \frac{g}{t_0} - 1.33} \right] = 13.694^{0.2} \left[1 + \frac{0.024 \cdot 13.694^{1.2}}{0.5 \cdot \left(\frac{114.3}{8} \right) - 1.33} \right]$$

$$k_g = 1.691$$

$$k_p = 1$$

$$N_{1,Rd} = \frac{\frac{k_g \cdot k_p \cdot f_{y0} \cdot t_0^2}{\sin(\theta_1)} \left[1.8 + 10.2 \cdot \left(\frac{d_1 + d_2 + d_3}{3 \cdot d_0} \right) \right]}{\gamma M5} = \frac{\frac{1.691 \cdot 1 \cdot 235.8^2}{\sin(0.649)} \left[1.8 + 10.2 \cdot \left(\frac{(114.3 + 114.3 + 114.3)}{(3 \cdot 219.1)} \right) \right]}{1.00}$$

$$N_{1,Rd} = 2.997 \times 10^5 \text{ N}$$

$$N_{1,Rd} = 299.7 \text{ kN}$$

$$N_1 \cdot \sin(\theta_1) + N_3 \cdot \sin(\theta_3) \leq N_{1,Rd} \cdot \sin(\theta_1)$$

$$N_1 \cdot \sin(\theta_1) + N_3 \cdot \sin(\theta_3) = 208.53 \cdot \sin(0.649) + 25.108 \cdot \sin(1.571) = 151.141$$

$$N_{1,Rd} \cdot \sin(\theta_1) = 299.7 \cdot \sin(0.649) = 181.136$$

$$151.141 < 181.136$$

Vyhovuje

$$N_2 \cdot \sin(\theta_2) \leq N_{1,Rd} \cdot \sin(\theta_1)$$

$$N_2 \cdot \sin(\theta_2) = 273.73 \cdot \sin(0.538) = 140.265$$

$$N_{1,Rd} \cdot \sin(\theta_1) = 299.7 \cdot \sin(0.649) = 181.136$$

$$140.265 < 181.136$$

Vyhovuje

Posouzení na prolomení smykkem:

$$N_{1,Rd} = \frac{f_y t_0}{\sqrt{3}} \cdot \pi \cdot d_1 \cdot \frac{1 + \sin(\theta_1)}{2 \cdot \sin(\theta_1)} = \frac{235}{\sqrt{3}} \cdot 8 \cdot \pi \cdot 114.3 \cdot \left[\frac{(1 + \sin(0.649))}{(2 \cdot \sin(0.649))} \right]$$

$$N_{1,Rd} = 5.173 \times 10^5 \text{ N}$$

$$N_{1,Rd} = 517.3 \text{ kN}$$

$$N_{1,Rd} \geq N_1$$

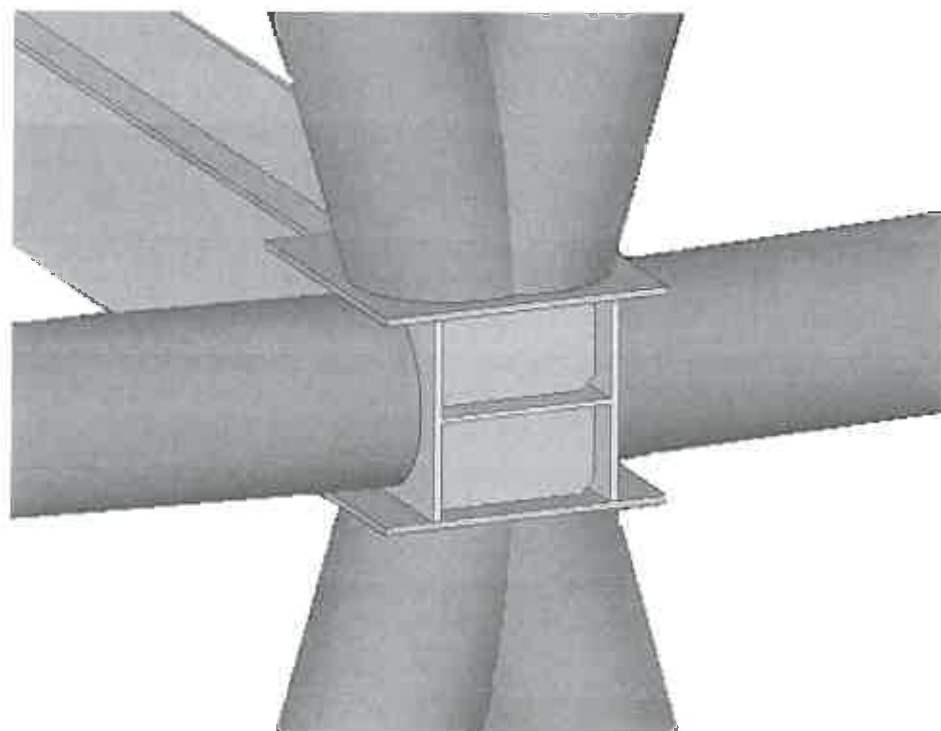
$$517.3 > 208.53$$

Vyhovuje

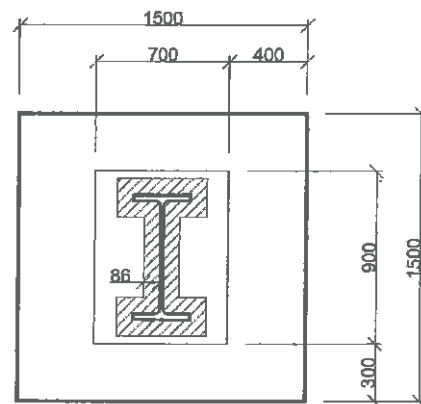
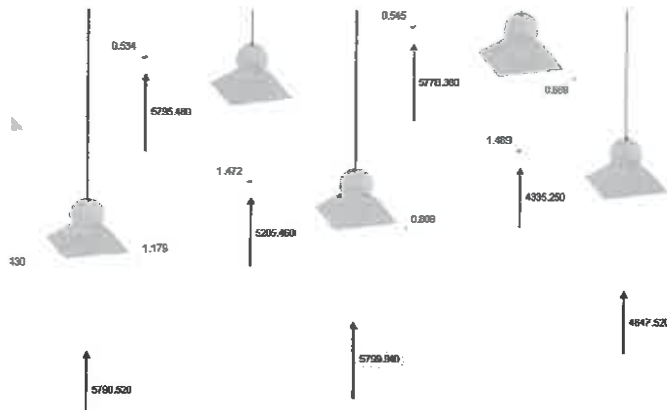
6.8 STYČNÍ ATRIA

Pruty CHS 244,5x10 a HEA 260

Tento styčník nebyl v diplomové práci podrobněji řešen, byl vypracován pouze jeho návrh s ohledem na vnitřní síly a nutnosti tuhého spojení prutů.



6.9 KOTVENÍ



$$\begin{aligned} a &= 0.7 \text{ m} & b &= 0.9 \text{ m} & t &= 0.04 \text{ m} & f_{ck} &= 20 \cdot 10^3 \text{ kPa} \\ a_t &= 0.4 \text{ m} & b_t &= 0.3 \text{ m} & & & f_y &= 355 \cdot 10^3 \text{ kPa} \\ h &= 1 \text{ m} & & & & & \end{aligned}$$

Maximální tlak:

KZ 6

$$\Sigma 1.35 \cdot G + 1.5 \cdot (\text{plné}) + 1.5 \cdot 0.5 \cdot (\text{sníh})$$

Vnitřní sily dle programu RFEM

$$N_{Ed} = 5799.94 \text{ kN}$$

$$\begin{aligned} a + 2 \cdot a_t &= 1.5 \text{ m} & b + 2 \cdot b_t &= 1.5 \text{ m} \\ 5 \cdot a &= 3.5 \text{ m} & 5 \cdot b &= 4.5 \text{ m} \\ a + h &= 1.7 \text{ m} \Rightarrow a_1 = 1.5 \text{ m} & b + h &= 1.9 \text{ m} \Rightarrow b_1 = 1.5 \text{ m} \\ 5 \cdot b_1 &= 7.5 \text{ m} & 5 \cdot a_1 &= 7.5 \text{ m} \end{aligned}$$

$$k_j = \sqrt{\frac{a_1 \cdot b_1}{a \cdot b}} = \sqrt{\frac{1.5 \cdot 1.5}{(0.7 \cdot 0.9)}}$$

$$k_j = 1.89$$

$$f_j = \frac{0.67 \cdot k_j \cdot f_{ck}}{\gamma_c} = \frac{0.67 \cdot 1.89 \cdot (20 \cdot 10^3)}{1.00}$$

$$f_j = 2.533 \times 10^4 \text{ kPa}$$

$$c = t \cdot \sqrt{\frac{f_y}{3 \cdot f_j \cdot \gamma_M 0}} = 0.04 \cdot \sqrt{\frac{355 \cdot 10^3}{3 \cdot (25.33 \cdot 10^3) \cdot 1.00}}$$

$$c = 0.086 \text{ m}$$

$$A_{eff} = 0.26984 \text{ m}^2$$

$$N_{Rd} = A_{eff} \cdot f_j = 0.26984 \cdot (25.33 \cdot 10^3)$$

$$N_{Rd} = 6.835 \times 10^3 \text{ kN}$$

$$N_{Rd} \geq N_{Ed}$$

$$6835 > 5799.94$$

Vyhovuje

Maximální H_{Ed}

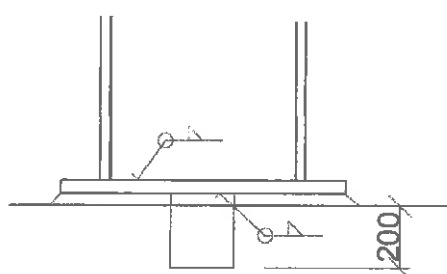
KZ 6

$$\Sigma 1,35 \cdot G + 1,5 \cdot (\text{vitr b}) + 1,5 \cdot 0,7 \cdot (\text{plné})$$

Vnitřní síly dle programu RFEM

$$H_{Ed} = 298.96 \text{ kN}$$

Vodorovná síla se bude přenášet smykovou zarážkou z odpalku HEB 200 délky 240 mm
Profil bude přivařen po celé délce koutovým svarem a 7



$$x = 0.24 \text{ m}$$

$$W_{pl} = 3.058 \cdot 10^{-4} \text{ m}^3$$

$$A_c = 0.2 \cdot 0.2 = 0.04 \text{ m}^2$$

$$F_{cd} = \frac{f_{ck} \cdot A_c}{\gamma_c} = \frac{20 \cdot 10^3 \cdot 0.04}{1.5}$$

$$F_{cd} = 533.333 \text{ kN}$$

$$\frac{H_{Ed}}{F_{cd}} \leq 1.00 \quad \frac{298.96}{533.333} = 0.561$$

$$0.561 < 1.00$$

Vyhovuje

$$M_{Ed} = H_{Ed} \cdot x = 298.96 \cdot 0.24$$

$$M_{Ed} = 71.75 \text{ kNm}$$

$$M_{Rd} = W_{pl} \cdot f_y = 3.058 \cdot 10^{-4} \cdot (355 \cdot 10^3)$$

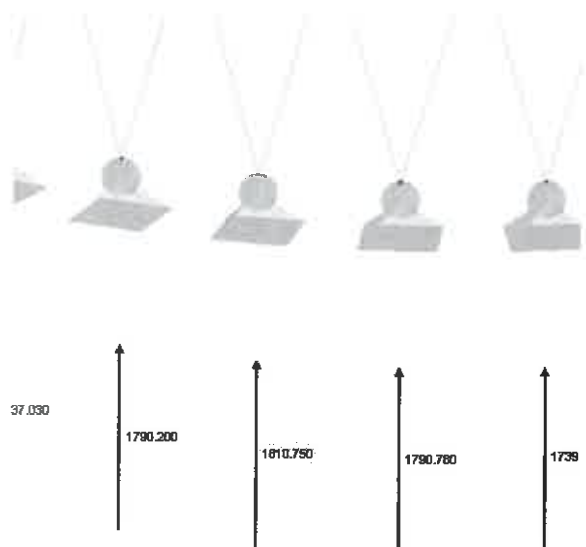
$$M_{Rd} = 108.559 \text{ kNm}$$

$$\frac{M_{Ed}}{M_{Rd}} \leq 1.00 \quad \frac{71.75}{108.559} = 0.661$$

$$0.661 < 1.00$$

Vyhovuje

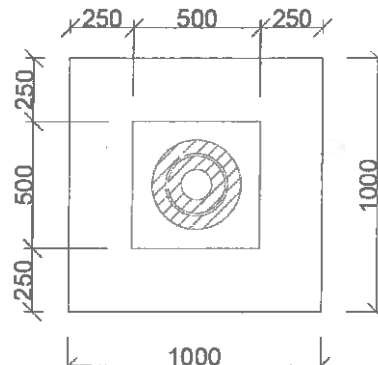
6.10 KOTVENÍ ATRIUM



$$a = 0.5 \text{ m} \quad b = 0.5 \text{ m} \quad t = 0.025 \text{ m} \quad f_{ck} = 20 \cdot 10^3 \text{ kPa}$$

$$a_r = 0.25 \text{ m} \quad b_r = 0.25 \text{ m} \quad f_y = 355 \cdot 10^3 \text{ kPa}$$

$$h = 0.8 \text{ m}$$



Maximální tlak:

KZ 3

$$\Sigma 1,35 \cdot G + 1,5 \cdot (\text{vitr A}) + 1,5 \cdot 0,7 \cdot (\text{plné})$$

Vnitřní síly dle programu RFEM

$$N_{Ed} = 1810.75 \text{ kN}$$

$$a + 2 \cdot a_r = 1 \text{ m}$$

$$b + 2 \cdot b_r = 1 \text{ m}$$

$$5 \cdot a = 2.5 \text{ m}$$

$$5 \cdot b = 2.5 \text{ m}$$

$$a + h = 1.3 \text{ m} \Rightarrow a_1 = 1 \text{ m}$$

$$b + h = 1.3 \text{ m} \Rightarrow b_1 = 1 \text{ m}$$

$$5 \cdot b_1 = 5 \text{ m}$$

$$5 \cdot a_1 = 5 \text{ m}$$

$$k_j = \sqrt{\frac{a_1 \cdot b_1}{a \cdot b}} = \sqrt{\frac{1 \cdot 1}{(0.5 \cdot 0.5)}}$$

$$k_j = 2$$

$$f_j = \frac{0.67 \cdot k_j \cdot f_{ck}}{\gamma_c} = \frac{0.67 \cdot 2 \cdot (20 \cdot 10^3)}{1.00}$$

$$f_j = 2.68 \times 10^4 \text{ kPa}$$

$$c = t \cdot \sqrt{\frac{f_y}{3 \cdot f_j \cdot \gamma_M 0}} = 0.025 \cdot \sqrt{\frac{355 \cdot 10^3}{3 \cdot (26.8 \cdot 10^3) \cdot 1.00}}$$

$$c = 0.053 \text{ m}$$

$$A_{eff} = 0.085457 \text{ m}^2$$

$$N_{Rd} = A_{eff} \cdot f_j = 0.085457 \cdot (26.8 \cdot 10^3)$$

$$N_{Rd} = 2.29 \times 10^3 \text{ kN}$$

$$N_{Rd} \geq N_{Ed}$$

$$2290 > 1810.75$$

Vyhovuje

Maximální H_{Ed}

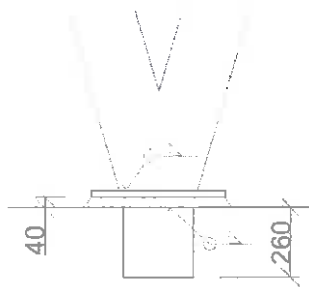
KZ 3

$$\Sigma 1,35 \cdot G + 1,5 \cdot (\text{vitr A}) + 1,5 \cdot 0,7 \cdot (\text{plné})$$

Vnitřní síly dle programu RFEM

$$H_{Ed} = 461.596 \text{ kN}$$

Vodorovná síla se bude přenášet smykovou zarážkou z odpalku HEB 260 délky 300 mm
Profil bude přivařen po celé délce koutovým svarem a 8



$$A_c = 0.26 \cdot 0.26 = 0.068 \text{ m}^2$$

$$F_{cd} = \frac{f_{ck} \cdot A_c}{\gamma_c} = \frac{20 \cdot 10^3 \cdot 0.068}{1.5}$$

$$F_{cd} = 906.667 \text{ kN}$$

$$\frac{H_{Ed}}{F_{cd}} \leq 1.00 \quad \frac{461.596}{906.667} = 0.509$$

$$0.509 < 1.00$$

Vyhovuje

$$x = 0.3 \text{ m}$$

$$W_{pl} = 6.022 \cdot 10^{-4} \text{ m}^3$$

$$M_{Ed} = H_{Ed} \cdot x = 461.596 \cdot 0.3$$

$$M_{Ed} = 138.479 \text{ kNm}$$

$$M_{Rd} = W_{pl} \cdot f_y = 6.022 \cdot 10^{-4} \cdot (355 \cdot 10^3)$$

$$M_{Rd} = 213.781 \text{ kNm}$$

$$\frac{M_{Ed}}{M_{Rd}} \leq 1.00 \quad \frac{138.479}{213.781} = 0.648$$

$$0.648 < 1.00$$

Vyhovuje

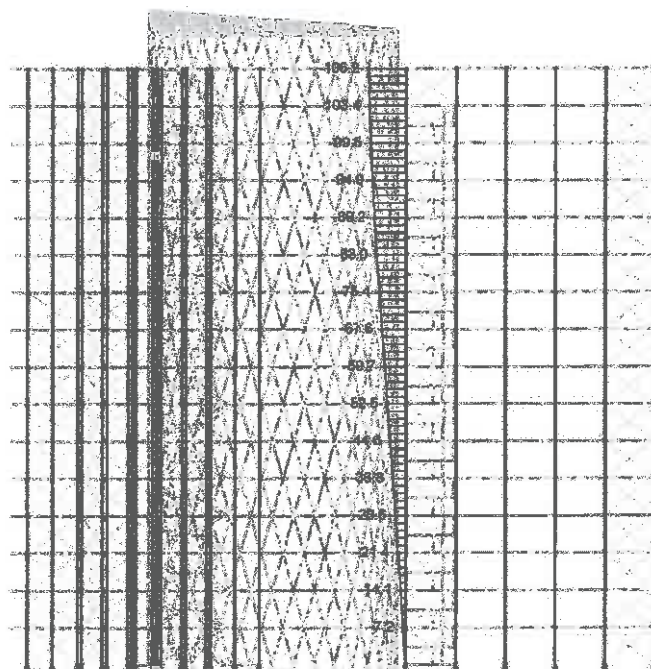
7 MEZNÍ STAV POUŽITELNOSTI

MSP KZ 40 ΣG + ZS18 + 0,7*ZS10

$$h = 72000 \text{ mm}$$

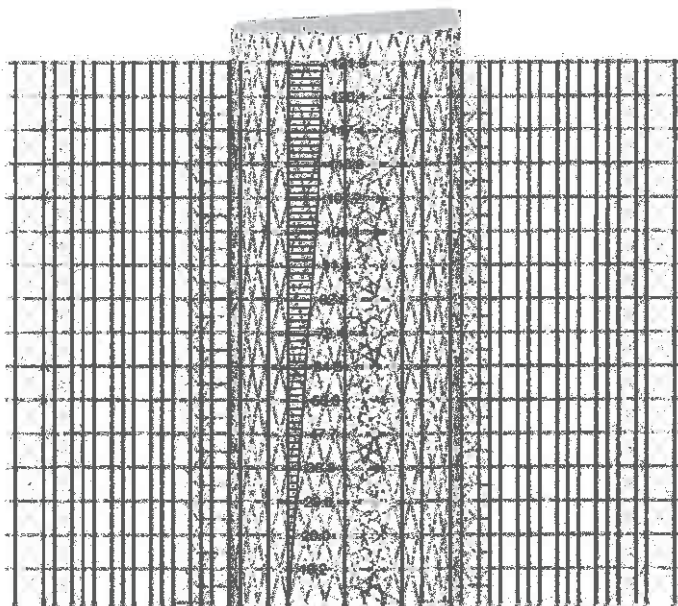
$$u_{\lim} = \frac{h}{500} = \frac{72000}{500}$$

$$u_{\lim} = 144 \text{ mm}$$



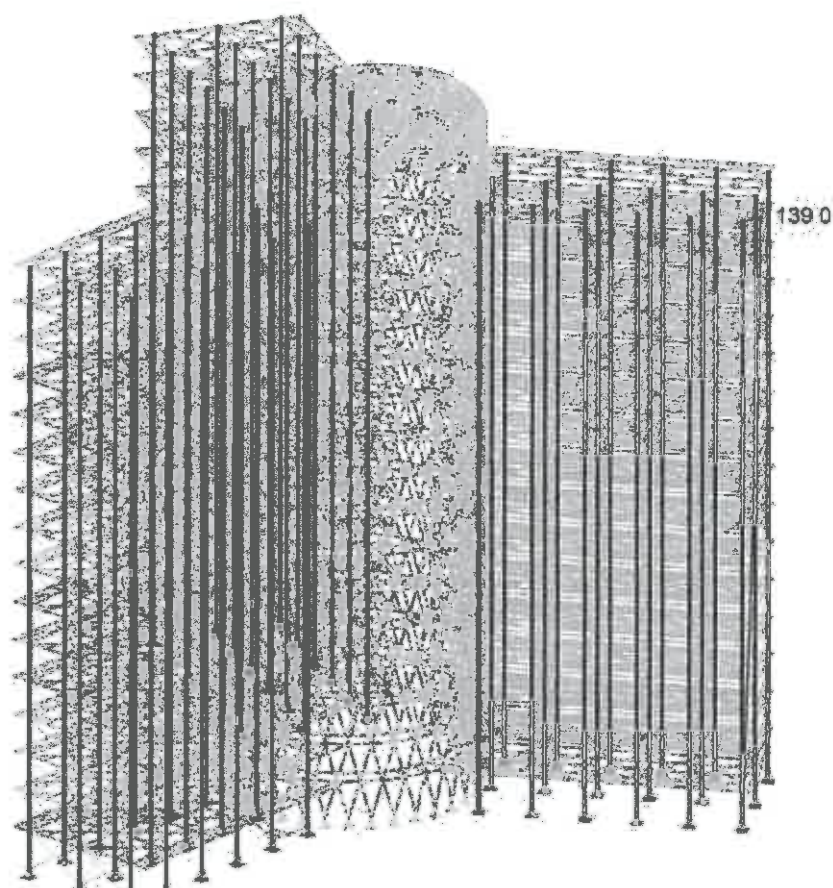
$$u_y < u_{\lim}$$

$$106.2 < 144$$



$$u_x < u_{\lim}$$

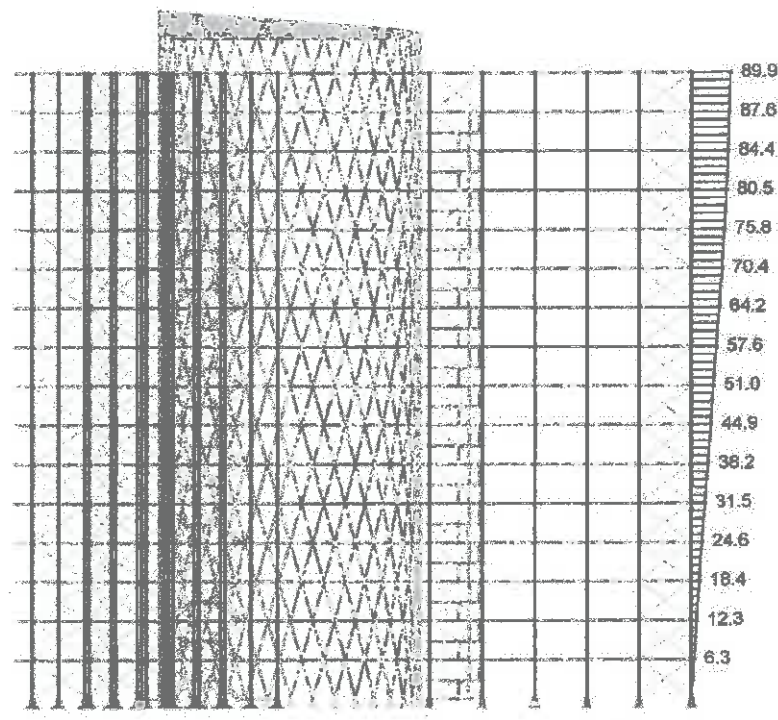
$$121.9 < 144$$



Globální deformace
 $u < u_{lim}$

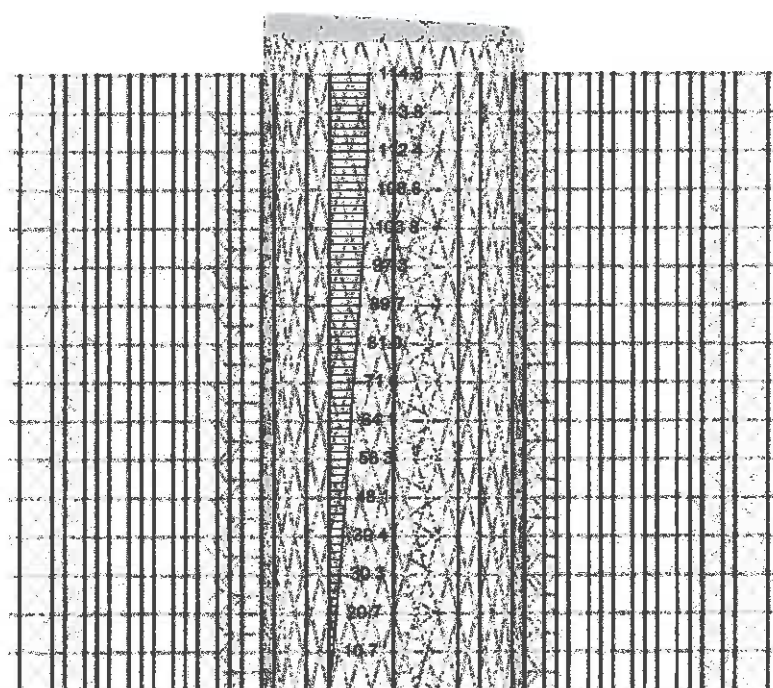
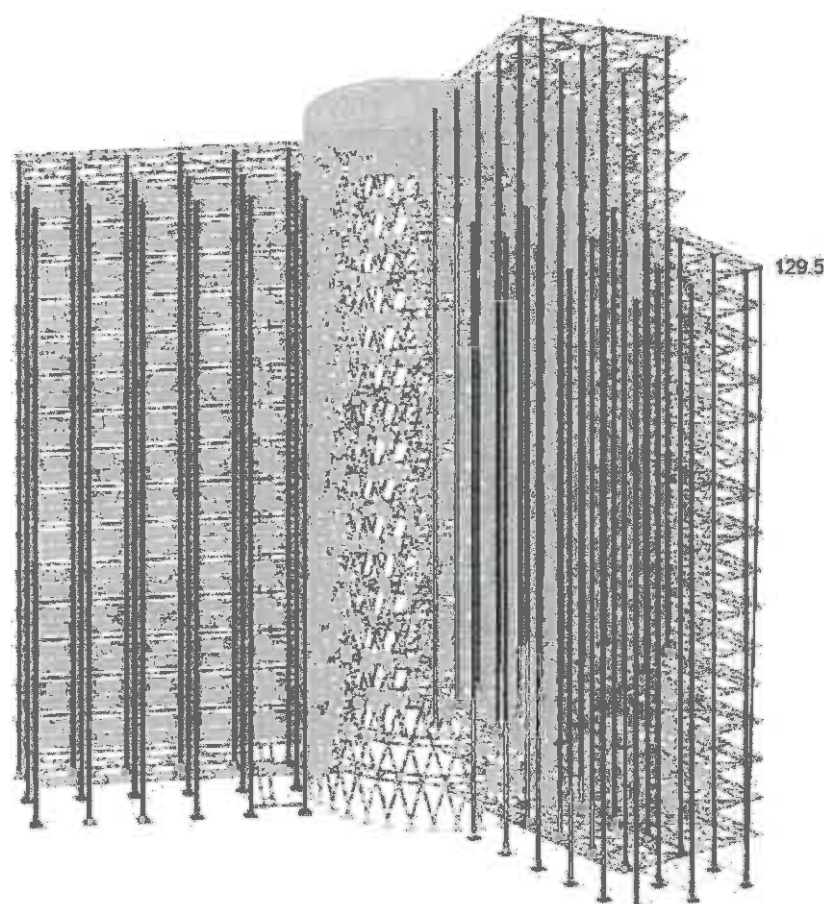
139 < 144

MSPKZ43 ΣG + ZS19 + 0,7*ZS10



$u_y < u_{lim}$

89.9 < 144

 $u_x < u_{\text{lim}}$ $114.3 < 144$ 

Globální deformace
 $u < u_{\text{lim}}$

 $129.5 < 144$



VYSOKÉ UČENÍ TECHNICKÉ V BRNĚ

BRNO UNIVERSITY OF TECHNOLOGY

FAKULTA STAVEBNÍ

FACULTY OF CIVIL ENGINEERING

ÚSTAV KOVOVÝCH A DŘEVĚNÝCH KONSTRUKCÍ

INSTITUTE OF METAL AND TIMBER STRUCTURES

VARIANTA B

DIPLOMOVÁ PRÁCE

DIPLOMA THESIS

AUTOR PRÁCE

AUTHOR

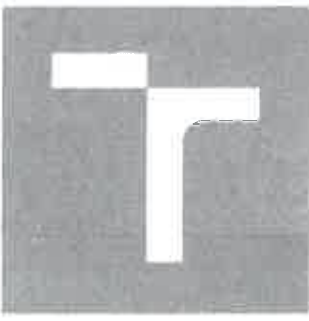
Bc. Ivo Dušek

VEDOUCÍ PRÁCE

SUPERVISOR

Ing. Milan Pilgr, Ph.D.

BRNO 2018



VYSOKÉ UČENÍ TECHNICKÉ V BRNĚ

BRNO UNIVERSITY OF TECHNOLOGY

FAKULTA STAVEBNÍ
FACULTY OF CIVIL ENGINEERING

ÚSTAV KOVOVÝCH A DŘEVĚNÝCH KONSTRUKCÍ

INSTITUTE OF METAL AND TIMBER STRUCTURES

TECHNICKÁ ZPRÁVA – Varianta B

DIPLOMOVÁ PRÁCE
DIPLOMA THESIS

AUTOR PRÁCE Bc. Ivo Dušek
AUTHOR

VEDOUcí PRÁCE Ing. Milan Pilgr, Ph.D.
SUPERVISOR

BRNO 2018



1	ÚVOD.....	3
2	ZATÍŽENÍ.....	3
2.1	Zatížení stálé.....	3
2.2	Zatížení proměnné.....	3
3	ZÁSADY NÁVRHU KONSTRUKCE.....	4
4	POPIS KONSTRUKCE A KONSTRUKČNÝCH PRVKŮ.....	4
4.1	Dispoziční řešení, popis konstrukce.....	5
4.1.1	Administrativní budova.....	5
4.1.1.1	Sloupy.....	6
4.1.1.2	Průvlaky.....	6
4.1.1.3	Stropnice.....	6
4.1.1.4	Stropní konstrukce.....	6
4.1.1.5	Svislá ztužidla.....	6
4.1.1.6	Konzoly atria.....	6
4.1.1.7	Konstrukce atria.....	6
4.1.1.8	Schodiště.....	6
4.1.1.9	Střešní pláště.....	7
4.1.1.10	Obvodový pláště.....	7
4.1.2	Zastřešení atria.....	7
4.1.2.1	Střešní pláště.....	7
4.1.2.2	Vaznice.....	7
4.1.2.3	Příhradový nosník.....	7
4.2	Kotvení.....	7
4.2.1	Kotvení administrativní části.....	7
4.2.2	Kotvení atria.....	8
5	MATERIÁL.....	8
6	POVRCHOVÁ ÚPRAVA KONSTRUKCE.....	8
7	VÝROBA, DOPRAVA, MONTÁŽ.....	8
8	VÝKAZ MATERIÁLU.....	9
9	EKONOMICKÉ HLEDISKO.....	9
10	ZÁVĚŘ.....	9

1 ÚVOD

V diplomové práci je vypracován návrh a posouzení prutové ocelové konstrukce budovy pro administrativní účely v Brně. Maximální půdorysné rozměry byly stanoveny na 100x100 m z důvodu velikosti možného pozemku. Půdorys budovy je rotačně symetrický. Budova má 16 nadzemních podlaží. Celková výška objektu je 79,115 m. Ztužení objektu zajišťují rámová ztužidla. V rovině stropu je ztužení zajištěno pomocí spřaženého ocelobetonového stropu.

POUŽITÉ NORMATIVNÍ DOKUMENTY:

- ČSN EN 1990, Eurokód: Zásady navrhování konstrukcí
- ČSN EN 1991-1-1, Eurokód 1: Zatížení konstrukcí - Část 1-1: Obecná zatížení - Objemové tíhy, vlastní tíha a užitná zatížení pozemních staveb
- ČSN EN 1991-1-3, Eurokód 1: Zatížení konstrukcí - Část 1-3: Obecná zatížení - Zatížení sněhem
- ČSN EN 1991-1-4, Eurokód 1: Zatížení konstrukcí - Část 1-4: Obecná zatížení - Zatížení větrem
- ČSN EN 1991-1-6, Eurokód 1: Zatížení konstrukcí - Část 1-6: Obecná zatížení - Zatížení během provádění
- ČSN EN 1993-1-1, Eurokód 3: Navrhování ocelových konstrukcí - Část 1-1: Obecná pravidla a pravidla pro pozemní stavby
- ČSN EN 1993-1-8, Eurokód 3: Navrhování ocelových konstrukcí - Část 1-8: Navrhování styčníků
- ČSN EN 1994-1-1, Eurokód 4: Navrhování spřažených ocelobetonových konstrukcí - Část 1-1: Obecná pravidla pro pozemní stavby

2 ZATÍŽENÍ

Statická analýza prutové ocelové konstrukce byla provedena v programu RFEM od společnosti Dlubal. Byl vytvořen prostorový model na němž byly vypočteny účinky stálého a proměnného zatížení konstrukce pomocí metody II. řádu. Zatížení stanoveno dle ČSN EN 1991.

Zatížení je podrobněji rozebráno ve statickém výpočtu.

2.1 Zatížení stálé

Vlastní tíha konstrukce	⇒ počítana programem RFEM
Strop - administrativní část	⇒ $g_k = 3,944 \text{ kNm}^{-2}$
Střešní kce - administrativní část	⇒ $g_k = 4,931 \text{ kNm}^{-2}$
Střešní konstrukce - atrium	⇒ $g_k = 1,00 \text{ kNm}^{-2}$
Pochozí plocha atria	⇒ $g_k = 1,00 \text{ kNm}^{-2}$
Opláštění administrativní části	⇒ $g_k = 1,00 \text{ kNm}^{-2}$
Opláštění atria	⇒ $g_k = 0,70 \text{ kNm}^{-2}$
Tíha kce schodiště	⇒ $g_k = 0,60 \text{ kNm}^{-2}$
Atika se zábradlím pochozí střechy	⇒ $g_k = 2,5 \text{ kNm}^{-1}$
Zábradlí pochozí plochy atria	⇒ $g_k = 1,00 \text{ kNm}^{-1}$

2.2 Zatížení proměnné

Užitné dle ČSN EN 1991-1-1	
administrativní část	⇒ $q_k = 3,3 \text{ kNm}^{-2}$
pochozí střecha	⇒ $q_k = 2,5 \text{ kNm}^{-2}$
pochozí plocha atria	⇒ $q_k = 2,5 \text{ kNm}^{-2}$
schodiště	⇒ $q_k = 3,0 \text{ kNm}^{-2}$

Zatížení sněhem

dle ČSN EN 1991-1-3
lokalita Brno, sněhová oblast II
char. hodnota zatížení sněhem $s_k = 1 \text{ kNm}^{-2}$

Zatížení větrem

dle ČSN EN 1991-1-4
lokalita Brno, větrová oblast
výchozí základní rychlosť větru $v_{b,0} = 25 \text{ ms}^{-1}$

Montážní zatížení

dle ČSN EN 1991-1-6
soustředné $\Rightarrow q_k = 1,5 \text{ kNm}^{-2}$
rovnoměrné $\Rightarrow q_k = 0,75 \text{ kNm}^{-2}$

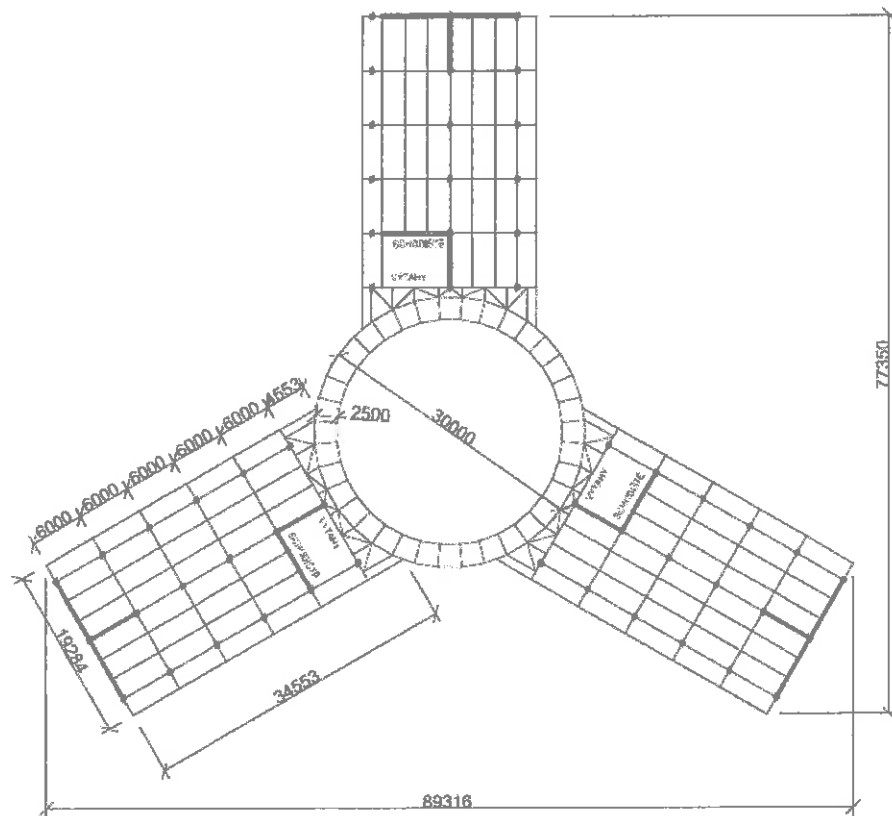
3 ZÁSADY NÁVRHU KONSTRUKCE

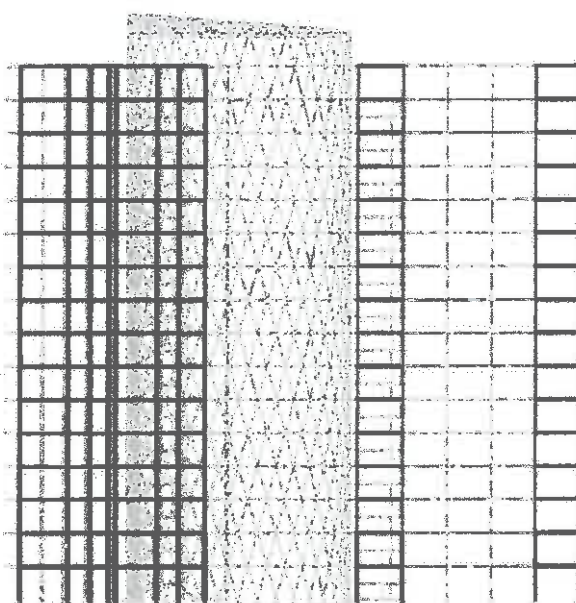
Statické posouzení konstrukce bylo provedeno pro:

I. Mezní stav únosnoti MSÚ - nejnepříznivější kombinace dle 6.10 ČSN EN 1990

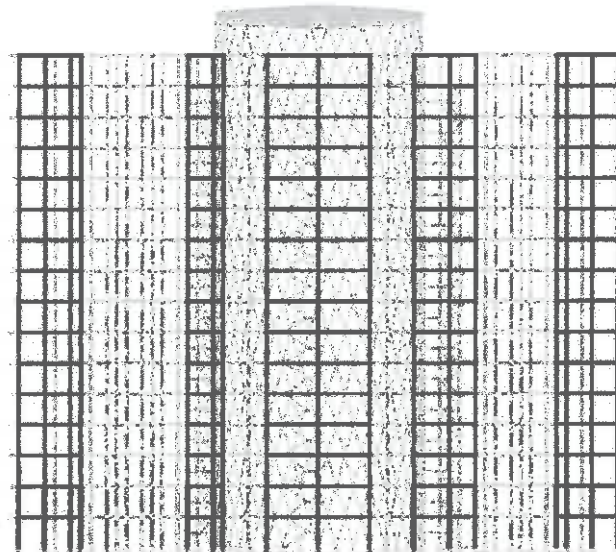
II. Mezní stav použitelnosti MSP - nejnepříznivější kombinace dle 6.1.4.a ČSN EN 1990

4 POPIS KONSTRUKCE A KONSTRUKČNÍCH PRVKŮ





Schématický pohled Y



Schématický pohled X

4.1 Dispoziční řešení, popis konstrukce

4.1.1 Administrativní budova

Půdorys budovy je rotačně symetrický s rozměry 77,35 x 89,3 m. Tvar a rozměry jsou po výše konstatní. Objekt se zkládá z kruhového příhradového atria ke kterému přiléhají tři křídla administrativních částí. Atrium ma uvnitř po obvodu vyložen na konzolách pochozí prstenec, který umožnuje pohyb mezi jednotlivými křídly. Konstrukce administrativní části má sloupy rozmištěny v rastrovi $6 \times 7,5$ m. Budova má celkem 16 podlaží. Konstrukční výška jednoho patra je 4,5 m. Nad stropem posledního patra je konstrukce pochozí střechy. Po obvodu je atika se zábradlím. V nejbližším poli k atriu se nachází schodiště a místo pro šachty výtahů. Tuhost konstrukce je ve vodorovném směru zajištěna spřaženými ocelobetonovými stropy. V příčném a podélném směru je ztižení zajištěno rámovými ztužidly na koncích podélného směru. Všechny stropy jsou spřažené. Kci tvoří stropnice se spřáhovacími trny přes trapézový plech tvořící ztracené bednění betonové desky.

4.1.1.1 Sloupy

Krajní sloupy jsou navrženy jako kynné stojky na jedno patro. Vnitřní sloupy jsou navrženy přes dvě patra. Montážní styky jsou provedeny pomocí čelních desek přivařených koutovými svary a zajištěny šrouby M20 8.8. Kotvení je kloubové. Krajní sloupy jsou oboustranně přichyceny k průvlakům spojenými šrouby M12 8.8 k pásnici průvlaku.. Průřezy sloupů jsou válcované HEB profily odstupnované po 1 až 2 patrech. V 1. patře je kombinace uzavřeného průřezu 500x500 a HEB500 ve 2. HEB 600 a HEB500. 3. a 4. patro HEB500. 5. a 6. patro HEB 450. V 7. a 8. patře HEB400. 10. patro HEB 300. 11. a 12. patro HEB260. 13. a 14. patro HEB240 a v 15.a 16. patře HEB 200.

4.1.1.2 Průvlaky

Průvlaky jsou tvořeny prostými nosníky s převyslím koncem o délce 9,642 m. V poli délka 7,5 m a konzolová část 2,142 m. Jsou situovány v příčném směru. Na jednom konci klubově přichycen k vnitřnímu sloupu šrouby M12 8.8 a ke krajním sloupům klubově takéž šrouby M12 8.8. Pod sloupy v krajní části jsou vervařeny výstuhy s plechu tloušťky korespondující k tloušťce pásnic sloupu nad průvlakem. Průvlaky jsou navrženy z profilů IPE 450 z oceli S235 a krajní průvlaky z profilu IPE 360. Průvlaky jsou konstrukčně spřaženy s betonovou stropní deskou.

4.1.1.3 Stropnice

Stropnice tvoří prosté nosníky o délce 6m. Běžná rozteč je 2,5 m. U krajních sloupů je rozteč stropnic 2,321 m a 2,142 m. Jsou spřaženy s betonovou deskou pomocí spřahovacích trmů. Trmy jsou provářeny skrz trapézový plech. Stropnice jsou oboustraně klubově připojeny k stojánám průvlaku a sloupu. Horní část pásnice je vyřízlá z důvodu spojení s průvlakem. Jsou navrženy z profilu IPE240. V krajních polích jsou stropnice profilu IPE 180, IPE 200 a IPE220 dle zatížení.

4.1.1.4 Stropní konstrukce

Stropy tvoří spřažená ocelobetonová konstrukce. Na stropnice a průvlaky je položen trapézový plech TR 50/250 tloušťky 1mm v pozitivní poloze. Směr žeber je kolmý ke stropnicím. Skrze plech jsou přivařeny spřahovací trmy s hlavou. Trmy mají délku 100mm a průměr 19 nebo 22 mm. Celková tloušťka desky je 120mm (50vlna + 70deska). Betonová deska bude doplněna výstuží která není řešena v diplomové práci.

4.1.1.5 Ztužidla

Ztužidla jsou tvořena rámovými. Jsou tvořeny v 1. patře uzavřenými svařovanými průřezy a od 2. patra jsou ztužidla tvořeny profilem HEB500 který je rámově spojen s příčemi které jsou stejného průřezu.

4.1.1.6 Konzoly atria

Jsou tvořeny profily HEA 260 a jsou vloženy do konstrukce atria se kterou tvoří tuhý spoj. Délka konzoly je 2,5 m. Konce konzol jsou propojeny nosníky UPE 200 které stabilizují konzolu z roviny a slouží k uchycení zábradlí. Profil je natočen o 90° takže je ohýbán na měkkou osu a nedochází ke klopení.

4.1.1.7 Konstrukce atria

Konstrukce tvoří plochu válce o průměru 30 m. Je tvořena z profilu CHS 255,5 x 10. Je odstupnovaná po výšce pomocí profilů CHS 255,5 x 8 a CHS 255,5 x 6. Styčníky jsou tuhé aby přenášely ohybové momenty z konzoly do konstrukce. Na konstrukci je upevněna fasáda ze skleněných tabulí které jsou bodově uchyceny do konstrukce.

4.1.1.8 Schodiště

Nosné prvky schodišť byly navrženy konstrukčně. Tvoří zalomené nosníky a v diplomové práci nejsou řešeny, byly použity pouze na aplikaci zatížení. Schodnice jsou tvořeny profily UPE 300.

4.1.1.9 Střešní plášt'

Střešní plášt' tvoří plochá pochozí střecha se sklonem 1,5°. Spádová vrstva je tvořena perlit betonem. Izolace je z tuhých desek. Hydroizolaci tvoří PVC folie. Atika je 750 mm vysoká, vyzděná z cihel porotherm a je osazena zábradlím. Skladba střechy je osazena i s atikou na ocelobetonový strop posledního patra.

4.1.1.10 Obvodový plášt'

Obvodový plášt' tvoří hliníkový kazetový fasádní systém s prosklenými tabulemi v rámech. Orientace nosných rámů je svislá a uvažuje se uchycení mezi krajními stropnicemi a průvlaky.

4.1.2 Zastřešení atria

Je provedeno šesti příhradovými vazníky na kterých jsou uloženy vaznice.

4.1.2.1 Střešní plášt'

Uvažuje se že střešní plášt' bude tvořen skleněnými tabulemi, které budou uchyceny bodově na konstrukci vaznic a vazníků. Bude použito trojsklo s pojistnými lankami proti zřícení skla v případě porušení.

4.1.2.2 Vaznice

Vaznice jsou prosté nosníky oboustraně kloubově uloženy na vazníky pomocí žiletek a šrouby M12 6.8. Jsou bodově zatíženy od střešného pláště. Délka je různá od 7,5m po +1 m. Jsou použity profily RHS s pevností S235

4.1.2.3 Příhradový nosník

Příhradový vazník má proměnnou výšku, je v jednom spádu 5°. Všechny vazníky tvoří šikmou rovinu proto jsou jejich výšky rozdílné.

Horní pás: Profil CHS 273x6 a CHS 273x5. Délka horního pásu je 29,641 m. Délka mezi jednotlivými styčníky je 1,411 m. Vzpěrná délka je rovna této vzdálenosti pro oba směry, jelikož je v každém styčníku připojena vaznice.

Dolní pás: Profil CHS 219.1x8 a CHS 219.1x4 délka pásu je 26,73 m. Délka mezi styčníky je 1,407 m. Vzpěrná délka v rovině je 1,407 m. a z roviny je vazník stabilizován tálou po cca. 5m. Táha nejsou řešena v diplomové práci, protože jejich zatížení je minimální.

Svislice: Jsou tvořeny profily CHS 114.3x4. Délky svislic jsou proměnné. Max. délka je 3m. Kloubově připojeny k hornímu a dolnímu pásu.

Diagonály: 1. tlačená diagonála má profil CHS 114.3x5. Zbytek diagonál je tvořen o profiem CHS 114.3x4 mají různou systémovou délku. Max. délka je 3,212 m. Kloubově připojeny k hornímu a dolnímu pásu.

4.2 Kotvení

4.2.1 Kotvení administrativní části

Kotvení je navrženo jako kloubové. Sloup je přivařen koutovým obvodovým svarem k patnímu plechu který je z oceli S355. Plechy jsou tloušťky 40mm. Podlití je 40 mm. Základové patky jsou z betonu třídy C20/25. Kotevní šrouby jsou navrženy konstrukčně jako 2x závitová tyč M20. Tolerance provádění +- 20mm.

Kotevní plech je opatřen smykovou zarážkou k přenosu smykových sil. Zarážka je z úpalku profilu HEB 200 délky 240mm a je připojen k patnímu plechu koutovým obvodovým svarem.

4.2.2 Kotvení atria

Kotvení je navrženo jako kloubové. Nosníky jsou přivařeny koutovými obvodovými svary k patnímu plechu který je z oceli S355. Plechy jsou tloušťky 25mm. Podliti je 40 mm

Základové patky jsou z betonu třídy C20/25. Kotevní šrouby jsou navrženy konstrukčně jako 2x závitová tyč M20. Tolerance provádění $+ - 20\text{mm}$.

Kotevní plech je opatřen smykovou zarážkou k přenosu snykových sil. Zarážka je z úpalku profilu HEB 260 délky 300mm a je připojen k patnímu plechu koutovým obvodovým svarem.

5 MATERIÁL

Sloupy	ocel S355 JR
Stropní konstrukce	oceli S235 JR, S320 GD
	beton C 30/37
Diagonálny ztužidel	ocel S355 JR
Konstrukce atria	ocel S235 JR
Konstrukce zastřešení	ocel S235 JR
Základové konstrukce	C20/25

Spřahovací trny s pevností 360 MPa

Spojovací materiál - šrouby 8.8 a 6.8

Kotevní šroby předem zabetonovány S235

6 POVRCHOVÁ ÚPRAVA KONSTRUKCE

Ocelovou konstrukci je nutno chránit proti korozi. Povrchová ochrana bude provedena pomocí nátěru v souladu s platnými normami ČSN EN ISO 129 44 Nátěrové hmoty - protikorozní ochrana ocelových konstrukcí ochranými nátěrovými systémy. Všechny ocelové prvky budou opatřeny antikorozním. Antikorozní nátěrový systém dle stupně korozní agresivity prostředí C2 (zaklad. 80µm a vrchní nátěr 80µm).

7 VÝROBA, DOPRAVA, MONTÁŽ

Dílenské spoje jsou svařované a budou provedeny ve výrobně. Výroba bude dle ČSN EN 1990-2 Provádění ocelových konstrukcí. Prvky musí být z výroby dodány tvarově neporušené a s neporušeným základním nátěrem. Třída provedení EXC2
Doprava konstrukce bude probíhat po jednotlivých prvcích.

Postup montáže:

Montáž konstrukce bude probíhat po jednotlivých patrech. Začne se montáží 1. a 2. patra konstrukce atria na již připravené únosné základy, poté se osadí vnitřní sloupy a krajní sloupy 1. patra. Zajistí se jejich vertikální poloha a osadí se průvlaky. Následují stropnice 1. patra. Poté krajní sloupy 2. patra a osazení průvlaků se stropnicemi 2. patra. Za probíhající montáže 3. a 4. patra atria se mohou osadit trapézové plechy a 2. patra zajistí se bodovými svary ke stropnicím. Montáž konstrukce schodiště. Při montáži dalších pater se postupuje stejným způsobem až se dojde do posledního patra. Na poslední patro atria se osadí vazníky zajistí se táhly proti vybočení a osadí se vaznice.

8 VÝKAZ MATERIÁLU

Nebyl v této variantě řešen

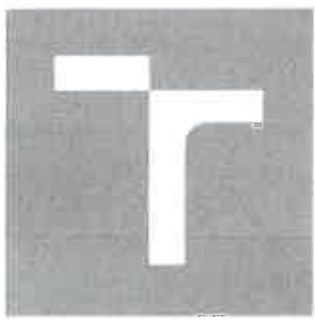
9 EKONOMICKÉ HLEDISKO

Celková přibližná hmotnost konstrukce	2 250 610 t
Zastavěná plocha	2644,5 m ²
Obestavěný prostor	190 404 m ³

Průměrná hmotnost je 851,05 kg m⁻² a 11,82 kg m⁻³

10 ZÁVĚR

Konstrukce je navržena dle platných norem a vyhovuje na I. a II. mezní stav.



VYSOKÉ UČENÍ TECHNICKÉ V BRNĚ

BRNO UNIVERSITY OF TECHNOLOGY

FAKULTA STAVEBNÍ
FACULTY OF CIVIL ENGINEERING

ÚSTAV KOVOVÝCH A DŘEVĚNÝCH KONSTRUKCÍ

INSTITUTE OF METAL AND TIMBER STRUCTURES

STATICKÝ VÝPOČET – Varianta B

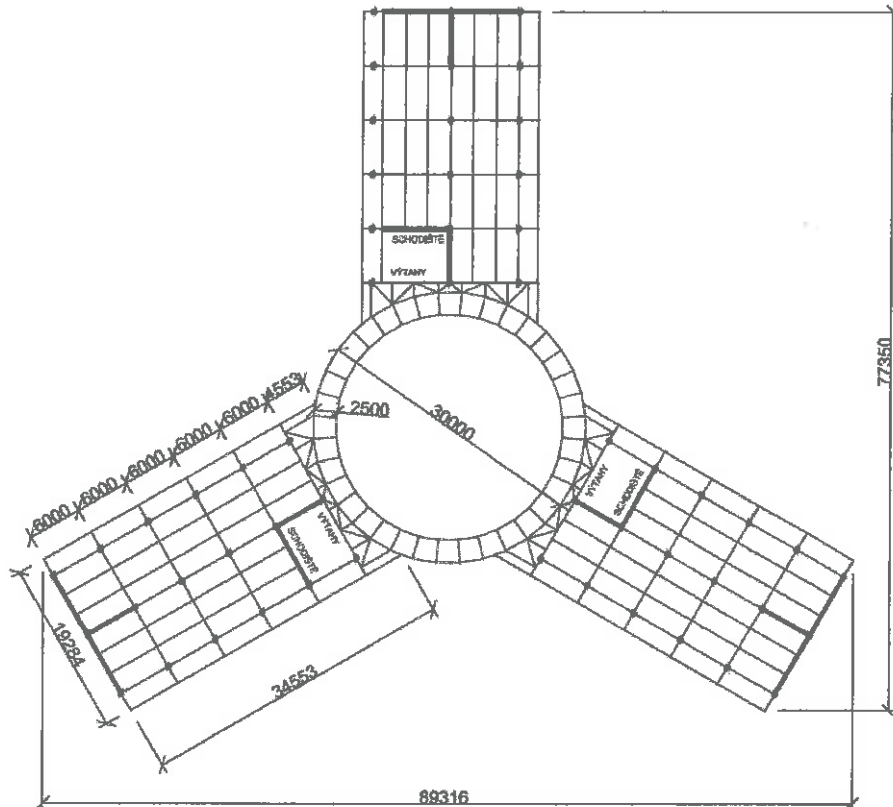
DIPLOMOVÁ PRÁCE
DIPLOMA THESIS

AUTOR PRÁCE Bc. Ivo Dušek
AUTHOR

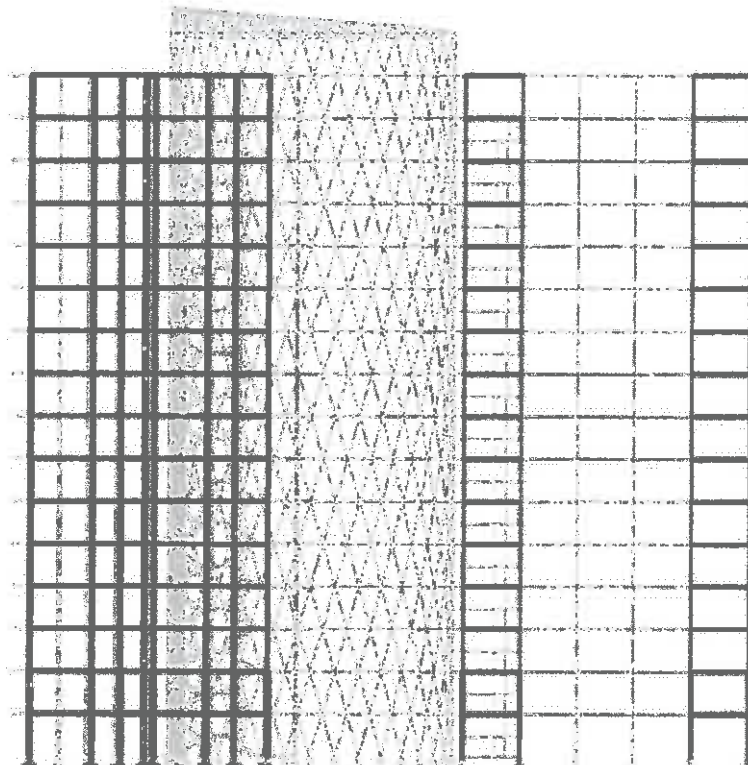
VEDOUCÍ PRÁCE Ing. Milan Pilgr, Ph.D.
SUPERVISOR

BRNO 2018

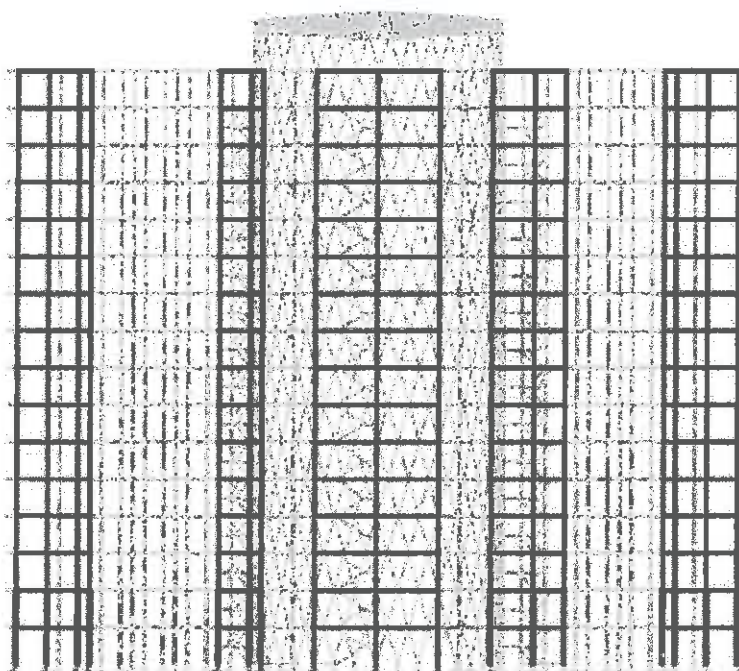
2 GEOMETRIE



Schématický půdorys



Schématický pohled Y



Schématický pohled X

3 VÝPOČTOVÝ MODEL

Stejný jako ve Variantě A jen jsou ztužidla modelována jako rám s tuhými přípoji.

4 ZATÍŽENÍ

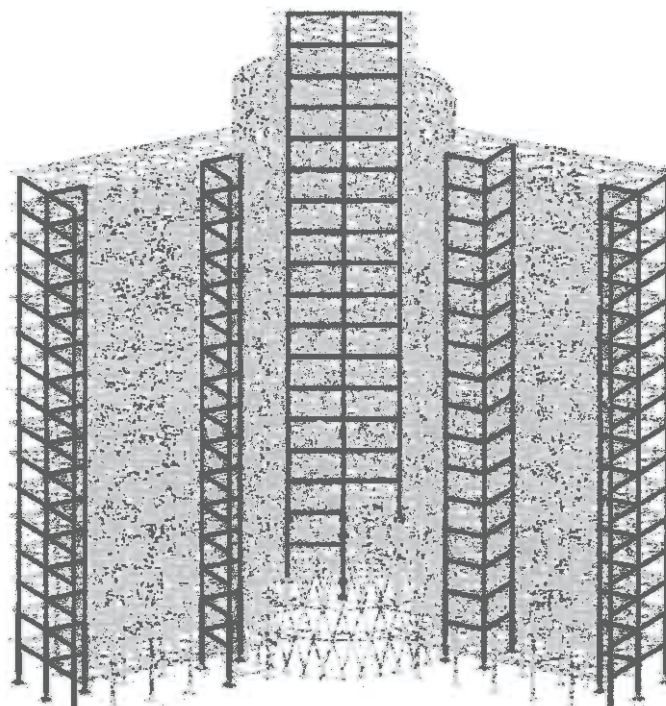
Identické s Variantou A

5 POSOUZENÍ PRVKŮ

Posouzení všech prvků je stejné jako ve variantě A

5.11 ZTUŽIDLA ADMINISTRATIVNÍ ČÁSTI

POSOUZENÍ NEJVÍCENAMÁHANÉHO PRUTU



5.11.1 ZATÍŽENÍ A VNITŘNÍ SÍLY

KZ 24

$$\Sigma 1,35*G + 1,5*(\text{plné}) + 1,5*0,6*(\text{vít A})$$

Vnitřní síly dle programu RFEM

5.11.2 POSOUZENÍ - Kombinace tlaku a ohybu

Posouzení bylo provedeno programem RFEM a to jak sloupů tak příční ztužidla. Výsledky v přiloženém protokolu.

6 PŘÍPOJE

Shodné postupy jako ve Variantě A jediný rozdíl je ve styčnících rámového ztužidla kdy jsou použity spoje s výstuhami k dosažení maximální tuhosti přípojů.

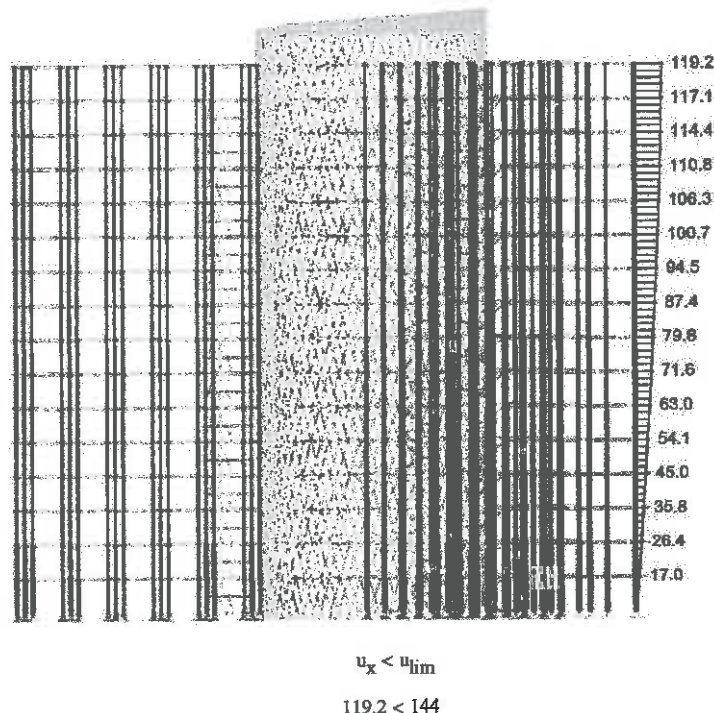
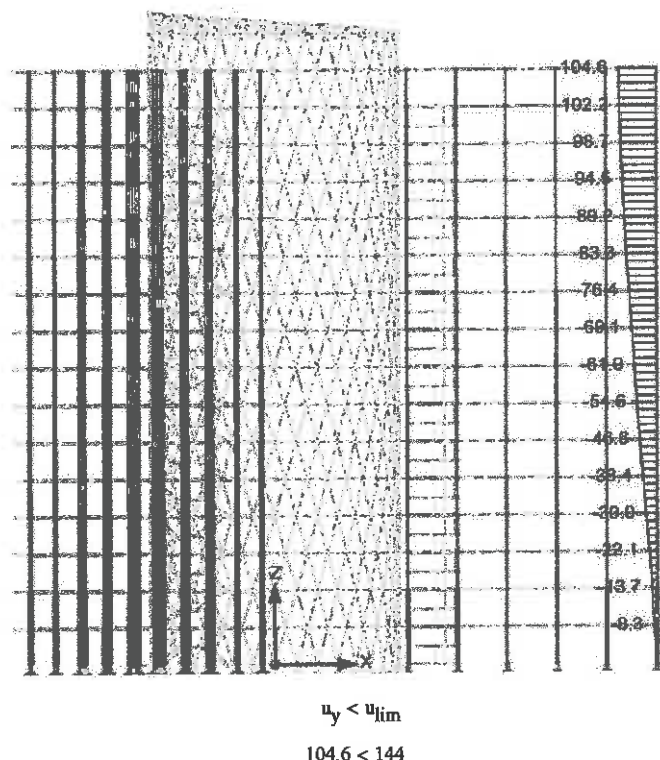
7 MEZNÍ STAV POUŽITELNOSTI

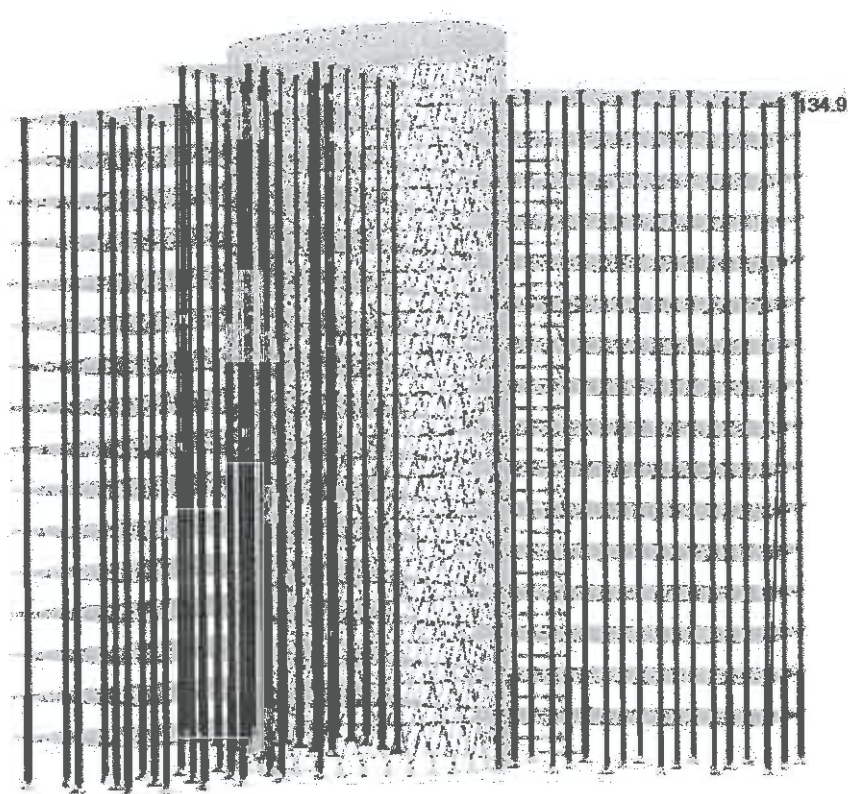
MSP KZ 40 $\Sigma G + ZS18 + 0,7 \cdot ZS10$

$$h = 72000 \text{ mm}$$

$$u_{\lim} = \frac{h}{500} = \frac{72000}{500}$$

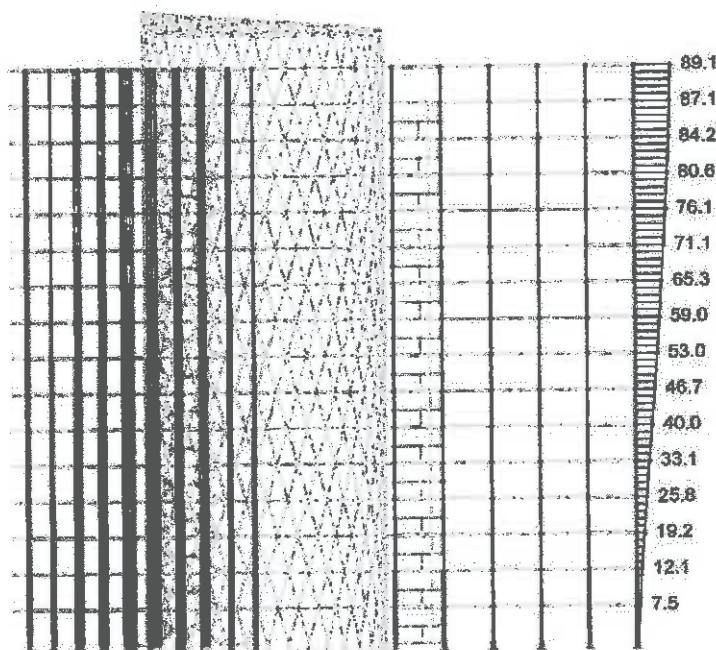
$$u_{\lim} = 144 \text{ mm}$$



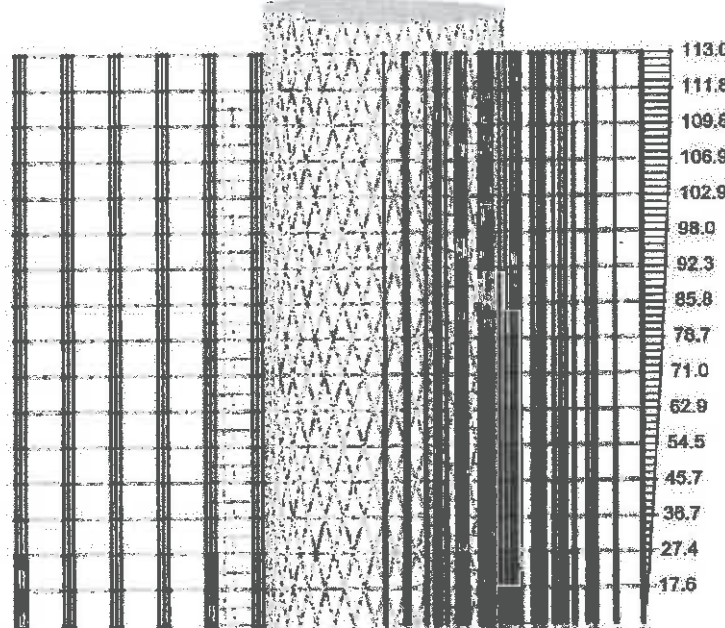


Globální deformace
 $u < u_{\text{lim}}$
134.9 < 144

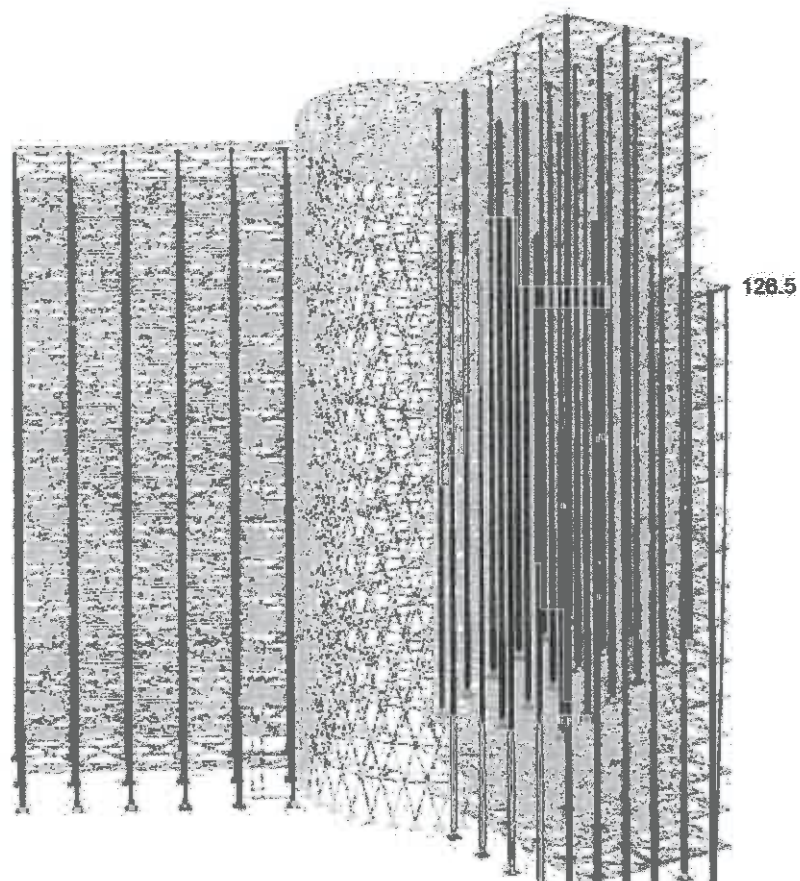
MSPKZ43 ΣG + ZS19 + 0,7*ZS10



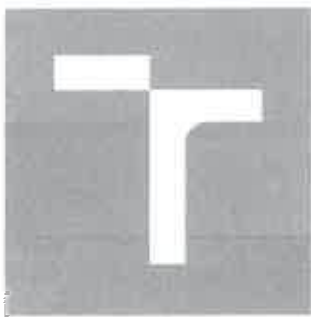
$u_y < u_{\text{lim}}$
89.1 < 144

 $u_x < u_{\text{lim}}$

113 < 144

 $u < u_{\text{lim}}$

126.5 < 144



VYSOKÉ UČENÍ TECHNICKÉ V BRNĚ

BRNO UNIVERSITY OF TECHNOLOGY

FAKULTA STAVEBNÍ
FACULTY OF CIVIL ENGINEERING

ÚSTAV KOVOVÝCH A DŘEVĚNÝCH KONSTRUKCÍ
INSTITUTE OF METAL AND TIMBER STRUCTURES

POROVNÁNÍ VARIANT

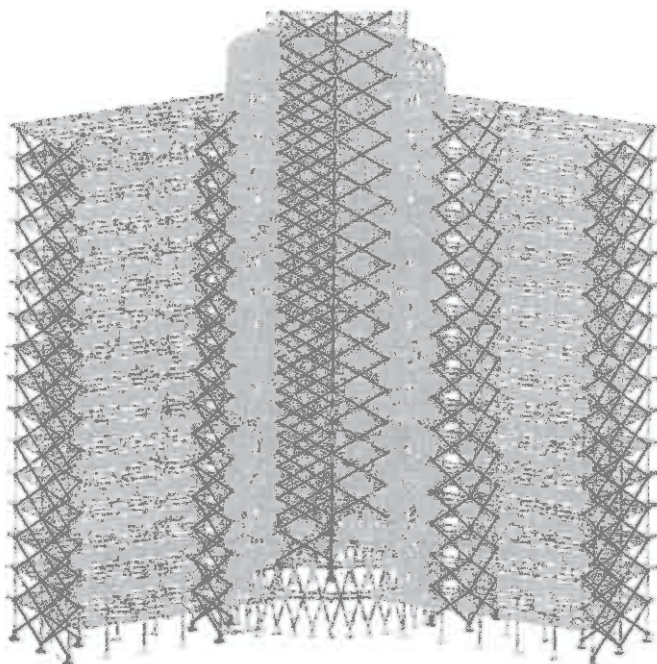
DIPLOMOVÁ PRÁCE
DIPLOMA THESIS

AUTOR PRÁCE Bc. Ivo Dušek
AUTHOR

VEDOUcí PRÁCE Ing. Milan Pilgr, Ph.D.
SUPERVISOR

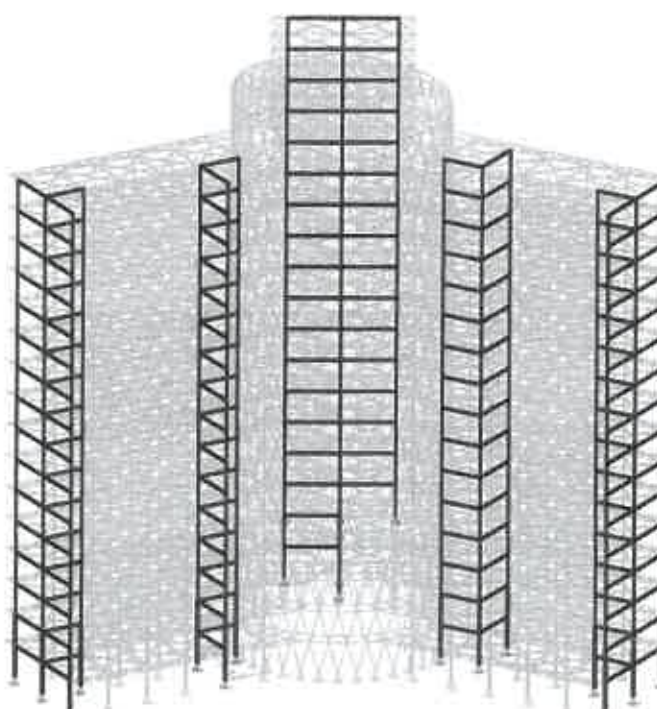
BRNO 2018

VARIANTA A



Hmotnost	1 954 910 t
Plocha	2644,5 m ²
Obest. prost.	190 404 m ³
\Rightarrow	739,24 kg/m ² a 10,26 kg/m ³

VARIANTA B



Hmotnost	2 250 610 t
Plocha	2644,5 m ²
Obest. prost.	190 404 m ³
\Rightarrow	851,05 kg/m ² a 11,82 kg/m ³

ZÁVĚR : Výhodnější je varianta A

Použité zdroje:

- [1] Knihovna průřezů programu RFEM Dlubal
- [2] ČSN EN 1990 Zásady navrhování konstrukcí
- [3] ČSN EN 1991 Zatížení konstrukcí
- [4] ČSN EN 1993 Navrhování ocelových konstrukcí
- [5] ČSN EN 1994 Navrhování spřažených ocelobetonových konstrukcí
- [6] ČSN 01 3483 Výkresy kovových konstrukcí
- [7] ČSN 73 1401 Navrhování ocelových konstrukcí
- [8] Mapový podklad [Online]
Dostupné z: <https://www.google.cz/maps/@49.202325,16.5999346,17.75z>
- [9] Ocelářské tabulky [online], Dostupné z: <http://www.staticstools.eu/cs>
- [10] Spoje ocelových konstrukcí [online] Dostupné z: <http://ocel.wz.cz/index.html>

Seznam zkratkov a symbolů:

A	průřezová plocha, plocha
A ₀	plocha otvorů v betonové desce
A _c	plocha tlačeného betonu u spřažení
A _i	plocha ideálního průřezu
A _{net}	oslabená plocha
A _{nt}	oslabená plocha při působení tahu
A _{ref}	referenční plocha
A _s	plocha jádra šroubu
A _s	plocha ocelového profilu u spřažení
A _v	plocha stojiny
A _v	smyková plocha
A _z	plocha smykové zarázky
C ₁	součinitel závisející na zatížení a podmínkách uložení konců
C ₂	součinitel závisející na zatížení a podmínkách uložení konců
C ₃	součinitel závisející na zatížení a podmínkách uložení konců
C _{1,0}	součinitel závisející na zatížení a podmínkách uložení konců
C _{1,1}	součinitel závisející na zatížení a podmínkách uložení konců
C _{dur}	součinitel směru větru
C _{e(z)}	součinitel expozice
C _{o(z)}	součinitel orografie
C _{pe,10}	součinitel vnějšího aerodynamického tlaku
C _{r(z)}	součinitel drsnosti
C _{sason}	součinitel ročního období
C _t	součinitel teploty
D	šířka hlavy spřahovacího trnu
E	modul pružnosti v tahu a tlaku oceli
E _a	modul pružnosti oceli
E _{cm}	modul pružnosti betonu
F	síla
F _k	charakteristická hodnota soustředné síly
F _k	přídavná tlaková síla od větru do sloupu
F _{v,Ed}	návrhová smyková síla pro jeden stříh spojovacího prostředku
F _{v,Rd}	návrhová únosnost pro jeden stříh jednoho spojovacího prostředku
F _{v,TR}	síla od tření větru
G	modul pružnosti ve smyku
G	hmotnost
I _a	moment setrvačnosti ocelového průřezu u spřažení
I _i	moment setrvačnosti ideálního průřezu
I _t	moment setrvačnosti v kroucení
I _{v(z)}	intenzita turbulence
I _w	výsečový moment setrvačnosti
I _y	moment setrvačnosti průřezu k ose y
I _z	moment setrvačnosti průřezu k ose z
I _z	moment setrvačnosti stěšního ztužidla
L	rozpětí, délka
L _{cr}	kritická vzpěrná délka
L _{cr,y}	kritická vzpěrná délka kolmo k ose y
L _{cr,z}	kritická vzpěrná délka kolmo k ose z

L_{eff}	efektivní délka
M	ohybový moment
$M_{b,Rd}$	návrhová únosnost v ohybu při klopeni
M_{cr}	pružný kriticky moment při klopeni
M_d	návrhový moment
M_{Ed}	návrhový ohybový moment
M_{Rd}	návrhová únosnost v ohybu
$M_{Rk,y}$	charakteristická hodnota momentu k ose y
$M_{Rk,z}$	charakteristická hodnota momentu k ose z
$M_{y,Ed}$	návrhový ohybový moment kolmo k ose y
$M_{z,Ed}$	návrhový ohybový moment kolmo k ose z
N	osová síla
$N_{b,Rd}$	návrhová vzpěrná únosnost tlačeného prutu
N_{Ed}	návrhová hodnota normálové sily
$N_{Ed,1}$	návrhová hodnota síly působící na jeden šroub
$N_{Ed,min}$	minimální návrhová hodnota normálové sily
$N_{pl,Rd}$	návrhová plastická únosnost neoslabeného průřezu
N_{Rk}	charakteristická únosnost v tlaku/tahu
P_{Rd}	návrhová únosnost spřahovacího trnu
$P_{Rd'}$	redukovaná únosnost spřahovacího trnu
P_{Rk}	charakteristická únosnost spřahovacího trnu
R	reakce
S_i	Statický moment plochy ideálního průřezu
V	posouvající síla
V_e	podélná snyková síla
V_{Ed}	návrhová snyková (posouvající) síla
$V_{pl,Rd}$	plasticá snyková únosnost
$W_{el,y}$	elastický průřezový modul k ose y
$W_{el,z}$	elastický průřezový modul k ose z
$W_{pl,y}$	plasticý průřezový modul k ose y
$W_{pl,z}$	plasticý průřezový modul k ose z
$W_{eff,N}$	efektivní průřezový modul v normální poloze
$W_{eff,R}$	efektivní průřezový modul v reverzní poloze
Z_S	zatěžovací šířka
Z_{Sn}	zatěžovací stav, kde n je číslo zatěžovacího stavu
a	šířka patního plechu
a	vzdálenost
a	účinná výška svaru
a_1	rozteč rovnoběžně s vlákny mezi spojovacími prostředky v jedné řadě
a_2	rozteč kolmo k vláknům mezi řadami spojovacích prostředků
a_3	vzdálenost mezi spojovacím prostředkem a nezatiženým koncem
a_c	šířka patky
b	délka patního plechu
b	šířka průřezu
b	šířka pásnice
b_2	šířka
b_c	délka patky
b_d	výška betonové desky
b_{eff}	spolupůsobící šířka

b _{eff,1}	spolupůsobící šířka na stranu nosíku od osy nosníku
b _{eff,2}	spolupůsobící šířka na stranu nosíku od osy nosníku
c	zvětšení plochy průřezu na efektivní plochu u patního plechu
c _{fd}	součinitel tření
c _i	těžiště ideálního průřezu
c _g	těžiště průřezu
c _{g1}	vzdálenost těžiště od okraje
c _{g2}	vzdálenost těžiště od okraje
d	průměr
d	výška rovné části stojiny
d _o	průměr otvoru
e	excentricita
e ₁	vzdálenost osy šroubů od okraje čelní desky
e ₂	vzdálenost osy šroubů od okraje čelní desky
f _{cd}	návrhová hodnota válcové pevnosti betonu v tlaku
f _{ck}	charakteristická hodnota válcové pevnosti betonu v tlaku
f _{jd}	návrhová pevnost betonu v koncentrovaném tlaku
f _{Rd,u}	návrhová pevnost betonu v soustředném tlaku
f _u	mez pevnosti oceli
f _{ub}	mez pevnosti šroubů
f _y	mez kluzu oceli
f _{hd}	pevnost oceli v soustředném tlaku
f _{y,red}	redukovaná mez kluzu oceli
g _{k,n}	spojité zatížení od vlastní třhy, kde n značí typ zatížení
g _{k,n}	spojité nahodilé zatížení, kde n značí typ zatížení
h	výška prvku
h	výška průřezu
h _o	výška hlavice spřahovacího trnu
h _c	výška patky
i _y	poloměr setrvačnosti k ose y
i _z	poloměr setrvačnosti k ose z
k _{c,y}	součinitel vzpěrnosti
k _{c,z}	součinitel vzpěrnosti
k _i	součinitel turbulence
k _r	redukční součinitel
k _r	součinitel terénu
k _t	součinitel redukce u únosnosti spřahovacích trnů
k _w	součinitel vzpěrné délky
k _{wt}	bezrozměrný parametr kroucení
k _y	součinitel vzpěrné délky
k _{yy}	součinitel interakce
k _{yz}	součinitel interakce
k _z	součinitel vzpěrné délky
k _{zy}	součinitel interakce
k _{zz}	součinitel interakce
l	rozpětí
l	účinná délka svaru
l _{eff}	účinná délka
n	počet prvků
n	počet střihových rovin

n	pracovní součinitel u výpočtu ideálního průřezu
q	spojité zatížení u mezního stavu použitelnosti
q_b	zaklání dynamicky tlak větru
Q_{ed}	návrhová hodnota spojitého zatížení
$Q_{p(z)}$	maximální dynamicky tlak
$Q_{k,tr}$	charakteristická hodnota spojitého zatížení od tření větru
r_1	poloměr zaoblení pásnice
S_k	charakteristická hodnota zatížení sněhem
t	tloušťka
t_f	tloušťka pásnice
t_p	tloušťka patního plechu
t_w	tloušťka stojiny
v	výška podlaží
$V_{b,0}$	výchozí základní rychlosť větru
V_b	základní rychlosť větru
V_m	charakteristická střední rychlosť větru
w	průhyb
$W_{k,t}$	charakteristická hodnota zatížení tlakem větru
$W_{k,s}$	charakteristická hodnota zatížení sáním větru
W_y	průhyb ve směru y
W_z	průhyb ve směru z
x	výška tlačené betonové části spřažené desky
z_0	parametr drsnosti terénu
z	výška nad terénem
Z_a	souřadnice působiště zatížení vzhledem k těžišti průřezu
Z_g	souřadnice působiště zatížení vzhledem ke středu smyku
Z_{min}	minimální výška
Z_s	souřadnice středu smyku vzhledem k těžišti průřezu
α	sklon, uhel
α_y	součinitel imperfekce k ose y
α_z	součinitel imperfekce k ose y
α_{LT}	součinitel imperfekce pro klopení
α_s	poměr mezi momentem v polovině rozpětí a koncovým momentem
β	korelační součinitel pro svary závislý na druhu oceli
γ_c	dilčí součinitel spolehlivosti materiálu pro beton
γ_M	dilčí součinitel spolehlivosti materiálu
γ_{M0}	dilčí součinitel spolehlivosti materiálu
γ_{M1}	dilčí součinitel spolehlivosti materiálu (při posuzovaní stability prutů)
γ_{M2}	dilčí součinitel spolehlivosti materiálu (spoje, oslabený průřez)
δ	průhyb nosníku nebo deformace nosníků
δ_{xx}	deformace nosníku, kde xx značí číslo nosníku
δ_{lim}	limitní průhyb nosníku nebo deformace nosníků
δ_r	dynamické součinitel
δ_s	celková deformace stěnového ztužidla
δ_v	celková deformace střešního ztužidla
ε	součinitel závisející na fy
ζ_g	bezrozměrný parametr působiště zatížení vzhledem ke středu smyku těhu betonu, betonového potěru
γ_b	bezrozměrný parametr nesymetrie průřezu
ζ_j	

K_{wt}	bezrozměrny parametr kroucení
λ	štíhlost
λ_{rel}	poměrná štíhlost
$\lambda_{LT,rel}$	poměrná štíhlost při klopení
λ_y,rel	poměrná štíhlost k ose y
λ_z,rel	poměrná štíhlost k ose z
λ_w	poměrná štíhlost stojiny
μ_{cr}	bezrozměrny kriticky moment
μ	tvarový součinitel zatížení sněhem
π	Ludolfovo číslo
ρ	měrná hmotnost vzduchu
ρ	redukční součinitel
σ_{Ed}	normálové napětí
σ_I	normálové napětí kolmé na účinnou plochu svaru
σ_{II}	normálové napětí rovnoběžné s osou svaru
τ_I	smykové napětí kolmé na osu svaru
τ_{II}	smykové napětí rovnoběžné s osou svaru
Φ	pootočení
Φ_{xx}	pootočení, kde xx značí číslo nosníku nebo uzlu
Φ_y	hodnota pro vypočet součinitele vzpěrnosti při vzpěru k ose y
Φ_z	hodnota pro vypočet součinitele vzpěrnosti při vzpěru k ose z
Φ_{LT}	hodnota pro vypočet součinitele klopení
χ	součinitel vzpěrnosti při roviném vzpěru
χ_{LT}	součinitel klopení
χ_y	součinitel vzpěrnosti při roviném vzpěru k ose y
χ_z	součinitel vzpěrnosti při roviném vzpěru k ose z
ψ_0	součinitel pro kombinační hodnotu proměnného zatížení
ψ_1	součinitel pro kvazistálou hodnotu proměnného zatížení

OBSAH PŘÍLOHY:

1. Protokol RFEM – Var. A
2. Protokol RFEM – Var. B
3. Výkres – Půdorys, A2
4. Výkres – Podélný řez, A0
5. Výkres – Příčný řez, A1
6. Výkres – Dílec P7, A3
7. Výkres – Dílec P30, A3
8. Výkres – Dílec S24, A3
9. Výkres – Dílec S25, A3
10. Výkres – Položka St5, A3
11. Výkres – Položka St6, A3
12. Výkres – Položka St23, A3